



**HAL**  
open science

## Île-de-France, Essonne (91), Orsay, Zac de Corbeville, partie Ouest, PHASE 2. Rapport de diagnostic

Gilles Desrayaud, Hélène Civalleri, Juliette Durand, Stéphane Durand,  
Paulette Lawrence-Dubovac, Annie Lefèvre, Céline Le Goff, Philippe Lorquet,  
Cécile Monchablon

### ► To cite this version:

Gilles Desrayaud, Hélène Civalleri, Juliette Durand, Stéphane Durand, Paulette Lawrence-Dubovac, et al.. Île-de-France, Essonne (91), Orsay, Zac de Corbeville, partie Ouest, PHASE 2. Rapport de diagnostic. Inrap - Centre Île-de-France. 2021. hal-04903411

**HAL Id: hal-04903411**

**<https://inrap.hal.science/hal-04903411v1>**

Submitted on 21 Jan 2025

**HAL** is a multi-disciplinary open access archive for the deposit and dissemination of scientific research documents, whether they are published or not. The documents may come from teaching and research institutions in France or abroad, or from public or private research centers.

L'archive ouverte pluridisciplinaire **HAL**, est destinée au dépôt et à la diffusion de documents scientifiques de niveau recherche, publiés ou non, émanant des établissements d'enseignement et de recherche français ou étrangers, des laboratoires publics ou privés.

Île-de-France, Essonne (91)

# Orsay

## Zac de Corbeville, partie Ouest

### PHASE 2

sous la direction de

**Gilles Desrayaud**



Île-de-France, Essonne (91)

# Orsay

## Zac de Corbeville, partie Ouest

### PHASE 2

sous la direction de

**Gilles Desrayaud**

par

**Gilles Desrayaud**  
**Hélène Civalleri**  
**Juliette Durand**  
**Stéphane Durand**  
**Paulette Lawrence-Dubovac**  
**Annie Lefèvre**  
**Céline Le Goff**  
**Philippe Lorquet**  
**Cécile Monchablon**

avec la collaboration de

**Laboratoire Beta Analytic**  
**Béatrice Bouet-Langlois**  
**Victor Da-Veiga-Semedo**  
**Cyril Giorgi**  
**Zelda Hugon**  
**Philippe Lenhardt**  
**Mohammad Rayati****Inrap****Centre - Île-de-France**41 rue Delizy 93692 Pantin Cedex  
Tél. 01 41 83 75 30, Fax 01 48 10 97 55,  
centre-ile-de-france@inrap.fr

mars 2021

La consultation et l'utilisation de ce rapport s'effectuent dans le respect des dispositions du code de la propriété intellectuelle relatives aux droits des auteurs, ce qui emporte diverses contraintes auxquelles sont soumis tous les consultants et utilisateurs. Ainsi plus particulièrement, en application de l'article L.122-5 du code de la propriété intellectuelle :

- les prises de notes et les copies ou autres formes de reproduction sont autorisées dans la mesure où elles sont strictement réservées à l'usage privé du copiste et non destinées à une utilisation collective ;
- toute reproduction du texte, accompagnée ou non de photographies, cartes ou schémas, n'est possible que dans le cadre de courtes citations qui doivent être justifiées, par exemple par le caractère scientifique de l'oeuvre à laquelle elles sont

incorporées et sous réserve de l'indication claire du nom de l'auteur et de la source (références exactes et complètes de l'auteur, de son organisme d'appartenance et du rapport) ;

- la représentation ou la reproduction d'extraits est possible à des fins exclusives d'illustration dans le cadre de l'enseignement et de la recherche, dès lors que le public auquel elle est destinée est composé majoritairement d'élèves, d'étudiants, d'enseignants ou de chercheurs directement concernés et que son utilisation ne donne lieu à aucune exploitation commerciale.

Le non-respect de ces règles constitue le délit de contrefaçon prévu et sanctionné par les articles L.335-2, L.335-3 et suivants du code de la propriété intellectuelle.

# Sommaire

7	<b>I. Données administratives, techniques et scientifiques</b>
8	<b>1.1. Fiche signalétique</b>
9	<b>1.2. Mots-clefs des thesaurus</b>
10	<b>1.3. Intervenants</b>
12	<b>1.4. Notice scientifique et état du site</b>
13	<b>1.5. Tableau récapitulatif des résultats</b>
14	<b>1.6. Localisation de l'opération</b>
15	<b>1.7. Extrait du cadastre</b>
16	<b>1.8. Copie de l'arrêté de prescription</b>
19	<b>1.9. Arrêté de désignation du responsable scientifique</b>
20	<b>1.10. Projet scientifique d'intervention</b>
23	<b>II. Résultats</b>
25	<b>2.1. Contextes d'opération</b>
25	2.1.1. Circonstances de l'intervention
25	2.1.2. Contexte archéologique
29	2.1.3. Contextes géographique et géologique
30	2.1.4. Moyens et méthodes mis en œuvre
35	<b>2.2. Présentation de la stratigraphie et des vestiges</b>
35	<b>2.2.1. Profils sédimentaires</b>
37	2.2.1.1. Horizons géologiques : séquence quaternaire
37	2.2.1.2. Horizons superficiels
38	<b>2.2.2. Vestiges de la Zone Sud</b>
38	2.2.2.1. Zone Sud, fait 11008 : dépôt du Néolithique récent
41	2.2.2.2. Zone Sud, horizon 11012 et fosse 11033 : céramique de l'âge du Fer
43	2.2.2.3. Zone Sud, canalisation 11001 et fossé 11015 : chemin antique ?
43	2.2.2.4. Zone Sud, fosse 11025 : non datée
45	<b>2.2.3. Vestiges de la Zone Nord</b>
45	2.2.3.1. Zone Nord, céramique non tournée et pièces lithiques
47	2.2.3.2. Zone Nord, site médiéval et vestiges non datés
55	<b>2.3. En guise de conclusion et perspectives</b>

## 57

## III. Annexes

59	<b>3.1. Annexe 1 : Datations radiocarbone (Beta Analytic, Inc, Miami, Floride, E.U.)</b>
59	3.1.1. Zone Sud : fait 11008
61	3.1.2. Zone Nord : sépulture 10099
63	3.1.3. Zone Nord : sépulture 10069
65	<b>3.2. Annexe 2 : L'industrie lithique (Juliette DURAND, Inrap)</b>
65	3.2.1. Zone Nord
66	3.2.2. Zone Sud, horizon 11012
66	3.2.3. Zone Sud, fait 11008
71	<b>3.3. Annexe 3 : La céramique néolithique (Stéphane DURAND, Inrap)</b>
71	3.3.1. Zone Nord : la céramique du ramassage 10039
73	3.3.2. Zone Sud : la céramique de 11008
74	3.3.3. Céramique néolithique : synthèse et conclusion
77	<b>3.4. Annexe 4 : L'industrie macrolithique (Cécile MONCHABLON, Inrap, UMR 8215-Trajectoires)</b>
77	3.4.1. Ramassages divers
77	3.4.2. Zone Sud, 11008, Néolithique récent
79	<b>3.5. Annexe 5 : Brève synthèse sur l'occupation néolithique (J. DURAND, S. DURAND, C. MONCHABLON, INRAP)</b>
79	Contexte
79	Zone Nord, Néolithique moyen
81	Zone Sud, Néolithique récent
83	<b>3.6. Annexe 6 : La céramique modelée protohistorique et non datée (Hélène CIVALLERI, Inrap)</b>
84	3.6.1. Zone Nord
87	3.6.2. Zone Sud
88	3.6.3. Discussion chronologique
89	3.6.4. Conclusion
91	<b>3.7. Annexe 7 : La céramique historique (Annie LEFÈVRE, Inrap)</b>
91	3.7.1. Les productions
91	3.7.2. Les formes
92	3.7.3. Conclusion
94	3.7.4. Tableau d'inventaire de la céramique tournée (historique) (Annie LEFÈVRE, Inrap)
97	<b>3.8. Annexe 8 : Etude des sépultures (Paulette LAWRENCE-DUBOVAC, Inrap)</b>
97	3.8.1. Présentation des données
98	3.8.2. Conclusion
99	3.8.3. Catalogues des sépultures fouillées
99	3.8.3.1. Fiche individu n°10069

101	3.8.3.2. Fiche individu n°10099
102	3.8.3.3. Fiche individu n°10100
105	<b>3.9. Annexe 9 : Evaluation des restes osseux animaux (Céline LE GOFF, Inrap)</b>
109	<b>3.10. Annexe 10 : Indices d'activités métallurgiques (Philippe LORQUET, Inrap ; UMR 5060 IRAMAT – laboratoire "métallurgies et cultures")</b>
109	3.10.1. Petits « blocs » naturels ferrugineux, indice de minerai de fer
111	3.10.2. Un district local de production de fer
111	3.10.3. Zone Nord, un culot de forge massif
113	<b>IV. Inventaires techniques</b>
115	<b>4.1. Inventaires des horizons et unités stratigraphiques</b>
146	<b>4.2. Inventaire des faits par zone, type et n°</b>
152	<b>4.3. Inventaire technique et systématique du mobilier archéologique et prélèvements</b>
156	<b>4.4. Inventaire des indices de datation</b>
158	<b>4.5. Inventaires de la documentation de l'opération</b>
158	4.5.1. Documentation écrite
158	4.5.2. Documents graphiques (calques A3)
158	4.5.3. Documents photographiques (inventaire des clichés)
171	4.5.4. Documents numériques
173	<b>V. Planches illustrées</b>
210	<b>Références bibliographiques</b>
214	<b>Liste des figures</b>
	<b>Hors Volume Plan A0 des vestiges à 1/400</b>





I. **Données  
administratives,  
techniques  
et scientifiques**

## 1.1. Fiche signalétique

<p><b>Localisation</b></p> <p>Région Île-de-France</p> <p>Département Essonne (91)</p> <p>Commune Orsay</p> <p>Adresse ou lieu-dit Plaine de Corbeville</p>	<p><b>Propriétaire du terrain</b></p> <p>Délégation à : ETABLISSEMENT PUBLIC D'AMENAGEMENT DE PARIS SACLAY 6, Bd Dubreuil 91400 Orsay</p>	<p><b>Dates d'intervention sur le terrain</b></p> <p>Du 16-11 au 11-12-2020</p> <p><b>Post fouille</b></p> <p>Décembre 2020 à mars 2021</p>
<p><b>Codes</b></p> <p>Code INSEE 91471</p> <p>Numéro de l'entité archéologique <i>non-communiquée</i></p> <p>Code opération Inrap D135541</p> <p>Numéro de dossier SRA 1011337</p>	<p><b>Références de l'opération</b></p> <p>Numéro de l'arrêt de prescription 2020-484 le 23/09/2020</p> <p>Numéro de l'arrêt de désignation du responsable 2020-580 le 27/11/2020</p>	<p><b>Surface du projet d'aménagement</b></p> <p>Prescrite : 39 842 m<sup>2</sup> Accessible : 35 798 m<sup>2</sup></p>
<p><b>Coordonnées géographiques et altimétriques selon le système national de référence</b></p> <p>RGF 93 CC49 / IGN 69 X (East) : 1 639 855 / 1 640 039 Y (N) : 8 168 585,6 / 8 168 963,4 Z : 157,00 / 160,00 m NGF</p>	<p><b>Maître d'ouvrage des travaux d'aménagement</b></p> <p>ETABLISSEMENT PUBLIC D'AMENAGEMENT DE PARIS SACLAY 6, Bd Dubreuil 91400 Orsay</p>	<p><b>Surface diagnostiquée</b></p> <p>-Surface sondée : 4574,5 m<sup>2</sup> -Soit 11,5 % de l'emprise prescrite -Soit 12,8 % de l'emprise accessible</p>
<p><b>Références cadastrales</b></p> <p>Commune : Orsay Année : 2017 Section : AB Parcelle (s) : n° 631 et 635p (ex-588p)</p>	<p><b>Nature de l'aménagement</b></p> <p>ZAC</p> <p><b>Opérateur d'archéologie</b></p> <p>Inrap Centre Île-de-France</p>	<p><b>Moyens engagés</b></p> <p>-Préparation / Terrain : 66 jours / homme -Terrassements et rebouchage : 11 jours ouvrés de pelle mécanique 20 t, godet de 3 m -7 jours de minipelle 5 t. -Post Fouille : 99 jours / homme</p>
<p><b>Statut du terrain au regard des législations sur le patrimoine et l'environnement</b></p> <p><i>sans objet</i></p>	<p><b>Responsable scientifique de l'opération</b></p> <p>Gilles Desrayaud, Inrap</p> <p><b>Organisme de rattachement</b></p> <p>Inrap Centre / Île-de-France Immeuble «Les Diamants» - Bâtiment B ; 41, rue Delizy, 93692 Pantin Cedex</p> <p>Centre Archéologique Inrap 32, rue Delizy 93694 Pantin Cedex</p>	<p><b>Référence bibliographique</b></p> <p>Desrayaud (dir) 2021 : DESRAYAUD (G.) (DIR) : DESRAYAUD (G.), CIVALLERI (H.), DURAND (J.), DURAND (S.), LAWRENCE (P.), LEFÈVRE (A.), LE GOFF (C.), LORQUET (Ph.), MONCHABLON (C.) – Île-de-France, Essonne (91), Orsay, Zac de Corbeville, partie Ouest, PHASE 2. Rapport de diagnostic, INRAP-CÎF / DRAC- SRA-ÎDF, Pantin / Paris, mars 2021, 216 p.</p>

## 1.2. Mots-clefs des thesaurus

Chronologie	Sujets et thèmes	Mobilier
<input type="checkbox"/> <b>Paléolithique</b>	<input type="checkbox"/> Édifice public	<input checked="" type="checkbox"/> <sup>nb</sup> Industrie lithique
<input type="checkbox"/> Inférieur	<input type="checkbox"/> Édifice religieux	<input type="checkbox"/> Industrie osseuse
<input type="checkbox"/> Moyen	<input type="checkbox"/> Édifice militaire	<input checked="" type="checkbox"/> Céramique
<input type="checkbox"/> Supérieur	<input checked="" type="checkbox"/> Bâtiment	<input type="checkbox"/> Restes végétaux
<input type="checkbox"/> Mésolithique et Épipaléolithique	<input type="checkbox"/> Structure de combustion	<input checked="" type="checkbox"/> Faune
<input checked="" type="checkbox"/> <b>Neolithique</b>	<input type="checkbox"/> Voirie	<input type="checkbox"/> Flore
<input type="checkbox"/> Ancien	<input type="checkbox"/> Hydraulique	<input checked="" type="checkbox"/> Objet métallique
<input type="checkbox"/> Moyen	<input checked="" type="checkbox"/> Habitat rural	<input type="checkbox"/> Arme
<input checked="" type="checkbox"/> Récent	<input type="checkbox"/> Villa	<input type="checkbox"/> Outil
<input checked="" type="checkbox"/> <b>Protohistoire</b>	<input checked="" type="checkbox"/> Bâtiment agricole	<input type="checkbox"/> Parure
<input type="checkbox"/> <b>Âge du Bronze</b>	<input type="checkbox"/> Structure agraire	<input type="checkbox"/> Habillement
<input type="checkbox"/> Ancien	<input type="checkbox"/> Urbanisme	<input type="checkbox"/> Trésor
<input type="checkbox"/> Moyen	<input type="checkbox"/> Maison	<input type="checkbox"/> Monnaie
<input type="checkbox"/> Récent	<input type="checkbox"/> Structure urbaine	<input type="checkbox"/> Verre
<input checked="" type="checkbox"/> <b>Âge du Fer</b>	<input checked="" type="checkbox"/> Foyer	<input type="checkbox"/> Mosaïque
<input checked="" type="checkbox"/> Hallstatt (premier Âge du Fer)	<input checked="" type="checkbox"/> Fosse	<input type="checkbox"/> Peinture
<input checked="" type="checkbox"/> La Tène (second Âge du Fer)	<input checked="" type="checkbox"/> Sépulture	<input type="checkbox"/> Sculpture
<input checked="" type="checkbox"/> <b>Antiquité romaine (gallo-romain)</b>	<input type="checkbox"/> Grotte	<input type="checkbox"/> Inscription
<input type="checkbox"/> République romaine	<input type="checkbox"/> Abri	<input type="checkbox"/> Autres: scorie, TCA
<input checked="" type="checkbox"/> Empire romain	<input type="checkbox"/> Mégalithe	
<input type="checkbox"/> Haut-Empire (jusqu'en 284)	<input checked="" type="checkbox"/> Artisanat	
<input type="checkbox"/> Bas-Empire (de 285 à 476)	<input type="checkbox"/> Argile : atelier	
<input checked="" type="checkbox"/> <b>Époque médiévale</b>	<input type="checkbox"/> Atelier	
<input checked="" type="checkbox"/> haut Moyen Âge	<input type="checkbox"/> Four à chaux	
<input checked="" type="checkbox"/> Moyen Âge	<input checked="" type="checkbox"/> Fossé	
<input checked="" type="checkbox"/> bas Moyen Âge	<input type="checkbox"/> Épandage lithique	
<input type="checkbox"/> <b>Temps modernes</b>	<input type="checkbox"/> Épandage céramique	
<input type="checkbox"/> <b>Époque contemporaine</b>	<input type="checkbox"/> Puits	
<input type="checkbox"/> Ère industrielle		
		<b>Études annexes</b>
		<input type="checkbox"/> Géologie
		<input checked="" type="checkbox"/> Datation
		<input checked="" type="checkbox"/> Anthropologie
		<input type="checkbox"/> Paléontologie
		<input checked="" type="checkbox"/> Archéozoologie
		<input type="checkbox"/> Botanique
		<input type="checkbox"/> Palynologie
		<input type="checkbox"/> Macrorestes
		<input type="checkbox"/> An. de céramique
		<input checked="" type="checkbox"/> An. de métaux
		<input type="checkbox"/> Acq. des données
		<input type="checkbox"/> Numismatique
		<input type="checkbox"/> Conservation
		<input type="checkbox"/> Etude d'archives

## 1.3. Intervenants

### Intervenants scientifiques

Prénom Nom, organisme d'appartenance	Tâches génériques	Tâches affectées dans le cadre de l'opération
Christian Piozzoli, SRA ÎDF	Conservateur du patrimoine	Prescription et contrôle scientifique
Céline Casasoprana, INRAP ÎDF	Directrice Adjointe Scientifique et Technique	Projet et contrôle scientifique
Diane Casadei, INRAP ÎDF	Déléguée à la DAST	Projet et contrôle scientifique
Gilles Desrayaud, INRAP ÎDF	Chargé d'étude	Responsable d'opération

### Intervenants administratifs

Prénom Nom, organisme d'appartenance	Tâches génériques	Tâches affectées dans le cadre de l'opération
Stéphane Deschamps, SRA ÎDF	Conservateur régional	Prescription et contrôle scientifique
Christian Piozzoli, SRA ÎDF	Conservateur du patrimoine	Prescription et contrôle scientifique
Marie-Christiane Casala, INRAP ÎDF	Directrice interrégionale	Contrôle de l'opération

### Intervenants techniques

Prénom Nom, organisme d'appartenance	Tâches génériques	Tâches affectées dans le cadre de l'opération
ATPLC	Terrassements mécaniques	Sondages archéologiques et rebouchage partiel
Luc Daguzon, INRAP ÎDF	Assistant de Prévention	Hygiène et sécurité de l'opération
Hervé Kuntz, INRAP ÎDF	Assistant technique régional	Préparation de l'opération

### Aménageur

Prénom Nom, organisme d'appartenance	Tâches génériques	Tâches affectées dans le cadre de l'opération
Quentin Dermersedian, EPAPS	Chargé de projets	Mise à disposition du terrain et suivi d'opération
Michaël Toriel, EPAPS	Directeur Travaux	Convention

### Financement

Redevance

### Équipe de terrain, Inrap

Prénom Nom, organisme d'appartenance	Tâches génériques	Tâches affectées dans le cadre de l'opération
Victor Da-Veiga-Semedo	Archéologue	Technicien
Gilles Desrayaud	Archéologue	Responsable d'Opération
Paulette Lawrence-Dubovac	Anthropologue	Fouille des sépultures
Philippe Lenhardt	Topographe architecte	Topographie
Mohammad Rayati-Moghaddam	Archéologue	Technicien

### Équipe de post-fouille, Inrap

Prénom Nom, organisme d'appartenance	Tâches génériques	Tâches affectées dans le cadre de l'opération
Hélène Civalleri	Céramologue	Céramique protohistorique
Gilles Desrayaud	Archéologue	Responsable d'Opération
Juliette Durand	Lithicienne	Lithique néolithique
Stéphane Durand	Céramologue	Céramique néolithique
Zelda Hugon	Infographiste	Mise en page
Paulette Lawrence-Dubovac	Anthropologue	Anthropologie physique
Annie Lefèvre	Céramologue	Céramique historique
Céline Le Goff	Archéozoologue	Archéozoologie
Philippe Lenhardt	Topographe architecte	Topographie / DAO
Philippe Lorquet	Paléométallurgiste	Paléoméallurgie
Cécile Monchablon	Macrolithicienne	Macrolithique
Mohammad Rayati-Moghaddam	Archéologue	Traitement du mobilier, enregistrement

### Collaborations

Prénom Nom, organisme d'appartenance	Tâches génériques	Tâches affectées dans le cadre de l'opération
<i>Laboratoire Beta Analytic Inc</i>	C14	Datations par radiocarbone
Béatrice Bouet-Langlois, SRA ÎDF	Carte Archéologique	Partage de données
Cyril Giorgi, INRAP ÎDF	Archéologue	Partage de données

## 1.4. Notice scientifique et état du site

### Notice scientifique

La poursuite des aménagements de la Zac de Corbeville, à Orsay, dans l'Essonne, a donné lieu à une prescription de sondages archéologiques préventifs complémentaires par les services de l'Etat, sur 4 ha. Les parcelles Nord et Sud, de superficies à peu près égales, sont séparées par le tracé de la ligne du métro 18, diagnostiqué en janvier 2020.

Depuis le début des années 2000, le plateau de Saclay, sujet à une opération d'urbanisme d'intérêt national, a fait l'objet de nombreuses interventions et découvertes archéologiques.

A une vingtaine de kilomètres au Sud-Ouest du centre de Paris, au Nord de la région naturelle du Hurepoix (pays de Josas), la Plaine de Corbeville se situe sur le rebord Sud-Est du plateau, le long de la vallée de l'Yvette.

La Carte géologique indique une couverture limoneuse, reposant sur des sables argileux épisodiques (de Lozère) et des argiles tertiaires à meulière.

L'intervention sur le terrain s'est déroulée du 16 novembre au 11 décembre 2020. 20 tranchées, dont certaines comportant des fenêtres complémentaires, ont été creusées à la pelle mécanique 20 t avec un godet de 3 m, selon un maillage régulier (8 jours ouvrés).

11 % de la surface totale de la Zone Nord ont été décapés, et la Zone Sud a été testée à hauteur de 11,9 %.

Hors creusements contemporains et chablis, près de 200 faits archéologiques ont été repérés (170 en Zone Nord et 27 en Zone Sud). Plus d'une quarantaine de sondages ont été réalisés à la pelle 20 tonnes, ou, principalement, avec une minipelle 5 tonnes (7 jours ouvrés), et 7 vestiges ont été fouillés ou testés manuellement (notamment 3 sépultures).

Plusieurs coupes ont permis d'observer la séquence sédimentaire quaternaire et les horizons pédologiques sous labours récents.

Au milieu des parcelles, la présence ténue de pièces microlithiques et de céramique modelée ancienne traduit un "bruit de fond" néolithique (moyen ?), rencontré sur l'ensemble de la Zac.

Au centre de la Zone Sud, la découverte d'un possible trou de poteau du Néolithique récent (env. 3350-3000 av. J.-C), avec dépôt de deux haches polies, revêt un caractère peu commun, voire exceptionnel.

En limite septentrionale de la Zone Sud, une "cuvette" sédimentaire et une fosse ont livré un petit corpus céramique attribuable à la fin du premier âge du fer ou du début du second.

Ils sont peut-être à rattacher à une occupation protohistorique pluriséculaire, de l'âge du Bronze final à La Tène, dont les traces, plus ou moins marquées, ont été repérées sur environ 5 ha, principalement vers l'Est et le Sud Est.

Pour la période romaine, les vestiges observés paraissent correspondre à des aménagements ruraux secondaires : probables fossés de drainage et/ou parcellaires et bordiers de chemin, dont un avec une "canalisation" de pierre, en Zone Sud.

Au Sud du château de la Martinière, attesté depuis le XIV<sup>e</sup> s., les vestiges de la Zone Nord (2 ha), s'inscrivent dans une occupation mérovingienne à capétienne, relativement dense, repérée sur au moins 9 ha, et partiellement fouillé sur 1,1 ha en 2016.

17 creusements indéterminés, 2 excavations (dont 1 empierrée), 54 fosses, 36 segments de fossés, 3 fours ou soles, 5 sépultures et 51 trous de poteau attestés, ou supposés, ont été répertoriés.

97 tessons médiévaux (VI<sup>e</sup>-XIV<sup>e</sup> s.), 68 restes de faune, ainsi qu'un culot de forge d'épuration, ont été collectés.

Un "axe de circulation", marqué par plusieurs tronçons fossoyés, traverse l'emprise d'Est en Ouest. Il comprend un secteur d'inhumations dans sa partie orientale.

### Etat du site

Rebouchage des tranchées (Zone Nord : effectué par l'Inrap ; Zone Sud : à la charge de l'aménageur) pour remise en culture temporaire.

## 1.5. Tableau récapitulatif des résultats

Chronologie	Entités Archéologiques	Mobilier	Interprétation
<b>ZONE SUD</b>			
Néolithique récent	-1 fosse (trou de poteau?)	-céramique -haches polies -macrolithique -lithique	-Dépôt -Bâtiment ?
Âge du Fer (HAD3/LTA ?)	-1 fosse -1 "cuvette" sédimentaire ?	-céramique -lithique	-Occupation indéterminée
Gallo-romain ?	-1 canalisation empierrée -2 fossés	-céramique	-Parcellaire/drainage rural -Chemin ?
Non datés	-6 creusements indéterminés -3 fosses -11 fossés / segments fossoyés		
Contemporain / récent	-drains -1 tranchée d'assainissement -2 fosses de plantation -ornières	-céramique	
<b>ZONE NORD</b>			
Néolithique / Protohistoire ?	7 ramassages dans "limons des plateaux" ou faits non perçus	-céramique modelée -lithique	-Occupation-s indéterminée-s
<i>Antique ?</i> Non daté Médiéval (VI <sup>e</sup> -XII <sup>e</sup> s. ap.) <i>Bas Moyen Âge ?</i> <i>Moderne ?</i>	-17 creusements indéterminés -2 excavations -54 fosses -36 fossés / segments fossoyés -3 fours / soles médiévaux -5 sépultures médiévales -51 trous de poteau attestés/supposés	-céramique mérovingienne -céramique carolingienne -céramique XI <sup>e</sup> -XII <sup>e</sup> s. ap. -céramique XII <sup>e</sup> -XIII <sup>e</sup> -céramique XIV <sup>e</sup> -XVI <sup>e</sup> -faune -objets métalliques -scorie -tuiles romaines	-Principalement, habitat rural VI <sup>e</sup> -XII <sup>e</sup> s. ap. J.-C.
Contemporain / récent	-drains -1 tranchée d'assainissement -2 fosses -ornières		

## 1.6. Localisation de l'opération

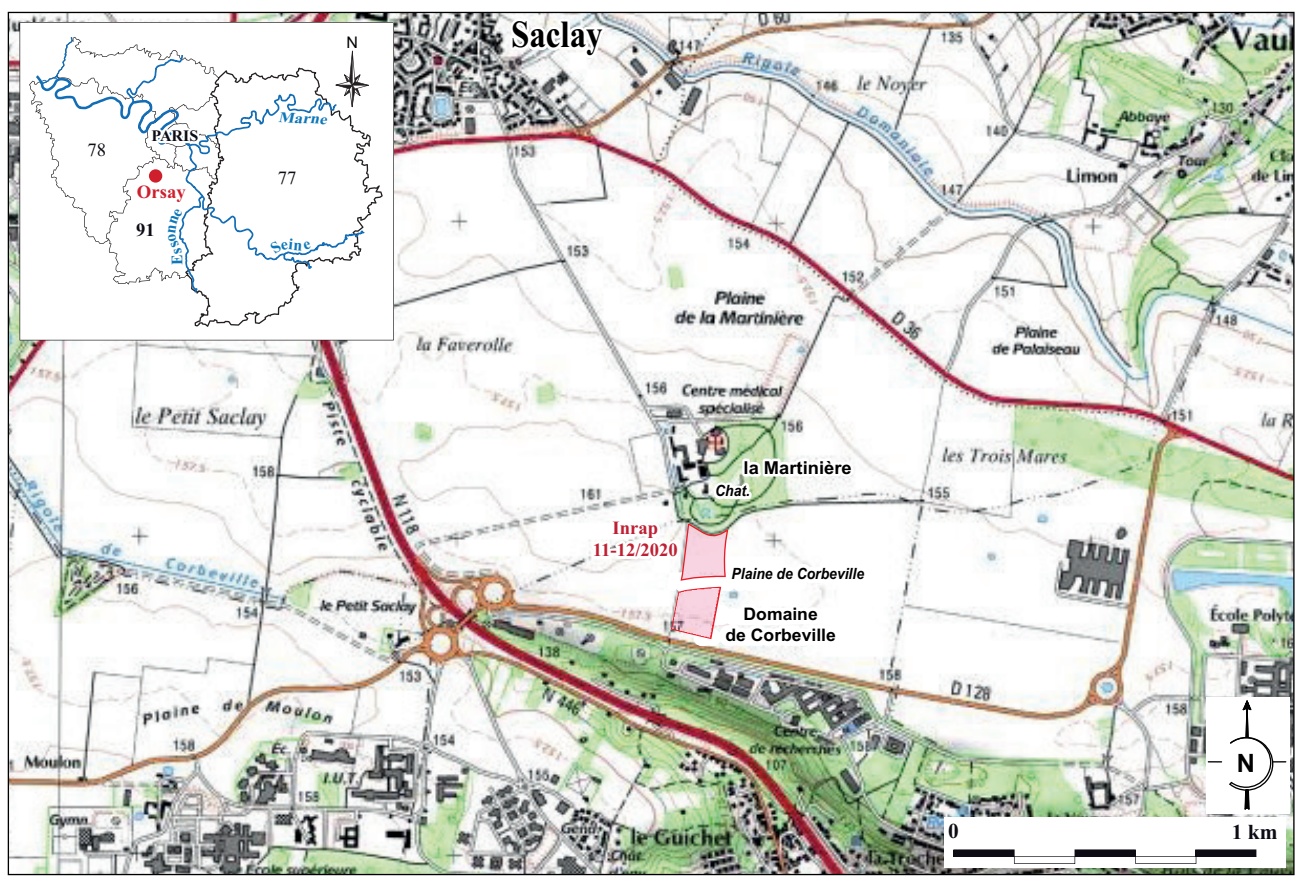


Fig. 01 Île-de-France, Essonne, Orsay, Zac de Corbeville, partie Ouest, phase 2. Localisation de l'emprise du diagnostic archéologique sur le fond de carte IGN au 1/25000 © IGN Paris

# 1.7. Extrait du cadastre

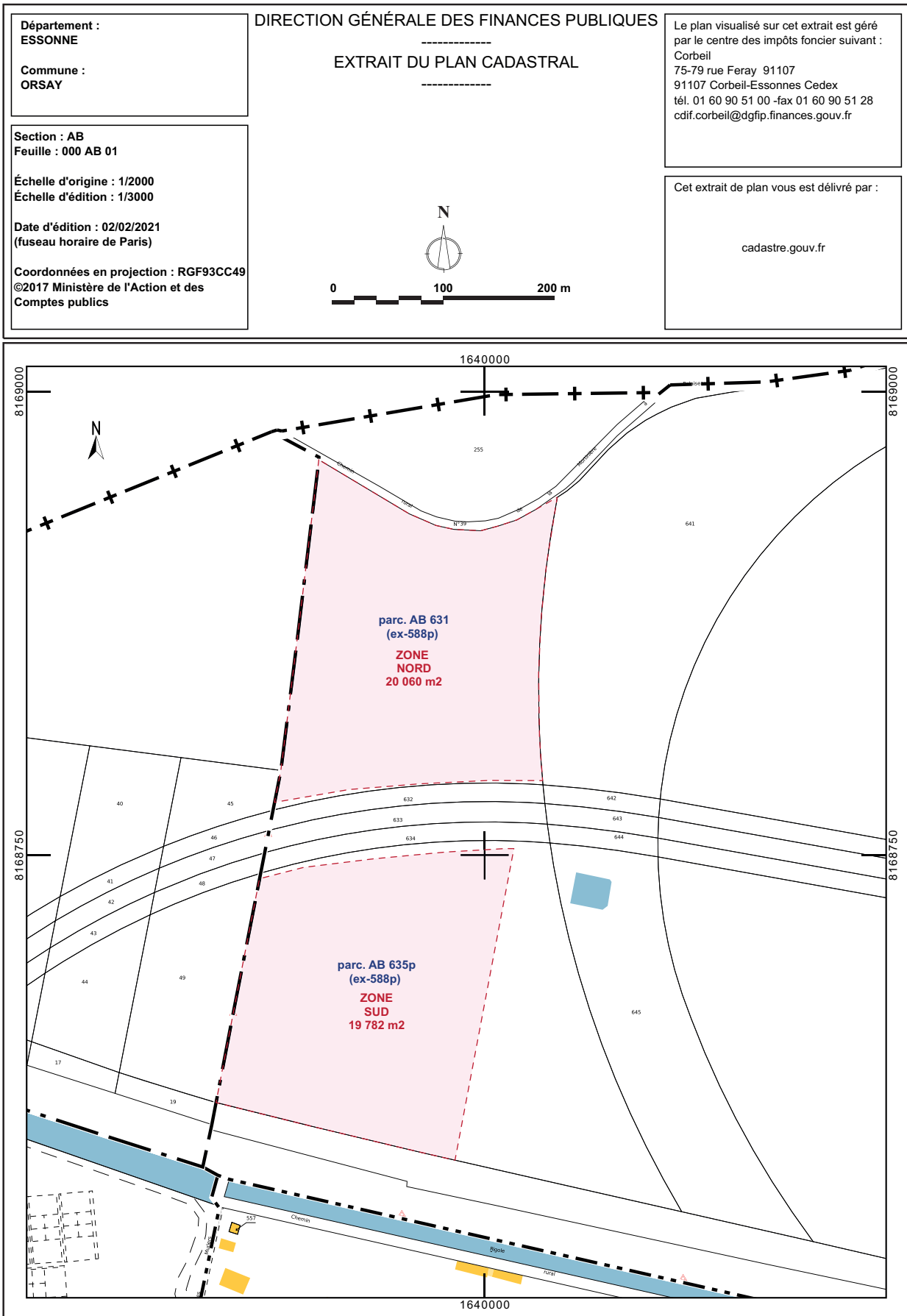


Fig. 02 Orsay, Zac de Corbeville, partie Ouest, phase 2. Localisation de l'emprise sur le cadastre © cadastre.gouv.fr

## 1.8. Copie de l'arrêté de prescription



Arrêté n° 2020-484 du **23 SEP. 2020**  
portant prescription et attribution d'un diagnostic d'archéologie préventive

Le Préfet de région ;

Vu le code du patrimoine et notamment son livre V ;

Vu l'arrêté du 16 septembre 2004 portant définition des normes d'identification, d'inventaire, de classement et de conditionnement de la documentation scientifique et du mobilier issu des diagnostics et des fouilles archéologiques ;

Vu l'arrêté du 27 septembre 2004 portant définition des normes de contenu et de présentation des rapports d'opérations archéologiques ;

Vu l'arrêté préfectoral n° IDF-2020-08-17-010 du 17 août 2020 portant délégation de signature à Monsieur Laurent ROTURIER, directeur régional des affaires culturelles d'Île-de-France en matière administrative ;

Vu l'arrêté n° 2020-057 du 18 août 2020 portant subdélégation de signature à Monsieur Stéphane DESCHAMPS, Conservateur régional de l'archéologie, et à Monsieur Jean-Marc GOUEDO, Conservateur régional adjoint de l'archéologie ;

Vu le dossier relatif au projet « Zac de Corbeville, partie ouest - PHASE 2 localisé à ORSAY(91) Lieudit Plaine de Corbeville, section AB parcelle(s) 588p » transmis par – Monsieur Franck Caro – reçu en préfecture de région, Service régional de l'archéologie, le 17 septembre 2020 ;

Vu la demande anticipée de prescription d'archéologie préventive présentée par – Monsieur Franck Caro – pour le projet « Zac de Corbeville, partie ouest - PHASE 2 » reçue en préfecture de région, Service régional de l'archéologie, le 17 septembre 2020 ;

Considérant que les travaux envisagés sont susceptibles d'affecter des éléments du patrimoine archéologique : sont susceptibles d'impacter des vestiges du patrimoine archéologique enfoui, particulièrement nombreux sur ce secteur du plateau de Saclay ;

Considérant qu'il est nécessaire de mettre en évidence et de caractériser la nature, l'étendue et le degré de conservation des vestiges archéologiques éventuellement présents afin de déterminer le type de mesures dont ils doivent faire l'objet ;

Considérant que l'Institut national de recherches archéologiques préventives (INRAP) est le seul opérateur habilité à réaliser un diagnostic sur le territoire concerné par le projet d'aménagement susvisé.

### ARRÊTE

**Article 1** - Une opération de diagnostic archéologique est mise en œuvre préalablement à la réalisation du projet « Zac de Corbeville, partie ouest - PHASE 2 », sis en :

RÉGION : ILE-DE-FRANCE  
DEPARTEMENT : ESSONNE  
COMMUNE : ORSAY  
Lieudit ou adresse : Lieudit Plaine de Corbeville  
Cadastre : Section : AB, Parcelle(s) : 588p

Réalisé par : Monsieur Franck Caro

L'emprise soumise au diagnostic, d'une superficie de 39 842 m<sup>2</sup>, est figurée sur le document graphique annexé au présent arrêté.

Le diagnostic archéologique comprend, outre une phase d'exploration du terrain, une phase d'étude qui s'achève par la remise du rapport sur les résultats obtenus.

**Article 2** - La réalisation de l'opération de diagnostic prescrite par le présent arrêté est attribuée à l'Institut national de recherches archéologiques préventives (INRAP).

**Article 3** - L'opérateur ainsi désigné soumettra un projet d'intervention élaboré sur la base des objectifs scientifiques et des principes méthodologiques définis par le présent arrêté

**Article 4 - Objectifs scientifiques**

mise en évidence de la présence ou de l'absence de vestiges archéologiques. Dans l'éventualité de présence de vestiges, l'opération devra caractériser lesdits vestiges : état de conservation, profondeur d'enfouissement, épaisseur des niveaux archéologiques, densité, attribution chronologique, surface concernée.

**Article 5 - Principes méthodologiques**

réalisation de tranchées d'évaluation ou de sondages ponctuels, adaptés à la morphologie et à la topographie du terrain, avec élargissements localisés autour des vestiges structurés. Sauf contrainte particulière, les tranchées seront positionnées en diagonale par rapport à l'orientation dominante du cadastre napoléonien. La surface ouverte en sondage doit être au minimum égale à 10 % de l'emprise du projet. Un quart des structures mises au jour doit être testé au minimum. La phase terrain débutera une fois que la parcelle aura été mise en condition d'être diagnostiquée ;

**Article 6 - Responsable scientifique**

Le responsable scientifique du diagnostic, dont la désignation fera l'objet d'un arrêté ultérieur, doit justifier des qualifications suivantes : protohistorien ou antiquisant.

**Article 7** - Le Directeur régional des affaires culturelles d'Île-de-France est chargé de l'exécution du présent arrêté, qui sera notifié à Monsieur Franck Caro et à l'Institut national de recherches archéologiques préventives (INRAP).

Fait à PARIS, le **23 SEP. 2020**

Pour le Préfet de Région, Préfet de Paris  
et par délégation,  
Pour le Directeur régional des affaires culturelles,  
et par subdélégation,  
Le Conservateur régional de l'archéologie  
Jean-Marc Gouédo  
conservateur en chef du patrimoine,  
adjoint au conservateur régional  
de l'archéologie d'Île-de-France

Stéphane DESCHAMPS





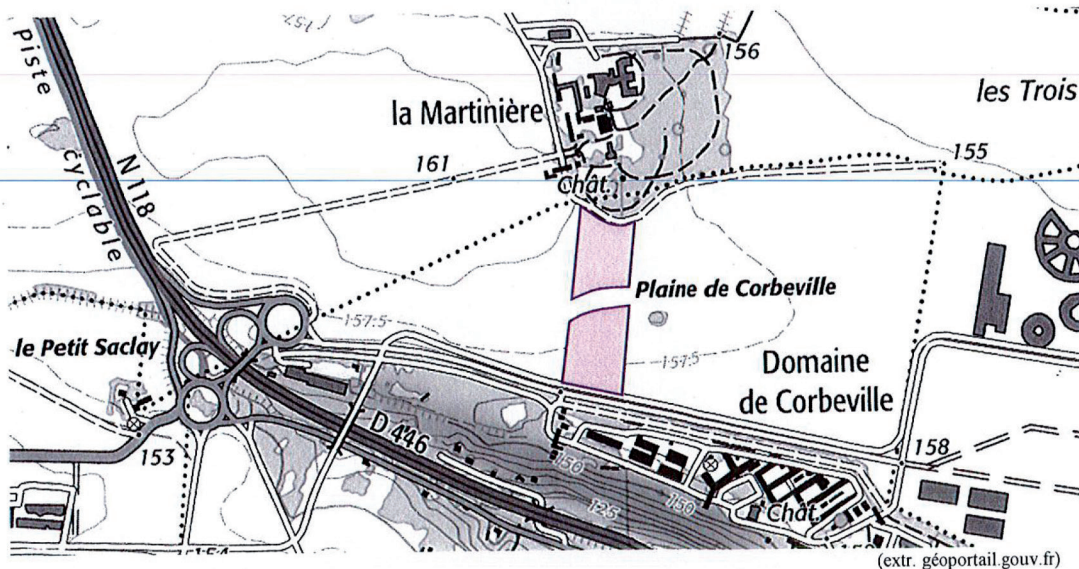
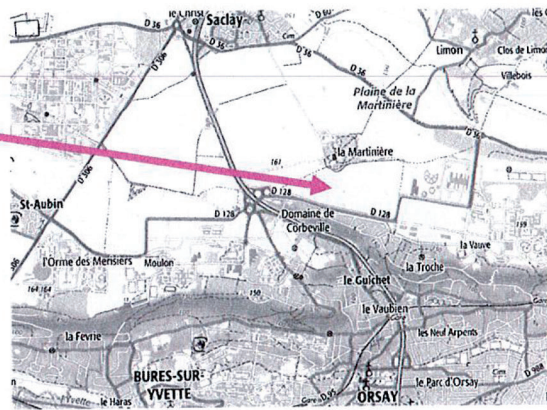
# ORSAY et SACLAY (91)

## Zac de Corbeville partie ouest

### - phase 2 -

localisation et emprise  
du diagnostic archéologique  
(secteurs tramés en rose)

*Vu pour être annexé à  
l'arrêté de prescription  
diagnostic archéologique  
2020-484  
du 23 septembre 2020*



## 1.9. Arrêté de désignation du responsable scientifique



Liberté • Égalité • Fraternité  
RÉPUBLIQUE FRANÇAISE

PRÉFET DE LA RÉGION ÎLE-DE-FRANCE

Arrêté n° 2020-580 du 12 7 NOV. 2020  
portant modification de l'arrêté n° du  
portant prescription d'un diagnostic d'archéologie préventive

Le Préfet de région ;

Vu le code du patrimoine et notamment son livre V ;

Vu l'arrêté préfectoral n° IDF-2020-08-17-010 du 17 août 2020 portant délégation de signature à Monsieur Laurent ROTURIER, directeur régional des affaires culturelles d'Île-de-France en matière administrative ;

Vu l'arrêté n° 2020-057 du 18 août 2020 portant subdélégation de signature à Monsieur Stéphane DESCHAMPS, Conservateur régional de l'archéologie, et à Monsieur Jean-Marc GOUEDO, Conservateur régional adjoint de l'archéologie ;

Vu l'arrêté n° 2020-484 du 23 septembre 2020 portant prescription d'un diagnostic d'archéologie préventive (ORSAY, ESSONNE, Zac de Corbeville, partie ouest - PHASE 2) ;

Considérant que le précédent arrêté de désignation du responsable scientifique présentait une erreur de numérotation faisant doublon administratif.

### ARRÊTE

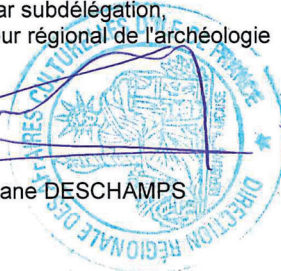
**Article 1** - le présent arrêté de désignation du responsable scientifique remplace l'arrêté n° 2020-551 en date du 9 novembre 2020.

**Article 2** - Le Directeur régional des affaires culturelles d'Île-de-France est chargé de l'exécution du présent arrêté, qui sera notifié à Monsieur Gilles DESRAYAUD, à Monsieur Franck Caro et à INRAP - Direction interrégionale Centre-Île-de-France.

Fait à PARIS, le 12 7 NOV. 2020

Pour le Préfet de Région, Préfet de Paris  
et par délégation,  
Pour le Directeur régional des affaires culturelles,  
et par subdélégation,  
Le Conservateur régional de l'archéologie

Stéphane DESCHAMPS



## 1.10. Projet scientifique d'intervention

Diagnostic archéologique D135541

ORSAY, 91, ZAC CORBEVILLE, PARTIE OUEST, PHASE 2

### Projet scientifique d'intervention

#### PSI 1.- Identification administrative de l'opération

Région	Ile de France	Département	Essonne
Commune	Orsay		
Lieu-dit	ZAC de Corbeville, partie ouest - PHASE 2		
Cadastre	Orsay : AB 588p		

Prescription	N° Arrêté	Réception	Surface	Attribution	Envoi projet
Initiale	2020-484	24-09-2020	39842 m <sup>2</sup>	24/09/2020	
Modification					

Contexte actuel	Rural	Contexte particulier	
Nature archéologique	Non stratifié		

#### PSI 2.- Problématique scientifique

Les travaux envisagés sont susceptibles d'affecter des éléments du patrimoine archéologique : sont susceptibles d'impacter des vestiges du patrimoine archéologique enfoui, particulièrement nombreux sur ce secteur du plateau de Saclay.

Il est nécessaire de mettre en évidence et de caractériser la nature, l'étendue et le degré de conservation des vestiges archéologiques éventuellement présents afin de déterminer le type de mesures dont ils doivent faire l'objet.

Objectifs : mise en évidence de la présence ou de l'absence de vestiges archéologiques. Dans l'éventualité de présence de vestiges, l'opération devra caractériser lesdits vestiges : état de conservation, profondeur d'enfouissement, épaisseur des niveaux archéologiques, densité, attribution chronologique, surface concernée.

- **Profil du responsable d'opération :**

Qualification du responsable scientifique : protohistorien ou antiquisant

Spécialité : Protohistoire

#### PSI 3.- Contraintes techniques

--

## PSI 4.- Méthodes et techniques envisagées

Principes méthodologiques : réalisation de tranchées d'évaluation ou de sondages ponctuels, adaptés à la morphologie et à la topographie du terrain, avec élargissements localisés autour des vestiges structurés. La surface ouverte en sondage doit être au minimum égale à 10 % de l'emprise du projet. Un quart des structures mises au jour doit être testé au minimum. L'intervention archéologique débutera dès lors que le terrain aura été mis en état d'être diagnostiqué.

Dans la mesure du possible, les tranchées devront être creusées en diagonale par rapport au maillage parcellaire visible sur le cadastre napoléonien.

La phase terrain de l'intervention pourra débuter après mise en état d'être diagnostiquée de l'emprise prescrite.

Les emprises devront être mises en état d'être diagnostiquées préalablement au démarrage de la phase terrain.

## PSI 5.- Volume des moyens prévus (en jours)

	Préparation		Terrain		Etude		Opération	
Autre main d'œuvre		J		J		J	0	J
Responsable Opération	3	J	20	J	30	J	53	J
Responsable Secteur		J		J		J	0	J
Spécialiste		J	6	J	16	J	22	J
Technicien		J	48	J	21	J	69	J
Technicien Spécialisé		J		J	9	J	9	J
Topographe		J	4	J	4	J	8	J
<b>Totaux</b>	<b>3</b>	<b>J</b>	<b>78</b>	<b>J</b>	<b>80</b>	<b>J</b>	<b>161</b>	<b>J</b>

- **Moyens particuliers**

Terrain	Etude
- 1 pelle 20 tonnes à chenille avec godet lisse de 3 m de large minimum durant 10 jours - 1 mini pelle avec chauffeur pendant 10 jours - Bungalow et WC - Véhicule	Analyses selon besoin

## PSI 6.- Délais de réalisation

<b>Préparation</b>	3 jours	<b>Terrain</b>	20 jours	<b>Etude</b>	30 jours
<b>Remise rapport</b>	3 mois après la fin de la phase terrain				

## PSI 7.- Observations complémentaires

Les moyens pourront être revus afin de les ajuster aux objectifs du projet. Le rapport sera réalisé en conformité avec les conditions énumérées dans l'arrêté du 27 septembre 2004 réglementant les normes de contenu et de présentation des rapports d'opérations archéologiques.

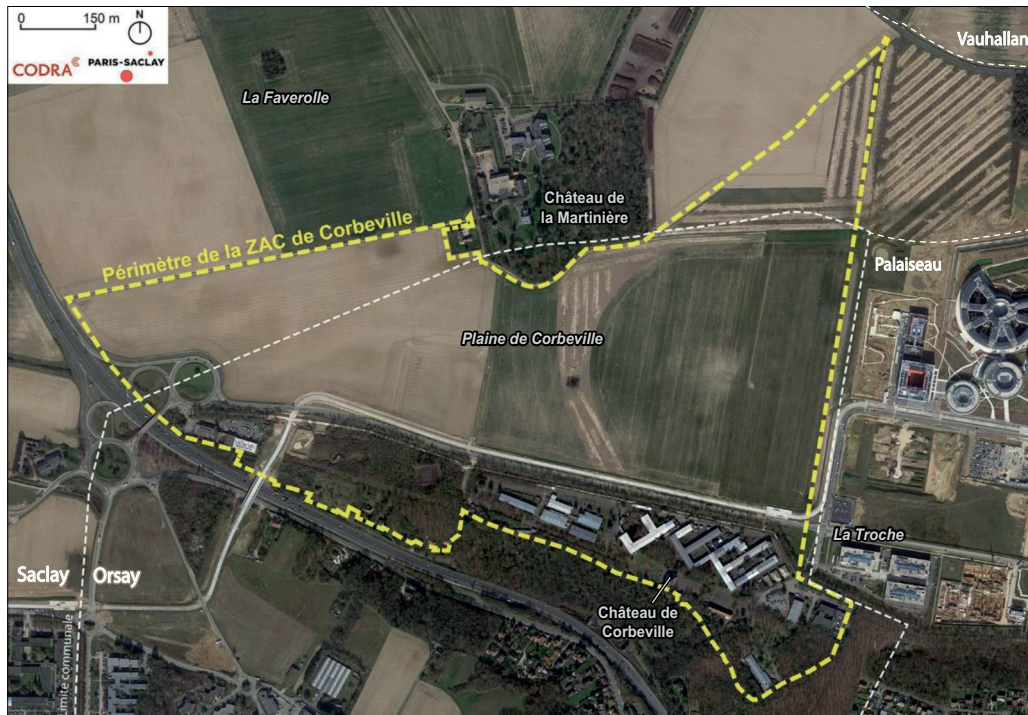
### Directeur-adjoint Scientifique et Technique

Nom du DAST

CASASOPRANA, Céline



## II. Résultats



**Fig. 03** Emprise de la Zac de Corbeville à Orsay / Saclay dans l'Essonne (91), sur une photographie aérienne de 2016  
© EPA Paris-Saclay, 2018

## 2.1. Contextes d'opération

### 2.1.1. Circonstances de l'intervention

La poursuite des aménagements de la Zac de Corbeville<sup>1</sup> à Orsay, dans l'Essonne, a donné lieu à la prescription, par les services de l'Etat, de sondages archéologiques préventifs complémentaires sur 4 ha (arrêté 2020-484 ; cf. § 1.8 ; **Fig. 01, 02 et 03**).

Les parcelles Nord (AB 631) et Sud (AB 635p), de superficies à peu près égales, sont séparées par le tracé de la ligne du métro 18, diagnostiqué en janvier 2020<sup>2</sup> (cf. § 5 Pl. 01 ; **plan joint**).

### 2.1.2. Contexte archéologique

Depuis une vingtaine d'années, le plateau de Saclay, sujet à une opération d'urbanisme d'intérêt national, a fait l'objet de nombreuses interventions et découvertes archéologiques<sup>3</sup> (**Fig. 04**).

Les contextes archéologique micro-régional et historique communal sont présentés en détail par Cyril Giorgi et Benoît Dupéré, dans leurs rapports respectifs de 2018, 2019 et 2020<sup>4</sup>.

L'environnement archéologique local du diagnostic de la Zac de Corbeville, partie Ouest, phase 2, est synthétisé dans la figure 05 (**Fig. 04 : n°50 ; Fig. 05**).

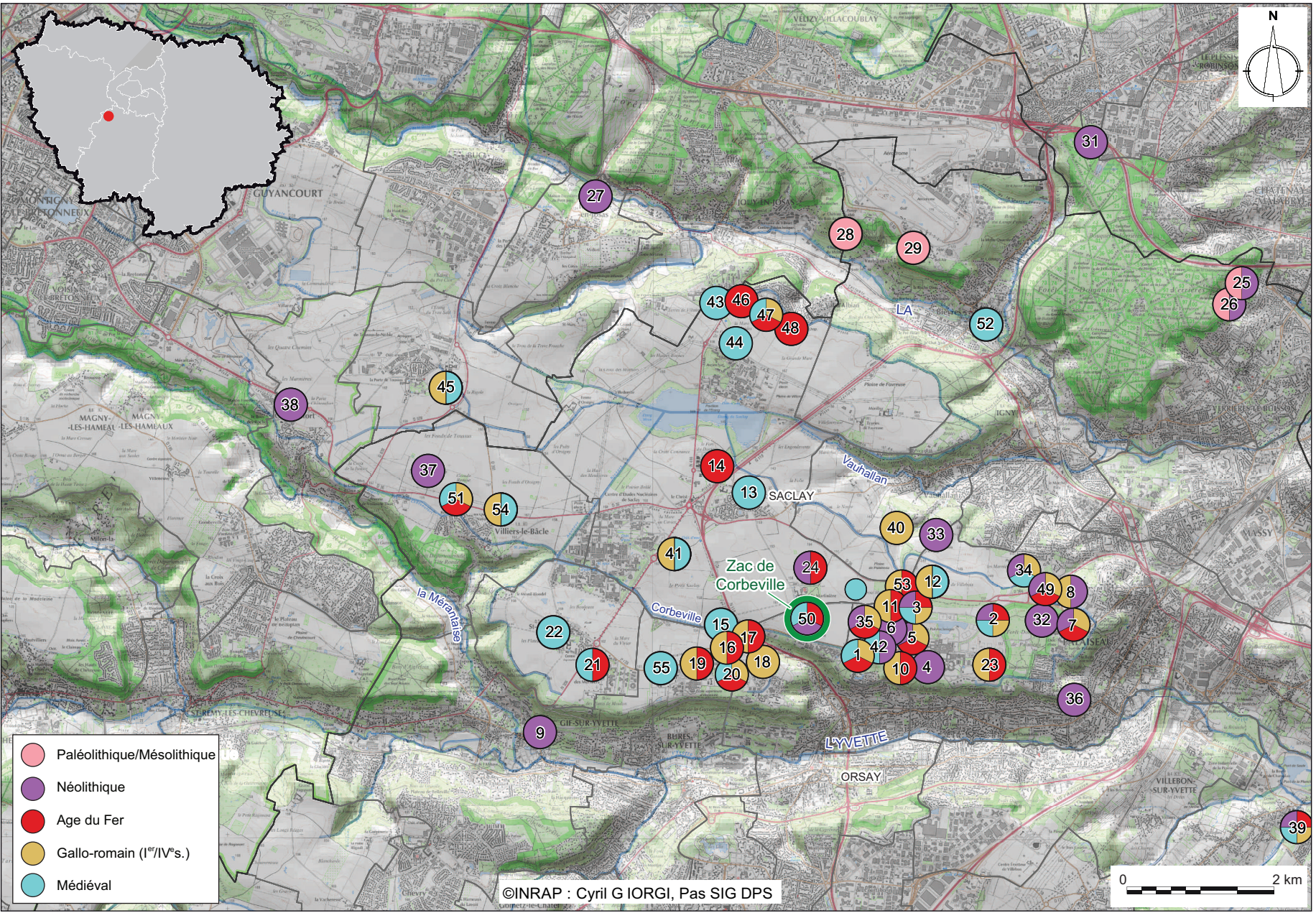
---

1. *PROJET URBAIN DU SECTEUR DE CORBEVILLE 2018*

2. DUPÉRE 2020-A

3. GIORGI 2018 : p. 36 ; GIORGI 2020

4. GIORGI 2018 : pp. 47-61 ; GIORGI 2019-A : pp. 38-51 ; DUPÉRE 2020-A : pp. 28-30



©INRAP : Cyril G IORGI, Pas SIG DPS

Fig. 04 Carte de localisation des principaux sites archéologiques mis au jour sur et aux abords du plateau de Saclay, sur fond IGN © INRAP : C. Giorgi, tiré de GIORGI 2018 : fig. 8 p. 48

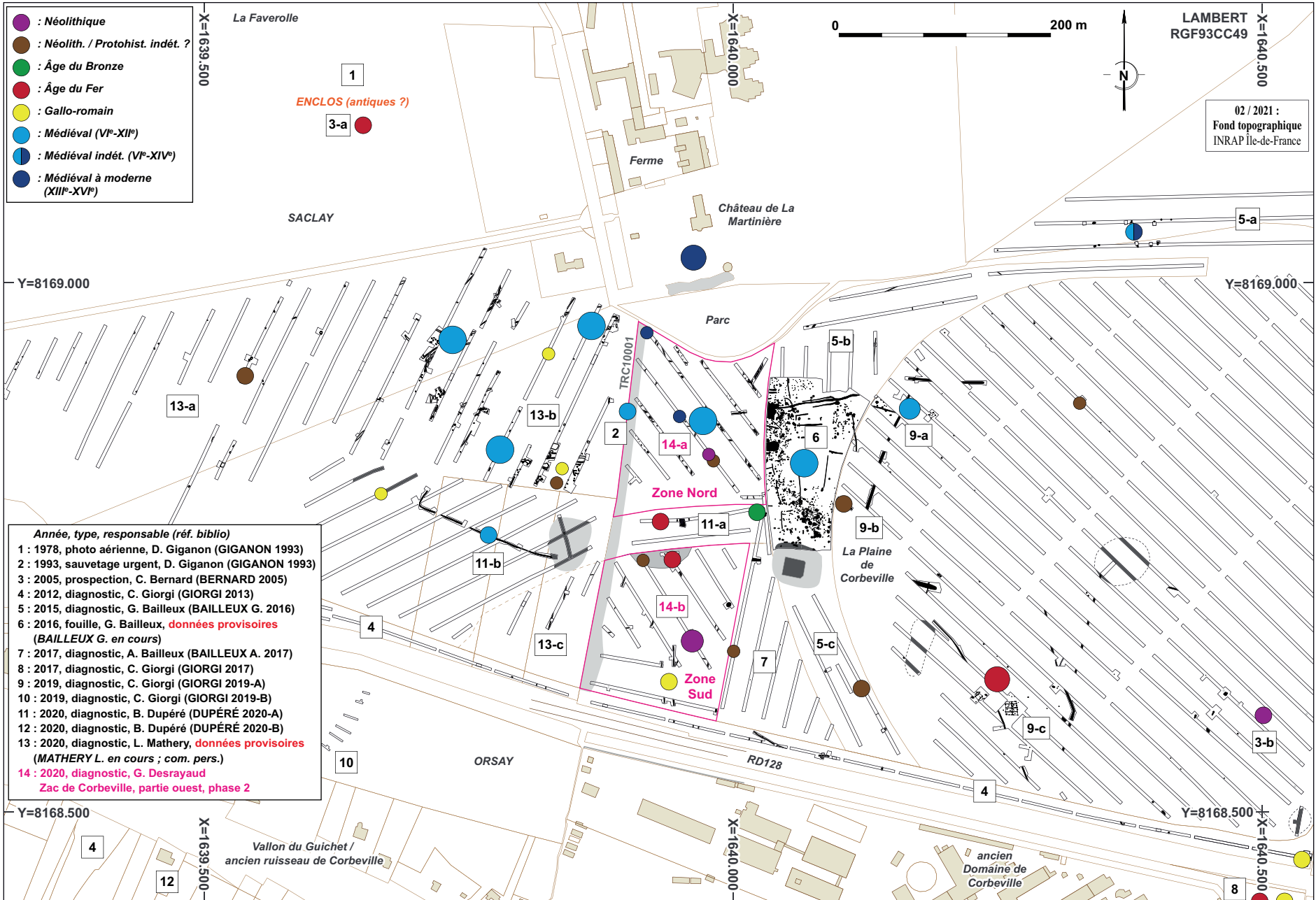


Fig. 05 Zac de Corbeville, partie O, phase 2, environnement archéologique local © INRAP : G. Desrayaud

A environ 500 m à l'Est de la Zone Sud, quelques pièces lithiques, attribuables au Néolithique, ont été collectées lors d'une prospection pédestre, en 2005 (BERNARD 2005 ; Fig. 05 : n°3-b). Des éléments erratiques de cette période ont été retrouvés dans tout ce secteur de la Zac<sup>5</sup>. A environ 1 km à l'ESE, sur la commune de Palaiseau, École polytechnique, un site chasséen (Néolithique moyen II, entre 4000 et 3500 av. J.-C.) a été fouillé sous la direction de Juliette Durand en 2012 (Fig. 04 : n°6 ; DURAND 2016)

Légèrement en deçà de l'angle SE de la Zone Nord, une fosse de l'âge du Bronze final (entre 1400 et 800 avant J.-C.) a été découverte en 2020<sup>6</sup> (Fig. 05 : n°11-b). A ce jour (02/2021), aucun site conséquent de cette période n'a été détecté sur le plateau de Saclay (Fig. 04).

Entre les zones Sud et Nord et dans un périmètre de 100 m à 300 m au SE, quelques fosses, silos, segments fossoyés et, notamment, au moins deux bâtiments sur poteaux plantés, semblent pouvoir être attribués à la période protohistorique au sens large, ou, plus particulièrement, à l'âge du Fer<sup>7</sup> (Fig. 05 : n°5-c, 7, 9-b, 9-c et 11-a).

Le site exceptionnel du "Sud-Ouest du Rond-Point de Corbeville" à Gif-sur-Yvette, hameau de la fin du VI<sup>e</sup> et/ou début du V<sup>e</sup> s. avant J.-C., fouillé par Olivier Blin en 2005, se situe quant à lui à environ 1 km plus au SO (Fig. 04 : n°17 ; BLIN 2016)

Pour l'âge du Fer, sur la Zac de Corbeville, les attributions chronologiques de la céramique s'échelonnent entre la transition Hallstatt / La Tène ancienne et/ou La Tène moyenne<sup>8</sup>.

Sur le diagnostic de 2019 (Fig. 05 : n°9-c), la morphologie "à pans coupés" du bâtiment UA-3 évoque plutôt la période gauloise<sup>9</sup>.

A environ 350 m vers le NO, à l'Ouest de la ferme de la Martinière, une photographie aérienne, obtenue par Daniel Giganon en 1978, révèle la présence de traces fossiles s'apparentant à un ou plusieurs enclos<sup>10</sup>. En cet endroit, en 2005, une prospection pédestre, dirigée par Claire Bernard, a permis de mettre en évidence une petite concentration de tessons de céramique modelée, attribuables à l'âge du Fer<sup>11</sup> (Fig. 05 : n°1 et 3-a).

Les établissements ruraux d'ampleur gaulois et gallo-romains connus, les plus proches, se situent respectivement à environ 500 m à l'ESE ("la Troche"<sup>12</sup>), à 1 km au SO ("la Mare Champrier / Moulon"<sup>13</sup>) et à 1,2 km à l'ENE ("les Trois Mares"<sup>14</sup>).

Les *villae* de la Troche et de Moulon possédaient, entre autres, des salles chauffées par hypocaustes (GIORGI 2020). Pour la seconde, un secteur de la partie résidentielle, fouillé entre 1994 et 1998 par l'Association des Activités Culturelles du Commissariat à l'Energie Atomique et aux Energies Alternatives (AAC-CEA), a été mise en valeur, et peut être encore aujourd'hui visité<sup>15</sup>.

5. GIORGI 2019-A : p. 128-129, 133 ; DUPÉRE 2020-A : p. 55

6. DUPÉRE 2020-A : p. 55-57 et BRUNET P. dans DUPÉRE 2020-A : pp. 69-71

7. BAILLEUX G. 2016 : pp. 39-42 ; BAILLEUX A. 2017 : p. 32 ; GIORGI 2019-A : pp. 63-73, 77-78, 133 et 137 ; DUPÉRE 2020-A : p. 55-59

8. Paul BRUNET dans : GIORGI 2019-A : pp. 121-123 ; dans : DUPÉRE 2020-A : pp. 70-71

9. GIORGI 2019-A : p. 71 fig. 21

10. Saclay, sud de la parcelle 0D-38 ; GIGANON 1993 : p. 9 photo n° 1

11. BERNARD 2005 : p. 12-S. 2

12. Fig. 03 ; Fig. 04 : n°1 ; Fig. 05 : n°8 ; GLISONI 2015 et 2016 ; GIORGI 2017

13. Fig. 04 : n°16 ; GIGANON 1999

14. Fig. 04 : n°11 ; GIORGI 2018

15. <https://www.archeoaccea.chez.com/moulon>

« Au début du mois de mai 1993, la pose de canalisations d'assainissement, entre la ferme de La Martinière (commune de Saclay) et la route Départementale 128 (...), [a nécessité] le décapage d'une large bande de terrain. L'examen de la surface décapée [a permis] de déceler un site inédit présentant plusieurs fosses, des foyers ou des fours domestiques ainsi que des traces d'empierrements ; les tessons de céramique granuleuse répandus en surface [indiquent] une occupation du haut Moyen-Âge (...). Grâce à une intervention de M. Michel PETIT auprès du propriétaire du terrain et de l'entreprise (...), un délai de trois jours [a été] accordé pour fouiller les structures les plus importantes. » (GIGANON 1993 : p.3 ; fouille de sauvetage urgent de l'AAC-CEA).

Plusieurs fragments de céramiques carolingiennes, ainsi qu'une plaque décorative en "os", ont été collectés (GIGANON 1993 p. 12-18). La bande explorée, d'environ 90 m de longueur sur 16 m de largeur, se situe le long du côté occidental de la Zone Nord, à l'emplacement de la tranchée récente TRC10001, entre les tranchées de diagnostic 02 et 05 (cf. § 5 : **Pl. 01** ; **plan joint**). En raison de coordonnées topographiques trop imprécises, le plan sommaire des vestiges n'a pas pu être récolé précisément<sup>16</sup>.

De 2015 à 2019, à l'Est de la Zone Nord, la partie orientale d'un dense "habitat groupé" médiéval a été identifiée sur deux hectares<sup>17</sup>. Un peu plus d'un hectare a été fouillé en 2016, sous la direction de Grégoire Bailleux (**Fig. 05** : n°6 ; **BAILLEUX G. en cours**).

Réalisé en septembre et octobre 2020 par Laëtitia Mathery, le diagnostic de la partie Ouest de la Zac de Corbeville, PHASE 1, semble indiquer le prolongement du site sur au moins 5 hectares à l'Ouest de la Zone Nord (**Fig. 05** : n°13-b ; **MATHERY en cours**).

Toutes opérations confondues, les vestiges médiévaux découverts se composent de multiples bâtiments sur poteaux plantés, fosses, fossés, fours, "fonds de cabanes", petits groupes de sépultures... On peut souligner la présence d'un probable atelier métallurgique sur le décapage de 2016, en limite orientale de la Zone Nord (Ph. LORQUET : cf. § 3.10). Le mobilier céramique collecté correspond essentiellement aux productions s'échelonnant entre le VI<sup>e</sup> s. et le XII<sup>e</sup> s. ap. J.-C.<sup>18</sup>

En bordure Nord, sur la commune actuelle de Saclay, le château de la Martinière est mentionné au XIV<sup>e</sup> s. (FIORÈSE 2018), mais sa construction est sans doute antérieure. Malgré sa proximité, sa relation avec l'habitat haut Moyen Âge à classique de la Plaine de Corbeville, principalement localisé sur la commune actuelle d'Orsay, reste à déterminer (**Fig. 05**). A environ 500 m plus au SE, le château de Corbeville<sup>19</sup> est construit au XVI<sup>e</sup> s. (**Fig. 03**).

### 2.1.3. Contextes géographique et géologique

A une vingtaine de kilomètres au SO du centre de Paris, au Nord de la région naturelle du Hurepoix (pays de Josas), la Plaine de Corbeville se situe sur le rebord SE du plateau limoneux de Saclay, le long de la vallée de l'Yvette. Elle est bordée au Sud par le Vallon du Guichet (**Fig. 01, 03 et 04**)<sup>20</sup>.

16. **Fig. 05** : n°2 GIGANON 1993 : p. 8, 10 et 11

17. **Fig. 05** : n°5-b, 7, 9-a ; BAILLEUX G. 2016 : pp. 51-84 ; BAILLEUX A. 2017 : pp. 33-37 ; GIORGI 2019-A : pp. 85-89, 93-94, 133, 137 ;

18. Annie LEFEVRE dans : BAILLEUX G. 2016 : pp. 90-98 ; dans : BAILLEUX A. 2017 : p. 41 ; dans : GIORGI 2019-A : pp. 124-125 ; et com. pers.

19. [https://www.fr.wikipedia.org/wiki/Château\\_de\\_Corbeville\\_\(Orsay\)](https://www.fr.wikipedia.org/wiki/Château_de_Corbeville_(Orsay))

20. Voir : GIORGI 2019-A : pp. 29-31 ; et Maxime AUBIER dans : DUPÉRE 2020-A : p. 26

La *Carte géologique à 1/50000* (1975, 1989) indique une couverture limoneuse (LP), reposant sur des sables argileux épisodiques (m1b/P, Sables de Lozère ; GÉLIOT, FROMOT 2014) et des argiles à meulière (g2b2/g3a ; **Fig. 06**)<sup>21</sup>.

#### 2.1.4. Moyens et méthodes mis en œuvre

L'intervention sur le terrain s'est déroulée du 16 novembre au 11 décembre 2020.

En raison d'une suspicion de présence d'engins explosifs de la 2<sup>nd</sup>e Guerre Mondiale<sup>22</sup>, un diagnostic pyrotechnique des parcelles, pris en charge par l'EPA Paris-Saclay, a été réalisé par la société EOD-EX début novembre 2020 : « *Les mesures magnétiques montrent des anomalies isolées présentes de manière très dense sur l'ensemble des zones (...)* » (EOD-EX 2020 : p. 8 et voir plans).

Selon les termes de la convention D135541 passée entre l'Inrap et l'aménageur, l'ouverture des tranchées archéologiques a été conditionnée par l'accompagnement obligatoire d'un démineur. Emmanuel Lebouil, opérateur EOD-EX, a été présent avec les agents de l'Inrap, du lundi midi au jeudi soir, pendant les deux premières semaines d'intervention. Aucun élément de munition n'a été détecté. Les anomalies magnétiques semblent correspondre pour la plupart à l'épandage d'éléments ferreux dans la couche superficielle des labours. Un "bruit de fond" de mobilier "moderne" avait d'ailleurs été repéré sur le secteur en 2005, lors de prospections pédestres (BERNARD 2005 : p. 2, p. 12-13). Pour la partie méridionale de la Zone Sud, certains signaux magnétiques proviennent de poches de cailloutis silico-calcaire ferrugineux géologique, présentes à faible profondeur ou affleurant sous les labours récents<sup>23</sup>. Un petit échantillonnage de ces éléments a été prélevé et confié à Philippe Lorquet (Inrap), pour étude (cf. § 3.10).

Le long du côté Sud de la Zone Nord, une bande représentant 1097 m<sup>2</sup> n'a pas pu être appréhendée, en raison de la présence d'un merlon de terre de 76 m de longueur, sur 15 m de large et environ 4 m de hauteur (**Fig. 07 et 08**). Dans la partie méridionale de la Zone Sud, sur la demande de Quentin Dermersedian, chargé de projets EPAPS, et en accord avec Christian Piozzoli, prescripteur du Service Régional de l'Archéologie d'Île-de-France, une bande de 2947 m<sup>2</sup> a été "mise en réserve", et n'a pas été sondée (**Fig. 07**).

20 tranchées, dont certaines comportant des fenêtres complémentaires, avec sondages, ont été creusées à la pelle mécanique 20 t avec un godet de 3 m, selon un maillage régulier (8 jours ouvrés).

21. Voir également: GIORGI 2019-A : pp. 32-38 ; et M. AUBIER dans : DUPÉRE 2020-A : pp. 26-27

22. Claude de MECQUENEM dans : DUPÉRE 2020-A : pp. 32-33

23. Voir cf. § 4.1 : SD11011 et prélèvements 11049 et 11050

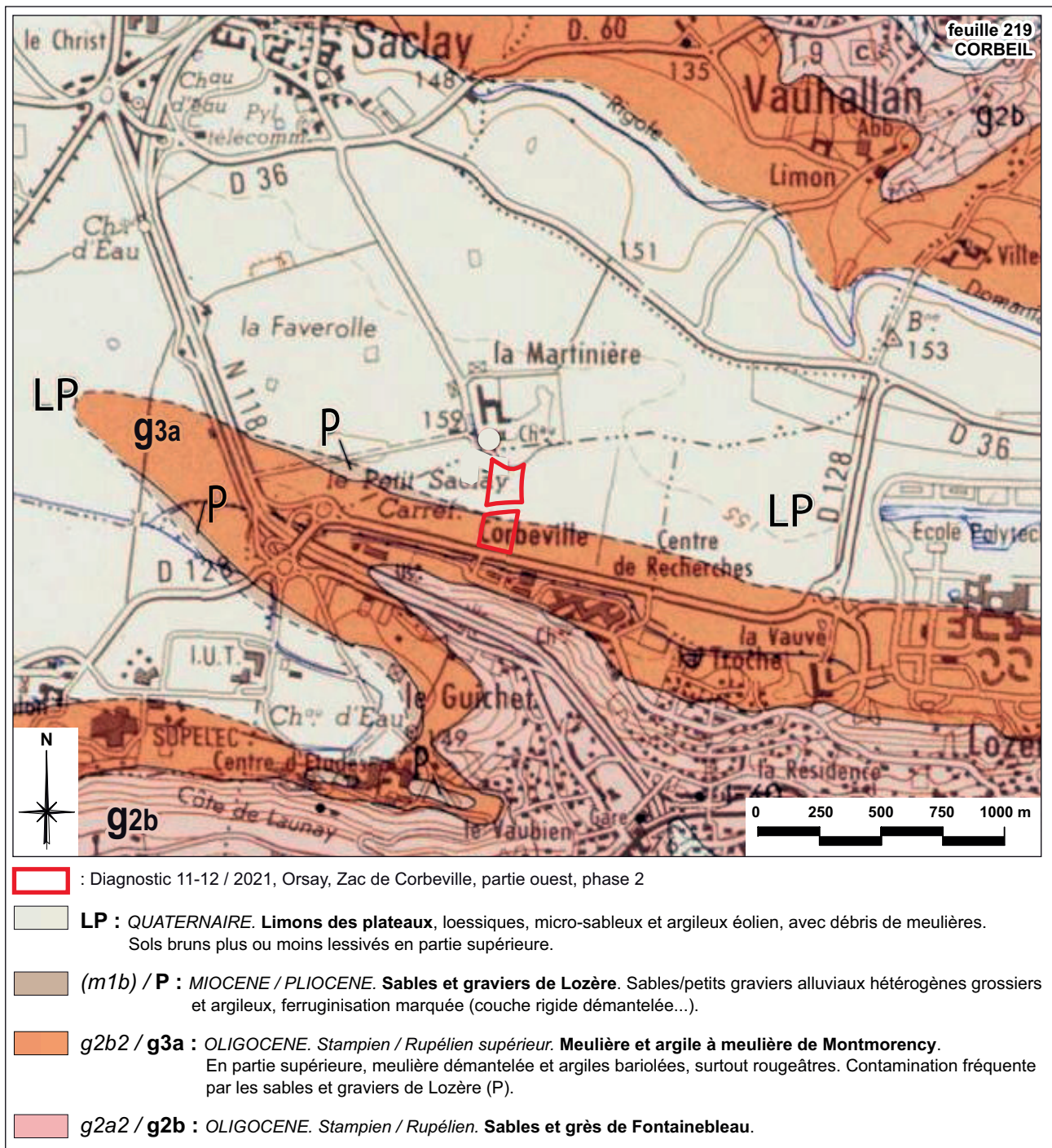


Fig. 06 Essonne, Orsay, Zac de Corbeville, partie Ouest, phase 2, contexte géologique (extrait à 1/25000 de la Carte géologique à 1/50000, feuille 219, CORBEIL, Ministère de l'Industrie, Service de la Carte Géologique de la France © BRGM

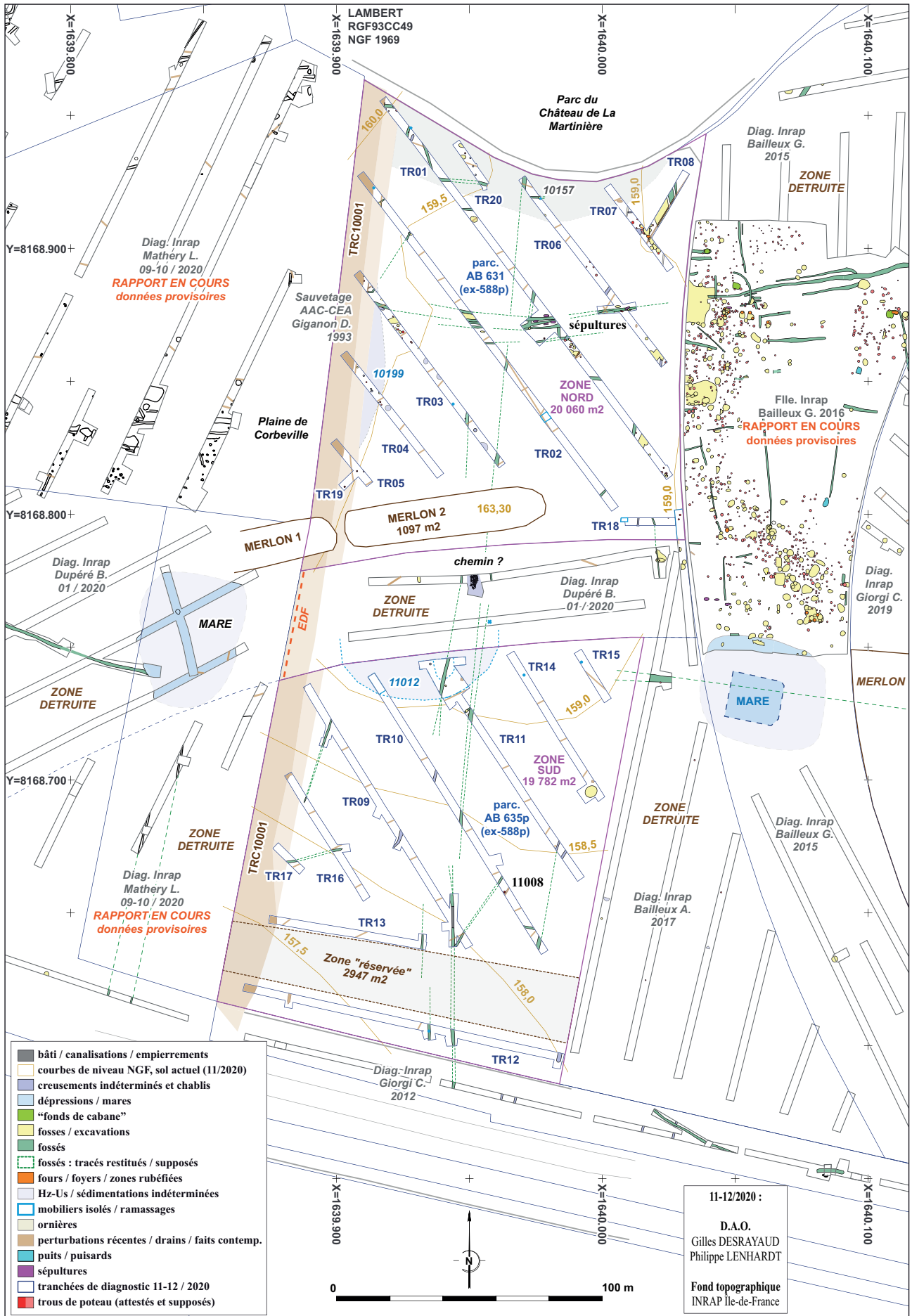


Fig. 07 Orsay (91), Zac de Corbeville, partie Ouest, phase 2, plan général © INRAP



**Fig. 08** Orsay (91), Zac de Corbeville, partie Ouest, phase 2, merlon de terre dans l'angle SO de la Zone Nord, vue depuis le NO, le 20/11/2020 (cliché n°031) © INRAP : G. Desrayaud

**Fig. 09** Orsay (91), Zac de Corbeville, partie Ouest, phase 2. Surfaces des tranchées de diagnostic archéologiques

© INRAP : G. Desrayaud, Ph. Lenhardt

11 % de la surface totale de la Zone Nord (20 060 m<sup>2</sup>) ont été décapés (2216,5 m<sup>2</sup>). La Zone Sud (19 782 m<sup>2</sup>) a été testée à hauteur de 11,9 % (2358 m<sup>2</sup> ; **Fig. 09 et 10**).

Tranchées	surf. m <sup>2</sup>
TR01	615,5
TR02	468,5
TR03	267
TR04	173,5
TR05	62,5
TR06	291,5
TR07	115
TR08	81,5
TR18	58
TR19	22
TR20	61,5
<b>TOT Z. Nord</b>	<b>2216,5 m<sup>2</sup></b>

Tranchées	surf. m <sup>2</sup>
TR09	433,5
TR10	376,5
TR11	437
TR12	418
TR13	187,5
TR14	220,5
TR15	66,5
TR16	177
TR17	41,5
<b>TOT Z. Sud</b>	<b>2358 m<sup>2</sup></b>
<b>TOT diag.</b>	<b>4574,5 m<sup>2</sup></b>

Hors creusements contemporains et chablis attestés, près de 200 faits archéologiques ont été repérés (170 en Zone Nord et 27 en Zone Sud ; voir **cf. § 4.2**). Plus d'une quarantaine de sondages ont été réalisés à la pelle 20 tonnes, ou, principalement, avec une minipelle 5 tonnes (7 jours ouverts), et 7 vestiges ont été fouillés ou testés manuellement (notamment 3 sépultures ; **cf. § 5 ; plan joint**).

Les unités (Us) et horizons (Hz) stratigraphiques ont été décrits et numérotés selon la méthodologie en vigueur<sup>24</sup>. Chaque entité possède un code numérique composé par le n° de zone suivi des trois chiffres séquentiels : 10 001 = zone 10, fait n° 001. Afin d'éviter des doublons avec les opérations voisines, les zones Nord et Sud ont été respectivement identifiées comme zone 10 et 11 (**Fig. 07**).

Afin de limiter la multiplication des numéros, chaque fait en creux a été enregistré en tant qu'Us composite : creusement-s + comblements. Par commodité de lecture, les Us / Hz composant un fait sont notés en tant que subdivisions numériques ou alphabétiques (par ex., première Us du fait 11001 = 11001+1, 11001-A ou 11001a...). À chaque catégorie de faits correspond un code de deux lettres précédant le numéro (par. ex. : fosse +110010 = FS110010). Selon la même méthode, les ensembles (regroupements de faits ou de segments de faits) possèdent un code à trois lettres (par ex. : tranchée d'assainissement 10001 = TRC10001).

24. HARRIS 1989 ; BAIZE, JABIOL 1995 ; PY 1997 ; **cf. § 4.1**



**A** : Vue panoramique de la Zone Nord (en deux parties), depuis le Sud, le 27/11/2020 ;  
à l'arrière plan, bosquet du parc de la Martinière (cliché n° 124 ; © INRAP : G. Desrayaud)



**B** : Vue panoramique de la Zone Sud, depuis le Nord, le 27/11/2020 ;  
au premier plan, travaux de la ligne du métro 18 (cliché n° 125 ; © INRAP : G. Desrayaud)

## 2.2. Présentation de la stratigraphie et des vestiges

Ne sont mentionnés ci-après que les éléments remarquables.

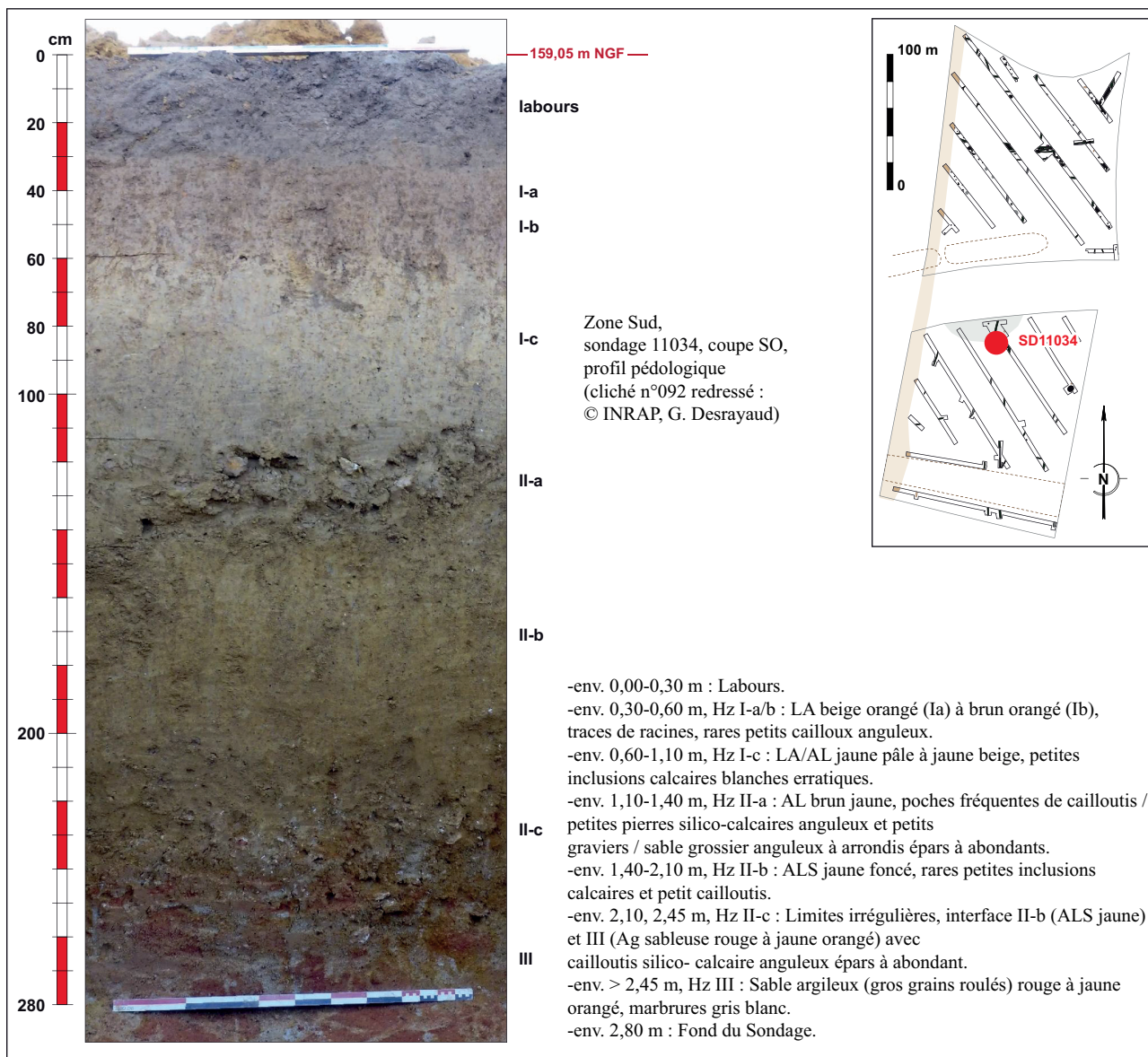
La totalité des unités / horizons stratigraphiques et faits est décrite dans les inventaire § 4.1 et 4.2, ainsi que les planches **PI. 002 à 036** du § 5.

Les mobiliers sont présentés dans l'inventaire § 4.3 ; les éléments de datation dans le § 4.4.

### 2.2.1. Profils sédimentaires

**Fig. 11** Orsay (91), Zac de Corbeville, partie Ouest, phase 2. Sondage 11034, séquence quaternaire © INRAP : G. Desrayaud

Plusieurs coupes ont permis d'observer la séquence sédimentaire pédologique sous labours récents<sup>25</sup>, jusqu'à 2,8 m de profondeur dans le sondage 11034 (**Fig. 11-12** ; cf. § 5 : **PI. 012**).



25. Horizons I-a-c, II-a-c et III ; cf. § 5 : **PI. 003, 005, 008, 018, 033, 034**

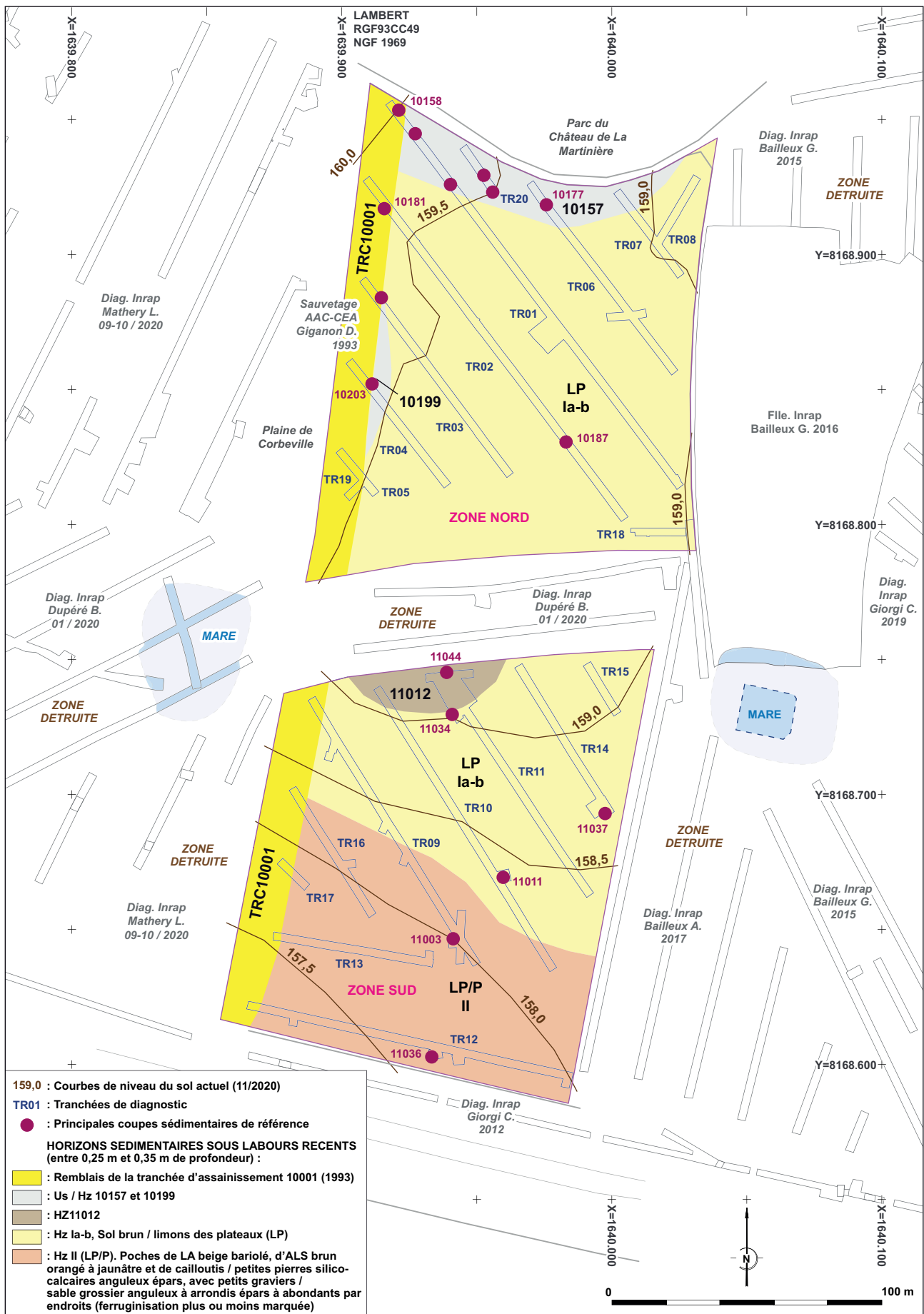


Fig. 12 Orsay (91), Zac de Corbeville, partie Ouest, phase 2. Horizons sédimentaires sous les labours récents © INRAP : G. Desrayaud

### 2.2.1.1. Horizons géologiques : séquence quaternaire

L'horizon I correspond à la partie haute des limons de plateaux (LP), avec Sol brun plus ou moins lessivé en limite supérieure (Hz Ia-b ; **Fig. 06, 11**). Il atteint 1 m d'épaisseur au Nord de l'emprise (SD10177 ; cf. § 5 : **Pl. 033-034**). Dans la moitié méridionale de la Zone Sud, amorce du versant Nord du Vallon du Guichet, il est presque entièrement érodé en deçà des 158,00 m NGF sous labours, au profit de l'horizon II sous-jacent, qui affleure (**Fig. 06**).

L'horizon II possède une matrice argilo-limoneuse à sableuse (II-b) avec des poches / litages de cailloutis silico-calcaire en partie supérieure (II-a) et inférieure (II-c), présentant une concentration de fer parfois marquée<sup>26</sup>. Ses limites sont irrégulières (cryoturbées ?). Il a été observé sur un peu plus d'1 m d'épaisseur dans le sondage 11034 (**Fig. 11**). Il semble s'agir d'une phase quaternaire ancienne, mélangeant limons de plateaux, sables et graviers (de Lozère remaniés ? GÉLIOT, FROMOT 2014). En partie basse de la Zone Sud, elle n'est plus conservée que sur 10 cm à 30 cm d'épaisseur sous labours<sup>27</sup>.

L'horizon III, argiles et sables argileux jaune orangé à rougeâtres, semble correspondre au sommet des argiles à meulière tertiaires de Montmorency, avec nappes de Sables de Lozère superficielles<sup>28</sup>. Il a été observé entre 157,5 m et 156,5 m NGF dans la Zone Sud<sup>29</sup>.

### 2.2.1.2. Horizons superficiels

Le long du côté Ouest de l'emprise, sur une quinzaine de mètres de largeur maximum, une bande de remblais récents argileux jaunâtres (TRC10001) correspond à la pose d'un réseau d'assainissement et électrique en 1993 (**Fig. 12** ; GIGANON 1993).

En Zone Nord, des vestiges sont conservés sous le bord évasé oriental de la tranchée d'implantation, sur 5 m à 6 m de large, jusqu'à une trentaine de centimètres sous les labours récents, qui la recouvre<sup>30</sup>. Une légère butte de terre est d'ailleurs perceptible au niveau du sol actuel (courbe des 159,5 m NGF ; **Fig. 12**).

Le creusement central, plongeant à plus d'1,5 m de profondeur, paraît suivre la limite cadastrale des parcelles AB 631 et AB 635 p (**Fig. 07** ; **plan joint**). Un phénomène similaire d'arasement et recouvrement des vestiges est donc probable sur sa marge occidentale, dans la parcelle diagnostiquée par Laëtitia Mathery en septembre et octobre 2020 (*MATHERY en cours*).

En Zone Nord, le long de la limite Est de la tranchée récente 10001, qui le recoupe, un horizon sous labours de limon argileux gris à beige (10199), avec quelques plages charbonneuses, a été observé dans les tranchées de diagnostic 03 et 04 (**Fig. 12** ; cf. § 5 : **Pl. 016, 021**). D'une vingtaine de centimètres d'épaisseur maximum et jusqu'à environ 6 m de largeur, sa relation avec les vestiges archéologiques est incertaine.

Il n'a pas été possible de déterminer s'il s'agit d'une perturbation liée aux travaux des années 1990, d'un lambeau de labours antérieurs, ou encore d'un fond d'excavation ancienne... Il se situe à peu près à l'endroit de la fouille de sauvetage urgent de l'AAC-CEA (GIGANON 1993).

26. Voir cf. § 2.1.4, *supra* ; Ph. LORQUET : cf. § 3.10

27. cf. § 5 : **Pl. 002, 003 et 005**

28. m1b-P / g3a : **Fig. 06** ; GÉLIOT, FROMOT 2014

29. SD11003 et 11034 ; **Fig. 11** ; cf. § 5 : **Pl. 005 et 012**

30. cf. § 5 : **Pl. 014, 016, 021, 028, 031**

En limite Nord, le long du chemin courbe du parc de la Martinière, sous les labours récents, une unité sédimentaire (10157), d'une vingtaine de mètres de large pour 0,2 à 0,3 m d'épaisseur maximum, recouvre les faits archéologiques (Fig. 12 ; cf. § 5 : Pl. 030 à 034).

Elle est antérieure aux remblais 10001 de 1993. Elle contient de rares petits tessons de faïence, indiquant une origine moderne à contemporaine. Elle est peut-être à mettre en relation avec les remaniements du château de la Grande Martinière au XIX<sup>e</sup> s. (voir GIORGI 2019-A : p. 45, 51), et à l'implantation du chemin actuel.

## 2.2.2. Vestiges de la Zone Sud

### 2.2.2.1. Zone Sud, fait 11008 : dépôt du Néolithique récent

Au centre Sud-Est de la Zone Sud, le fait 11008, identifiable comme un trou de poteau avec négatif, calage et avant-trou, a livré deux haches polies, quelques éléments lithiques, de la céramique modelée, ainsi qu'une molette de mouture (Fig. 13 et 14 ; cf. § 5 : Pl. 006 et 007). Une datation radiocarbone sur charbons, prélevés dans les Us 11008-A et B, semble situer son comblement pendant l'intervalle 3341-3031 avant notre ère, à la période dite du Néolithique récent<sup>31</sup>.

A cause de sa position isolée dans la tranchée de diagnostic n°10, sur le bord d'un drain contemporain, dans un secteur peu dense en vestiges, il n'a pas attiré l'attention des fouilleurs de prime abord. La dernière semaine de chantier, le matin du lundi 7 décembre, il a fait l'objet d'une coupe "à 50 %", partiellement mécanisée (SD11039), sans que la présence de mobilier particulier ne soit remarquée. Ce n'est que deux jours et demi plus tard, lors de la vidange manuelle de la seconde moitié ("Ouest"), en raison de quelques tessons non tournés en surface, que les haches polies ont été découvertes, vers le fond du creusement. Malheureusement, l'engagement de la minipelle 5 tonnes étant terminé, il n'a pas été possible de réaliser d'ouverture supplémentaire en plan.

La localisation exacte des mobiliers n'a pas fait l'objet d'un relevé détaillé in situ, si ce n'est la position de la hache polie de 398 g, dont le talon apparaît sur les photographies de coupe (Fig. 14).

-Trois éclats de silex taillé (32 g) sont issus de la fouille manuelle de la moitié ONO, sans plus de précision.

-Des fragments épars de céramique modelée (500 g), issus d'un même vase, proviennent de la partie supérieure des 2/3 ONO du "négatif" 11008-A1.

-Une molette de mouture (2565 g), servant apparemment de calage avec deux autres pierres (11008-A2), a été prélevée lors de la fouille mécanique du tiers ENE.

-Deux haches polies (111 g et 398 g), étaient posées "à plat", la plus petite "au-dessus" de l'autre, dans les 20 centimètres inférieurs des 2/3 ONO du "négatif" 11008-A1.

Les études détaillées des artefacts par Juliette Durand, Stéphane Durand et Cécile Monchablon, sont présentées dans les annexes 2 à 4 (cf. § 3.2 à 3.4). Elles concordent avec une attribution au Néolithique récent, et semblent indiquer la nature volontaire et non détritique du dépôt.

La présence d'un tel assemblage dans un vestige en creux identifié est suffisamment rare pour être soulignée (voir *infra*, cf. § 3.5 : J. DURAND, S. DURAND, C. MONCHABLON).

31. cf. § 3.1 : Beta -582727 à 95,4 % ; COTTIAUX, SALANOVA ET AL. 2014

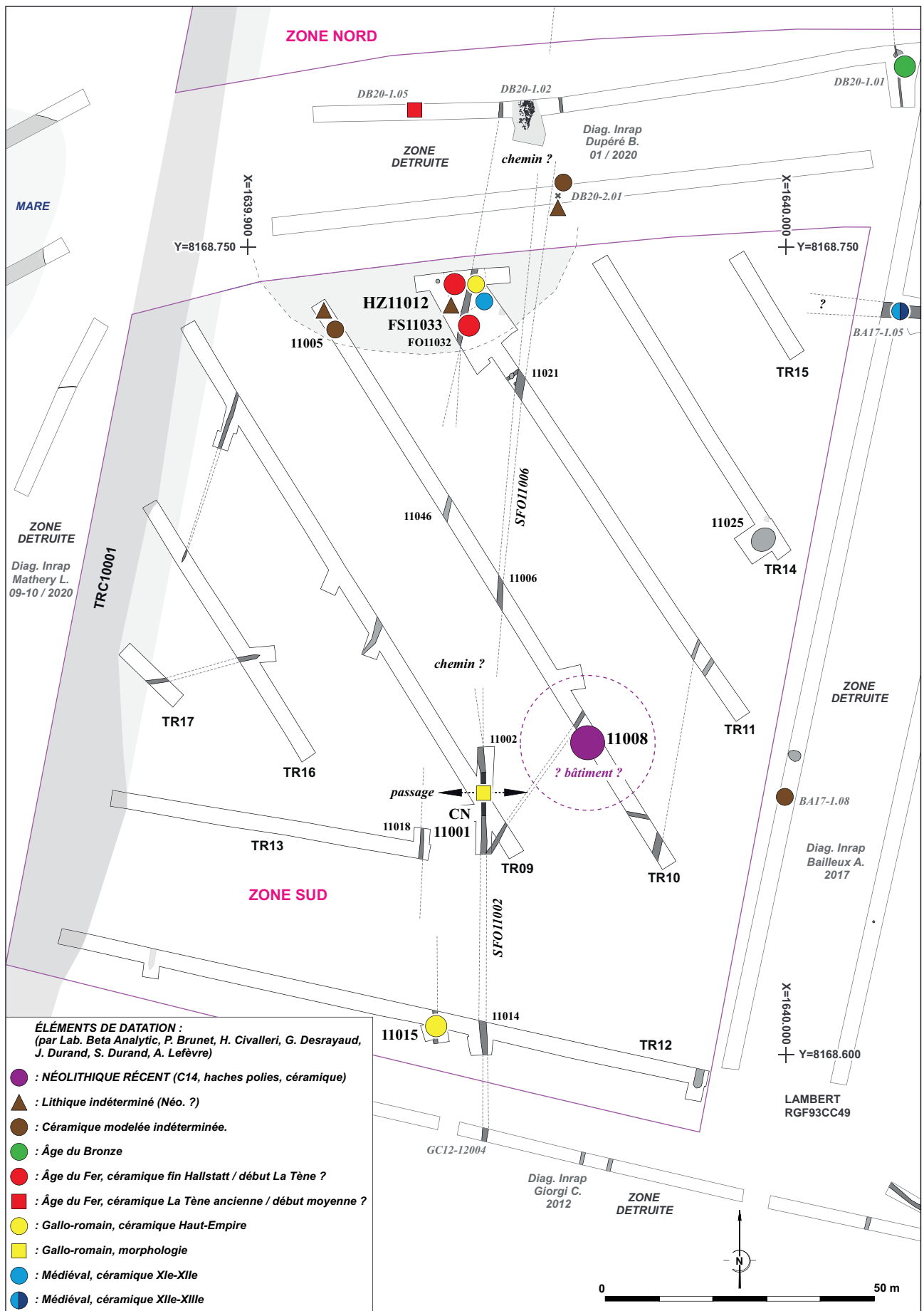


Fig. 13 Orsay (91), Zac de Corbeville, partie Ouest, phase 2. Zone Sud, plan simplifié des vestiges et éléments de datation © INRAP : G. Desrayaud

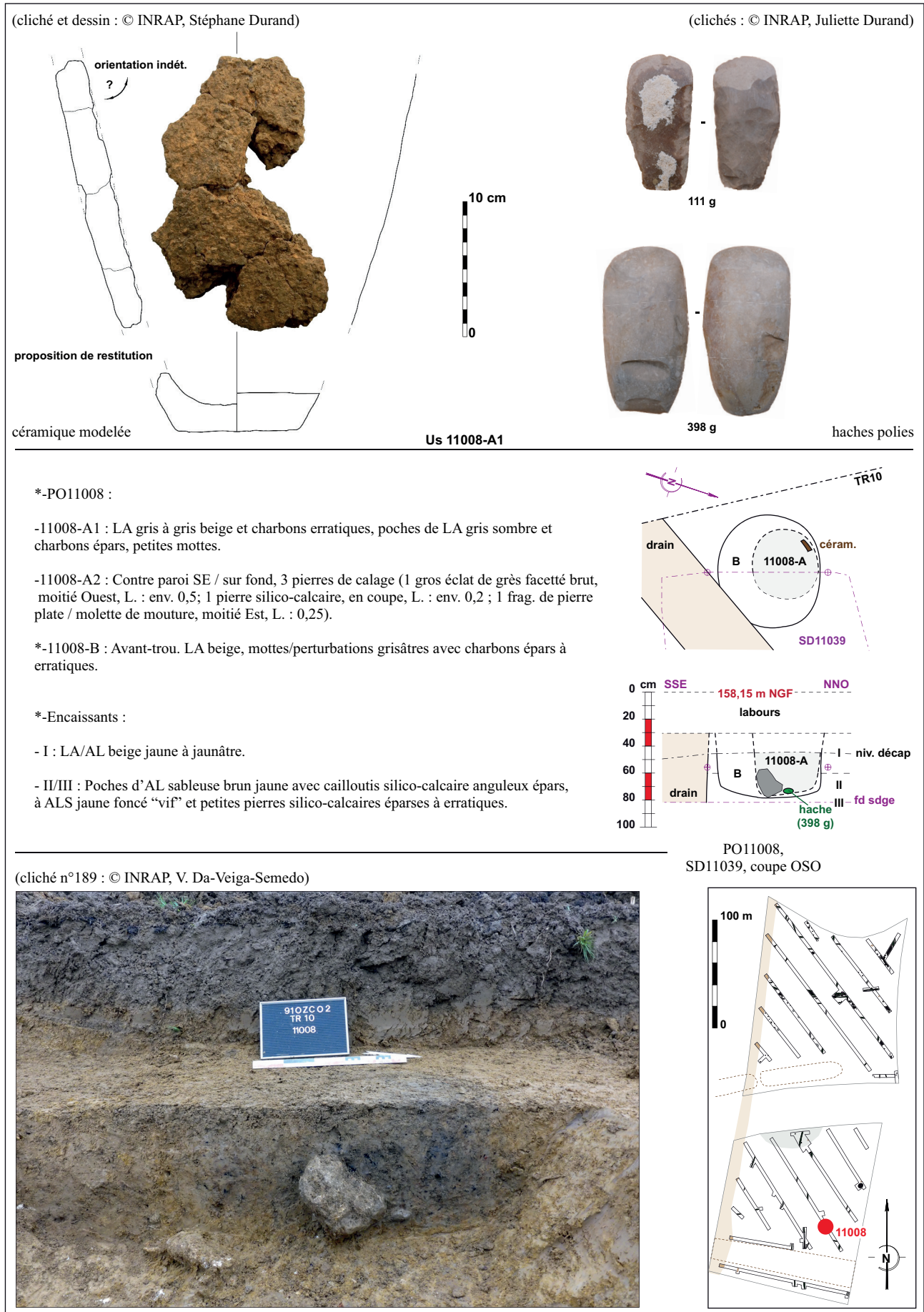


Fig. 14 Orsay (91), Zac de Corbeville, partie Ouest, phase 2. Zone Sud, fait 11008, Néolithique récent

La réalisation d'une fenêtre de fouille complémentaire serait la bienvenue, entre autre, pour explorer la possibilité de l'existence d'un bâtiment, dont peu d'exemples régionaux sont connus pour cette période.

### 2.2.2.2. Zone Sud, horizon 11012 et fosse 11033 : céramique de l'âge du Fer

En limite septentrionale de la Zone Sud, au Nord de la TR11, une centaine de fragments épars de céramique non tournée a été collectée sur une cinquantaine de mètres carrés et une trentaine de centimètres d'épaisseur maximum sous labours récents (ramassage 11012)<sup>32</sup>. Les tessons semblent pouvoir être attribués à la transition entre le premier et le second âge du Fer (V<sup>e</sup> s. avant J.-C. ; cf. § 3.6 : Hélène CIVALLERI).

30 fragments de céramique modelée indéterminée et 1 grattoir en silex, en position stratigraphique similaire, ont également été prélevés au Nord de la TR10 (11005)<sup>33</sup>.

L'examen des bermes de ces deux tranchées et ouvertures complémentaires (Fen. 11-A et B), ainsi que des sondages 11030 et 11034, a révélé la présence d'un horizon ou unité stratigraphique sous labours, distinct du sommet des limons de plateaux (11012)<sup>34</sup>. Observé sur 10 m à 15 m de largeur dans les TR10 et TR11, pour plus de 38,5 m de long, il n'apparaît plus dans les TR09 et TR14, plus à l'Ouest et à l'Est, et présente un bord très évasé au Sud (SD11034).

Sur sa frange méridionale et en partie supérieure, sur une quinzaine de centimètres d'épaisseur maximum, il se compose de limon peu argileux beige à beige gris, s'apparentant à des colluvions (11012-A = 11019). Plus au centre (SD11030), les 15 cm sous-jacents sont plus argileux et possèdent une teinte plus grisâtre à brun gris (11012-B).

L'horizon 11012 semble correspondre à un fond de "cuvette", dont l'origine naturelle ou anthropique n'a pas pu être déterminée. Il se prolonge vers le Nord, au-delà de la limite d'emprise. Le ramassage "Mi 2.01" (deux tessons modelés et un silex), dans la tranchée 2 du diagnostic de janvier 2020, pourrait y indiquer sa continuité (Fig. 15 ; DUPÉRE 2020-A : p. 55).

Dans la fenêtre 11-A, l'horizon 11012-A a livré au moins un tesson médiéval XI<sup>e</sup>-XII<sup>e</sup> s. (cf. § 3.7 : Annie LEFÈVRE). En raison de la faible variation des couleurs des sédiments, sa relation avec le fossé 11032 n'a pas pu être établie. Le comblement attesté de ce dernier a livré un fragment de tuile ou céramique épaisse historique (cf. § 4.3). Un tesson Haut-Empire et un fragment d'objet ferreux, dans le ramassage mécanique 11012, n'ont pas pu être attribués à l'un ou l'autre de ces contextes.

Dans la TR11, sous l'HZ11012, la fosse peu profonde 11033 a livré des tessons modelés, également attribuables au Hallstatt final / La Tène ancienne (cf. § 3.6 : H. CIVALLERI ; cf. § 5 : Pl. 011).

Dans ce secteur, seules deux autres petites fosses ont été mises au jour (11020 et 11042 : cf. § 5 : Pl. 013). Elles n'ont pas livré de mobilier.

La présence de céramique protohistorique, accompagnée de quelques silex, fragments de terre chauffée/torchis et de cailloux gréseux brûlés (cf. § 3.4 : C. MONCHABLON), dans la séquence sédimentaire 11012, traduit probablement l'altération *in situ* et/ou le remaniement de vestiges de cette période.

32. cf. § 4.3 ; cf. § 5 : Pl. 009

33. Fig. 13 ; cf. § 3.2 : J. DURAND ; cf. § 3.6 : H. CIVALLERI

34. HZ11012 = 11005 = 11019 ; Fig. 13 ; cf. § 5 : Pl. 010-012

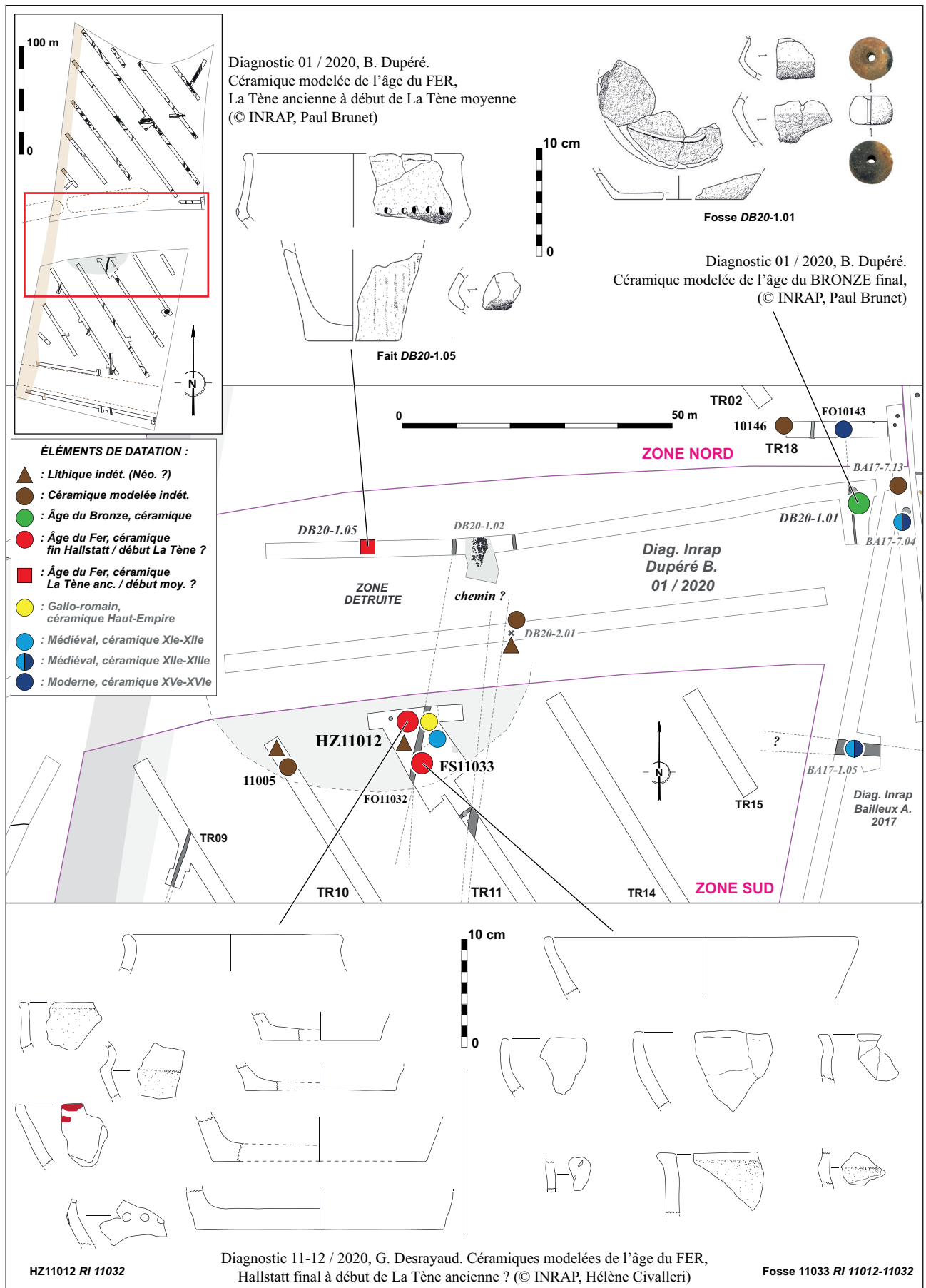


Fig. 15 Orsay (91), Zac de Corbeville, partie Ouest, phase 2. Céramiques protohistoriques et plan des éléments de datation du Nord de la Zone Sud et secteur adjacent du tracé du métro 18 (d'après BAILLEUX A. 2017 et DUPÉRE 2020-A)

A environ 30 m au Nord et 85 m au NE respectivement, des céramiques du premier âge du Fer et du Bronze final<sup>35</sup> ont été mises au jour sur le tracé de la ligne du métro 18 (Fig. 15).

Il faut donc envisager une pluralité des occupations protohistoriques, traduisant l'existence d'un ou plusieurs habitats ouverts dispersés (cf. § 3.6 : H. CIVALLERI).

### 2.2.2.3. Zone Sud, canalisation 11001 et fossé 11015 : chemin antique ?

Dans la partie méridionale de la Zone Sud, des segments de fossés, relativement bien alignés et paraissant former deux tracés SSE/NNO approximativement parallèles, entre 7,5 et 11 m de distance, évoquent des bordiers de chemin (Fig. 13 et 16)<sup>36</sup>. Ces limites semblent au moins en partie se prolonger plus au Sud (GIORGI 2013 : p. 51 n°12004).

Une canalisation de dalles et pierres brutes (11001), de 8 m de long, installé dans le tronçon 11002, suggère une origine gallo-romaine. En effet, ce mode de construction et ce type d'aménagements sont assez caractéristiques des campagnes du Haut Empire, et fréquents sur les plateaux franciliens (DESRAYAUD 2008 : p. 13).

Dans la TR12, le fossé 11015 a livré une coupelle en céramique sigillée Drag. 35/36, fragmentée et érodée, mais presque entière, produite pendant l'intervalle milieu du I<sup>er</sup> s. à milieu du II<sup>e</sup> s. ap. J.-C.<sup>37</sup>

En direction du Nord, d'autres segments fossoyés semblent indiquer la poursuite de ce probable chemin à travers toute la Zone Sud, et peut-être même en Zone Nord (Fig. 07 ; plan joint). Sur le diagnostic de janvier 2020, la présence d'un empierrement bordé par deux fossés, sur son axe supposé, conforte cette hypothèse (Fig. 13)<sup>38</sup>.

Etant donné la permanence séculaire des axes de cheminement, rien ne permet cependant d'attribuer tous les vestiges linéaires formant ce possible ensemble à la période romaine.

### 2.2.2.4. Zone Sud, fosse 11025 : non datée

Dans la partie orientale de la Zone Sud, la grande fosse ovale 11025 a été entièrement décapée et fouillée (Fig. 13 ; cf. § 5 : Pl. 008). D'environ 4,75 m par 4,2 m, pour 0,7 m de profondeur maximale sous labours, son fond est tapissé de plages plus ou moins charbonneuses et de fragments de terre chauffée épars.

Elle a livré 2 petit fragments de céramique (5 g ; antique ?) et de tuile (10 g) historiques (cf. § 3.7 : A. LEFÈVRE ; cf. § 4.3). La très faible quantité de mobilier ne permet pas de l'attribuer à la période romaine. Elle est peut-être plutôt à mettre en relation avec la frange Sud Est du site médiéval, aux alentours de la mare encore en activité, mais d'origine ancienne, au Sud du décapage de 2016 (Fig. 07 ; plan joint ; BAILLEUX G. *en cours*).

35. Paul BRUNET dans : DUPÉRE 2020-A : p. 69-71

36. cf. § 5 : Pl. 001 à 005

37. PASSELAC, VERNHET 1993 ; cf. § 3.7 : A. LEFÈVRE

38. DUPÉRE 2020-A : p. 64-67

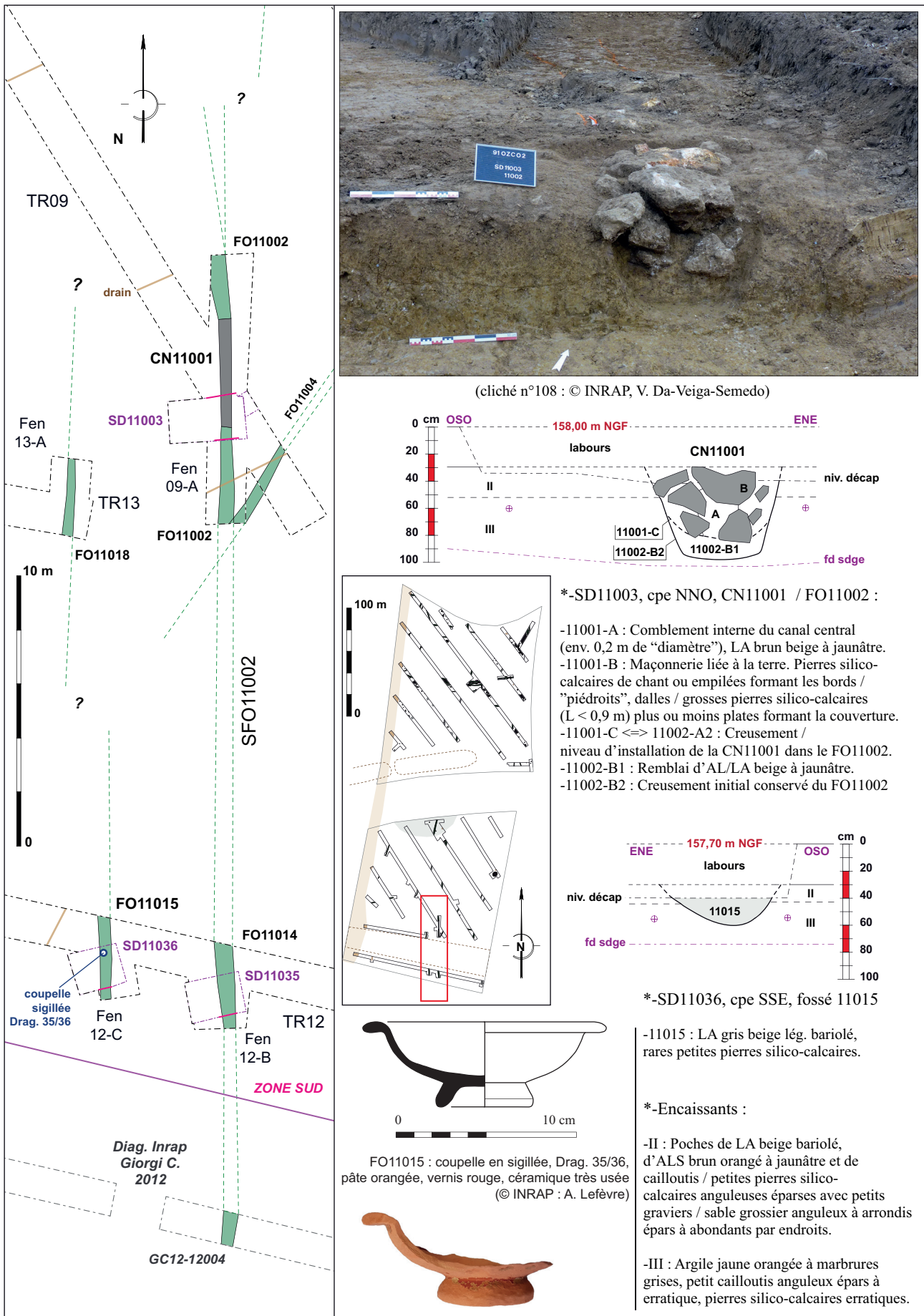


Fig. 16 Orsay (91), Zac de Corbeville, partie Ouest, phase 2, Zone Sud. Canalisation 11001 et fossé 11015 : gallo-romains ?

© INRAP : V. Da-Veiga-Semedo, G. Desrayaud, A. Lefèvre

## 2.2.3. Vestiges de la Zone Nord

### 2.2.3.1. Zone Nord, céramique non tournée et pièces lithiques

**Fig. 17** Orsay (91), Zac de Corbeville, partie Ouest, phase 2. Zone Nord, contextes ayant livré de la céramique modelée et/ou des éléments lithiques © INRAP : G. Desrayaud, M. Rayati

Répartis sur l'ensemble de la Zone Nord, douze contextes ont livré un ou plusieurs fragments de céramique modelée et/ou éléments lithiques (**Fig. 17 et 18** ; cf. § 3.2, 3.3 et 3.6 : J. DURAND, S. DURAND et H. CIVALLERI).

N° Hz / Us	N° TR	N° SD	REMARQUE	Céram. Non Tournée		Silex		Terre chauffée / torchis		Faune	
				frags	g	frags	g	frags	g	frags	g
10039	2		Sous labours. -35 cm à -60 cm sous le sol actuel	16	200						
10054	3		Sous labours. -55 cm sous le sol actuel			1	22				
10107	1		Fossé	1	6						
10120	1		Trou de poteau ?			1	22				
10124	2		Sous labours et remblai 10001. Env. -75 cm sous le sol actuel	1	5						
10136	19		Trou de poteau	5	23	1	10				
10146	18		Sous labours. -35 à -55 cm sous le sol actuel	2	13			1	17		
10156	1	10154	Sous labours et Us10157. -80 cm sous le sol actuel	1	36						
10183	2		Fossé	5	82						
10187	2	10187	Sous labours. -30 à -55 cm sous le sol actuel	12	42	6	36				
10221	1		Ramassage, Fen 01-A. Fossés historiques	2	29					74	938
10222	1		Ramassage sous labours. Non localisé	19	60						
<b>TOTAL</b>				<b>64</b>	<b>496</b>	<b>9</b>	<b>90</b>	<b>1</b>	<b>17</b>	<b>74</b>	<b>938</b>

Cinq correspondent à des vestiges en creux, trous de poteaux attestés ou supposés et segments de fossés, pouvant appartenir à l'occupation médiévale<sup>39</sup>.

Pour les autres, le mobilier est issu des 15 à 25 premiers centimètres sous les labours récents ou les remblais contemporains<sup>40</sup>, soit la partie supérieure conservée des limons des plateaux (I-a), ou de possibles faits non perçus en plan et/ou en coupe.

Les silex (2 grattoirs, 1 pointe et six éclats) sont attribuables à la période néolithique ou protohistorique ancienne (cf. § 3.2 : J. DURAND). La plupart des tessons non tournés n'ont pas pu être datés (cf. § 3.6 : H. CIVALLERI).

Dans la partie méridionale de la TR01, on peut cependant signaler la présence d'un récipient fragmentaire (10039 : "puisoir" ?), probablement de « la fin du Néolithique moyen 2, (...) vers le 38<sup>e</sup> siècle avant notre ère » (**Fig. 18** ; cf. § 3.3 : S. DURAND).

39. 10107, 10120, 10136, 10183, 10221 ? cf. § 5 : **Pl. 014, 018, 023, 031**

40. Par ex. "ramassages" 10156 et 10187 : cf. § 5 : **Pl. 018 et 030**

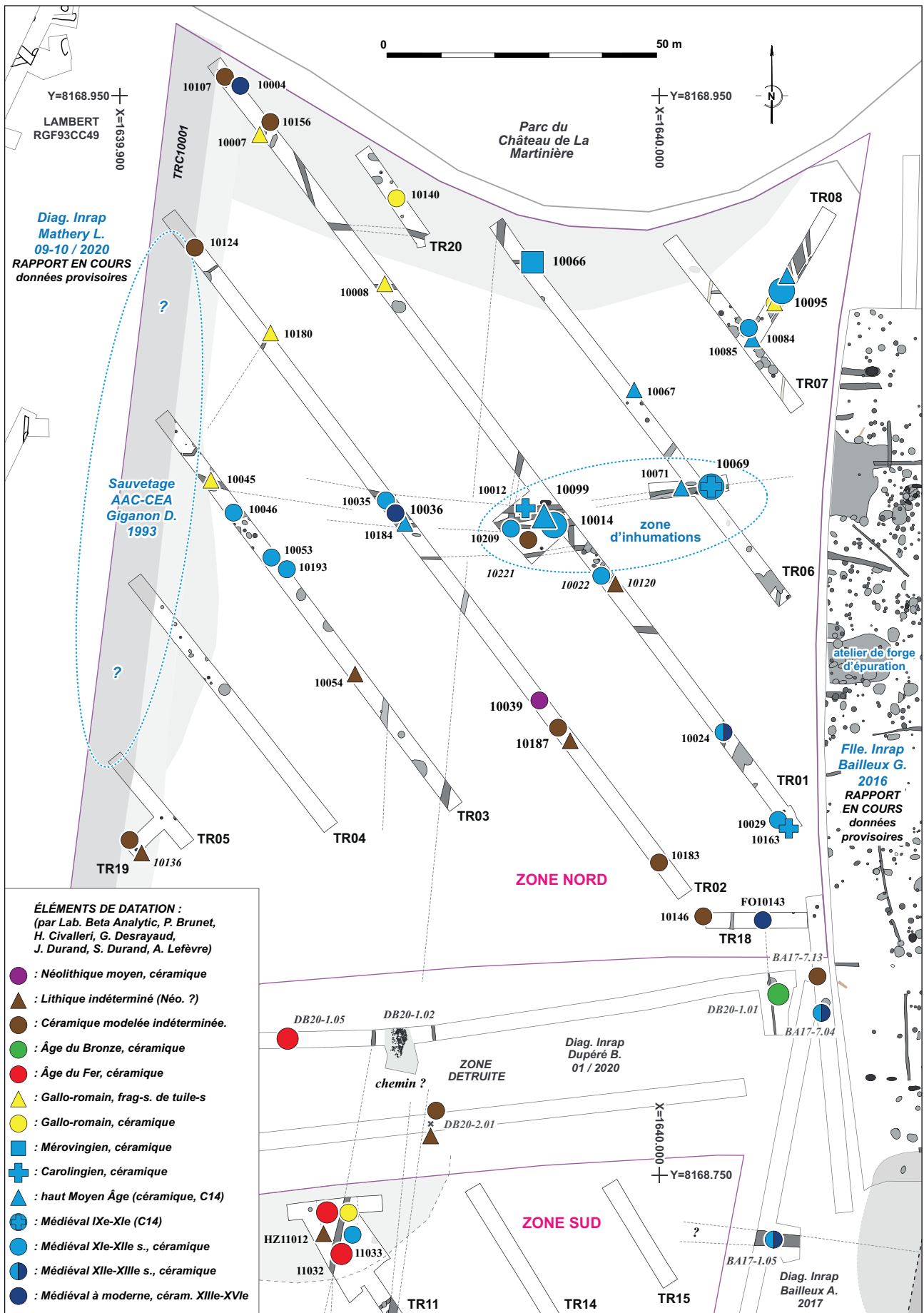


Fig. 18 Orsay (91), Zac de Corbeville, partie Ouest, phase 2. Zone Nord, plan simplifié des vestiges et éléments de datation © INRAP : G. Desrayaud

### 2.2.3.2. Zone Nord, site médiéval et vestiges non datés

En Zone Nord, 170 faits archéologiques en creux ont été identifiés dans 10 tranchées, représentant 11 % de la surface (*supra* : cf. § 2.14) : 17 creusements indéterminés, 2 excavations (dont 1 empierrée), 54 fosses, 36 segments de fossés, 3 fours ou soles, 5 sépultures et 51 trous de poteau attestés ou supposés<sup>41</sup> (Fig. 19 à 23).

Les 126 éléments de céramique tournée collectés (NMI : 25 ; pds : 1,3 kg), issus de 23 contextes, s'échelonnent de la période romaine à moderne (Fig. 18)<sup>42</sup>.

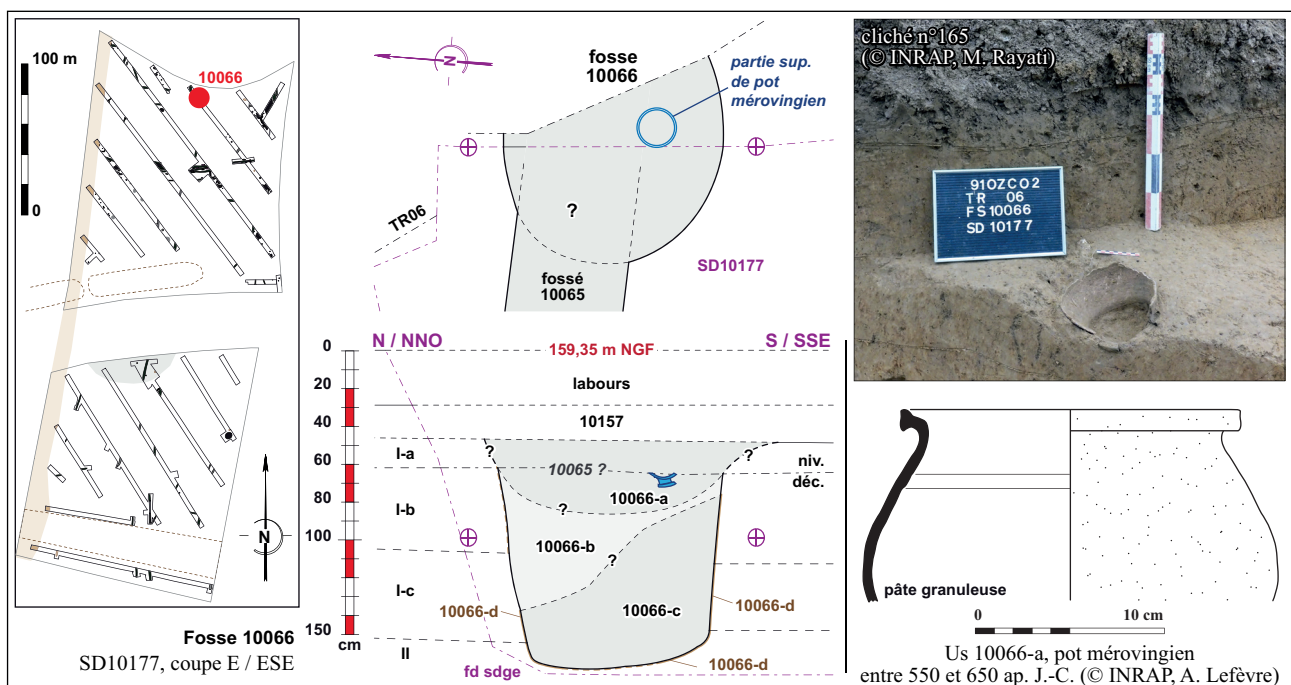
La dizaine de tessons antiques et quinzaine de fragments de tuiles gallo-romaines recueillis (cf. § 4.2) constituent un léger "bruit de fond", qui ne semble pas correspondre à une occupation conséquente in situ (Fig. 18). La présence d'aménagements de faible ampleur, notamment de systèmes fossoyés (*supra*), doit cependant être envisagée.

La période médiévale (VI<sup>e</sup>-XIV<sup>e</sup> s. ap. J.-C.) est entièrement représentée et prépondérante, avec 98 tessons<sup>43</sup>, dont une "petite" moitié attribuable au haut Moyen Âge<sup>44</sup>, et un quart ou un peu moins d'un tiers aux XI<sup>e</sup>-XII<sup>e</sup> s.<sup>45</sup> (cf. § 3.7 : A. LEFÈVRE). Quelques éléments bas Moyen Âge à/modernes (XIII<sup>e</sup>-XVI<sup>e</sup> s.) sont à signaler (6 tessons).

La faiblesse des assemblages céramiques est fréquente sur les sites ruraux de cette période en Île-de-France<sup>46</sup>.

Deux sépultures ont fait l'objet d'une datation par radiocarbone, les situant, l'une pendant l'intervalle milieu VII<sup>e</sup> à milieu IX<sup>e</sup> s. ap. J.-C. (10099), et l'autre (10069), fin IX<sup>e</sup> à début XI<sup>e</sup> s. ap. J.-C. (Fig. 23 ; cf. § 3.1 : *Beta Analytic*).

**Fig. 19** Orsay (91), Zac de Corbeville, partie Ouest, phase 2. Zone Nord, fosse 10066 (voir § 5 : Pl. 033-034), céramique mérovingienne  
© INRAP : G. Desrayaud, A. Lefèvre, M. Rayati



41. cf. § 4.2 ; cf. § 5 : Pl. 014 à 036 ; plan joint

42. cf. § 3.7 : A. LEFÈVRE ; cf. § 4.4

43. Céramique médiévale, NMI : 19 ; pds : 1 kg

44. Céramique haut Moyen Âge, NR : 61 ; NMI : 6 ; pds : 0,7 kg ; **Fig. 19**

45. Céramique XI<sup>e</sup>-XII<sup>e</sup> s., NR : 34 ; NMI : 11 ; pds : 0,3 kg

46. Voir DESRAYAUD, WARMÉ 2016 : vol. 1 pp. 197-198

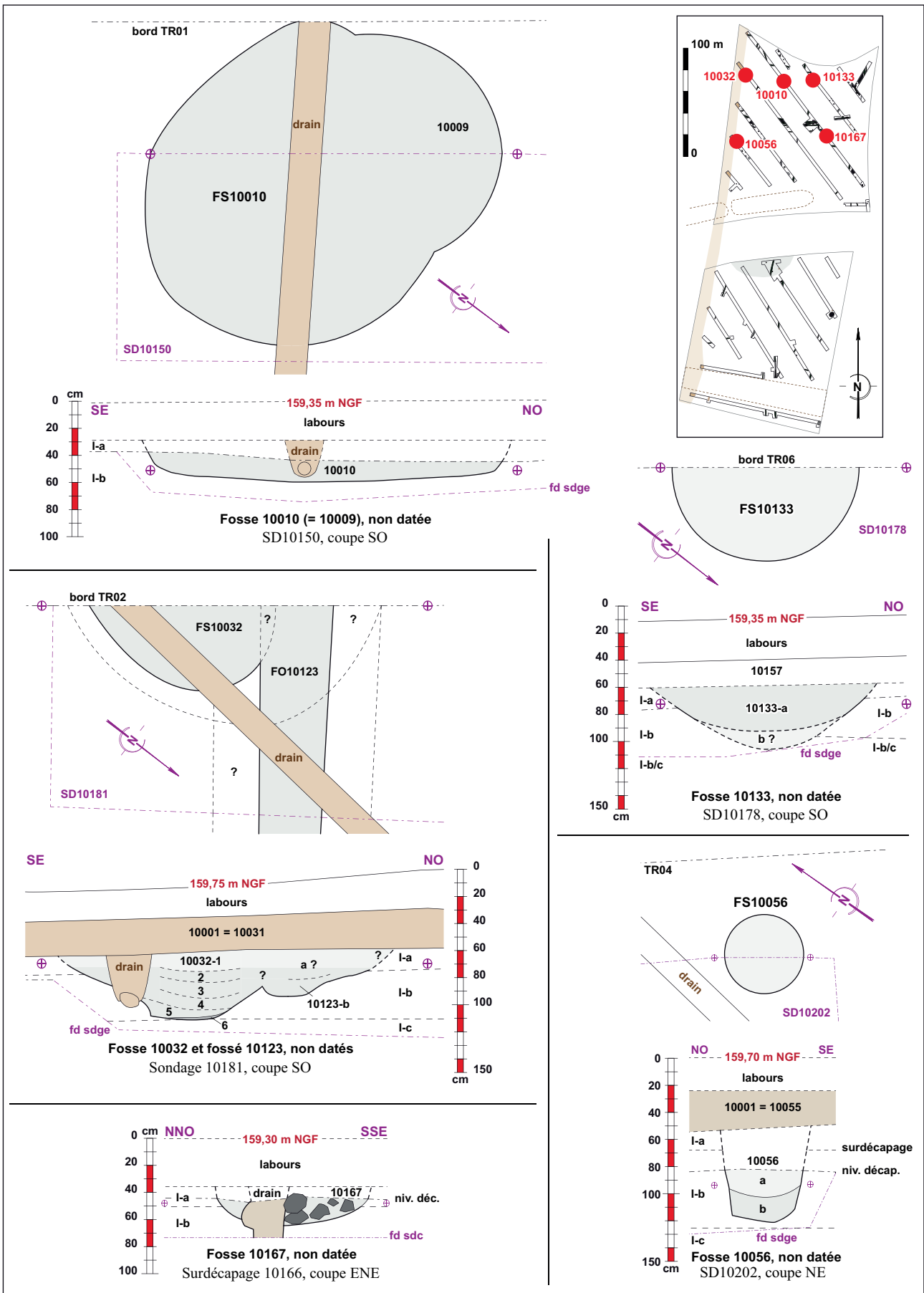


Fig. 20 Orsay (91), Zac de Corbeville, partie Ouest, phase 2. Zone Nord, exemples de fosses © INRAP : G. Desrayaud, V. Da-Veiga-Semedo

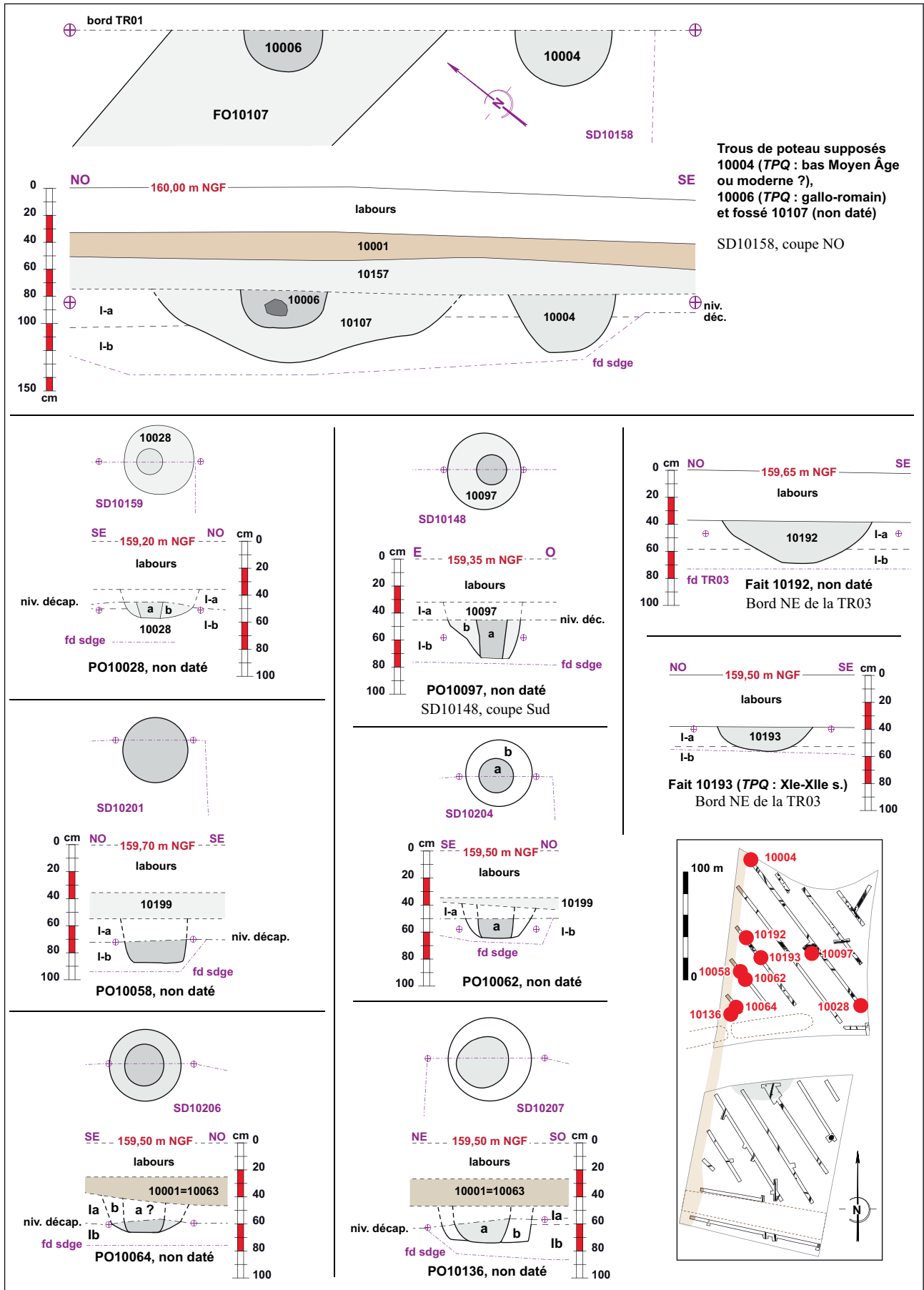


Fig. 21 Orsay (91), Zac de Corbeville, partie Ouest, phase 2. Zone Nord, exemples de trous de poteau et de creusements indéterminés

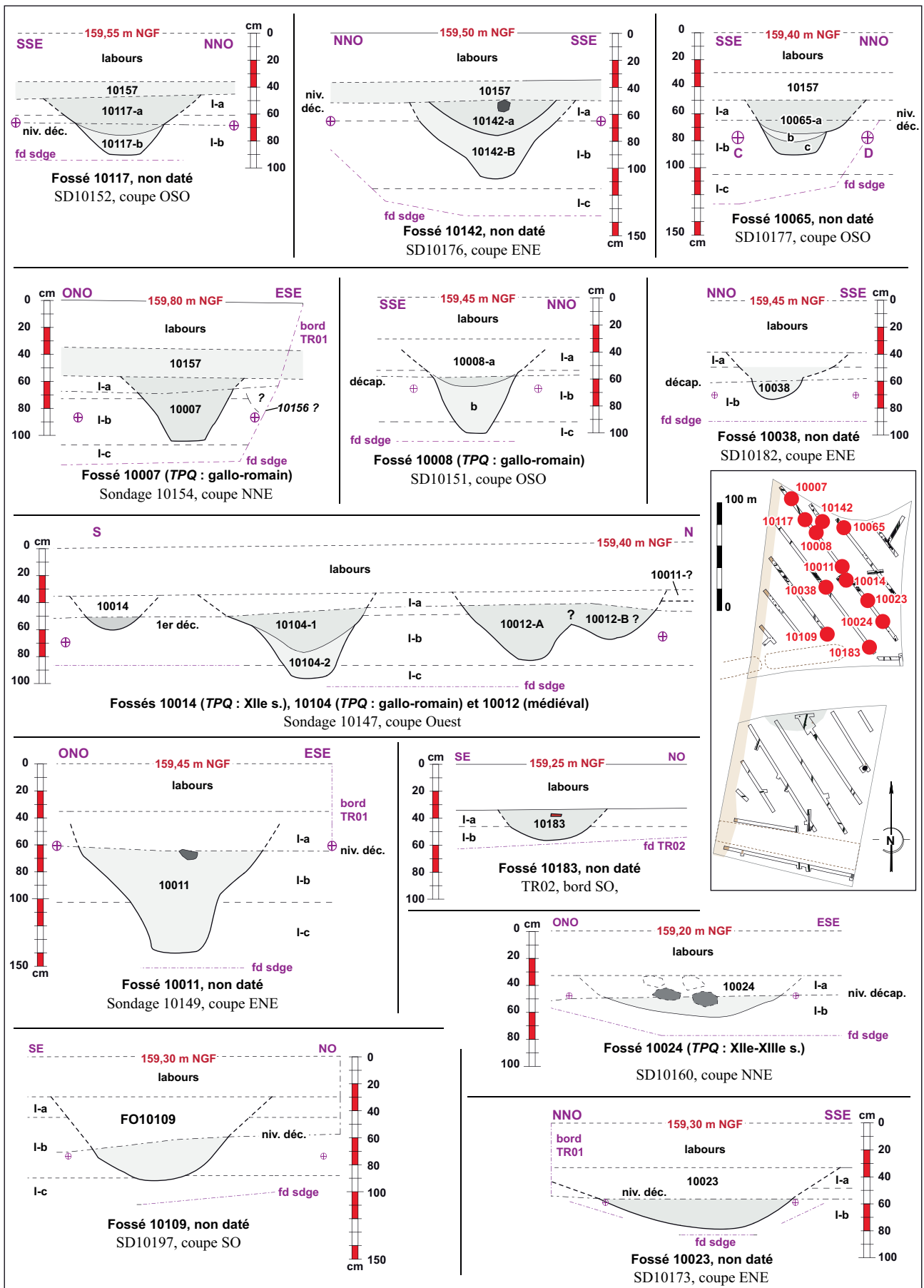
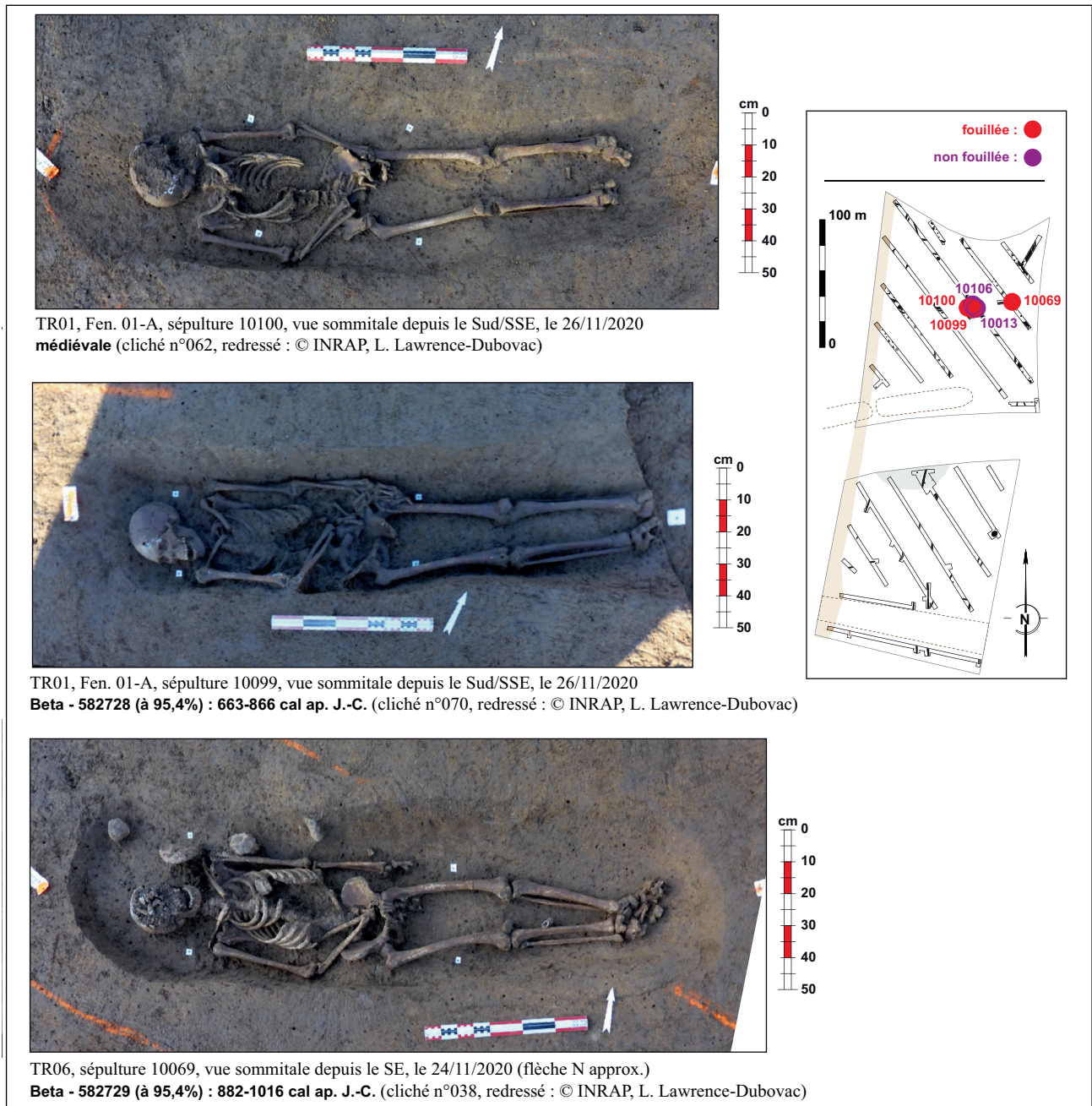


Fig. 22 Orsay (91), Zac de Corbeville, partie Ouest, phase 2. Zone Nord, exemples de coupes de segments de fossés © INRAP : G. Desrayaud, V. Da-Veiga-Semedo, M. Rayati



**Fig. 23** Orsay (91), Zac de Corbeville, partie Ouest, phase 2. Zone Nord, sépultures fouillées  
 © INRAP : Lab. Beta Analytic ; P. Lawrence Dubovac ; G. Desrayaud

Même si, à ce stade des investigations, seules deux douzaines des faits identifiés peuvent être attribués avec plus ou moins de certitude à la période médiévale (Fig. 24), la grande majorité d'entre eux constitue clairement le prolongement des vestiges fouillés en 2016, à l'Est (Fig. 07 ; plan joint)<sup>47</sup>, et sont caractéristiques des occupations médiévales des plateaux franciliens<sup>48</sup> : fosses diverses, aménagements sur poteaux plantés, fossés, fours culinaires, sépultures, etc. (Fig. 19 à 23).

L'occupation se prolonge plus à l'Ouest de la parcelle diagnostiquée, sur au moins 220 m (Fig. 05 ; MATHÉRY en cours)

47. BAILLEUX 2016 : pp. 48-84 ; BAILLEUX G. en cours

48. GENTILI, LEFÈVRE 2009 ; DESRAYAUD, WARMÉ 2016 ; GENTILI 2017

**Fig. 24** Orsay (91), Zac de Corbeville, partie Ouest, phase 2. Zone Nord. Tableau simplifié des éléments de datation, vestiges en creux attribuables à la période médiévale

© INRAP : G. Desrayaud, A Lefèvre

Ident.	N°	N° TR	critère-s de datation	remarque-s	Creusement TERMINUS POST QUEM	Comblement TERMINUS POST QUEM	Comblement TERMINUS ANTE QUEM
excavation	10035	2	céramique	1 tesson	?	XI <sup>e</sup> s. ap.	?
excavation «empierreée»	10095	8	céramique	6 tessons	?	XI <sup>e</sup> -XII <sup>e</sup> s. ap.	?
fosse-s	10046	3	céramique	3 tessons	?	XI <sup>e</sup> -XII <sup>e</sup> s. ap.	?
fosse	10066	6	céramique	moitié de pot	?	VI <sup>e</sup> -VII <sup>e</sup> s. ap.	?
fosse de four	10084	7	céramique ; morphologie	2 tessons	Haut Moyen Âge	XI <sup>e</sup> -XII <sup>e</sup> s. ap.	XII <sup>e</sup> s. ap. ?
fosse	10163	1	céramique	1 tesson	?	Carolingien	?
fosse ?	10193	3	céramique	1 tesson	?	XI <sup>e</sup> -XII <sup>e</sup> s. ap.	?
fosse	10209	1	céramique	1 tesson	?	XI <sup>e</sup> -XII <sup>e</sup> s. ap.	?
fossé	10014	1	céramique	7 tessons	?	XII <sup>e</sup> s. ap.	?
fossé	10024	1	céramique	1 tesson	?	XII <sup>e</sup> -XIII <sup>e</sup> s. ap.	?
fossé	10071	6	céramique ; stratigraphie	9 tessons ; sous SP10069		Haut Moyen Âge	882-1016 ap. J.-C.
fossé	10104	1	stratigraphie ; tuile	1 frag de tuile romaine ; sous 10012 et 10013	?	Gallo-romain	Moyen Âge (VI <sup>e</sup> -XII <sup>e</sup> s. ap. ?)
fossé	10184	2	céramique	2 tessons	?	Haut Moyen Âge	?
fossé	10012-A	1	céramique ; stratigraphie	sur F010104 ; sous SP10100	Gallo-romain	Moyen Âge ?	Moyen Âge (VI <sup>e</sup> -XII <sup>e</sup> s. ap. ?)
fossé	10012-B	1	céramique	Relation incertaine avec 11012-A...	Moyen-Âge ?	XI <sup>e</sup> -XII <sup>e</sup> ap. ?	Idem ?
four culinaire	10085	7	céramique ; stratigraphie	1 tesson ; synchrone avec 10084	Haut Moyen Âge	XI <sup>e</sup> -XIII <sup>e</sup> s. ap. ?	XII <sup>e</sup> s. ap. ?
sépulture	10013	1	morphologie ; localisation		Moyen Âge (VI <sup>e</sup> -XII <sup>e</sup> s. ap. ?)	Moyen Âge (VI <sup>e</sup> -XII <sup>e</sup> s. ap. ?)	Moyen Âge (VI <sup>e</sup> -XII <sup>e</sup> s. ap. ?)
sépulture	10069	6	C14	Beta - 582729 : (95,4 %) 882-1016 cal ap. J.-C.	882-1016 ap. J.-C.	882-1016 ap. J.-C.	882-1016 ap. J.-C.
sépulture	10099	1	C14	Beta - 582728 : (95,4 %) 663-866 cal ap. J.-C.	663-866 ap. J.-C.	663-866 ap. J.-C.	663-866 ap. J.-C.
sépulture	10100	1	morphologie, localisation, stratigraphie	sur le F010012	Moyen Âge (VI <sup>e</sup> -XII <sup>e</sup> s. ap. ?)	Moyen Âge (VI <sup>e</sup> -XII <sup>e</sup> s. ap. ?)	Moyen Âge (VI <sup>e</sup> -XII <sup>e</sup> s. ap. ?)
sépulture	10106	1	morphologie, localisation		Moyen Âge (VI <sup>e</sup> -XII <sup>e</sup> s. ap. ?)	Moyen Âge (VI <sup>e</sup> -XII <sup>e</sup> s. ap. ?)	Moyen Âge (VI <sup>e</sup> -XII <sup>e</sup> s. ap. ?)
trou de poteau	10067	6	céramique	1 tesson	?	Haut Moyen Âge	?
trou de poteau ?	10029	1	céramique	1 tesson	?	XI <sup>e</sup> -XII <sup>e</sup> s. ap.	?
trou de poteau ?	10053	3	céramique	1 tesson	?	XI <sup>e</sup> -XII <sup>e</sup> s. ap.	?

Les vestiges sont répartis sur l'ensemble de la Zone Nord, avec des bandes ou "regroupements" présentant des densités plus importantes<sup>49</sup>.

Au centre Sud, un secteur de vide relatif semble se dessiner ; cet emplacement n'a cependant pas pu être entièrement exploré, en raison de la présence d'un stockage de terre imposant, lié aux travaux de la ligne du métro 18<sup>50</sup>.

Plus au Nord, l'occupation se prolonge probablement au-delà du chemin courbe du parc de la Martinière, de création relativement récente (*supra* : cf. § 2.2.1.2), qui n'est pas figuré sur les plans de la seconde moitié du XVII<sup>e</sup> jusqu'au début du XIX<sup>e</sup> s.<sup>51</sup>

49. cf. § 5 : Pl. 015, 019, 020, 023, 025, 035, 036

50. *Supra* : Fig. 07 et 08 ; cf. § 2.14

51. GIORGI 2018 : p. 51, fig. 12 ; GIORGI 2019-A : p. 51, fig. 14 ; DUPÉRE 2020-A : pp. 30-31, fig. 3 et 4

Un “axe de circulation”, marqué par plusieurs tronçons fossoyés, et probablement bordé de bâtiments sur poteaux plantés, traverse l’emprise d’Est en Ouest<sup>52</sup>.

Il comprend un secteur d’inhumations pluriséculaire dans sa partie orientale (Fig. 18, 23), dont le nombre total d’individus reste à déterminer. Il est possible que des sépultures soient également présentes en d’autres endroits de l’emprise. 7 ont été fouillées plus à l’Est en 2016, et 6 ont été repérées à l’Ouest, sur le diagnostic de septembre / octobre 2020 (cf. § 3.8 : Paulette LAWRENCE-DUBOVAC).

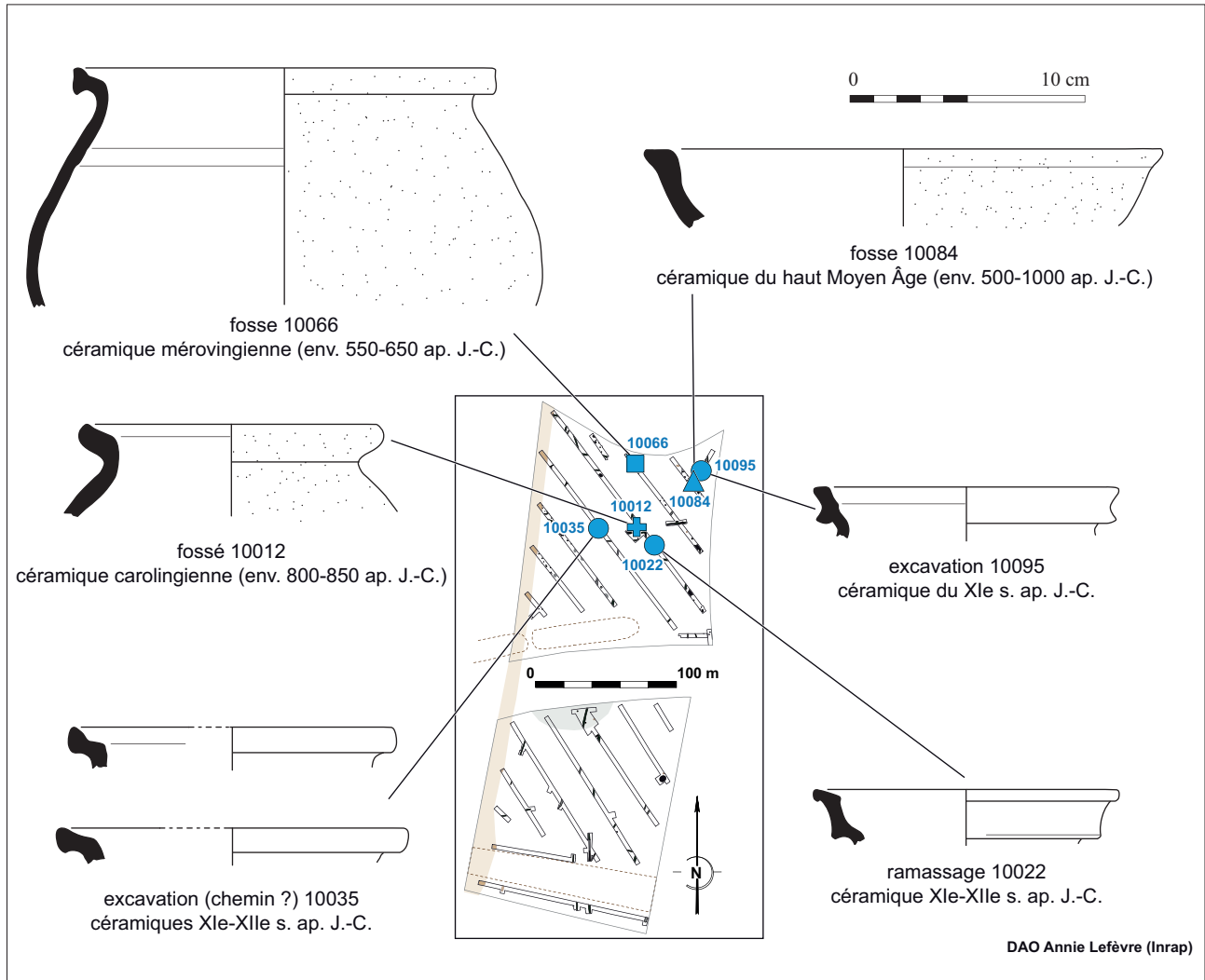


Fig. 25 Orsay (91), Zac de Corbeville, partie Ouest, phase 2. Zone Nord. Exemples de céramiques médiévales © INRAP : A. Lefèvre

52. cf. § 5 : Pl. 001, 022, 025 ; plan joint

Le matériel mis au jour s'inscrit bien dans les connaissances actuelles de la céramique locale. Malgré un mobilier peu abondant, ce dernier, mis en perspective avec les données des diverses opérations récentes, renseigne sur l'étendue de l'occupation et sa variation au cours des siècles.

A l'Est, le décapage de 2016 a permis de confirmer l'occupation des lieux à la période médiévale, entre la période mérovingienne et le XII<sup>e</sup> siècle (*BAILLEUX en cours*).

A l'Ouest, un petit lot de céramiques médiévales a été collecté pendant le diagnostic de 2020 (*MATHERY en cours*). Si quelques éléments sont également à dater du haut Moyen Âge ou de l'époque moderne, l'essentiel du mobilier doit aussi être placé au Moyen Âge central, aux XI<sup>e</sup>-XII<sup>e</sup> siècles (cf. § 3.7 : A. LEFÈVRE).

En Zone Nord, un échantillonnage de 68 éléments osseux d'animaux (3,5 kg), provenant de 17 contextes, a été collecté. Près de la moitié sont issus de l'excavation empierrée 10095 (cf. § 5 : **Pl. 036**). En dehors de quelques restes de caprinés (mandibule et métatarse), de porc (mandibule) et de cheval (métacarpe), les ossements de bœuf constituent la majorité de l'assemblage (cf. § 3.9 : Céline LE GOFF).

On doit également signaler le ramassage d'un culot de forge massif (940 g), à forte teneur en fer, à l'endroit d'une concentration de fossés médiévaux, dans la TR02 (10036 : **Fig. 18** ; cf. § 5 : **Pl. 022**). Ses caractéristiques sont parfaitement cohérentes avec les observations faites pour l'atelier d'épuration fouillé en 2016 (*BAILLEUX G. en cours*), qui ne se trouve qu'à une distance de quatre-vingt mètres à l'ESE (**Fig. 26** ; cf. § 3.10 : Ph. LORQUET).

**Fig. 26** Orsay (91), Zac de Corbeville, partie Ouest, phase 2. Zone Nord, TR02. Section du culot de forge du ramassage 10036

© INRAP : Ph. Lorquet



## 2.3. En guise de conclusion et perspectives

L'emprise diagnostiquée de 4 ha, d'environ 130 m par 360 m, se situe au centre de la Zac de Corbeville, au Sud Est du plateau de Saclay (cf. § 2.1 ; **plan joint**).

Elle est scindée en deux parties à peu près égales, par le tracé de la future ligne de métro 18.

Les vestiges mis au jour se concentrent au Nord (170 faits archéologiques sur 197, pour 11 % d'ouverture), et semblent correspondre, pour la plupart, à l'extension du site médiéval (VI<sup>e</sup>-XII<sup>e</sup> à XIV<sup>e</sup> s.) de la Plaine de Corbeville, partiellement fouillé en 2016 (cf. § 2.2.3.2 ; BAILLEUX G. *en cours*).

Au milieu des parcelles, la présence ténue de pièces lithiques et de céramique modelée ancienne traduit un "bruit de fond" néolithique (moyen ?), rencontré sur l'ensemble de la Zac (cf. § 2.2.3.1 ; cf. § 3.5).

Au centre de la Zone Sud, la découverte d'un possible trou de poteau du Néolithique récent (env. 3350-3000 av. J.-C), avec dépôt de deux haches polies, revêt un caractère peu commun, voire exceptionnel (cf. § 2.2.2.1 ; cf. § 3.5 ; COTTIAUX, SALANOVA ET AL. 2014).

Un décapage localisé du secteur permettrait de mieux cerner son environnement immédiat, et d'y éviter la destruction d'éventuels vestiges de même type et rareté (SAMZUN ET AL. 2008).

En limite septentrionale de la Zone Sud, une "cuvette" sédimentaire et une fosse ont livré un petit corpus céramique attribuable à la fin du premier âge du Fer ou du début du second (cf. § 2.2.2.2). Ils sont peut-être à rattacher à une occupation protohistorique pluriséculaire, de l'âge du Bronze final à La Tène, dont les traces, plus ou moins marquées, ont été repérées sur environ 5 ha, principalement vers l'Est et le Sud Est (Fig. 05).

Pour la période romaine, les vestiges observés paraissent correspondre à des aménagement ruraux secondaires : probables fossés de drainage et/ou parcellaires et bordiers de chemin, dont un avec une "canalisation" de pierre (cf. § 2.2.2.3).

Au Sud du château de la Martinière, attesté depuis le XIV<sup>e</sup> s., les vestiges de la Zone Nord, sur la commune d'Orsay, s'inscrivent dans une occupation mérovingienne à capétienne, relativement dense, repérée sur au moins 9 hectares (Fig. 05, 18 ; cf. § 2.2.3.2). En se basant sur un ratio de 10 %, le nombre de faits archéologiques conservés se situe probablement entre 1500 et 2000 pour les 2 hectares diagnostiqués...

Pour l'instant (mars 2021), les données complètes de la fouille de 2016<sup>53</sup> et du diagnostic de septembre/octobre 2020<sup>54</sup> ne sont pas encore disponibles (Fig. 05 n° 6 et 13-b). Il est donc difficile de tenter une ébauche de synthèse sur le site de la Plaine de Corbeville.

53. Partie Est de la Zac de Corbeville (BAILLEUX G. *en cours*)

54. Partie Ouest, Phase 1 de la Zac de Corbeville (MATHERY *en cours*)

---

Les parcelles plus au Nord, sur la commune de Saclay, n'ont pas encore été explorées. A environ 400 m à l'Est du château actuel, sur un diagnostic de 2015, la présence de quelques fosses et trous de poteau (un seul tesson médiéval collecté)<sup>55</sup> pourrait indiquer une implantation encore plus étendue (Fig. 05 : n°5-a).

Pour "échelle régionale de comparaison", en surface et en densité, sur les plateaux franciliens, le site majeur des Ruelles de Serris (VI<sup>e</sup>-XV<sup>e</sup> s.), à Marne-la-Vallée, en Seine-et-Marne, est estimé à 20 ha<sup>56</sup>. Sur le plateau de Sénart, dans le même département, le hameau de Chanteloup (fin V<sup>e</sup>-XII<sup>e</sup> s.), à Moissy-Cramayel, atteint 4,5 ha (près de 5600 faits médiévaux et non datés fouillés sur 3,7 ha)<sup>57</sup>.

Dans un cadre beaucoup plus local, à Palaiseau, à l'Est d'Orsay, les sites médiévaux voisins des Trois Mares (VI<sup>e</sup>-XII<sup>e</sup> s.) et de la Troche (XI<sup>e</sup>-XV<sup>e</sup> s.) ne semblent pas dépasser 3 ha (GLISONI 2015 et 2016 ; GIORGI 2018).

---

55. BAILLEUX 2016 : pp. 84-88

56. GENTILI 2017 : vol. 1 pp. 26-152 et vol. 2 fig. II-4 et II-65

57. DESRAYAUD, WARMÉ 2016 : vol. 1 p. 42 et 196

### III. **Annexes**



## 3.1. Annexe 1 : Datations radiocarbone (Beta Analytic, Inc, Miami, Floride, E.U.)

### 3.1.1. Zone Sud : fait 11008



**Beta Analytic, Inc.**  
4985 SW 74<sup>th</sup> Court  
Miami, FL 33155 USA  
Tel: 305-667-5167  
Fax: 305-663-0964  
[info@betalabservices.com](mailto:info@betalabservices.com)

ISO/IEC 17025:2017-Accredited Testing Laboratory

### RAPPORT D'ANALYSE DE DATATION AU RADIOCARBONE

Gilles Desrayaud

Date du rapport : 08 février 2021

INRAP

Matériau reçu le : 26 janvier 2021

Informations et données  
échantillon

Code échantillon

Age radiocarbone conventionnel (BP) ou  
Pourcentage de carbone moderne (pMC) &  
Isotopes stables

Beta - 582727

D135541-11008

4480 +/- 30 BP

IRMS  $\delta^{13}C$ : -25.7 o/oo

(90.3%) 3341 - 3087 cal BC(5290 - 5036 cal BP)  
( 5.1%) 3058 - 3031 cal BC(5007 - 4980 cal BP)

Matériau envoyé par le client : Charcoal  
Prétraitement : (matériau carbonisé) acide/alcali/acide  
Matériau analysé : Matériau carbonisé  
Service d'analyse : Service AMS-STANDARD  
% de carbone moderne : 57.25 +/- 0.21 pMC  
Fraction de carbone moderne : 0.5725 +/- 0.0021  
D14C: -427.48 +/- 2.14 o/oo  
 $\Delta^{14}C$ : -432.37 +/- 2.14 o/oo(1950:2021)  
Age radiocarbone mesuré : (sans correction d13C): 4490 +/- 30 BP  
Calibration : BetaCal4.20: HPD method: INTCAL20

(Variables:  $\delta^{13}\text{C} = -25.7$  ‰)**Code laboratoire      Beta-582727****Âge radiocarbone conventionnel      4480 ± 30 BP**

95.4% probabilité

(90.3%)    3341 - 3087 cal av. J.-C    (5290 - 5036 cal BP)

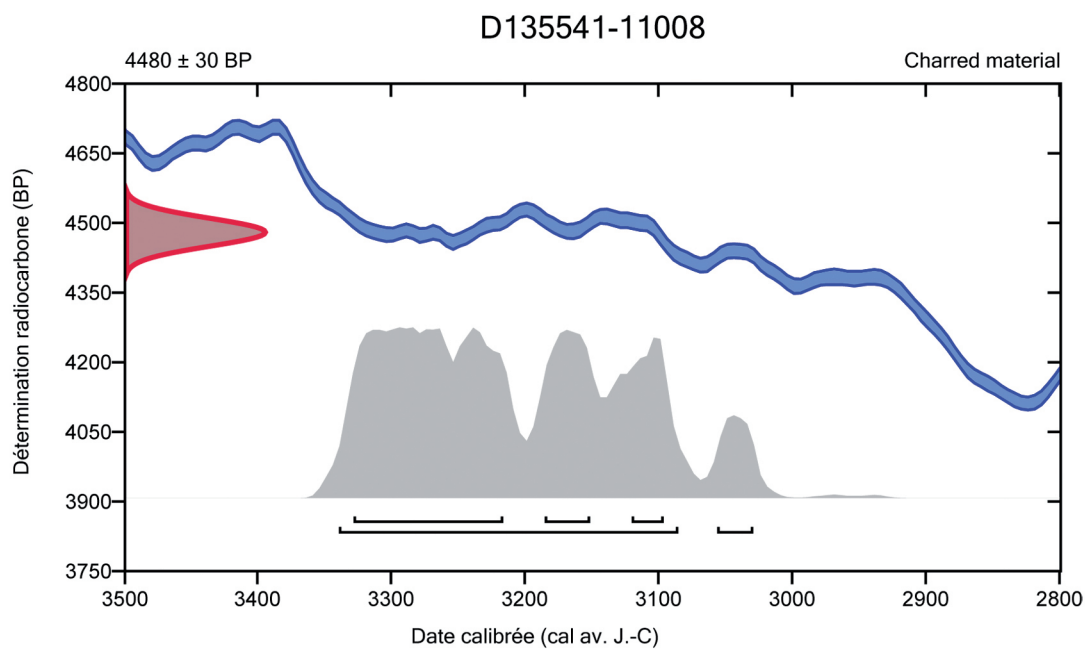
(5.1%)    3058 - 3031 cal av. J.-C    (5007 - 4980 cal BP)

68.2% probabilité

(46%)    3330 - 3218 cal av. J.-C    (5279 - 5167 cal BP)

(13.4%)    3187 - 3153 cal av. J.-C    (5136 - 5102 cal BP)

(8.8%)    3122 - 3098 cal av. J.-C    (5071 - 5047 cal BP)

**Base de données utilisée**

INTCAL20

**Références****Références à la méthode de probabilité**Bronk Ramsey, C. (2009). Bayesian analysis of radiocarbon dates. *Radiocarbon*, 51(1), 337-360.**Références à la base de données INTCAL20**Reimer, et al., 2020, *Radiocarbon* 62(4):725-757.

### 3.1.2. Zone Nord : sépulture 10099

## RAPPORT D'ANALYSE DE DATATION AU RADIOCARBONE

Gilles Desrayaud

Date du rapport : 08 février 2021

INRAP

Matériau reçu le : 26 janvier 2021

Informations et données échantillon	Code échantillon	Age radiocarbone conventionnel (BP) ou Pourcentage de carbone moderne (pMC) & Isotopes stables
-------------------------------------	------------------	--

<b>Beta - 582728</b>	<b>D135541-10099</b>	<b>1270 +/- 30 BP</b> IRMS $\delta^{13}C$ : -19.9 o/oo IRMS $\delta^{15}N$ : +8.7 o/oo
(83.7%)	<b>663 - 775 cal AD(1287 - 1175 cal BP)</b>	
(11.2%)	<b>786 - 828 cal AD(1164 - 1122 cal BP)</b>	
( 0.4%)	<b>862 - 866 cal AD(1088 - 1084 cal BP)</b>	

Matériau envoyé par le client : Bone (Non-heated)  
 Prétraitement : (collagène de l'os) extraction de collagène avec alcali  
 Matériau analysé : Collagène de l'os  
 Service d'analyse : Service AMS-STANDARD  
 % de carbone moderne : 85.38 +/- 0.32 pMC  
 Fraction de carbone moderne : 0.8538 +/- 0.0032  
 D14C: -146.24 +/- 3.19 o/oo  
 $\Delta^{14}C$ : -153.54 +/- 3.19 o/oo(1950:2021)  
 Age radiocarbone mesuré : (sans correction d13C): 1190 +/- 30 BP  
 Calibration : BetaCal4.20: HPD method: INTCAL20  
 Carbone / Azote : CN : 3.2 %C: 33.64 %N: 12.11

Les résultats sont certifiés ISO / IEC-17025: 2005. Nous n'avons eu recours à aucune sous-traitance et aucun travail étudiant. Toutes les analyses ont été réalisées par Beta dans ses 4 spectromètres de masse par accélérateur NEC et 4 spectromètres de masse de rapport isotopique (IRMS) Thermo. L' « âge radiocarbone conventionnel » a été calculé à l'aide de la demi-vie de Libby (5568 ans) ; il est corrigé pour le fractionnement isotopique total et est utilisé pour la calibration, le cas échéant. L'âge est arrondi à la décennie la plus proche et est reporté en années radiocarbone « avant le présent » (BP), où le « présent » = 1950 AD. Les résultats supérieurs à la référence moderne sont reportés comme pourcentage de carbone moderne (pMC). La norme de référence moderne correspond à 95% de la signature C14 du NIST SRM-4990C (acide oxalique). Les erreurs citées correspondent à des statistiques de comptage à 1 sigma. Les sigmas calculés inférieurs à 30 BP sur l'âge radiocarbone conventionnel sont arrondis de façon conservatrice à 30. Les valeurs d13C correspondent au matériau en lui-même (et non à la valeur d13C de l'AMS). Les valeurs d13C et d15N sont relatives à VPDB-1. Les références pour les calibrations sont citées en bas des pages contenant les graphiques de calibration.

(Variables: d13C = -19.9 o/oo)

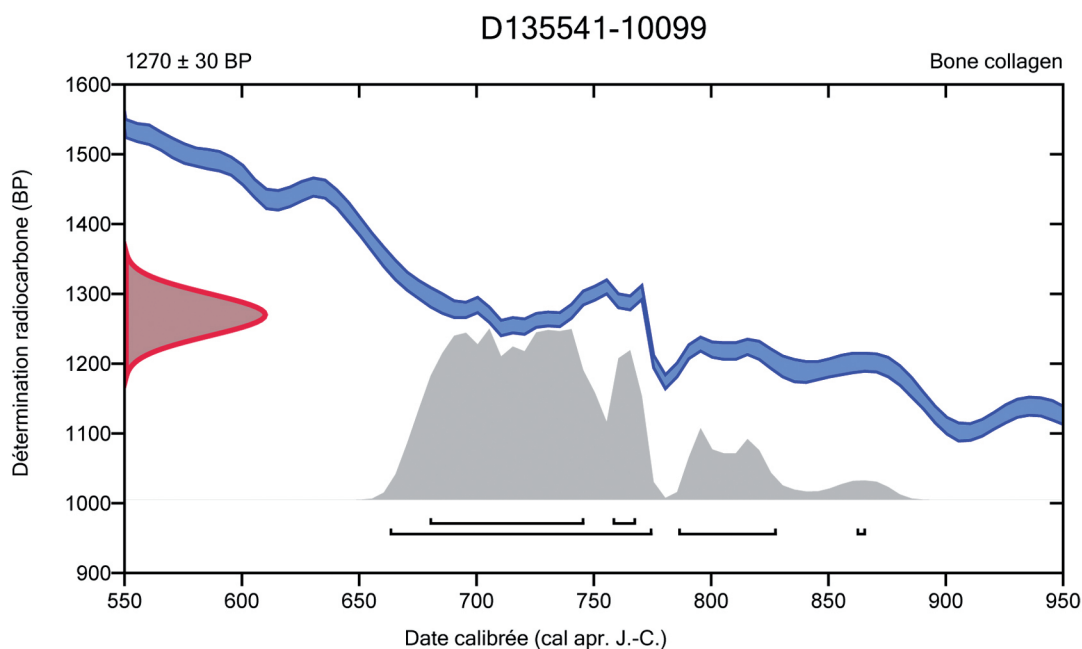
**Code laboratoire    Beta-582728****Âge radiocarbone conventionnel    1270 ± 30 BP**

95.4% probabilité

(83.7%)	663 - 775 cal apr. J.-C.	(1287 - 1175 cal BP)
(11.2%)	786 - 828 cal apr. J.-C.	(1164 - 1122 cal BP)
(0.4%)	862 - 866 cal apr. J.-C.	(1088 - 1084 cal BP)

68.2% probabilité

(60.5%)	680 - 746 cal apr. J.-C.	(1270 - 1204 cal BP)
(7.7%)	758 - 768 cal apr. J.-C.	(1192 - 1182 cal BP)



### Base de données utilisée INTCAL20

### Références

#### Références à la méthode de probabilité

Bronk Ramsey, C. (2009). Bayesian analysis of radiocarbon dates. *Radiocarbon*, 51(1), 337-360.

#### Références à la base de données INTCAL20

Reimer, et al., 2020, *Radiocarbon* 62(4):725-757.

### 3.1.3. Zone Nord : sépulture 10069

## RAPPORT D'ANALYSE DE DATATION AU RADIOCARBONE

Gilles Desrayaud

Date du rapport : 08 février 2021

INRAP

Matériau reçu le : 26 janvier 2021

Informations et données échantillon	Code échantillon	Age radiocarbone conventionnel (BP) ou Pourcentage de carbone moderne (pMC) & Isotopes stables
-------------------------------------	------------------	--

Beta - 582729

D135541-10069

1110 +/- 30 BP

IRMS  $\delta^{13}C$ : -19.7 o/ooIRMS  $\delta^{15}N$ : +11.1 o/oo

(93.9%)

882 - 995 cal AD(1068 - 955 cal BP)

( 1.5%)

1006 - 1016 cal AD(944 - 934 cal BP)

Matériau envoyé par le client : Bone (Non-heated)  
 Prétraitement : (collagène de l'os) extraction de collagène avec alcali  
 Matériau analysé : Collagène de l'os  
 Service d'analyse : Service AMS-STANDARD  
 % de carbone moderne : 87.09 +/- 0.33 pMC  
 Fraction de carbone moderne : 0.8709 +/- 0.0033  
 D14C: -129.06 +/- 3.25 o/oo  
 $\Delta^{14}C$ : -136.51 +/- 3.25 o/oo(1950:2021)  
 Age radiocarbone mesuré : (sans correction d13C): 1020 +/- 30 BP  
 Calibration : BetaCal4.20: HPD method: INTCAL20  
 Carbone / Azote : CN : 3.3 %C: 31.19 %N: 11.15

Les résultats sont certifiés ISO / IEC-17025: 2005. Nous n'avons eu recours à aucune sous-traitance et aucun travail étudiant. Toutes les analyses ont été réalisées par Beta dans ses 4 spectromètres de masse par accélérateur NEC et 4 spectromètres de masse de rapport isotopique (IRMS) Thermo. L' « âge radiocarbone conventionnel » a été calculé à l'aide de la demi-vie de Libby (5568 ans) ; il est corrigé pour le fractionnement isotopique total et est utilisé pour la calibration, le cas échéant. L'âge est arrondi à la décennie la plus proche et est reporté en années radiocarbone « avant le présent » (BP), où le « présent » = 1950 AD. Les résultats supérieurs à la référence moderne sont reportés comme pourcentage de carbone moderne (pMC). La norme de référence moderne correspond à 95% de la signature C14 du NIST SRM-4990C (acide oxalique). Les erreurs citées correspondent à des statistiques de comptage à 1 sigma. Les sigmas calculés inférieurs à 30 BP sur l'âge radiocarbone conventionnel sont arrondis de façon conservatrice à 30. Les valeurs d13C correspondent au matériau en lui-même (et non à la valeur d13C de l'AMS). Les valeurs d13C et d15N sont relatives à VPDB-1. Les références pour les calibrations sont citées en bas des pages contenant les graphiques de calibration.

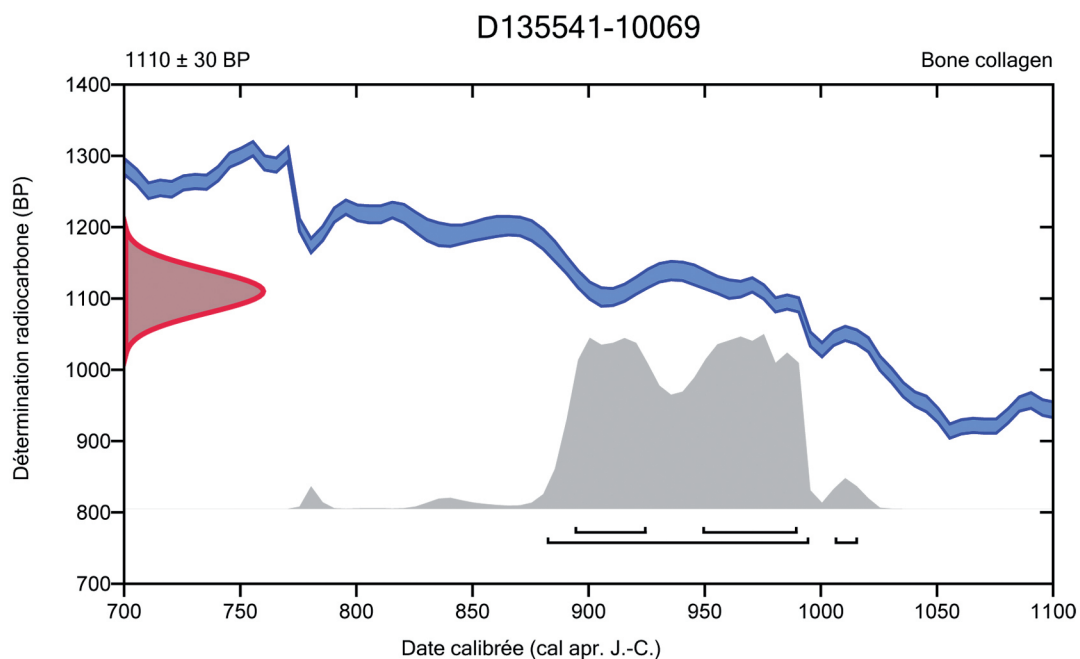
(Variables:  $\delta^{13}\text{C} = -19.7$  o/oo)**Code laboratoire      Beta-582729****Âge radiocarbone conventionnel      1110  $\pm$  30 BP**

95.4% probabilité

(93.9%)	882 - 995 cal apr. J.-C.	(1068 - 955 cal BP)
(1.5%)	1006 - 1016 cal apr. J.-C.	(944 - 934 cal BP)

68.2% probabilité

(38.9%)	949 - 990 cal apr. J.-C.	(1001 - 960 cal BP)
(29.3%)	894 - 925 cal apr. J.-C.	(1056 - 1025 cal BP)

**Base de données utilisée**

INTCAL20

**Références****Références à la méthode de probabilité**Bronk Ramsey, C. (2009). Bayesian analysis of radiocarbon dates. *Radiocarbon*, 51(1), 337-360.**Références à la base de données INTCAL20**Reimer, et al., 2020, *Radiocarbon* 62(4):725-757.

## 3.2. Annexe 2 : L'industrie lithique (Juliette DURAND, Inrap)

Les vestiges lithiques issus du diagnostic d'Orsay, Zac de Corbeville, partie Ouest, phase 2, sont peu abondants (nb : 16), mais ils se déploient sur chacune des zones de diagnostic : 9 au Nord et 7 au Sud (Fig. 13, 18 et 27).

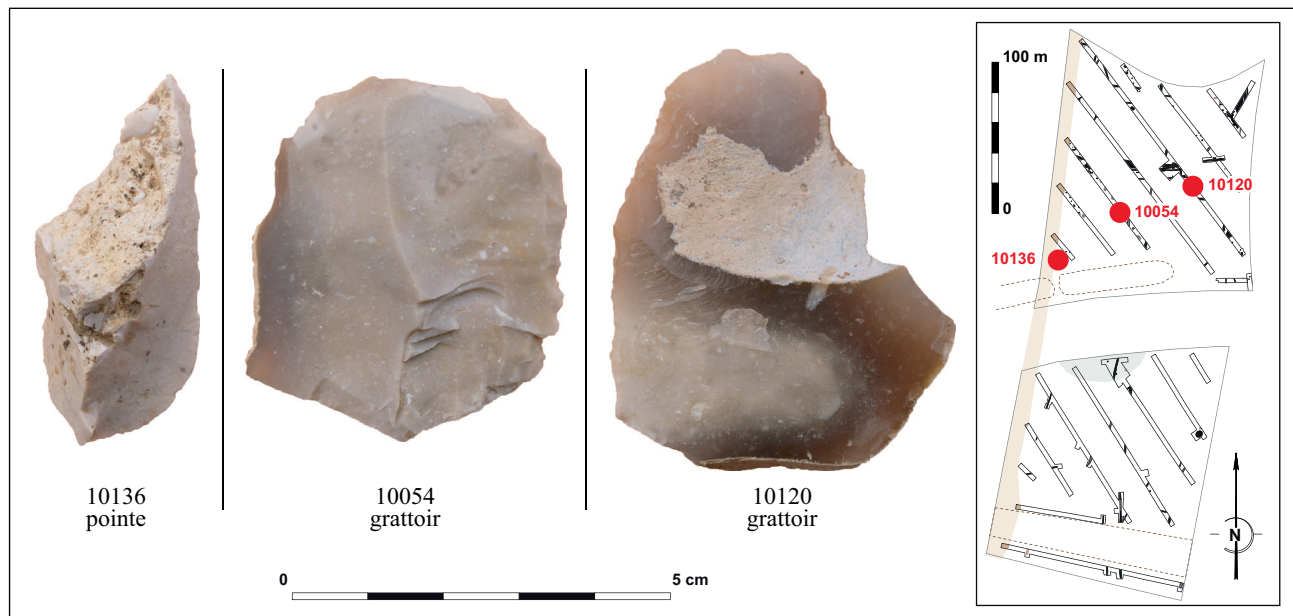
**Fig. 27** Orsay (91), Zac de Corbeville, partie Ouest, phase 2. Tableau descriptif du corpus de l'industrie lithique © INRAP : J. Durand

Zone	n° Us	matière	support	type/outil	nb
Nord	10054	secondaire	éclat	grattoir	1
	10120	secondaire	éclat	grattoir	1
	10136	Tertiaire	éclat	pointe	1
	10187	indéterminé	éclat	(vide)	1
		secondaire	éclats	bruts	4
		secondaire	éclat	retouché	1
Sud	11005	secondaire	éclat	grattoir	1
	11008	indéterminé	éclat	brut	1
		secondaire	éclats	bruts	2
		indéterminé	pièce biface	Hache polie	1
		tertiaire bartonien	pièce biface	Hache polie	1
	11012	tertiaire	déchet	brut	1
<b>Total</b>					<b>16</b>

### 3.2.1. Zone Nord

En Zone Nord, les silex sont répartis dans quatre tranchées (TR01, 02, 03 et 19). Ils sont à l'unité dans les tranchées 01, 03 et 19, issus des trous de poteau (10120 et 10136) ou des limons de plateau (iso10054, Hz I-a), et concentrés dans les 12 m<sup>2</sup> du sondage 10187.

**Fig. 28** Orsay (91), Zac de Corbeville, partie Ouest, phase 2. Outils lithiques de la Zone Nord © INRAP : J. Durand



Les six silex issus de l'horizon 10187-a (I-a), qui correspond aux limons brun gris légèrement orangés, sont situés entre 30 et 55 cm, sous les labours récents (cf. § 5 : **Pl. 018**). Ce sont des éclats en silex secondaire, sauf un, en silex chauffé (craquelé blanc). Les matrices sont beiges ou gris clair avec ou sans zones sous corticales brun translucide, indiquant qu'ils ne proviennent pas d'un seul bloc. Ils présentent un bon aspect de fraîcheur, sans patine, ni esquille. Ce sont de petits éclats bruts, à l'exception du plus grand (45/12/10 mm) qui est retouché sur la partie proximale de son bord droit (inverse, continue, courte, semi abruptes). Ils sont obtenus par percussion directe dure.

Les trois silex dispersés dans les autres tranchées sont des outils sur éclats, d'aspect frais et non patiné. Ce sont une pointe et deux grattoirs (**Fig. 13**). La première est façonnée sur un fragment distal en silex tertiaire. C'est un outil robuste (22/46/14 mm) entier. Les deux grattoirs sont en silex secondaire beige moucheté opaque, avec une zone sous corticale brune translucide. Leurs dimensions sont similaires : entre 4 et 5 cm de longueur, pour 1 cm d'épaisseur. L'un est allongé, l'autre plutôt large. Ils sont entiers et obtenus par percussion directe dure.

### 3.2.2. Zone Sud, horizon 11012

En Zone Sud, deux éclats, localisés au Nord des tranchées 10 et 11, sont issus de l'horizon 11012 = 11005 (*supra* : cf. § 2.2.2.2) : un grattoir sur éclat laminaire, en silex secondaire patiné et altéré par quelques points de rouille (11005) ; et un grand éclat brut en matière tertiaire, légèrement rosée à orangée (chaille, meulière ou silex calcareux), de mauvaise qualité pour la taille.

### 3.2.3. Zone Sud, fait 11008

Enfin, un creusement de la taille d'un petit poteau (11008), daté du Néolithique récent, renferme 5 pièces (cf. § 5 : **Pl. 006 et 007**). Ce sont trois éclats bruts d'aspect particulièrement frais et deux haches polies, posées à plat, l'une sur l'autre (*supra* : cf. § 2.2.2.1).

Deux éclats sont en silex secondaire brun foncé translucide, avec ou sans zone sous corticale noire. Le troisième est un silex brun foncé moucheté et lité, probablement issu d'une plaquette à zone sous corticale noire.

Les deux haches sont différentes (**Fig. 29 et 30**).

L'une d'elles est bicolore (398 g) : des circonvolutions gris clair, dans une matrice plutôt brun clair, se perçoivent à travers un voile patiné, teinté de rouge ou d'orange, et moucheté gris clair. L'origine de cette matière première est indéterminée.

Elle mesure 122 X 63 X 38 mm. Sa forme est quadrangulaire, avec une section quadrangulaire épaisse (presque triangulaire). Ses bords sont plans sur environ 5 mm d'épaisseur. Son tranchant est curviligne en plan, et en biseau symétrique en vue de profil. Son talon est trapézoïdal en plan, et ogival en profil.

Son polissage envahit tout le volume de la pièce, et il est poussé plus intensément sur le biseau. Des plages vestigiales de sa mise en forme sont cependant encore visibles sur le corps de la pièce, et particulièrement un grand éclat qui façonne le talon.

La seconde hache (111 g) est en silex tertiaire bartonien bicolore brun clair et brun foncé. Elle est dotée sur une face de plages corticales blanches finement grenues (elles accrochent au doigt), qui ont été partiellement polies.

---

Elle mesure 98 X 50 X 16 mm. Sa forme est quadrangulaire asymétrique et sa section est dissymétrique. Son tranchant est curviligne en plan, et en biseau très légèrement dissymétrique en vue de profil. Son talon est trapézoïdal en plan et en profil. La morphologie des arêtes est assez sinueuse, avec un méplat partiel, qui s'observe entre les enlèvements de mise en forme.

Le poli est intense et complet sur le tranchant, jusqu'au tiers ou la moitié de la pièce (selon les faces), et il est très discret sur le corps de la hache, visible entre certains enlèvements de mise en forme, dont les contours sont tous émoussés par un polissage superficiel.



Fig. 29 Orsay (91), Zac de Corbeville, partie Ouest, phase 2, Zone Sud. Photographies des haches polies du fait 11008 © INRAP : J. Durand

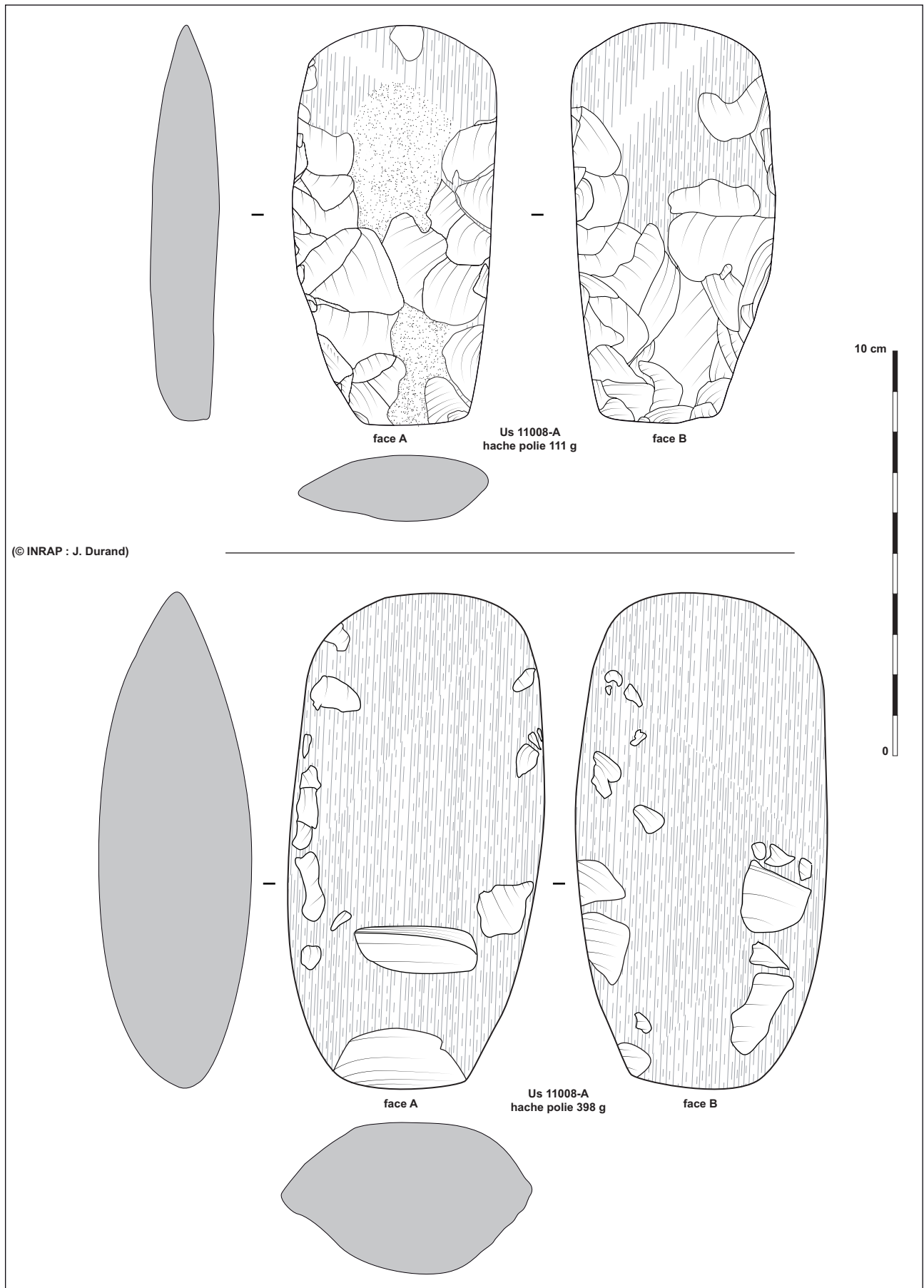


Fig. 30 Orsay (91), Zac de Corbeville, partie Ouest, phase 2, Zone Sud. Dessins des haches polies du fait 11008 © INRAP : J. Durand



### 3.3. Annexe 3 : La céramique néolithique (Stéphane DURAND, Inrap)

Le récent diagnostic archéologique mené à Orsay, Zac de Corbeville, partie Ouest, phase 2, a mis au jour des vestiges de poteries datant du Néolithique.

Un premier lot est constitué de tessons ramassés dans la Zone Nord (10039), tranchée de sondage 2, sur une zone de moins de 10 m<sup>2</sup>, dans la couche sédimentaire sous-jacente à la couche de terre arable (Hz I-a ; Fig. 17; cf. § 5 : Pl. 018).

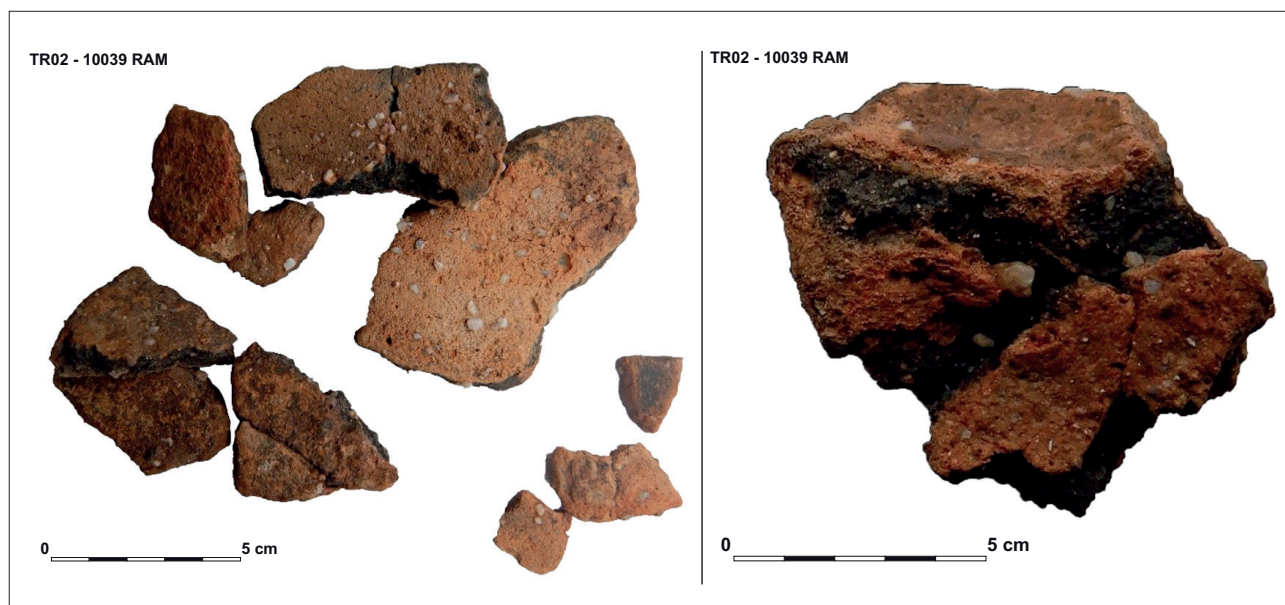
Le second lot est constitué de fragments d'un unique vase provenant d'un fait en creux (11008) de la tranchée de sondage 10, associé à d'autres artefacts (Pl. 006 et 007).

Un peu plus de 175 mètres séparent la structure 11008 du ramassage 10039 (cf. § 5 : Pl. 001 ; plan joint).

#### 3.3.1. Zone Nord : la céramique du ramassage 10039

Les quatorze tessons exhumés (à la pelle mécanique), dont 3 remontent ensemble et forment une préhension, proviennent vraisemblablement du même individu. Ils sont constitués des mêmes matériaux : une pâte argileuse incluant des sables fins et de gros grains de quartz, de deux à quatre millimètres de côté, aux arêtes très émoussées, ainsi que quelques grains de chamotte (Fig. 31).

Fig. 31 Orsay (91), Zac de Corbeville, partie Ouest, phase 2, Zone Nord. Photographies des tessons du ramassage 10039 © INRAP : S. Durand

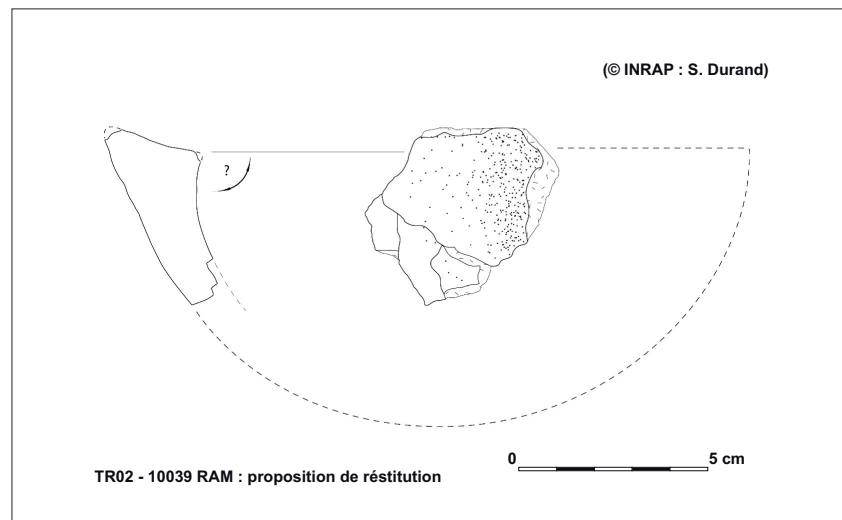


La conservation est médiocre (les surfaces ont presque totalement disparu), mais les rares zones conservées permettent de voir que même les plus grosses inclusions étaient invisibles, recouvertes par un mélange d'eau et d'argile. La cuisson est bien maîtrisée. La pâte est dure. Les teintes, noires à cœur et rouge orangé en surface, témoignent d'une cuisson en atmosphère réductrice, avec une phase finale oxydante. L'épaisseur de la paroi du récipient varie de 9 à 13 mm, l'épaisseur augmentant vers le probable fond et, bien sûr, pour constituer la préhension large d'environ 26 mm.

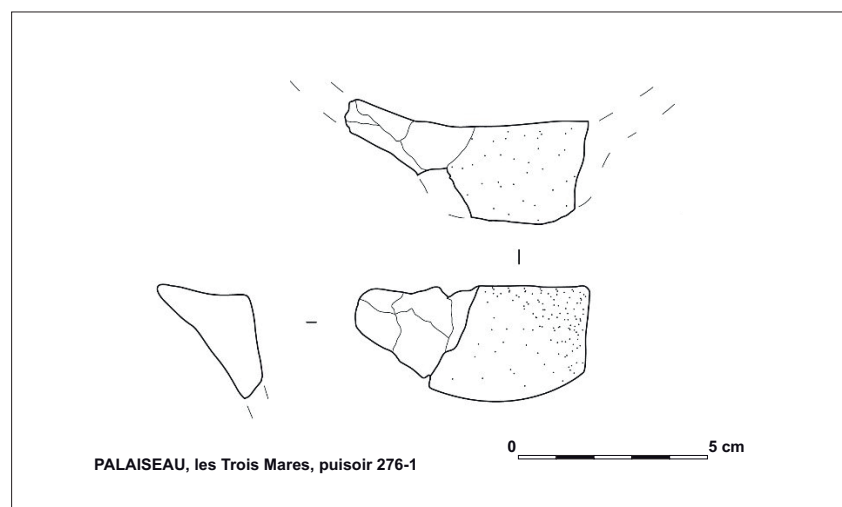
Du double point de vue des constituants et de la cuisson, cette céramique ressemble beaucoup à celle que nous avons mis au jour sur le site proche de Palaiseau *les Trois Mares* (cf. § 3.5). De plus, le type de préhension du puits d'Orsay (Fig. 32), qui dégage un emplacement pour le pouce, par un surépaississement ponctuel du rebord du récipient, est vraiment particulier. A tel point que le seul autre exemplaire de ce type connu dans le Bassin parisien, sauf lacune bibliographique de notre part, est celui de Palaiseau (Fig. 33).

Ce dernier argument resserre la proximité chronoculturelle entre ces deux sites, géographiquement proches (Fig. 39 et 40), et nous conduit à proposer, pour le mobilier d'Orsay, une attribution à la fin du Néolithique moyen 2, vraisemblablement vers le 38<sup>e</sup> siècle avant notre ère.

**Fig. 32** Orsay (91), Zac de Corbeville, partie Ouest, phase 2, Zone Nord. Proposition de restitution du puits 10039 © INRAP : S. Durand



**Fig. 33** Palaiseau (91), *les Trois Mares*. Fragment de puits 276-1 © DURAND J. ET AL. 2016



### 3.3.2. Zone Sud : la céramique de 11008

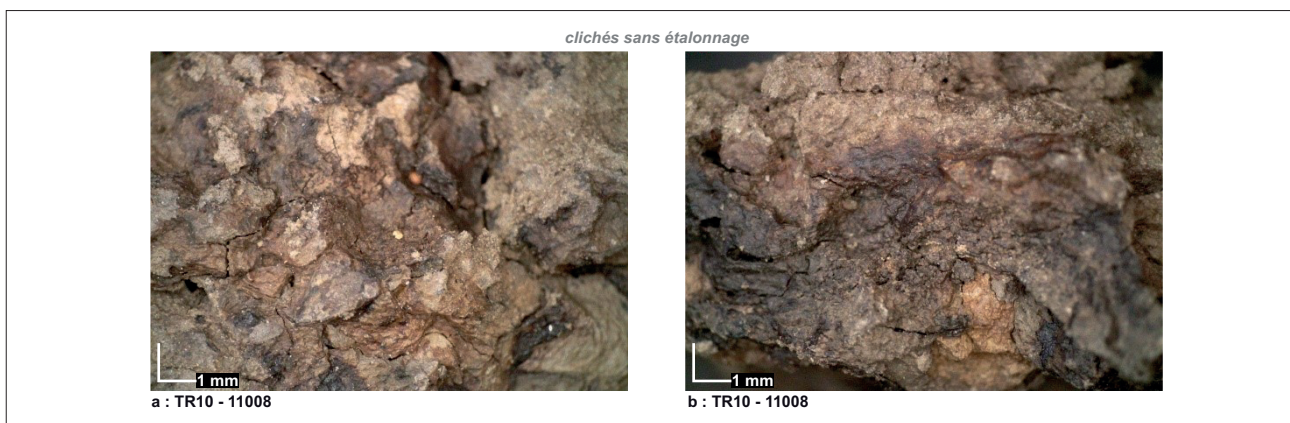
La fouille manuelle, rapide, de la moitié OSO de la structure 11008 a livré les fragments d'un unique vase. Comme il a été souligné plus haut, les conditions de conservation sont mauvaises, et la poterie dans un état médiocre. Une trentaine de tessons et un petit tas de grains de céramique constituent les fragments du récipient, en de nombreux endroits pulvérulent.

Lors de la fouille, la base du vase était posée à l'horizontale, dans la partie supérieure conservée de l'Us 11008-A1 (*supra* : cf. § 2.2.2.1).

La partie mieux conservée est le fragment de fond plat, d'environ 9,5 cm de diamètre, constitué d'une galette épaisse (20 à 23 mm), élargie par un colombin de plus de 20 mm sur lequel démarre la paroi du récipient. Un fragment vertical de 5 tessons de la paroi a également pu être remonté, mais sans lien direct avec le fond, et sans même que l'on puisse en déduire le moindre diamètre fiable de la panse. Le fond est simple, sans partie débordante.

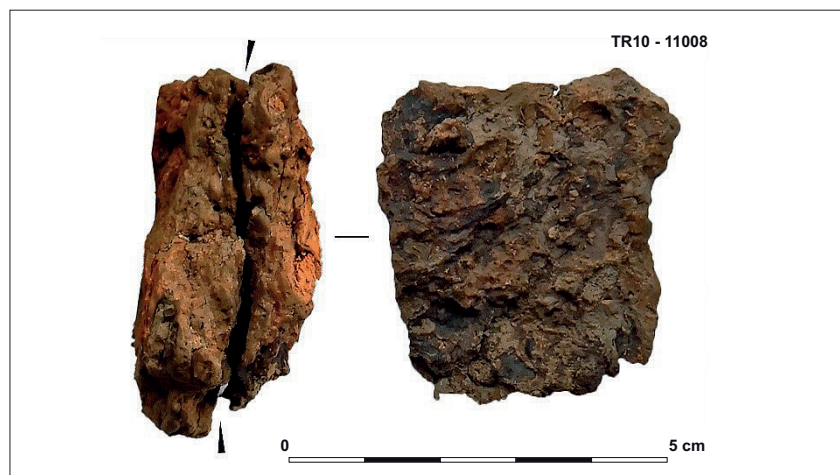
La pâte est épaisse d'environ deux centimètres. L'examen à la loupe binoculaire de la tranche des tessons permet de voir que la céramique contient extrêmement peu d'inclusions, lesquelles sont par ailleurs suffisamment fines pour être quasi invisibles à l'œil nu ; l'aspect en gros grains enrobés et enchevêtrés est, selon nous, dû à la présence en quantité importante de limon dans l'argile (Fig. 34).

**Fig. 34** Orsay (91), Zac de Corbeville, partie Ouest, phase 2, Zone Sud. Photographies à fort grossissement, détails de tranches de tessons de 11008 © INRAP : S. Durand



Les délitements de certains tessons en deux plaques (Fig. 35) témoignent d'un épaississement ponctuel de la paroi lors du montage du pot, par ajout de plaques (ou bien de colombins ?).

**Fig. 35** Orsay (91), Zac de Corbeville, partie Ouest, phase 2, Zone Sud. Exemple de délitement d'un tesson de 11008, et surface intérieure © INRAP : S. Durand



Enfin, la morphologie de ce vase reste en grande partie inconnue : il s'agit d'un pot à fond plat, aux parois épaisses, d'assez grande dimension (probablement plus de trente centimètres de haut), dont on ne connaît pas la forme générale, ni aucun diamètre sur la panse (Fig. 36).

Pour ses caractéristiques, ce vase peut être attribué au Néolithique récent ou final, sans que l'on puisse préciser davantage.

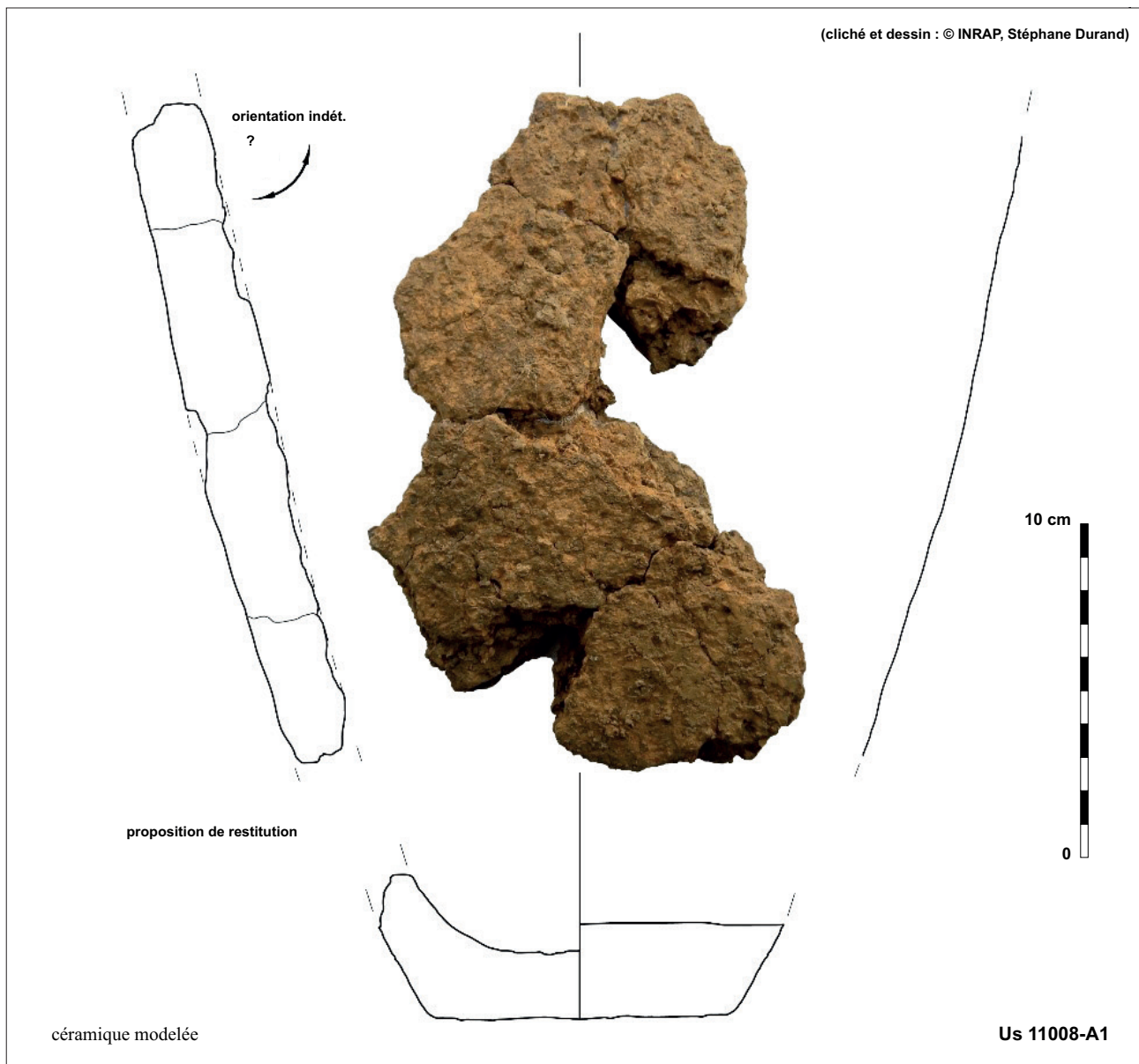
### 3.3.3. Céramique néolithique : synthèse et conclusion

#### Ramassage 10039, Néolithique moyen

D'après nos observations, les tessons notés 10039 RAM témoignent d'une présence humaine peu marquée datant du Néolithique moyen 2, que l'on situe plutôt sur la fin de cette période.

En rapportant cette découverte aux autres éléments mis au jour, cette présence humaine reste peu marquée, et pourrait correspondre à une zone d'exploitation du lieu.

**Fig. 36** Orsay (91), Zac de Corbeville, partie Ouest, phase 2, Zone Sud. Proposition de restitution du vase 11008 ; orientation des parois et diamètre de la panse indéterminés  
© INRAP : S. Durand



### Fait 11008, Néolithique récent

La structure 11008 est quant à elle plus tardive et appartient au Néolithique récent à final (récent selon la date C14 réalisée sur charbons : cf. § 3.1.1).

Le pot à fond plat est associé, dans une matrice sédimentaire charbonneuse, à d'autres objets : des éclats de silex, deux haches polies et une molette en grès. Le recrutement sélectif de ces objets fait à l'évidence de cet assemblage un dépôt intentionnel, dont la cause nous est inconnue. Les comparaisons avec d'autres éléments proches de la même période, nous conduisent à émettre plusieurs hypothèses (cf. § 3.5).

Contextuellement, la découverte de la structure 11008 en fin d'opération de diagnostic n'a pas permis de vérifier si d'autres vestiges de même type se trouvaient à proximité immédiate, pourtant, ces vestiges rares suscitent le plus grand intérêt pour l'archéologie de la période, et une intervention supplémentaire nous semblerait tout à fait opportune.



## 3.4. Annexe 4 : L'industrie macrolithique (Cécile MONCHABLON, Inrap, UMR 8215-Trajectoires)

**Fig. 37** Orsay (91), Zac de Corbeville, partie Ouest, phase 2. Inventaire abrégé des pièces macrolithiques collectées © INRAP : C. Monchablon

Sur les parcelles diagnostiquées, 10 éléments macrolithiques ont été récoltés (**Fig. 37**).

n° Hz / Us	loc.	type d'objet	intégrité	frags	nmi	Long	larg	ép.	poids	Roche
10186	ZN, TR02	fragment thermique	«complet»	1	1				7,650	grès quartzitique fin homogène massif blanc beige, extérieur rougi par chauffe
11008	ZS, TR10	molette sur support remodelé (probablement meule initiale) : flanc 2 = zone de fracture façonnée	entier	1	1	26	13	6	2,565	grès quartzitique fin homogène massif blanc beige
11012 RI	ZS, TR11	fragment thermique	fragment	1	1				0,150	grès quartzitique fin homogène massif blanc beige, rougi
		fragment thermique	fragment	3	2				0,172	grès quartzitique fin homogène massif blanc beige, noir au cœur (chauffe) et rougi extérieur
11033 RI 11012	ZS, TR11	fragment thermique	fragment	4	1				0,123	grès quartzitique fin homogène massif blanc beige, noir au cœur (chauffe) et rougi extérieur
<b>TOT :</b>				<b>10</b>	<b>6</b>				<b>10,660</b>	

### 3.4.1. Ramassages divers

#### Zone Nord, TR02, fossé 10186

Un bloc de grès quartzitique (7,650 kg), fortement chauffé. L'altération thermique (enlèvements partiels, fissuration, rougeolement) rend difficile la lecture d'éventuels stigmates de préparation ou d'utilisation. Il semble toutefois, qu'un flanc de ce bloc ait fait l'objet d'enlèvements préalables à la chauffe. S'agit-il d'un reste d'outil non identifiable ? Le contexte de découverte, un fossé *a priori* médiéval, (cf. § 5 : PI. 022), ne permet pas de déterminer plus avant cette pièce.

#### Zone Sud, horizon 11012 et fosse 11033

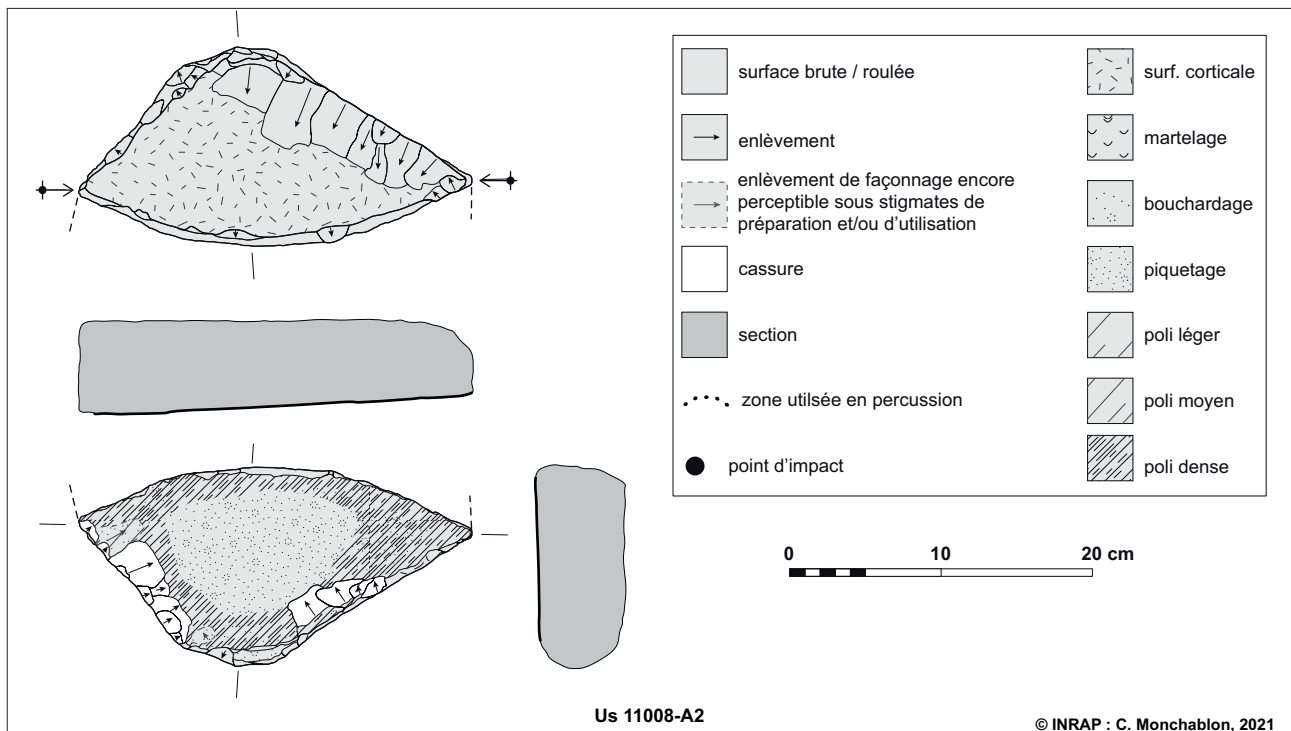
Un échantillon de trois fragments thermiques, dont deux noircis à cœur, en grès stampien, issus du contexte 11012 / 11033 (*supra* : cf. § 2.2.2.2).

### 3.4.2. Zone Sud, 11008, Néolithique récent

(cf. § 5 : PI. 007)

Il s'agit là du seul outil macrolithique récolté sur la parcelle.

Cet outil de mouture est établi sur un grès quartzitique fin homogène massif blanc beige. Sa morphologie triangulaire (**Fig. 38**) résulte du remodelage d'un de ses flancs : son profil convexe correspond à une face inférieure de détachement régularisée par quelques enlèvements. Cette réfection du volume de l'outil a été faite par percussion sur enclume selon un axe parallèle à la surface active.



**Fig. 38** Orsay (91), Zac de Corbeville, partie Ouest, phase 2. Zone Sud, TR10, molette de mouture du fait 11008 © INRAP : C. Monchablon

Le flanc opposé reste celui du premier outil support. Les extrémités longitudinales correspondent l'une et l'autre à l'arrête entre les deux flancs. Le dos est plat, partiellement façonné par enlèvements centripètes. Un poli léger se lit sur les seules zones en reliefs.

La surface active, classiquement préparée par piquetage, présente sur son pourtour un poli très prononcé au point d'avoir effacé toute préparation antérieure. Une recherche de suppression de ce poli d'aspect lustré se lit nettement : plusieurs négatifs d'éclats plus ou moins plats, détachés parallèlement à la surface active depuis le flanc préservé viennent l'entamer ; un piquetage frais au centre de la surface active participe de la même volonté d'effacer ce poli. Ce rafraîchissement est perceptible sur le profil de l'outil : le piquetage de ravivage a généré une légère dépression.

Cet outil correspond donc pour son dernier usage à une molette entière (26 x 13 x 6 cm pour 2,656kg). L'outil support correspondait très certainement à un outil de mouture, mais impossible de déterminer s'il s'agissait d'une meule ou d'une molette. Abandonné fraîchement après réfection et ravivage, il n'est pas non plus possible de savoir si ce remodelage a été suivi d'une utilisation. Si elle a eu lieu, elle n'a pas duré assez longtemps pour marquer le ravivage central.

Toutefois, on émet l'hypothèse d'un remodelage en vue de façonner un nouvel outil, portant une dimension pas seulement technique mais également symbolique (dépôt en fosses d'objets liés à l'agriculture ? cf. § 3.5).

On notera que la fosse contenait 2 autres objets macrolithiques non prélevés. L'un d'eux porte une description laissant suggérer qu'il pouvait s'agir d'un outil ou d'un objet avec traces anthropiques : « 1 gros éclat de grès facetté brut » (*supra* : cf. § 2.2.2.1).

Au jeu des comparaisons, cette molette trouve peu de similitudes avec celles d'autres séries connues dans le Nord de la France.

## 3.5. Annexe 5 : Brève synthèse sur l'occupation néolithique (J. DURAND, S. DURAND, C. MONCHABLON, INRAP)

### Contexte

L'emprise de la *Zac de Corbeville, partie Ouest, phase 2*, se situe dans un cadre largement diagnostiqué et fouillé sur le plateau de Saclay (Fig. 04 et 05, *supra*). Les indices d'occupation néolithique sont assez fréquents (Fig. 39), sous la forme de mobiliers trouvés en surface, lors des prospections pédestres, ou dans les limons de plateau, lors des opérations archéologiques. Ils sont alors répartis de façon sporadique, ou en position secondaire, dans des structures plus récentes<sup>1</sup>.

Les fouilles qui ont eu lieu dans le secteur sont souvent des opérations visant des périodes chronologiques plus récentes (sites n°35, 17, 58). A moins d'1 km vers l'Est, la fouille de Palaiseau, *Quartier Ouest de Polytechnique, les Trois Mares*, fait exception (n°97 : Fig. 40 ; DURAND J. 2016). Elle concerne une occupation du Chasséen septentrional (Néolithique moyen 2), qui s'étend sur les 2 ha décapés, et même au-delà.

A titre d'exemple, des foyers similaires à ceux de la fouille se retrouvent encore sur le diagnostic voisin du Vitapôle (n°6), et même sur la fouille de l'établissement gallo-romain n°35 (la Troche).

La présence du Chasséen sur le plateau est également avérée vers le flanc sud du plateau, à 2,4 km au S/SO, sur la Zac du Moulon (n°60 ; MONDOLONI 2019). Les sites n°66 (*Plaine des Sports*) et n°35 (*Quartier Ouest de Polytechnique, la Troche*) contiennent aussi des indices rattachables au Néolithique moyen 2.

Cette prédominance du Néolithique moyen contraste avec la discrétion du signal néolithique ancien, qui n'en est pas moins présent, mais de façon très sporadique.

En revanche, les étapes récentes et finales sont mieux représentées, bien qu'encore mal définies d'un point de vue chronoculturel. A environ 2,5 km, à Palaiseau, une occupation du Néolithique récent est attestée par quelques fosses, sur le flanc ENE du plateau, aux lieudits *les Marnières et les Granges*<sup>2</sup>.

### Zone Nord, Néolithique moyen

Le plateau de Saclay est donc largement occupé au Néolithique moyen 2, mais les occupations sont peu ancrées. La structuration est principalement composée de vestiges de surfaces (mobilier en couche et démantèlement de structures de pierres chauffées), à l'exception de petits foyers excavés aux parois rubéfiées.

Aucun trou de poteau ni bâtiment n'a été mis en évidence jusqu'à présent dans ce secteur.

1. Voir J. DURAND dans GIORGI 2019-A : pp. 126-129

2. n° 34 et 7 : Fig. 04 ; BIWER 2010 ; CISSÉ 2011

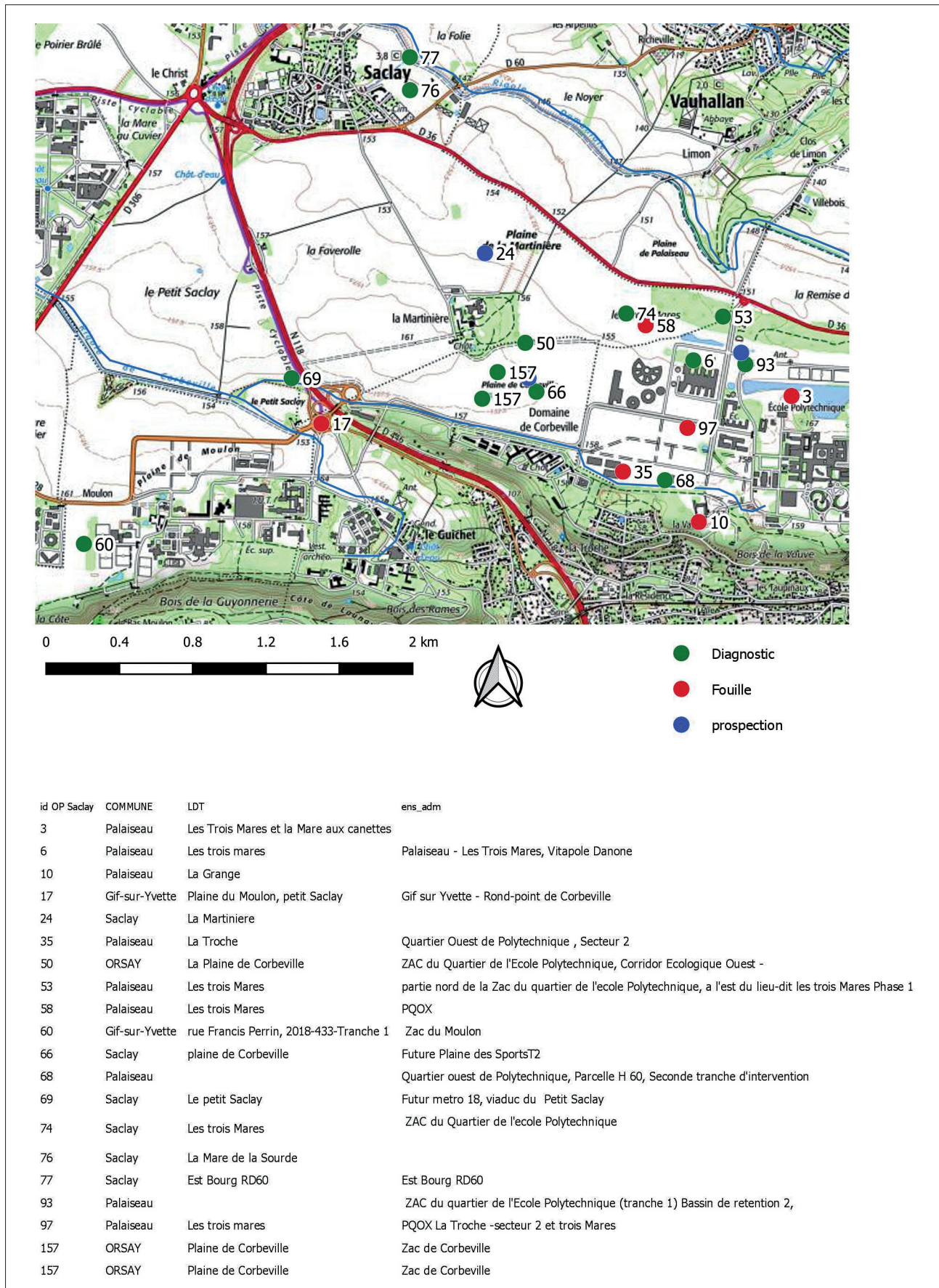


Fig. 39 Nature des opérations archéologiques ayant livré des vestiges et/ou du mobilier néolithiques dans le secteur d'Orsay (91), Zac de Corbeville (janvier 2021)  
 © INRAP : C.Giorgi et J. Durand

Le mobilier de la Zone Nord de l'emprise de la *Zac de Corbeville, partie Ouest, phase 2*, illustre bien ce "bruit de fond", et pourrait correspondre à une zone d'exploitation du lieu (cf. § 3.2 : J. DURAND). La céramique renvoie plutôt à la fin du Néolithique moyen 2 (cf. § 3.3 : S. DURAND).

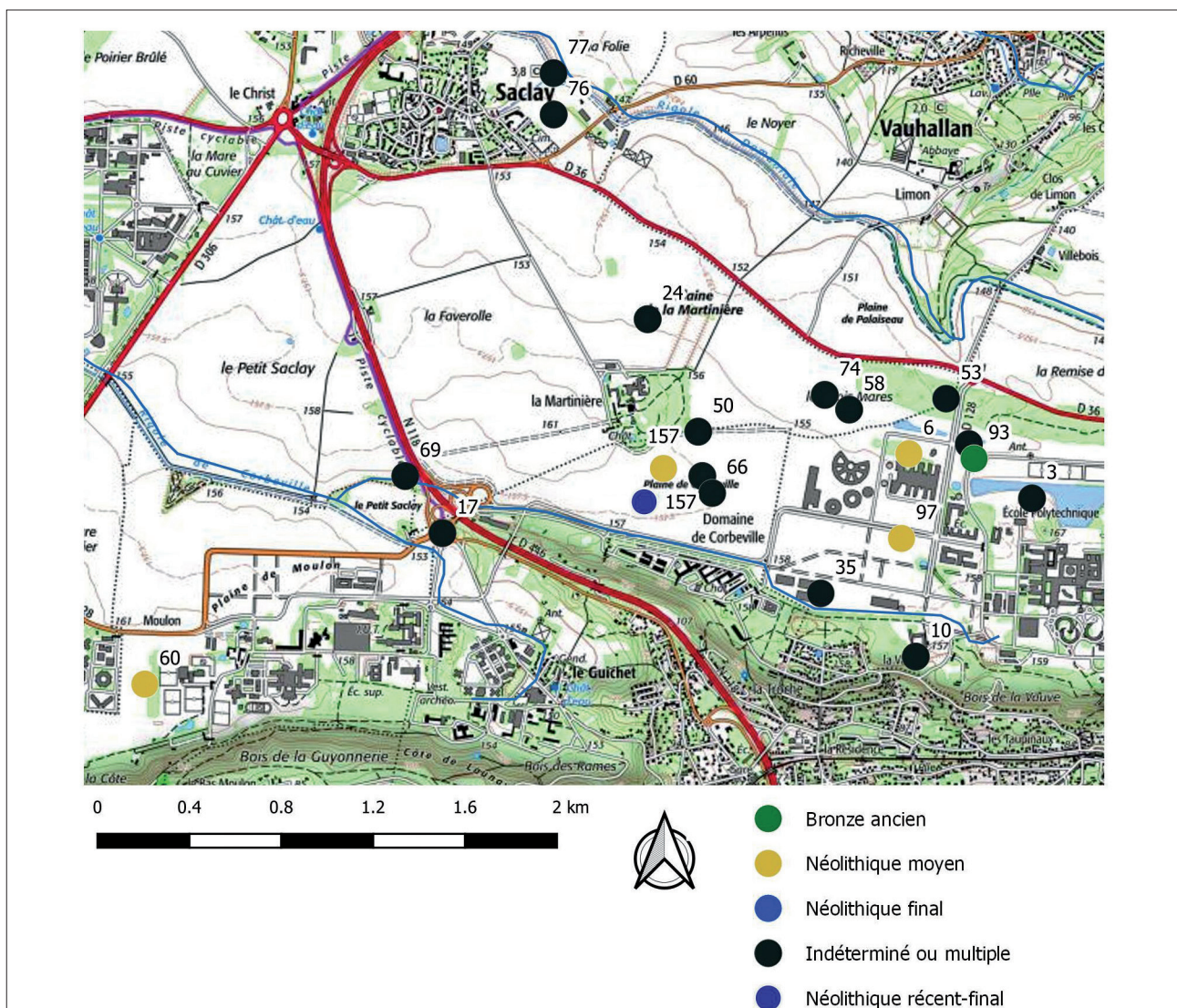
## Zone Sud, Néolithique récent

La Zone Sud se distingue par la présence d'un petit fait en creux (11008), interprété comme trou de poteau par les fouilleurs, qui concentre, dans une matrice organique et charbonneuse, un mobilier céramique ainsi que lithique et macrolithique attribué au Néolithique récent, entre 3350 et 3000 avant J.-C.<sup>3</sup>.

Comme évoqué ci-dessus, il ne s'agit pas du premier creusement de cette période identifié sur le territoire du plateau de Saclay, puisque deux petits fonds de fosses ont été diagnostiqués à Palaiseau, au lieu-dit *les Marnières* (n°34). Il s'agit de petites excavations circulaires, de moins d'un mètre de diamètre et 30 cm de profondeur, comblées par un limon plus ou moins chargé en matière organique. Elles sont comparables à 11008, qui constitue donc la troisième structure néolithique récent (ou final) sur ce territoire. Sa découverte en fin d'opération n'a pas permis de vérifier si d'autres vestiges de même type se trouvent à proximité immédiate, ni de statuer sur son caractère isolé apparent.

**Fig. 40** Attribution chronoculturelle des sites et des indices néolithiques à protohistoriques anciens dans le secteur d'Orsay (91), Zac de Corbeville (janvier 2021)

© INRAP : C. Giorgi et J. Durand



3. cf. § 2.2.2.1 ; cf. § 3.1 à 3.4 : *Lab. Beta Analytic*, J. DURAND, S. DURAND, C. MONCHABLON ; cf. § 5 : **PI. 006 et 007**

Composé d'un pot à fond plat, de deux haches entières, aux tranchants parfaitement polis, et d'une molette de mouture entière et rénovée, cet assemblage ne correspond pas aux habituels déchets de nature domestique. Ces objets portent manifestement une dimension symbolique. A cela s'ajoute trois éclats bruts en silex, dont l'aspect particulièrement frais indique un enfouissement rapide après réalisation.

Le recrutement sélectif de ces objets fait de cet assemblage, avec mise en scène et agencement scrupuleux des haches, un dépôt intentionnel, dont la cause nous est inconnue.

Le dépôt de haches polies est un phénomène assez courant. Il est désormais mieux connu pour les haches en roches tenaces, grâce à la publication de l'ANR Jade<sup>4</sup> : « *Pour l'Europe occidentale, le dépouillement systématique des publications tend à prouver que ces haches fichées dans le sol sont beaucoup plus fréquentes qu'il n'y paraît de prime abord (...). On est même en droit de penser que toutes ces haches en roches alpines précieuses, grandes ou petites, souvent magnifiquement polies à la glace, ne sont pas les découvertes isolées et sans contexte que l'on a voulu imaginer ; au contraire, elles représenteraient des modalités de dépôt volontaire et habituel, jalonnant des points particuliers du paysage, associés aux cols, aux sommets, aux falaises, aux grottes, aux pierres dressées, et surtout aux milieux humides. Le fait n'est pas spécifique des haches en roches alpines, puisque l'on connaît également, aux Pays-Bas et en Scandinavie, des dépôts de "haches" en silex dans les tourbières* » (PÉTREQUIN ET AL. 2012).

Le dépôt de hache en silex est également connu dans le Bassin parisien, même si ce type de contextes reste assez rarement documenté, et qu'il n'est pas possible de statuer sur la nature exacte des découvertes anciennes de surface. On connaît cependant, parmi elles, les trois haches polies de Villiers-sur-Marne, dans le Val-de-Marne (PEEK 1975 : p. 297), et les deux de May-en-Multien, en Seine-et-Marne (GIVENCHY 1907).

Plus récemment, deux haches polies ont été découvertes en fouille à Achères (Yvelines). A Longueil-Sainte-Marie (Oise), ce sont trois haches polies et quatre taillées qui ont été découvertes (GILIGNY ET AL. 2012). L'association d'une hache polie avec une hache taillée est signalée à Lesches, *les Près du Refuge*, en Seine-et-Marne (BRUNET 2006), ou encore à Meaux, "Liaison nord/Hôpital" (DURAND 2012 : p.71).

Toutefois, aucun de ces exemples franciliens n'est associé à un creusement, contrairement à la découverte d'Orsay, *Zac de Corbeville, partie Ouest, phase 2*. Ainsi, s'il s'agit bien d'un dépôt, cela lui confère un statut inédit et très particulier.

Il nous semble opportun de rappeler que les haches polies se trouvent aussi fréquemment en contexte sépulcral (SOHN 2002 : p. 504, fig. 1). Si aucun exemple d'association similaire en fosse isolée n'a encore été trouvé, on constate que, d'une part, les sépultures de la période associent souvent inhumation et incinération, et que, d'autre part, les incinérations seules (non associées à des inhumations) sont très mal connues, mais existent bien au Néolithique récent/final, avec un unique exemple connu dans le Loiret, à Varennes-Changy, *les Canas* (BILLOIN ET AL. 1999).

De tels vestiges excavés et mobiliers associés sont rares, et suscitent le plus grand intérêt pour la connaissance de la fin du Néolithique en Île-de-France.

---

4. Inégalités sociales et espace européen au Néolithique : la circulation des grandes haches en Jade alpin

## 3.6. Annexe 6 : La céramique modelée protohistorique et non datée (Hélène CIVALLERI, Inrap)

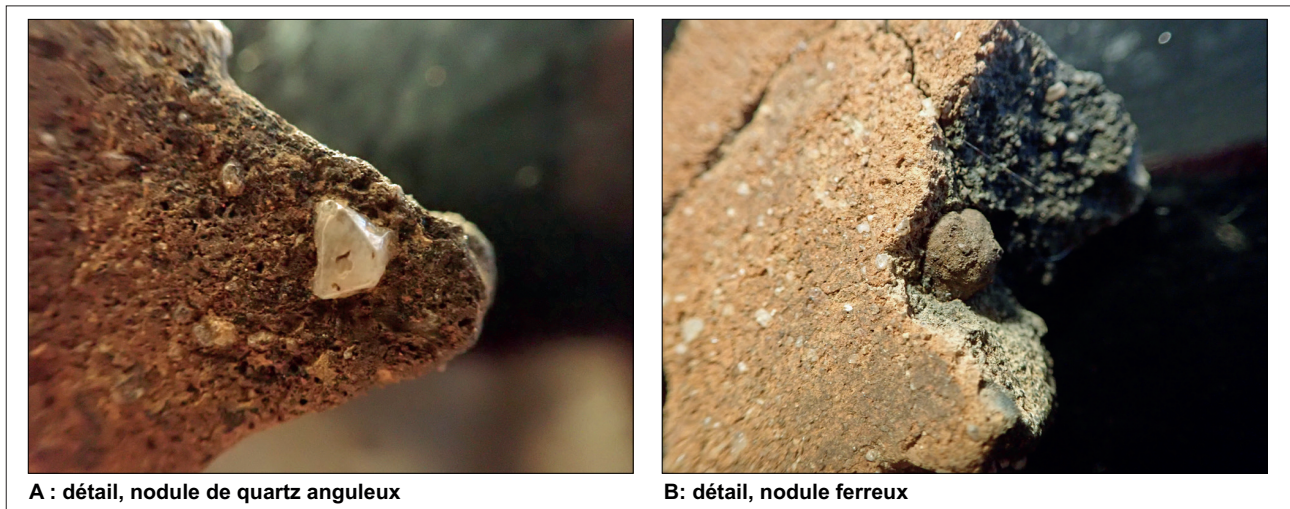
Un petit lot de tessons (192 tessons pour un poids de 2770 g) constitué exclusivement de céramique non tournée, et appartenant à la Protohistoire ou de période indéterminée, a été récolté lors de ce diagnostic.

Le poids moyen par tesson est d'environ 14 g, et se situe légèrement au-dessus des moyennes généralement observées sur les sites d'habitat franciliens. À contrario, les surfaces des tessons sont assez altérées, surtout pour les ensembles localisés dans la Zone Nord de l'emprise diagnostiquée.

**Fig. 41** Orsay (91), Zac de Corbeville, partie Ouest, phase 2. Inventaire détaillé de la céramique modelée protohistorique et non datée © INRAP : H. Civaleri

n° Hz / Us	TR	rem.	n° tesson	Pds (g)-Pâtes Fines	NR-Pâtes Fines	Pds (g)-Pâtes Semi-Fines	NR-Pâtes Semi-Fines	Pds (g)-Pâtes Grossières	NR-Pâtes Grossières
<b>ZONE NORD</b>									
10107	1							6	1
10124	2					7	1		
10136	19					23	1		
10146	18				1	6	1		
10156	1	SD10154						35	1
10183	2						0	78	1
10187	2					41	12		
10221	1	ram. Fen 01-A						28	2
10222	1	ram. TR01				58	19		
<b>ZONE SUD</b>									
11005	10	<=> 11012				141	23	32	7
11012	11	RI 11032	1			33	1		
11012	11	RI 11032	2			29	1		
11012	11	RI 11032	3	28	1				
11012	11	RI 11032	4			41	1		
11012	11	RI 11032	5			30			
11012	11	RI 11032	6					49	2
11012	11	RI 11032	7					327	3
11012	11	RI 11032	8			38	1		
11012	11	RI 11032	9					63	1
11012	11	RI 11032		32	3	162	27	932	39
11033	11	RI 11012 / 11032	10			53	1		
11033	11	RI 11012 / 11032	11			27	1		
11033	11	RI 11012 / 11032	12			73	3		
11033	11	RI 11012 / 11032	13			17	1		
11033	11	RI 11012 / 11032	14	7	1				
11033	11	RI 11012 / 11032	15			50	15		
11033	11	RI 11012 / 11032	16			12	1		
11033	11	RI 11012 / 11032				33	2	269	16
11048	9	ram. TR09						10	1
<b>TOTAUX</b>				<b>67</b>	<b>6</b>	<b>874</b>	<b>112</b>	<b>1829</b>	<b>74</b>
<b>TOTAL Poids</b>				<b>2770</b>					
<b>TOTAL NR</b>				<b>192</b>					

Le corpus a fait l'objet d'un inventaire détaillé par contexte, en poids et en nombre de restes (NR), ainsi qu'en fonction des types de pâtes (fines, semi-fines et grossières ; Fig. 41).



**A : détail, nodule de quartz anguleux**

**B : détail, nodule ferreux**

**Fig. 42** Orsay (91), Zac de Corbeville, partie Ouest, phase 2. Céramique modelée, exemples de dégraissants à base de nodules de quartz et ferreux © INRAP : H. Civalieri

Les dégraissants observés dans tous les types de pâtes sont constitués majoritairement de nodules de quartz (Fig. 42-A), et de façon un peu moins systématique de nodules ferreux (Fig. 42-B). L'utilisation de chamotte et de silex est observée à plusieurs reprises, mais de manière beaucoup moins fréquente que les deux premiers matériaux.

Les bords, les décors ou les formes spécifiques ont été isolés et dessinés, déterminant un total de 12 individus. À cela il faut rajouter quatre fonds plats provenant tous du même contexte (Fig. 43).

Ce mobilier provient essentiellement d'un horizon sédimentaire et d'un fait en creux (HZ11012 et fosse 11033), tous deux localisés au Nord de la tranchée 11, dans la Zone Sud (*supra* : cf. § 2.2.2.2 ; cf. § 5 : Pl. 009 à 012). Les seuls éléments suffisamment diagnostiques pour permettre de proposer une datation proviennent de ce secteur.

L'emprise étant divisée en deux zones (Nord et Sud), nous respecterons ce découpage dans la présentation des vestiges ci-dessous.

### 3.6.1. Zone Nord

(Fig. 18 ; *supra* : cf. § 2.2.3.1)

#### 10107, TR01

Un petit fragment de fond plat a été mis au jour dans ce fossé (cf. § 5 : Pl. 031). De couleur noire en surface interne, comme à cœur, il présente une surface externe orangée. Des nodules de quartz et ferreux sont visibles dans la pâte. Le fond plat exclut les périodes anciennes du Néolithique, mais aucune caractéristique stylistique ne permet de dater ce tesson avec plus de précision.

#### 10124, TR02

Un petit fragment de panse, de couleur orangée en surface et noir à cœur, a été ramassé à environ 15 cm de profondeur dans les limons (cf. § 5 : Pl. 028). Il présente les mêmes caractéristiques que le petit lot 10187 (*infra*), plus au SE : emploi majoritaire du quartz comme dégraissant, mêlé de quelques nodules ferreux, et surfaces altérées empêchant l'observation des finitions.

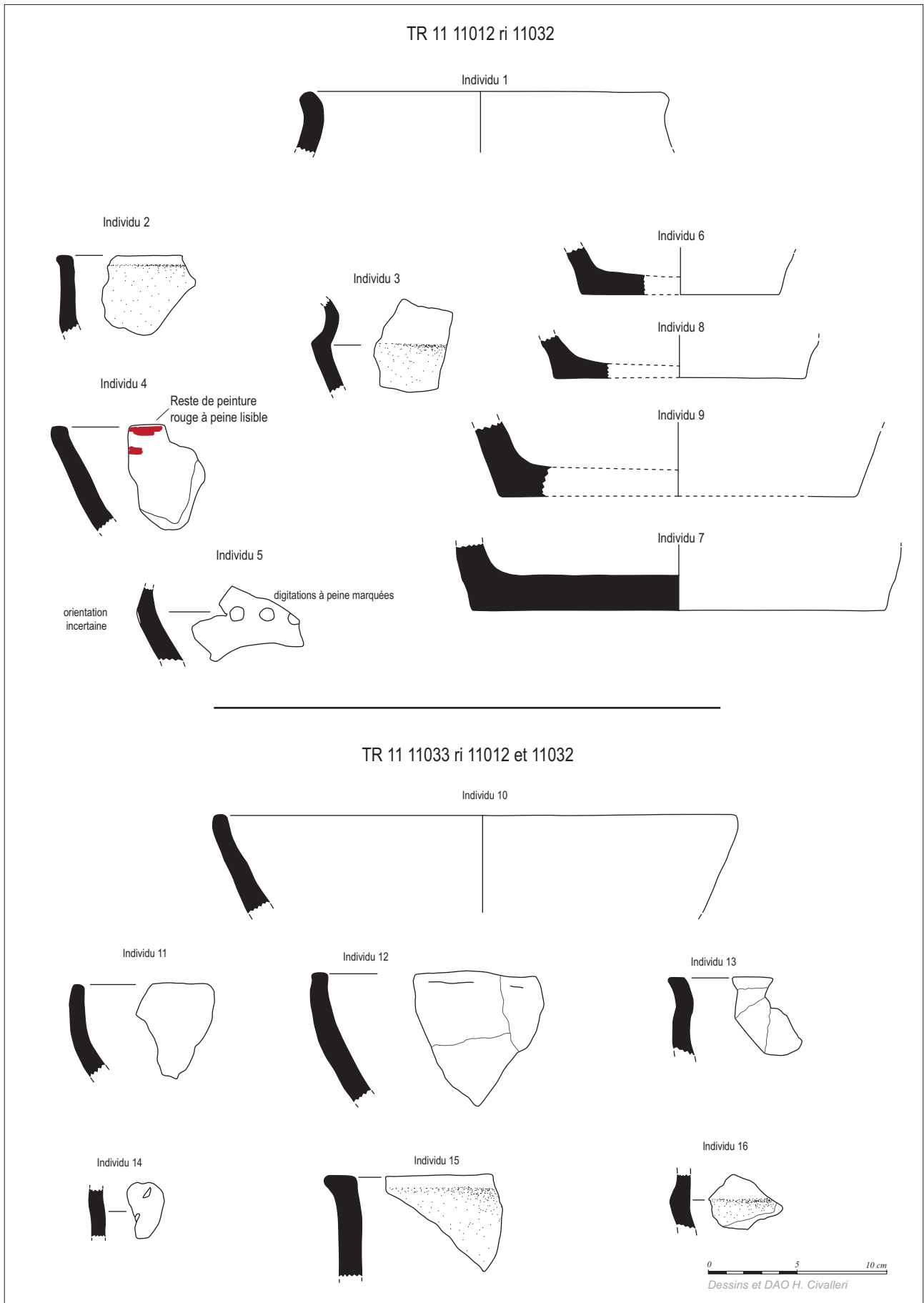


Fig. 43 Orsay (91), Zac de Corbeville, partie Ouest, phase 2. Zone Sud, TR11. Céramiques non tournées des contextes 11012 et 11033 © INRAP : H. Civaleri

**10136, TR19**

Un seul fragment de panse, présentant cinq cassures fraîches, a été récolté dans ce trou de poteau (cf. § 5 : **Pl. 014**). La pâte, très craquelée en surface externe présente une couleur brune, ainsi qu'une coloration noire à cœur et en surface interne. Une fois encore l'emploi du quartz comme dégraissant est prépondérant.

**10146, TR18**

Deux petits fragments de panse non diagnostiques ont été découverts dans les limons, sous les labours récents (cf. § 5 : **Pl. 017**). Le fragment réalisé en pâte fine présente une coloration noire en face externe, orangée en face interne et noire à cœur. Les dégraissants observés sont constitués de quartz et de nodules ferreux. Le deuxième élément, réalisé en pâte semi-fine présente les mêmes caractéristiques de couleurs, et les dégraissants employés sont, là aussi, le quartz et les nodules ferreux.

**10156, TR01, SD10154**

Un seul tesson de panse réalisé en céramique grossière provient de ce sondage, à environ 25 cm de profondeur dans les limons (cf. § 5 : **Pl. 030**). Il présente une coloration brun-rougeâtre en surface externe, orangée en surface interne et noire à cœur. Les dégraissants sont nombreux et constitués essentiellement de nodules de quartz. Quelques petits nodules ferreux sont aussi présents. Il ne présente pas de caractéristique morpho-stylistique permettant de proposer une datation.

**10183, TR02**

Un tesson en céramique grossière, présentant cinq cassures fraîches provient de ce fossé (cf. § 5 : **Pl. 018**). Sa surface externe est de couleur orangée, tandis que sa surface interne et son cœur sont de couleur sombre. Les dégraissants reconnus sont toujours le quartz, les nodules ferreux, ainsi que quelques éléments de chamotte. Aucun élément discriminant ne permet de dater cet individu.

**10187, TR02**

Le petit lot, très fragmenté, issu des 25 premiers centimètres supérieurs des limons (cf. § 5 : **Pl. 018**), ne présente aucune caractéristique discriminante permettant de proposer une datation. Il est constitué uniquement de fragments de panse. Les pâtes présentent des colorations diverses, allant du brun à l'orangé. Quelques-unes sont entièrement orangées sur les surfaces comme à cœur. Les surfaces sont globalement très altérées et il est impossible d'y distinguer les stigmates de traitements de surface particuliers. Les dégraissants observés sont constitués majoritairement de quartz, les nodules ferreux sont aussi fréquemment représentés. L'emploi de la chamotte n'a été identifié que sur un seul tesson.

**10221, TR01 ramassage, fenêtre 01-A**

Deux tessons ont été mis au jour dans ce contexte. Ils présentent un aspect roulé occultant tous les stigmates de surfaces. Aucun élément spécifique ne permet de leur attribuer une datation précise.

**10222, TR01 ramassage**

Ce petit lot est très fragmenté et l'absence de caractéristique spécifique ne permet pas de proposer une datation. Les tessons sont très altérés, empêchant ainsi toute analyse des traitements de surface. La couleur des pâtes varie du brun à l'orangé. Certains tessons présentent des pâtes "type sandwich". Les dégraissants reconnus sont constitués principalement de nodules de quartz. Des nodules ferreux, de rares fragments de silex et quelques éléments de chamotte sont aussi présents dans certains tessons

### 3.6.2. Zone Sud

(Fig. 13 et 15)

#### 11005, TR10, équivalent à l'HZ11012

Ce petit lot céramique, récolté dans un horizon sédimentaire sous labours récents, entre 35 et 65 cm de profondeur (cf. § 5 : Pl. 009), ne présente aucun élément remarquable permettant de proposer une datation. Il est constitué essentiellement de céramique semi-fine à dégraissant majoritaire de quartz. La chamotte, les nodules ferreux et le silex sont présents, de façon plus sporadique, dans certains des fragments observés. Les pâtes présentent des colorations diverses, allant du brun à l'orangé. Quelques-unes sont entièrement orangées sur les surfaces comme à cœur. Les surfaces sont globalement assez altérées, et il est impossible d'y observer les stigmates de finition.

#### 11012, TR11, Risque d'Interférence avec le fossé 11032

C'est de ce contexte, localisé au NO de la tranchée 11, que provient le plus gros lot céramique récolté lors du diagnostic (80 tessons pour un poids de 1764 g ; Fig. 42 ; cf. § 5 : Pl. 009-010). Cinq individus ont été identifiés et ont fait l'objet d'un dessin (individus 1 à 5 ; Fig. 43). Les quatre fonds, tous plats, ont aussi été dessinés, dans un souci de représentation de l'intégralité du corpus (individus 6 à 9). Le diamètre de chacun de ces fonds a pu être déterminé (Fig. 44).

Fig. 44 Orsay (91), Zac de Corbeville, partie Ouest, phase 2. Zone Sud, TR11. Céramique non tournée. Diamètres estimés des fonds issus du contexte 11012 © INRAP : H. Civalieri

N° de tesson	Diamètre estimé (en cm)
6	11
7	23
8	14
9	20

Si la totalité des fonds a pu faire l'objet d'une reconstitution graphique partielle, seul le diamètre à l'ouverture de l'individu 1 a pu être estimé (environ 20 cm). Il s'agit d'un fragment de vase à bord rentrant et lèvre éversée, en léger bourrelet, réalisé en pâte semi-fine. Il présente une coloration brune à noire sur ses parois interne et externe et noire à cœur. L'individu 2, même s'il n'a pu faire l'objet d'une restitution graphique partielle, semble pouvoir être rattaché à la catégorie typologique des jattes. Il présente une carène haute, un bord droit et une lèvre en bourrelet. Il est réalisé en pâte semi-fine de couleur sombre (noire à cœur et brun foncé sur les parois). La surface externe a subi, *a minima*, un lissage soigné. L'individu 3, auquel il manque une partie du bord et la lèvre pourrait être quant à lui rattaché à la catégorie des jattes à ressaut caréné, type 24 600, décrit par D. Bardel dans sa thèse (BARDEL 2012 : p. 111). Réalisé dans une pâte fine, il présente une coloration noire sur sa face externe et une coloration brun-rougeâtre sur sa face interne, comme à cœur. L'individu 4 est un fragment de jatte tronconique profonde, sur lequel d'infimes traces de peinture rouge ont pu être observées. Sa face externe présente une coloration orangée et, sa face interne, comme son cœur, une coloration orangée à noire. Il pourrait s'agir d'un couvercle. L'individu 5 est décoré d'une ligne de digitations à peine visibles, soulignant l'inflexion de la panse. Sa pâte de couleur brune sur la face interne et à cœur, et rougeâtre sur la face externe, s'apparente à celle du fond n° 8. Il pourrait s'agir d'un seul et même récipient.

### 11033, TR11, Risques d'Interférences avec l'horizon 11012 et le fossé 11032

Cette petite fosse, surdécapée et fouillée à moitié (cf. § 5 : Pl. 011), a livré 41 tessons pour un poids de 541 g (Fig. 42). Au sein de ce corpus, sept individus ont pu être isolés et dessinés (Fig. 43).

L'individu 10 s'apparente à la famille des jattes tronconiques, dont le diamètre à l'ouverture a été estimé à 29 cm. Ce récipient, réalisé en pâte semi-fine, présente une coloration brune sur sa face interne, brune à rougeâtre sur sa face externe, et noire à cœur.

L'individu 11 pourrait être le fragment d'une jatte à bord droit. Elle aussi réalisée en céramique semi-fine, elle présente une coloration brune sur sa face externe comme à cœur, et une coloration plus claire sur sa face interne.

L'individu 12, fragment de jatte à profil légèrement arrondi, possède les mêmes caractéristiques de pâte et de cuisson que l'individu 10.

L'individu 13 est trop fragmentaire pour pouvoir être attribué à une catégorie morpho-stylistique. Si sa surface externe est altérée, elle est suffisamment conservée pour qu'on puisse noter qu'elle a fait l'objet d'un lissage soigné. Noire à cœur, elle présente une coloration rougeâtre sur ses parois interne et externe.

Le fragment de panse, réalisée en céramique fine, représenté par l'individu 14 est décoré d'impressions, sans doute réalisées à l'ongle. Si seules deux impressions sont présentes sur ce tesson, en raison de sa petite surface, leur positionnement laisse envisager un décor couvrant une partie du récipient.

L'individu 15, bien que son diamètre n'ait pu être estimé, appartient sans doute à un récipient d'assez grande taille, réalisé en céramique semi-fine. Il possède une lèvre aplatie, débordante vers l'extérieur et un col droit. Il est de couleur sombre à cœur comme en surface externe et orangée sur sa surface interne.

L'individu 14, très fragmentaire est un fragment de panse à léger épaulement de couleur sombre, réalisé en pâte semi-fine.

### 11048, TR09 ramassage

Un fragment de panse réalisé en pâte grossière. La pâte brun-rougeâtre, sur sa face externe, présente une coloration noire sur sa face interne comme à cœur. Les dégraissants employés sont de nature siliceuse.

## 3.6.3. Discussion chronologique

En l'absence de véritables fossiles directeurs au sein de ce mobilier, et au regard de la faiblesse du corpus, il est difficile de proposer une datation fine de cet ensemble.

Cependant, quelques éléments évoquent les périodes chronologiques situées entre la fin du premier âge du Fer et le début du second.

En effet, si les jattes tronconiques (individus 4 et 10), formes simples par excellence, sont présentes de manière récurrente dans les corpus céramiques de la Protohistoire, la forme tronconique profonde est fréquemment reconnue dans les vaisseliers du Hallstatt D3 et de La Tène A. Le décor de peinture rouge couvrante que l'on retrouve sur l'individu 4 est adopté massivement au cours du premier âge du Fer, pour disparaître progressivement lors des phases récentes de La Tène ancienne. Si la jatte à bord droit, représentée par l'individu 11, reste une forme ubiquiste, elle tend à être représentée, de manière plus systématique, dans les vaisseliers à partir du Hallstatt D1. La jatte à ressaut caréné (individu 3), qui fait son apparition dans les répertoires du Hallstatt D3 est principalement représentée dans les ensembles de La Tène A. Le décor linéaire d'impressions digitées figurant sur l'individu 5, et soulignant l'inflexion du vase, comme le décor d'impressions, probablement couvrantes, de l'individu 14, sont des motifs décoratifs ubiquistes. Cependant, ils sont eux aussi usités de façon privilégiée dans les vaisseliers de la fin du premier âge du Fer et du début du second.

Les jattes à bord droit ou à profil arrondi, les jattes tronconiques profondes ou les jattes à ressaut caréné, comme les décors plastiques présents sur les vases 5 et 14, trouvent des comparaisons locales sur les sites datés de la fin du premier âge du Fer et du début du second : à Gif-sur-Yvette “Rond-point de Corbeville”, fouille de 2005 par O. Blin, (BARDEL 2012 : tome 3 pp.875-906), à Palaiseau “la Troche” (E. LOUESDON dans GLISONI 2016 : tome 2 pp.9-46), fouille de 2012 par S. Glisoni, ou encore à Wissous “Zac du Pérou”, fouille de 2004 par E. Bergot (BERGOT *ET AL.* 2007, BARDEL 2012 : tome 3 pp. 959-985).

### 3.6.4. Conclusion

En raison du peu d'éléments discriminants mis au jour lors de ce diagnostic, il est difficile de dater le mobilier céramique étudié ici.

Seules l'horizon 11012 et la fosse 11033, localisés au Nord de la Zone Sud, présentent quelques formes qui semblent pouvoir se rattacher au corpus céramique du début du second âge du Fer.

Le reste du mobilier, ne révèle aucune spécificité permettant de le relier à une période chronologique précise.

Le diagnostic réalisé en janvier 2020 par B. Dupéré, sur le futur tracé du métro 18, a livré un petit lot de céramique non tournée (Fig. 15). Une fosse polylobée contenant quelques tessons a pu être datée de l'âge du Bronze final, tandis qu'un creusement linéaire a livré quelques artefacts pouvant être attribués à La Tène ancienne, voire au début de La Tène moyenne (P. BRUNET dans DUPÉRÉ 2020-A : pp. 70-71).

Il faut donc envisager ici une pluralité des occupations protohistoriques, dispersées sur tout le secteur diagnostiqué. Si les structures mises au jour sont sans doute majoritairement liées à l'habitat médiéval, déjà reconnus dans les parcelles adjacentes, la présence de tessons de céramique non tournée, en plusieurs endroits du diagnostic, permet d'envisager la présence d'une ou de plusieurs occupations plus anciennes, pouvant correspondre à de l'habitat ouvert dispersé.



## 3.7. Annexe 7 : La céramique historique (Annie LEFÈVRE, Inrap)

Il s'agit d'un lot assez modeste en nombre de restes, avec seulement 127 tessons recensés pour un nombre minimal d'individus de 26 (poids : 1326 g.). Ces tessons proviennent de 32 contextes différents (Fig. 13 et 18). Les éléments sont assez fragmentaires, parfois très usés. Hormis une coupelle gallo-romaine, aucune forme archéologiquement complète n'a été mise au jour.

L'enregistrement détaillé a été réalisé par n° d'enregistrement, de tranchée et type de production (*infra* : cf. § 3.7.4).

### 3.7.1. Les productions

Les tessons antiques semblent appartenir à un horizon assez ancien, datables généralement des I<sup>er</sup>-II<sup>e</sup> siècles ap. J.-C. En Zone Nord, ils sont tous résiduels au sein des contextes et présentent une usure très importante de leur surface. En Zone Sud, on notera toutefois la présence d'une petite coupelle de type Drag. 35/36, quasiment complète, mais extrêmement abîmée, provenant du fossé 11015 dans la tranchée 12 (Fig. 45).

Les pâtes granuleuses médiévales, généralement claires, renferment souvent de petites inclusions, bien visibles. On remarque néanmoins un fragment de forme ouverte qui présente une surface extérieure et intérieure brune et une fracture orangée, dont l'aspect sombre pourrait peut-être volontaire.

Des pâtes fines et sableuses sont également dénombrées, généralement de teinte claire, souvent beige. La majorité peut être attribuée au Moyen Âge classique, à savoir aux XI<sup>e</sup>-XIV<sup>e</sup> siècles. Ces productions se rencontrent dans toute l'Île-de-France durant ces périodes. Les pâtes sont bien cuites, assez sonores, et renferment parfois de petites particules brillantes (paillettes de mica ?). Les profils des lèvres, et même l'aspect des fonds, permet parfois de préciser leur datation.

On remarque aussi une panse en pâte rouge orangée, sans doute un peu plus récente (XII<sup>e</sup> siècle), à rattacher à l'aire de production des pâtes rouges (secteur de Dourdan). Des pâtes rouge orangé ont ainsi été repérées sur le site de Sonchamp, à une trentaine de km au Sud-Ouest d'Orsay (LEFÈVRE 2009). Par la suite, dès le XIII<sup>e</sup> siècle, ces productions fines rouges deviendront prépondérantes dans ce secteur géographique et plus au Sud vers Orléans (CLAUDE 2009).

### 3.7.2. Les formes

Les éléments identifiables restent peu nombreux, mais permettent néanmoins d'illustrer quelques formes (Fig. 45).

Un grand fragment de pot provient de la tranchée 06, fosse 10066 (cf. § 5 : Pl. 033-034). Toute la partie supérieure est conservée ; il s'agit d'une céramique de large embouchure réalisée en pâte granuleuse à petites inclusions, de teinte beige, marquée extérieurement par de fortes traces de feu (iso. 10066-1). Une légère déformation du bord est visible, sans doute fortuite. Il s'agit de la seule poterie présente dans cette structure, uniquement conservée en partie haute. On peut la placer à la période mérovingienne, dans la seconde partie du VI<sup>e</sup> ou la 1<sup>ère</sup> moitié du VII<sup>e</sup> siècle.

On remarque aussi un fragment de forme ouverte assez grande, à profil arrondi et petite lèvre éversée plate en pâte granuleuse brune (tranchée 07, fosse 10084 ; cf. § 5 : **PI. 035**). Sa datation est difficile à préciser, sa forme l'apparente à une pièce carolingienne, mais il se trouve associé à 21 fragments de panses en pâte sableuse claire médiévale ; on peut considérer que ce tesson doit sans doute être résiduel au sein du contexte.

Une lèvre en gouttière en pâte granuleuse, appartenant sans doute à un pot, si l'on en juge par les traces de feu, est présent dans la tranchée 01, fossé 10012 (cf. § 5 : **PI. 024**). La lèvre, relevée, assez massive et peu creusée, peut être placée dans la 1<sup>ère</sup> moitié du IX<sup>e</sup> siècle.

Un dernier fragment en pâte granuleuse peut aussi être noté ; cet épaulement montre la particularité d'avoir un ressaut digité (iso. 10014-1).

Quelques éléments d'oules à bord en bandeau ont été repérés.

L'un d'entre eux est de petite taille, légèrement infléchi sur l'extérieur, en pâte sableuse beige. L'apex est aplati et la partie inférieure largement débordante. On peut le placer dans le milieu ou la seconde moitié du XI<sup>e</sup> siècle (tranchée 08, excavation 10095 ; cf. § 5 : **PI. 036**).

Le second est entièrement noirci par les flammes, sa pâte est fine et sableuse. Il est un peu plus haut que le premier et doit plutôt être placé dans la seconde moitié du XI<sup>e</sup> – début du XII<sup>e</sup> siècle (tranchée 01, ramassage 10022, SG10166 ; cf. § 5 : **PI. 023**). La partie supérieure est aplanie et légèrement débordante.

Deux bords rectangulaires plats sont issus de la tranchée 02, excavation 10035 (cf. § 5 : **PI. 022**). Le premier présente une extrémité légèrement relevée. Ils sont tournés en pâte sableuse claire et peuvent aussi être attribués au début du Moyen Âge central, sans doute aux XI<sup>e</sup>-XII<sup>e</sup> siècles. Ils peuvent appartenir à des pots à cuire ou des cruches.

Quelques tessons du bas Moyen Âge et d'époque moderne sont également visibles dans les tranchées 1, 2, 8, 14 et 18, mais, mis à part une anse de gourde en grès du Beauvaisis (tranchée 14, fosse de plantation 11029), il ne s'agit que de fragments de panses.

### 3.7.3. Conclusion

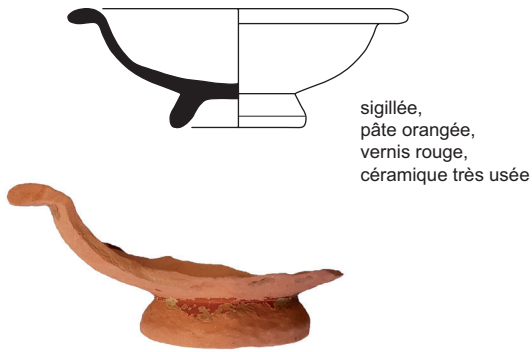
L'intérêt de cette opération est de permettre de renseigner un peu plus ce secteur géographique, qui a déjà fait l'objet de plusieurs diagnostics (BAILLEUX G. 2016, BAILLEUX A. 2017, GIORGI 2019-A, DUPÉRE 2020-A) et d'une fouille (BAILLEUX *en cours*), etc. Le mobilier découvert lors de ces opérations appartient au haut Moyen Âge et au début du Moyen Âge central (XI – XII<sup>e</sup> siècles).

Un habitat carolingien avait également été repéré par une association de bénévoles dans les années 90 (GIGANON 1994).

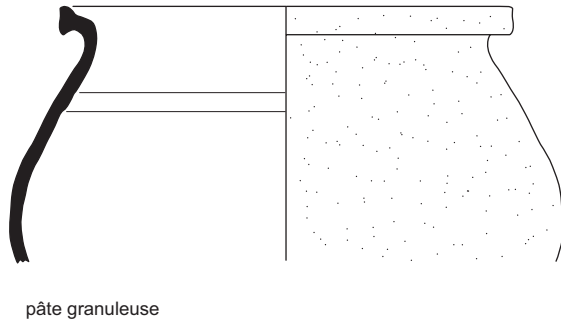
Tout d'abord nous remarquons que le matériel mis au jour sur ce diagnostic s'inscrit bien dans nos connaissances actuelles de la céramique locale. Malgré un mobilier peu abondant, ce dernier, mis en perspective avec les données de ces opérations, renseigne sur l'étendue de l'occupation et sa variation au cours des siècles.

Les céramiques du diagnostic proviennent pour l'essentiel de la Zone Nord de la fouille, qui a livré le plus grand nombre de vestiges. La Zone Sud (tranchées 09 à 16) n'a livré que 14 tessons historiques (sur 126). Un tiers des poteries appartiennent à la phase médiévale classique (XI – XII<sup>e</sup> siècles), pour le reste nous observons surtout des fragments altomédiévaux, mérovingiens ou carolingiens, ou modernes.

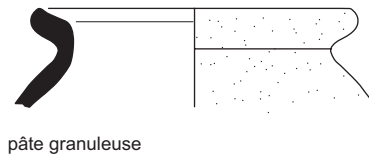
Tr. 12 - structure 11015



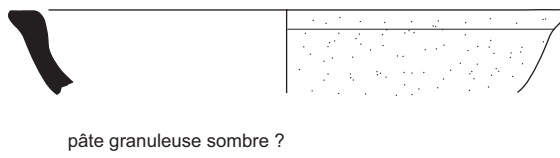
Tr. 06 - structure 10066



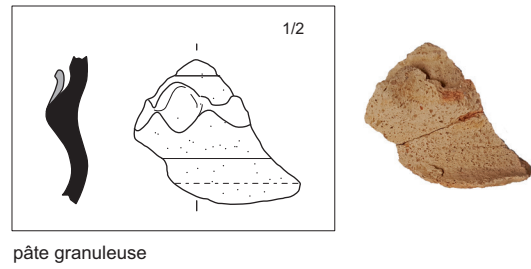
Tr. 01 - structure 10012



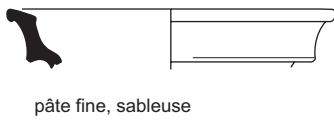
Tr. 07 - structure 10084



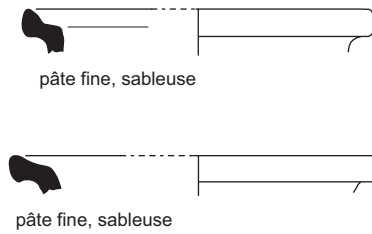
Tr. 01 - structure 10014



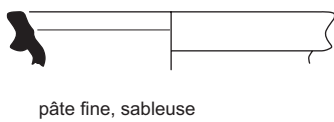
Tr. 01 - structure 10022  
sondage 10166



Tr. 02 - structure 10035  
Ramassage



Tr. 08 - structure 10095



DAO et photos Annie Lefèvre (Inrap)

Fig. 45 Orsay (91), Zac de Corbeville, partie Ouest, phase 2. Céramique antique et médiévale © INRAP : A. Lefèvre

Ceci est en adéquation avec ce qui a été observé sur la fouille située à proximité immédiate, à l'Est de la partie supérieure du diagnostic (BAILLEUX *en cours*). Lors de cette opération, le mobilier céramique a permis de confirmer l'occupation des lieux à la période médiévale, entre la période mérovingienne et le XII<sup>e</sup> siècle.

À l'Ouest, un autre diagnostic, réalisé en septembre et octobre 2020, a également livré un petit lot de céramiques médiévales (MATHERY *en cours*). Si quelques éléments sont également à dater du haut Moyen Âge ou de l'époque moderne, l'essentiel du mobilier doit aussi être placé au Moyen Âge central, aux XI<sup>e</sup> – XII<sup>e</sup> siècles.

### 3.7.4. Tableau d'inventaire de la céramique tournée (historique) (Annie LEFÈVRE, Inrap)

n° Hz / Us	n° TR	commentaire	Production	Forme	Remarques	NR	NMI	Poids	n° iso	Dessin	Périodes
<b>ZONE NORD</b>											
10004	01		commune sombre		1 p	1		2			Antique
10004	01		sableuse fine orangée		1 p	1		1			Bas Moyen Âge ou moderne
10012	01		granuleuse à petites et moyennes inclusions	pot	lèvre en gouttière relevée (1 b), pâte beige orangé	1	1	39	10012-1	oui	Carolingien (IXA)
10012	01	SD10147	granuleuse à petites inclusions		1 f	1	1	18			HMA
10012	01	SD10147	fine sableuse claire		1 p	1		2			Moyen Âge (XI - XII)
10014	01		granuleuse à petites inclusions		1 épaulement avec bande applique festonnée	1		8			Carolingien ?
10014	01		fine sableuse claire	cruche	lot (3 p, 1 f, 1 bec tubulaire), pâte beige	5	2	78			Moyen Âge (XI - XII)
10014	01		fine sableuse claire		1 p, beige, peinte	1		1			Moyen Âge (XI - XII)
10014	01		fine sableuse claire		1 p, pâte rouge orangé	1		1			Moyen Âge (XII)
10022	01		fine sableuse claire	oule, bord en bandeau	1 b	1	1	11	10022-1	oui	Moyen Âge (XIB - XII a)
10022	01		fine sableuse claire		lot (3 p, 1 f)	4	1	68			Moyen Âge (XI - XII)
10024	01		fine sableuse claire		1 f	1	1	24			Moyen Âge (XII - XIII)
10029	01		granuleuse à petites inclusions		1 p	1		2			HMA
10029	01		fine sableuse claire		1 p	1		6			Moyen Âge (XI - XII)
10035	02		fine sableuse claire	pot	lèvre rectangulaire plate (1 b)	2	2	13	10035-1		Moyen Âge (XI)
10036	02	ramassage de surface	commune sombre		lot (2 p)	2		6			Antique
10036	02	ramassage de surface	pâte sableuse claire		lot (1 p, 1 f)	2	1	26			Moyen Âge (XI - XII)
10036	02	ramassage de surface	pâte sableuse claire		lot (1 p, 1 f)	2	1	12			Bas Moyen Âge (XIII - XIV)
10036	02	ramassage de surface	pâte fine claire		1 p	1		29			Bas Moyen Âge ou moderne
10046	03	fosse-s ?	fine sableuse claire		lot (2 p, 1 f)	3	1	47			Moyen Âge (XI - XII)
10053	03		fine sableuse claire	oule	bord en bandeau (partie inférieure)	1	1	2			Moyen Âge (XI - XII)
10066	06		granuleuse à petites inclusions	pot	beige, traces de feu externes, partie supérieure (7 b, 34 p) - pâte micacée	41	1	457	10066-1	oui	mérovingienne
10067	06		commune sombre ? NPR ?		1 p, tesson usé	1		2			Antique ?

n° Hz / Us	n° TR	commentaire	Production	Forme	Remarques	NR	NMI	Poids	n° iso	Dessin	Périodes
10067	06		granuleuse à petites inclusions		1 p	1		8			HMA
10071	06		commune claire		fine orangée (2 p)	2		5			Antique
10071	06		granuleuse à petites inclusions		lot (7 p, 2 f), même céramique	9	1	57			HMA
10084	07		granuleuse à petites inclusions	forme ouverte	brune, fracture rosée (1 b)	1	1	12	10084-1	oui	HMA
10084	07		fine claire		blanche (1 f)	1	1	16			Moyen Âge (XI)
10084	07		fine sableuse claire		1 p	1		4			Moyen Âge (XII)
10085	07		granuleuse à petites inclusions		1 p	1		3			HMA
10095	08	pierres, RI drain et lab.	commune claire		1 p	1		15			Antique
10095	08	pierres, RI drain et lab.	commune sombre		1p	1		4			Antique
10095	08	pierres, RI drain et lab.	granuleuse à petites inclusions		1 p	1		4			HMA
10095	08	pierres, RI drain et lab.	fine sableuse claire		lot (4 p)	4		17			Moyen Âge (XI - XII)
10095	08	pierres, RI drain et lab.	fine sableuse claire	oule	1 b, bord en bandeau court, pâte beige	1	1	8	10095-1	oui	Moyen Âge (XI bcd)
10095	08	pierres, RI drain et lab.	fine sableuse claire		1 p, blanche, peinte	1		2			Moyen Âge (XI)
10095	08	pierres, RI drain et lab.	fine sableuse claire	pot de fleur	1 b, pâte ocre beige	1	1	4			Moderne (XIX)
10095	08	pierres, RI drain et lab.	fine claire	pot de fleur	1 b, pâte rouge orange	1	1	6			Moderne (XIX - XX A)
10140	20		fine sombre		1 p (noir à pâte rouge ?), tesson très usé	1		1			Antique ?
10143	18		fine claire		2 f, pâte beige - même céramique	2	1	15			Moderne (XV - XVI)
10163	01		granuleuse à petites inclusions		1 p, peint	1		7			Carolingien
10184	02		granuleuse à petites inclusions		lot (1 p, 1 f)	2	1	99			HMA
10193	03		fine sableuse claire		blanc, extérieur gris	1		4			Moyen Âge (XI - XII)
10209	01		fine sableuse claire		1 épaulement	1		13			Moyen Âge (XI - XII)
10223	06	ramassage de surface	fine claire		beige rosée	2		2			Moyen Âge (XI)
<b>ZONESUD</b>											
11012	11	RI 11032 - FEN 11-A sous lab.	Commune claire	cruche	1b, beige, très usé	1	1	18			Antique (I - II)
11012	11	RI 11032 - FEN 11-A sous lab.	fine sableuse claire		lot (2 p)	2		3			Moyen Âge (XI - XII)
11015	12		sigillée, drag, 35 / 36 - Gaule du Sud ?	forme ouverte	verniss rouge, pâte orangée - céramique très abimée, lot (5 b, 3 p, 1 f) - même individu	9	1	126	11015-1	oui	Antique (I - II A)
11025	14		pâte fine rouge		1 b ? Tesson très abimé	1	1	8			Antique ?
11029	14		grès clair du Beauvaisis	gourde	1 a	1	1	10			Moderne (XVI - XVII)
<b>TOTAL</b>											
						<b>NR</b>	<b>NMI</b>	<b>Pds (g)</b>			
<b>Total =</b>						<b>127</b>	<b>26</b>	<b>1326</b>			



## 3.8. Annexe 8 : Etude des sépultures (Paulette LAWRENCE-DUBOVAC, Inrap)

### 3.8.1. Présentation des données

Cinq sépultures ont été mises au jour lors du diagnostic de la “Zac de Corbeville partie Ouest- phase 2” à Orsay. Cette opération fait suite au diagnostic, situé plus à l’Ouest, la phase 1, en septembre et octobre 2020 (MATHERY 2020 *en cours*), ainsi qu’à la fouille d’une portion d’occupation du haut Moyen Âge à l’Est, site de “la Plaine de Corbeville, couloir écologique” par G. Bailleux en 2016 (Fig. 05 ; BAILLEUX *en cours*). Trois sépultures ont été fouillées à des fins de datation et pour connaître leur état de conservation (10069 ; 10099 et 10100 ; cf. § 5 : Pl. 025 à 027).

#### Localisation et organisation spatiale :

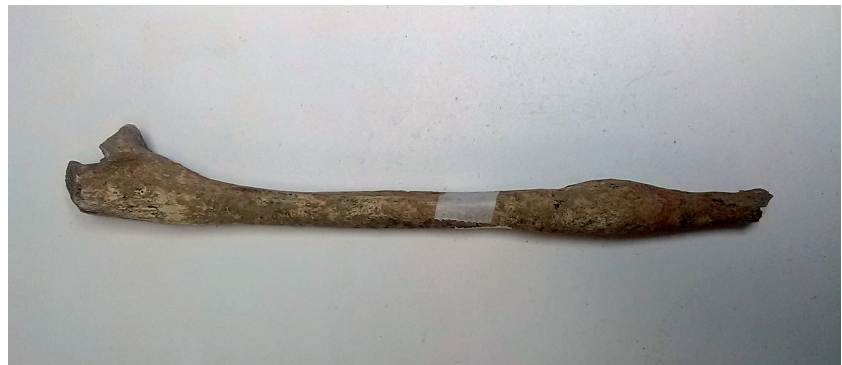
La sépulture 10069 est située dans la tranchée 6 et coupe le fossé 10071. Les tombes 10013, 10099, 10100 et 10106 s’organisent sur et autour des fossés 10012 et 10104, dans la tranchée 01, qui est contiguë à la tranchée 6. Les sépultures sont donc dans la même zone et s’organisent par rapport aux mêmes fossés (10012, 10104, 10071). L’orientation des sépultures est Ouest-Est avec un décalage vers le Sud pour 10069.

#### Analyse taphonomique et biologique :

Le détail des études se trouve dans les fiches du catalogue en fin de texte (*infra*, cf. § 3.8.3).

**Fig. 46** Orsay (91), Zac de Corbeville, partie Ouest, phase 2. Zone Nord. Sépulture 10099, ulna gauche avec cal osseux

© INRAP : P. Lawrence-Dubovac



#### Données biologiques :

Les trois individus sont des adultes matures, deux sont masculins et le troisième est peut-être féminin. Les méthodes utilisées lors de l’analyse biologique sont :

- pour l’estimation de l’âge, l’observation de la région auriculaire d’après A. Schmitt (SCHMITT 2005).
- Pour la détermination du sexe, les mesures de l’os coxal d’après la DSP 2 (BRUZEK *ET AL.* 2017), pour les squelettes mieux conservés. Et l’observation morphologique de l’os coxal d’après Bruzek (BRUZEK 1991), pour le plus abimé.

L’individu 10099 présente une fracture consolidée sur l’ulna gauche (Fig. 46). Ce type de traumatisme est souvent assimilé à un geste de protection et est surnommé “fracture de parade”. Cependant, il convient de rester prudent, car il peut s’agir aussi d’une fracture de fatigue (MAFART 2009).

### Données sur le mode d'inhumation :

Les fosses sont difficilement discernables, cependant elles semblent d'un module plutôt étroit et de forme oblongue (cf. § 5 : Pl. 026 et 027). L'analyse taphonomique a montré dans les trois cas une inhumation dans un contenant. Une fosse à couvercle pour 10099. La tombe 10069 présente de petites pierres qui ont pu contribuer à caler un coffrage, ou tout au moins consolider un système d'attaches périssables. La sépulture 10100 n'a pas donné d'indice pour définir un type ; on ne peut exclure une fosse à couvercle, comme un coffrage, ou un cercueil à attaches périssables. Rappelons que la distinction entre le cercueil et le coffrage est la possibilité de transporter le corps avec (HENRION, HUNOT 1996). La sépulture 10106, non fouillée, laisse apparaître des pierres de bonne taille (Fig. 47), ce fait souligne la diversité des contenants pour ce petit ensemble.

**Fig. 47** Orsay (91), Zac de Corbeville, partie Ouest, phase 2. Zone Nord. Partie occidentale de la sépulture 10106, après surdécapage et nettoyage partiel (traces de marquage orange ; cliché n°210 © INRAP : V. Da-Veiga-Semedo



### Datation des sépultures

Aucun élément datant n'a été découvert dans les tombes fouillées. Deux datations radiocarbone ont été effectuées sur la sépulture 10099 et la sépulture 10069 par le laboratoire *Beta Analytic* (Miami, Etat Unis ; *supra*, cf. § 3.1).

**10099** : (83,7%) 663 -775 cal AD (1287-1175 cal BP). Soit pendant le VII<sup>ème</sup> et le VIII<sup>ème</sup> siècle

**10069** : (93,9%) 882-995 cal AD (1068- 955 cal BP). Soit pendant le IX<sup>ème</sup> et le X<sup>ème</sup> siècle.

Cet ensemble peut être rattaché aux nombreuses structures médiévales mises au jour sur cette opération.

## 3.8.2. Conclusion

Les cinq sépultures du diagnostic de la Zac de Corbeville, partie Ouest, phase 2, s'ajoutent au corpus découvert dans les opérations précédentes de la phase 1 (octobre 2020 ; MATHERY 2020 *en cours*) et du "couloir écologique" (2016, BAILLEUX G. *en cours*). Cette opération s'insère entre les deux parcelles précitées, et porte à dix-huit le nombre de tombes découvertes dans cette occupation du Moyen Âge.

Ces ensembles sont habituels pour la période comprise entre la fin de l'Antiquité et le début du X<sup>ème</sup> siècle. Ils traduisent une grande variété des habitudes funéraires allant de la grande nécropole de plein champ à la tombe isolée, avant l'implantation des paroisses (TREFFORT 1996 ; LAWERS 2005).

Ce diagnostic a permis la découverte d'une zone funéraire constituée d'un petit groupe avec une tombe plus à l'écart, semble-t-il. Il fait le lien entre les deux opérations précédentes. Le diagnostic de la phase 1 a permis de mettre au jour un groupe d'au moins six sépultures (MATHERY 2020 *en cours*), alors que la fouille de 2016 concerne sept tombes, dispersées au sein de l'occupation (BAILLEUX G. *en cours*). La question qui peut se poser est le lien qui unit ces individus à cette occupation, et ce en terme de statut social et/ou territorial (propriétaire/exploitant, travailleurs serviles ou dépendants du domaine) : existe-il un lien familial (GLEIZES 2017) ?

Les datations radiocarbone obtenues pour cette étude établissent une diachronie mérovingien / carolingien entre le groupe de la tranchée 1et la sépulture 10069. Une sépulture de la fouille de 2016 présente des agrafes en alliage cuivreux, pouvant aussi se rapporter à la période mérovingienne. Le site de Coupvray "La pièce des Cent Arpents", en Seine-et-Marne, présente ce cas de figure, entre des sépultures dispersées plutôt mérovingiennes et un groupe de tombes carolingiennes (LAWRENCE-DUBOVAC dans SETHIAN *en cours*). Il serait intéressant de pouvoir approfondir cette question de diachronie, notamment avec d'autres datations radiocarbone.

Le corpus de tombes mis au jour actuellement sur le site de la Plaine de Corbeville n'est certainement pas complet, il faut s'attendre à d'autres découvertes en cas de décapage extensif.

### 3.8.3. Catalogues des sépultures fouillées

#### 3.8.3.1. Fiche individu n°10069

(cf. § 5 : Pl. 027)

Sépulture individuelle.

##### FOSSE :

Située tranchée 6, recoupe le fossé 10072.

Forme : oblongue, profil en cuvette à fond plat.

Dimensions : L. : 2,10 m/l. : 0,60 m/p. : 0,20 m

Comblement/Encaissant : limon gris orangé sur limon gris orangé.

##### SQUELETTE :

Etat de conservation et représentation : moyen. Taux de représentation des os de 75 à 90 %.

Orientation : Sud-Ouest/Nord-Est. Tête à l'Ouest.

Position du corps : allongé sur le dos, membres supérieurs en position basse, mains sur le bassin. Membres inférieurs en extension et parallèles.

##### INFORMATIONS BIOLOGIQUES :

Age : adulte > à 40 ans (SCHMITT 2005)

Sexe : masculin (DSP 2).

Etat sanitaire : Présence de tartre plutôt important et réparti dans l'ensemble de la bouche. Importante carie sur une molaire.

##### MODE D'INHUMATION :

Indice de contenant : pierre le long du côté gauche du thorax et de la tête. Celle près du bloc-cranio-facial est en équilibre instable penchée vers l'intérieur.

**Estimation taille du contenant :** aucune.

***Maintien et équilibre instable :***

- Maintien du bloc-cranio-facial en vue supérieure très légèrement latérale droite. La mandibule reste bloquée en semi ouverture par les vertèbres.
- Maintien du bassin fermé.

***Effets de contrainte :***

- Auto maintien d'un certain volume de la cage thoracique par fermeture en éventail des dernières côtes, bloquées par le radius à droite, et coude gauche. Tout cela à distance des humérus.
- La scapula gauche reste semi de chant.
- L'humérus est retenu en vue antéro latérale par une pierre, le radius reste en équilibre sur l'ulna.

***Mouvement :***

- Déconnexion ente les vertèbres cervicales 4 et 5.
- Déconnexion de la clavicule gauche glissée vers le fond.
- Mise à plat de l'épaule droite avec humérus en vue antérieure.
- Déconnexion du coude droit et affaissement des éléments de la main droite dans le vide secondaire du bassin et contre l'os pubien gauche.
- Déconnexion de la main gauche avec déplacement du capitatum.
- Connexion lâche du fémur gauche dans l'acétabulum avec rotation en vue médiale entraînant le tibia en vue médiale.
- Sortie du volume initial du corps du tibia passé à l'extérieur de la fibula.
- Déconnexion et déplacement d'éléments du pied gauche.
- Déconnexion de la patella droite glissée côté interne du tibia et en équilibre.
- Déconnexion de la cheville et du pied droit avec déplacement des os cunéiformes.

***Perturbation :***

- Les phalanges du pied gauche sont en suspension à 8 cm au-dessus du fond. Passage d'un fouisseur ?

**Interprétation**

Les mouvements constatés sur les membres inférieurs et l'avant-bras droit indiquent une décomposition des chairs en espace vide. Un effet de contrainte peut-être lié à une paroi bloquant le membre supérieur gauche au niveau de l'avant-bras en plus d'une pierre contre l'humérus. Le contenant employé semble de type coffrage callé.

Le maintien du bloc-cranio-facial en équilibre et la contrainte sur le gril costal indiquent la possible présence d'éléments indéterminés empêchant une mise à plat totale.

**MOBILIER ARCHÉOLOGIQUE :** aucun.

**DATATION :** Beta – 582729, 882-1016 cal ap. J.-C. (95,4 %).

**CONCLUSION :**

L'individu est un homme de plus de 40 ans inhumé dans un contenant périssable de type coffrage légèrement callé.

### 3.8.3.2. Fiche individu n°10099

(cf. § 5 : Pl. 026)

Sépulture individuelle.

#### FOSSE :

Située tranchée 1, entre le fossé 10104 et le fossé 10014.

**Forme** : peu lisible, étroite, rectangulaire angle arrondi, bord évasé, à fond plat.

**Dimensions** : L. : 1,80 m conservé /l. : 0,55 m/p. : 0,20 m.

**Comblement/Encaissant** : limon gris orangé sur limon orangé à gris.

#### SQUELETTE :

**Etat de conservation et représentation** : moyen. Taux de représentation des os de 75 à 90 %. Coupé aux niveau des pieds par la tranchée.

**Orientation** : Ouest/Est. Tête à l'Ouest.

**Position du corps** : allongé sur le dos, membre supérieur gauche en extension, membre supérieur droit semi fléchi à 90°. Membres inférieurs en extension et parallèles.

#### INFORMATIONS BIOLOGIQUES :

**Age** : adulte > à 30 ans (SCHMITT 2005)

**Sexe** : plutôt féminin (observation morphoscopique sur le terrain).

**Etat sanitaire** : l'ulna gauche présente un cal osseux sur la partie distale de la diaphyse conséquence d'une fracture ancienne ressoudée. Perte ante mortem de deux molaires et deux importantes caries, tartre important.

#### MODE D'INHUMATION :

**Indice de contenant** : aucun

**Estimation taille du contenant** : aucune.

#### *Maintien et équilibre instable :*

- Maintien du bloc-cranio-facial resté en vue latérale gauche légèrement antérieure. En appui sur le bord de fosse ?
- Maintien de l'humérus droit à 14 cm au-dessus du fond, en connexion avec la scapula qui s'inverse légèrement.
- Maintien de la connexion du coude droit en appui sur le bord de fosse.
- Maintien de la connexion du coude gauche et de l'avant-bras en pronation contre la paroi.
- Maintien de la patella gauche en place.

#### *Effets de contrainte :*

- Gril costal mis à plat fermé sous l'humérus droit mais à distance du gauche.
- Maintien de la cohésion anatomique de la main gauche sur le fémur gauche.
- Maintien fermé de l'os coxal droit en appui sur le bord de fosse avec une très légère inversion. - Maintien de la connexion de la hanche droite. Le fémur, resté à 5 cm du fond en partie proximale, suit le mouvement en vue antérieure très légèrement latérale.
- Semi fermeture du pied droit en vue antéro latérale indépendamment du tibia /fibula restés en vue antérieure. Les os du tarse forment un angle fermé.

#### *Mouvement :*

- Affaissement de l'avant-bras droit et déconnexion de la main droite dans le vide secondaire du bassin.
- Mise à plat de l'épaule gauche avec déconnexion scapo-huméral et vue antérieure de l'humérus.

- Déconnexion du poignet gauche avec affaissement léger du radius.
- Mise à latérale de l'os coxal gauche entraînant la main droite.
- Chute de la patella droite contre le fémur droit.
- Déconnexion du cuboïde droit.

*Perturbation* : non.

**Interprétation :**

Les observations sont contrastées. Les mouvements et mises à plat sur le membre supérieure gauche, la patella droite et le pied droit montrent la persistance d'un espace vide. L'étroitesse de la fosse en contact immédiat avec le bloc-cranio-facial, le membre supérieure droit et la hanche peuvent expliquer la plupart des maintiens constatés. L'utilisation d'une fosse à couvercle comme contenant peut être envisagée pour ce cas.

**MOBILIER ARCHÉOLOGIQUE** : aucun.

**DATATION** : *Beta* – 582728, 663-866 cal ap. J.-C. (95,4 %).

**CONCLUSION :**

L'individu est peut-être une femme de plus de 30 ans inhumée dans une fosse à couvercle.

### 3.8.3.3. Fiche individu n°10100

(cf. § 5 : **PI. 026**)

Sépulture individuelle.

**FOSSE :**

Située tranchée 1, recoupe les fossés 10012 et 10104.

**Forme** : non lisible, à fond plat.

**Dimensions** : ?

**Comblement/Encaissant** : limon gris orangé sur limon gris orangé.

**SQUELETTE :**

**Etat de conservation et représentation** : moyen. Taux de représentation des os de 75 à 90 %.

**Orientation** : Ouest/Est. Tête à l'Ouest.

**Position du corps** : allongé sur le dos, membres supérieurs en position basse, mains sur le bassin. Membres inférieurs en extension et parallèles.

**INFORMATIONS BIOLOGIQUES :**

**Age** : adulte 30-59 ans (SCHMITT 2005)

**Sexe** : masculin (DSP 2).

**Etat sanitaire** : perte ante mortem avec résorption des molaires inférieures droites. Usure dentaire importante.

**MODE D'INHUMATION :**

**Indice de contenant** : aucun

**Estimation taille du contenant** : aucune.

*Maintien et équilibre instable :*

- Patella droite en place, la gauche n'a pas été vue à la fouille.

*Effets de contrainte :*

- Le gril costal s'est fermé à distance des humérus.

**Mouvement :**

- Position secondaire du bloc-cranio-facial en vue latérale droite. La mandibule est déconnectée, en vue supérieure.
- Verticalisation des clavicules en suivant la mise à plat du gril costal.
- Mise à plat de l'épaule droite avec déconnexion de l'humérus en vue antérieure.
- Déconnexion du coude droit et du poignet.
- Mise à plat de l'épaule gauche avec déconnexion de l'humérus mis en équilibre en vue antérieure.
- Déconnexion du coude gauche.
- Ouverture du bassin.
- Rotation du tibia gauche sur la fibula et indépendamment du fémur.
- Déconnexion des cunéiformes et des métatarses par rapport au calcaneum et talus à gauche.
- Déconnexion du pied droit.

**Perturbation :**

- Les métacarpes de la main gauche sont dressés en équilibre à distance des os du carpe, repoussés par un terrier ?

**Interprétation**

Les nombreux mouvements observés sur l'ensemble du squelette indiquent une décomposition des chairs en espace vide. Le contenant n'a pas laissé de trace et la fosse est illisible, reste de type indéterminé.

La cage thoracique présente un effet de contrainte et la patella droite reste en équilibre sur le genou. Si ces éléments sont souvent évoqués pour mettre en évidence une enveloppe souple, il manque cependant des observations sur les pieds et le genou gauche pour pouvoir en tirer une conclusion.

**MOBILIER ARCHÉOLOGIQUE :** 1 fragment de faune.

**DATATION :** haut Moyen Âge probable.

**CONCLUSION :**

L'individu est un homme mature (entre 30 et 59 ans) inhumé dans un contenant indéterminé. De même, la présence de tissus est soupçonnée sans certitude.



### 3.9. Annexe 9 : Evaluation des restes osseux animaux (Céline LE GOFF, Inrap)

Les vestiges fauniques exhumés à l'occasion du diagnostic de la Zac de Corbeville, partie Ouest, phase 2, s'élèvent à 95 pour une masse de 3,7 kg. Les ossements sont dans un état de conservation plutôt moyen.

Les restes proviennent tous de la Zone Nord, de treize contextes attribuables à la période médiévale (NR : 88 ; VI<sup>e</sup>-XIV<sup>e</sup> s.), trois gallo-romains à postérieurs (NR : 1) et un non daté (NR : 1 ; Fig. 48). Huit sont XI<sup>e</sup>-XII<sup>e</sup> siècles à postérieurs et rassemblent 55 fragments, dont 45 sont issus de l'excavation 10095 (cf. § 5 : Pl. 036).

**Fig. 48** Orsay (91), Zac de Corbeville, partie Ouest, phase 2. Zone Nord. Répartition des restes fauniques par contextes et périodes estimées © INRAP : C. Le Goff, G. Desrayaud, A. Lefèvre

Hz / Us	Période		GR à postérieur		HMA à postérieur		XI <sup>e</sup> -XII <sup>e</sup> à postérieur		MED à postérieur		Non daté		Comblement, datation	
	n° TR	type	NR	MR	NR	MR	NR	MR	NR	MR	NR	MR	Terminus Post Quem	Terminus Ante Quem
10007	1	fossé	3	182									gallo-romain	?
10012	1	fossé					2	114					Carolingien à XI <sup>e</sup> -XII <sup>e</sup> ap.	médiéval ?
10014	1	fossé					5	90					XI <sup>e</sup> -XII <sup>e</sup> ap.	médiéval ?
10022	1	RAM.					1	7					XI <sup>e</sup> -XII <sup>e</sup> ap. ?	?
10035	2	excav.					1	3					XI <sup>e</sup> ap.	?
10036	2	RAM.							2	55			divers (médiéval ?)	?
10045	3	fossé	2	91									gallo-romain	?
10056	4	fosse									1	14	?	?
10067	6	poteau			1	2							haut Moyen Âge	Médiéval ?
10071	6	fossé			10	420							haut Moyen Âge	Médiéval ?
10084	7	fosse					1	188					XII <sup>e</sup> ap.	médiéval
10095	8	excav.					45	1308					XI <sup>e</sup> -XII <sup>e</sup> ap.	médiéval ?
10100	1	sépul.			1	69							haut Moyen Âge	médiéval
10104	1	fossé	1	44									gallo-romain	?
10106	1	sépul.			1	9							haut Moyen Âge	médiéval
10186	2	fossé							4	192			médiéval	médiéval ?
10221	1	RAM.							14	962			divers (médiéval ?)	?
<b>Total</b>			<b>6</b>	<b>317</b>	<b>13</b>	<b>500</b>	<b>55</b>	<b>1710</b>	<b>20</b>	<b>1209</b>	<b>1</b>	<b>14</b>		

Les restes sont globalement de même nature toutes périodes confondues. En effet, en dehors de quelques restes de caprinés (mandibule et métatarse), de porc (mandibule) et de cheval (métacarpe ; Fig. 49), les ossements de bœuf constituent la majorité de l'assemblage (Fig. 50).

Des informations biologiques ont pu être observées pour le bœuf, les âges estimés au décès s'échelonnent entre 3 et 6 ans à 13-14 ans. Pour les caprinés, un âge au décès a pu être estimé entre 4 et 6 ans.

Pour le bœuf, les pièces anatomiques sont aussi bien des parties mises au rebut lors des premières étapes de préparation de la carcasse (crâne, mandibule et extrémités de membres), que provenant de parties consommables (Fig. 50). Des traces de traitement, comme des coups, ont été relevées, toutefois l'état de conservation de certains os a limité la lecture de ces traces.

**Fig. 49** Orsay (91), Zac de Corbeville, partie Ouest, phase 2. Zone Nord. Répartition des restes de caprinés, porc et cheval par Us et parties anatomiques © INRAP : C. Le Goff

Us	Période Taxon Parties anatomiques	XI <sup>e</sup> -XII <sup>e</sup> à postérieur		MED à postérieur	
		NR	MR	NR	MR
<b>caprinés</b>		<b>2</b>	<b>20</b>	<b>1</b>	<b>6</b>
10012	mandibule	1	17		
10014	métatarse	1	3		
10221	M3			1	6
<b>porc</b>		<b>1</b>	<b>5</b>		
10014	mandibule	1	5		
<b>cheval</b>				<b>1</b>	<b>39</b>
10036	métacarpe			1	39
<b>Total</b>		<b>3</b>	<b>25</b>	<b>2</b>	<b>45</b>

**Fig. 50** Orsay (91), Zac de Corbeville, partie Ouest, phase 2. Zone Nord. Répartition des restes de bœuf par Us et parties anatomiques © INRAP : C. Le Goff

Us	Bœuf	
	NR	MR
<b>parties anatomiques</b>		
<b>10007</b>	<b>3</b>	<b>182</b>
mandibule	1	83
fémur	1	24
humérus	1	75
<b>10012</b>	<b>1</b>	<b>97</b>
crâne	1	97
<b>10014</b>	<b>3</b>	<b>82</b>
mandibule	1	47
crâne	1	13
tibia	1	22
<b>10022</b>	<b>1</b>	<b>7</b>
os coxal	1	7
<b>10035</b>	<b>1</b>	<b>3</b>
vert. thoracique	1	3
<b>10036</b>	<b>1</b>	<b>16</b>
os coxal	1	16
<b>10045</b>	<b>2</b>	<b>91</b>
fémur	1	39
humérus	1	52
<b>10056</b>	<b>1</b>	<b>14</b>
crâne	1	14
<b>10067</b>	<b>1</b>	<b>2</b>
mandibule	1	2

Us	Bœuf	
	NR	MR
<b>parties anatomiques</b>		
<b>10071</b>	<b>4</b>	<b>382</b>
mandibule	1	234
scapula	1	42
humérus	1	83
métatarse	1	23
<b>10084</b>	<b>1</b>	<b>188</b>
tibia	1	188
<b>10095</b>	<b>30</b>	<b>1244</b>
calcanéum	1	26
côte	5	170
humérus	2	106
M1	1	5
M1 ou 2	1	19
M2	1	10
md	1	12
métacarpe	1	65
humérus	1	45
os coxal	1	19
P2	1	4
radius	1	23
tibia	1	25
ulna	1	7
vertèbre	frags	54
vertèbre cervicale	1	105

Us	Bœuf	
	NR	MR
<b>parties anatomiques</b>		
vertèbre lombaire	2	123
vertèbre sacrée	1	56
vert. thoracique	7	370
<b>10100</b>	<b>1</b>	<b>69</b>
tibia	1	69
<b>10104</b>	<b>1</b>	<b>44</b>
axis	1	44
<b>10106</b>	<b>1</b>	<b>9</b>
crâne	1	9
<b>10186</b>	<b>4</b>	<b>192</b>
humérus	3	151
talus	1	41
<b>10221</b>	<b>12</b>	<b>952</b>
mandibule	2	543
atlas	1	31
axis	1	30
calcanéum	1	41
côte	1	7
crâne	2	21
os coxal	1	62
radius	1	59
tibia	2	139
vertèbre	frags	19
<b>Total général</b>	<b>68</b>	<b>3574</b>

## Conclusion

Au vu de la surface diagnostiquée et du nombre de faits, les lots collectés sont peu importants, totalisant 95 restes.

Les ossements proviennent de contextes appartenant probablement à des périodes différentes, s'échelonnant peut-être de la période romaine à la fin du Moyen Âge (Fig. 48). Les effectifs sont indigents, mais il semble que ces derniers se rattachent plutôt aux XI<sup>e</sup>-XII<sup>e</sup> siècles.

Les espèces observées sont classiques, avec les espèces domestiques de la triade (bœuf, caprinés et porc) et du cheval, même si cet assemblage est tout à fait dominé par le bœuf. On peut observer, quelle que soit la période estimée, la présence de jeunes bovins, ainsi que des individus réformés, sans pouvoir distinguer de choix d'élevage. De même, aucune sélection spécifique de parties anatomiques ne peut être discernée ; l'ensemble du squelette étant plus ou moins présent. Ainsi, ces rejets sont domestiques, liés à la préparation des carcasses et à la consommation de viande.

Le faible nombre de restes est aussi lié au fait qu'aucune vraie fosse dépotoir n'a été fouillée. Les vestiges collectés semblent avoir été rejetés de manière opportuniste dans les fossés et les fosses, épandus, ou encore apportés avec la terre de comblement.

La faiblesse de ce corpus se rapproche de celui observé lors de la fouille limitrophe du *Corridor Ecologique* par Grégoire Bailleux en 2016 (Fig. 05 ; com. pers. Olivier COTTÉ, Inrap). Toutefois, on peut noter ici que les restes attribuables aux XI<sup>e</sup>-XII<sup>e</sup> siècles sont plus présents que sur cette dernière, dont les vestiges sont principalement attribuables au haut Moyen Âge.

Seule une fouille permettrait de collecter un corpus plus conséquent, et ainsi de réaliser une étude où pourraient être appréhendés les choix d'élevage et de consommation des résidents pendant la période médiévale.



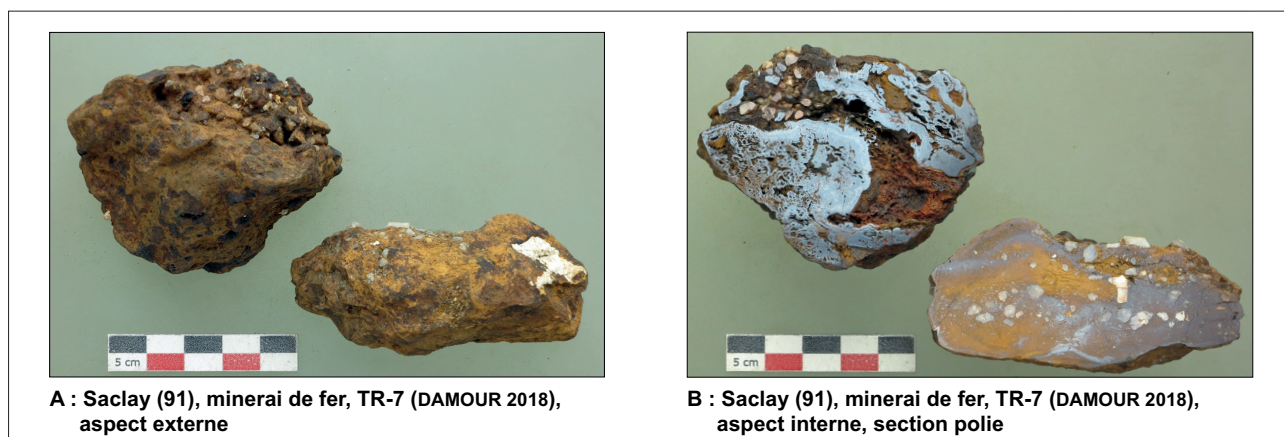
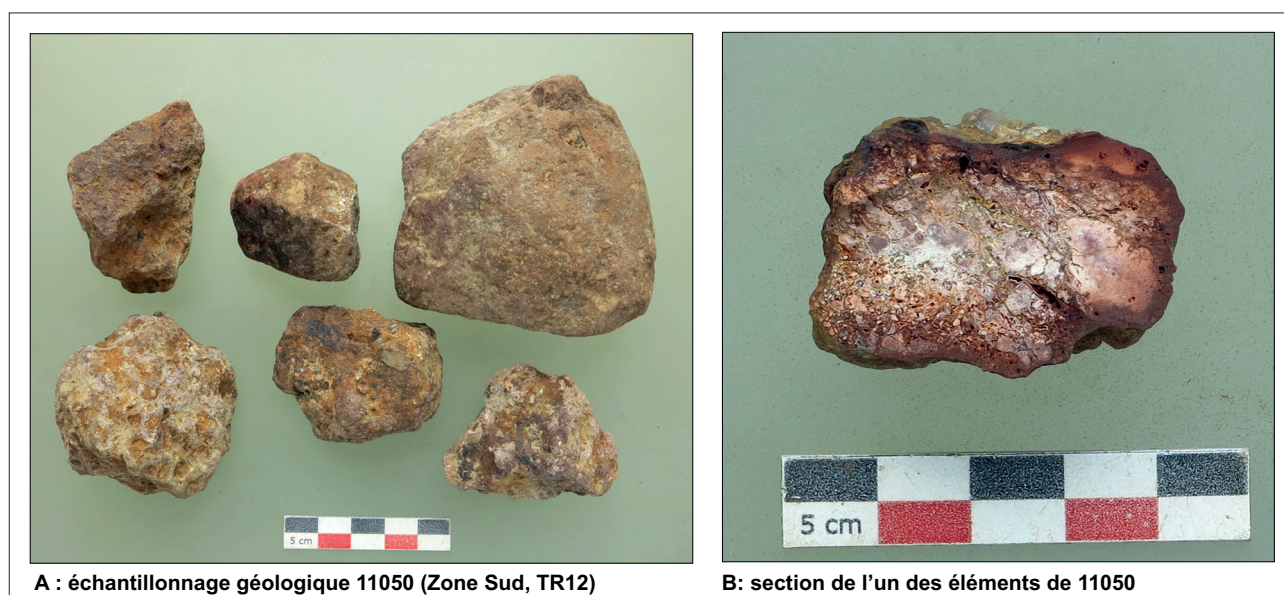
### 3.10. Annexe 10 : Indices d'activités métallurgiques (Philippe LORQUET, Inrap ; UMR 5060 IRAMAT – laboratoire “métallurgies et cultures”)

#### 3.10.1. Petits « blocs » naturels ferrugineux, indice de minerai de fer

Plusieurs petits « blocs » naturels d'aspect ferrugineux ont été repérés lors de la détection magnétique opérée sur le site à des fins pyrotechniques, notamment dans la partie méridionale de la Zone Sud (ramassages 11049, TR10, et 11050, TR12 ; *supra* cf. § 2.1.4, Fig. 12 ; Fig. 51-A ; cf. § 5 : Pl. 002 et 006).

La section pratiquée dans un échantillon montre effectivement un enrobage rougeâtre d'oxyde de fer (hématite probable), mais le noyau est essentiellement constitué de meulière (Fig. 51-B). La teneur en fer, qui est seulement superficielle, s'avère insuffisante pour qualifier cet élément de minerai exploitable, mais cela confirme la présence de conditions géologiques propices à sa formation.

**Fig. 51** Orsay (91), Zac de Corbeville, partie Ouest, phase 2. Zone Sud. Petits « blocs » naturels ferrugineux du ramassage géologique 11050 (TR12, Hz-II) et section sciée de l'un des éléments © INRAP : Ph. Lorquet



**Fig. 52** Saclay (91), diagnostic de "Vauhallan-Palaiseau-Saclay, RD 36 Section Est (...)" (DAMOUR 2018). Minerai de fer © INRAP : Ph. Lorquet

C'est effectivement en situation stratigraphie similaire (sous la couverture limoneuse, niveau d'affleurement de la meulière avec reliquat de sable de Lozère ; *supra* Fig. 06 et 11, cf. § 2.2.1.1) qu'ont été collectés des éléments de minerai, dans le cadre d'un diagnostic archéologique proche, à Saclay, à 1,5 km de distance (Fig. 52 ; DAMOUR 2018).

Ce minerai ne constitue pas à proprement parlé un banc, il apparaît sous la forme de rognons au sein d'un niveau discontinu mêlant limon argileux, grains cubiques de quartz et éclats de meulières. Cette matière première minérale est présente en concentration très variable, mais est facilement accessible dans la zone de pincement des limons de plateaux, aux abords des zones d'affleurement de la meulière sous-jacente. Ce potentiel local explique la récurrence et la durée des indices archéologiques relatifs à la production primaire de fer par réduction du minerai dans le secteur. En effet des bas fourneaux découverts à Saclay, RD 36 (DUPÉRÉ 2016), ont été datés par C<sub>14</sub> du V<sup>e</sup> siècle avant-J.-C. (Fig. 53), et la forge d'épuration de métal brut de la fouille de 2016, la Plaine de Corbeville *Corridor Ecologique*, par G. Bailleux, en bordure Est de la Zone Nord (Fig. 18), est datée du X<sup>e</sup> siècle de notre ère.

C'est donc durant une longue période d'au moins 1500 ans que ce minerai de fer a été extrait et exploité localement. A cet égard, il est très probable qu'une partie au moins des très nombreuses dépressions subsistant dans le paysage, sous la forme de mares, correspondent à ce type d'exploitation. Cette hypothèse est d'autant plus plausible quand il s'agit de zones de faible recouvrement limoneux, à l'approche du rebord de plateau et d'affleurement de la meulière.

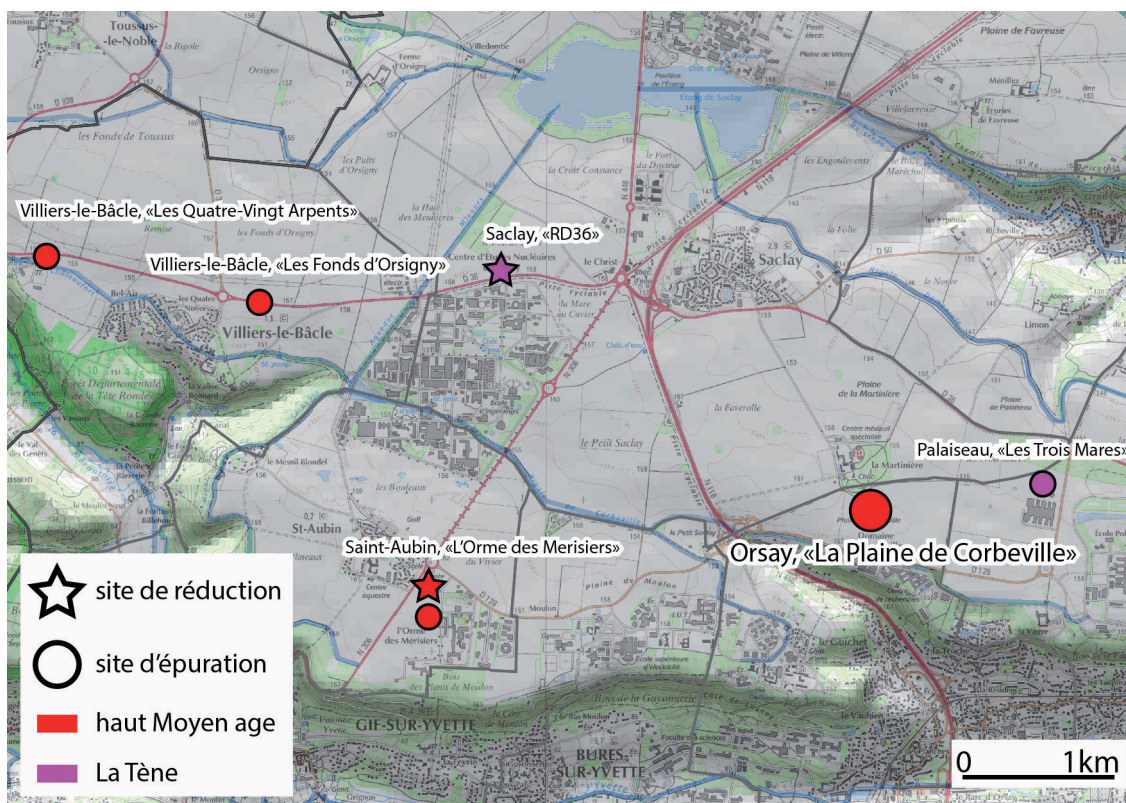


Fig. 53 Carte de localisation des indices de sites de réduction de minerai de fer et de forge d'épuration sur le plateau de Saclay © INRAP : Ph. Lorquet

### 3.10.2. Un district local de production de fer

La présence d'une ressource locale en minerai de fer, et sa valorisation, est sans doute à la base de la constitution d'un réseau de sites où des équipes et ateliers métallurgiques assuraient, de manière complémentaire, l'acquisition et le traitement des matières nécessaires à la chaîne opératoire du fer. Cela nécessite en effet un travail complexe et spécialisé mettant en phase plusieurs sites se partageant les étapes successives : depuis la fabrication du charbon de bois, l'extraction du minerai, la réduction en bas fourneau, la forge d'épuration du métal brut, la forge d'élaboration d'objet à partir du métal épuré et jusqu'à la commercialisation des produits obtenus.

Des sites de réduction du minerai de fer sont connus à deux kilomètres de distance : les deux bas fourneaux, déjà évoqués, datés de La Tène A, du diagnostic de Saclay, RD 36 (LORQUET, BAUVAIS 2016), et les scories coulées de réduction de la fouille de Saint-Aubin, "L'Orme des Merisiers" (Olivier BLIN, *rapport en cours*), en contexte mérovingien (Fig. 53). En complément, des ateliers de forge de métal brut (épuration) ont été mis en évidence à Villiers-le-Bâcle pour le haut Moyen Âge (LORQUET 2018), et, plus antérieurement, durant La Tène moyenne à Palaiseau, "les Trois Mares" (BAUVAIS, LORQUET, DISSER 2016). La forge d'épuration constitue en effet le stade successif et complémentaire à la réduction, dans le cadre de la chaîne opératoire qui mène du minerai à l'objet.

### 3.10.3. Zone Nord, un culot de forge massif

Le culot de forge découvert en Zone Nord, dans la tranchée 02 (ram. 10036 : Fig. 54), est à rapprocher de l'atelier métallurgique alto-médiéval fouillé en 2016 sur la parcelle voisine (Fig. 05 et 18), qui s'inscrit dans ce cadre d'organisation complexe évoqué plus haut.

L'activité principale de cette forge y correspond principalement au stade opératoire de la forge d'épuration de métal brut. En effet, les particularités de la grande majorité des déchets métallurgiques, tels que la massivité des culots de forge, leur teneur souvent importante en métal et le nombre de déchets de métal brut, renvoient à cette pratique particulière.

Le tiers des culots du site a une masse d'au moins 900 grammes, ce qui est particulièrement massif et traduit bien que le forgeage intense de pièces volumineuses correspondait à un type d'activité habituel sur le site. Une majorité des échantillons de métal analysés sont des fragments de masses brutes, tout comme le métal majoritairement observé dans les culots.

Sur le diagnostic de novembre et décembre 2020, le culot de forge issu du ramassage 10036 (fossés médiévaux : Fig. 18 ; cf. § 5 : Pl. 022) est particulièrement massif (940 g), quoiqu'étant conservé à environ 80% de son volume initial. Sa section sciée met en évidence sa forte densité et fait apparaître une teneur importante en métal corrodé sous la formes d'éclats et d'une strate médiane formée de pertes plus ou moins fondues.

Ces caractéristiques sont parfaitement cohérentes avec les observations constatées pour l'atelier de forge d'épuration fouillé, qui ne se trouve qu'à une distance de quatre-vingt mètres.

Sans information complémentaire sur son contexte de découverte, il est impossible de discriminer entre un résidu provenant d'un nouvel atelier de forge, ou bien un élément déplacé, qui proviendrait de l'atelier fouillé en 2016.



**A : TR02, ram. 10036, culot de forge, face supérieure**



**B : TR02, ram. 10036, culot de forge, face inférieure**



**C : TR02, ram. 10036, culot de forge, vue de profil**



**D : TR02, ram. 10036, culot de forge, section sciée transversale**

**Fig. 54** Orsay (91), Zac de Corbeville, partie Ouest, phase 2. Zone Nord. Culot de forge du ramassage 10036 (fossés médiévaux), TR02

© INRAP : Ph. Lorquet

# IV. Inventaires techniques



## 4.1. Inventaires des horizons et unités stratigraphiques

(A : argile-ux ; L : limon-ux ; S : sablon-neux)

\*Hz/Us : 10001 \*TR : 1 \*Fait : EX10001 \*Ens. : TRC10001 \*Type : composite (combl. + creus.)  
 \*Ident. : tranchée / réseau contemporain-e  
 \*Rem. : TRC10001 = 11017 : Tranchée récente (1993) tout le long du bord ouest de l'emprise (assainissement et EDF). -Longueur > 366 m ; largeur du creusement central > 8,3 m ; P. > 1,5 m.  
 -Comblée par des remblais d'argiles jaunâtres à rougeâtres remaniées, tronquant, mais aussi recouvrant en partie, les vestiges archéologiques conservés.  
 -Recouverte par des labours récents.  
 -En Zone Nord, emplacement de la fouille de sauvetage AAC-CEA de Daniel Giganon en mai 1993 (GIGANON 1993).  
 \*Tech. fle : mécanique  
 \*Dim. max. obs. en m : \*larg. : > 8,3 \*Prof. : > 1,5  
 \*Descri. : -Remblai d'argiles jaunâtres, mottes rougeâtres à brunes éparées par endroits, sous labours récents.  
 \*Sur : 10007; 10108; 10157 \*Egal. : 11017  
 \*n° photo-s : 15, 16, 140, 141, 172, 173, 181, 186, 187, 199, 200, 201, 202, 207  
 \*n° planche-s : 14, 16, 20, 21, 28, 31

\*Hz/Us : 10002 \*TR : 1 \*Fait : PO10002 \*Type : composite (combl. + creus.) \*Ident. : trou de poteau ?  
 \*Rem. : En partie surdécapé dans la tranchée de diagnostic.  
 \*Tech. fle : non-fouillé-e  
 \*Z sup. NGF : 159,2 \*Forme : circulaire \*Profil : ?  
 \*Dim. max. obs. en m : \*Diam. : 0,5 \*Prof. : ?  
 \*Descri. : -LA gris beige, nodules de charbon et rubéfiés erratiques.  
 \*Sous : 10157  
 \*n° planche-s : 31

\*Hz/Us : 10003 \*TR : 1 \*Fait : PO10003 \*Type : composite (combl. + creus.) \*Ident. : trou de poteau ?  
 \*Rem. : En partie surdécapé dans la tranchée de diagnostic.  
 \*Tech. fle : non-fouillé-e  
 \*Z sup. NGF : 159,2 \*Forme : circulaire \*Profil : ?  
 \*Dim. max. obs. en m : \*Diam. : 0,4 \*Prof. : ?  
 \*Descri. : -LA gris beige, petits charbons erratiques.  
 \*Sous : 10157  
 \*n° planche-s : 31

\*Hz/Us : 10004 \*TR : 1 \*Fait : PO10004 \*Type : composite (combl. + creus.) \*Ident. : trou de poteau

\*Rem. : En partie surdécapé dans la tranchée de diagnostic.  
 -Partiellement dégagé en plan.  
 \*Tech. fle : sondé méca. \*% fle : 50 ?  
 \*Z sup. NGF : 159,2 \*Forme : circulaire \*Profil : évasé fond plat  
 \*Dim. max. obs. en m : \*Diam. : 0,6 \*Prof. : 0,45  
 \*Descri. : -LA gris à gris beige, rares cailloutis / petites pierres silico-calcaires, mottes jaunâtres éparées à erratiques.  
 \*Sous : 10157  
 \*n° photo-s : 140, 141  
 \*n° planche-s : 31

\*Hz/Us : 10005 \*TR : 1 \*Type : n° décapage  
 \*Rem. : Annulé = FO10107.  
 \*Egal. : 10107

\*Hz/Us : 10006 \*TR : 1 \*Fait : PO10006 \*Type : composite (combl. + creus.) \*Ident. : trou de poteau  
 \*Rem. : En partie surdécapé dans la tranchée de diagnostic.  
 -Partiellement dégagé en plan.  
 \*Tech. fle : sondé méca. \*% fle : 50 ?  
 \*Z sup. NGF : 159,2 \*Forme : circulaire ? \*Profil : évasé fond arrondi  
 \*Dim. max. obs. en m : \*Diam. : 0,6 ? \*Prof. : 0,25  
 \*Descri. : -LA gris à gris noirâtre, charbons éparés, 1 pierre silico-calcaire.  
 \*Sous : 10157 \*Sur : 10107  
 \*n° photo-s : 140, 141  
 \*n° planche-s : 31

\*Hz/Us : 10007 \*TR : 1 \*Fait : FO10007 \*Type : composite (combl. + creus.) \*Ident. : fossé  
 \*Tech. fle : sondé méca. \*% fle : ?  
 \*Z sup. NGF : 159,25 \*Forme : linéaire \*Profil : évasé fond plat  
 \*Dim. max. obs. en m : \*Long. : > 4,5 \*larg. : 0,9  
 \*Prof. : 0,45  
 \*Descri. : -LA gris brun, cailloutis éparés à erratique.  
 \*Sous : 10153  
 \*n° photo-s : 15, 16, 138, 139  
 \*n° planche-s : 30

\*Hz/Us : 10008 \*TR : 1 \*Fait : FO10008 \*Type : composite (combl. + creus.) \*Ident. : fossé  
 \*Tech. fle : sondé méca. \*% fle : ?  
 \*Z sup. NGF : 159,1 \*Forme : linéaire \*Profil : évasé fond arrondi  
 \*Dim. max. obs. en m : \*Long. : > 4,5 \*larg. : 1

\*Prof. : 0,6  
 \*Descr. :  
 -10008-a : LA gris brun, rare cailloutis, 1 frag. de *tegula*.  
 -10008-b : LA brun gris à gris blanchi, lég. bariolé.  
 \*n° photo-s : 135  
 \*n° planche-s : 29

\*Hz/Us : 10009 \*TR : 1 \*Fait : FS10010 \*Type : DOUBLON \*Ident. : fosse  
 \*Rem. : Excroissance de la FS10010 au NO.  
 \*Tech. fle : mécanique \*% fle : 50  
 \*Z sup. NGF : 159,05  
 \*Egal. : 10010  
 \*n° photo-s : 133, 134  
 \*n° planche-s : 29

\*Hz/Us : 10010 \*TR : 1 \*Fait : FS10010 \*Type : composite (combl. + creus.) \*Ident. : fosse  
 \*Rem. : 10009 = excroissance de la FS10010 au NO.  
 \*Tech. fle : mécanique \*% fle : 50  
 \*Z sup. NGF : 159,05 \*Forme : bilobée \*Profil : évasé à fond lég. arrondi  
 \*Dim. max. obs. en m : \*Long. : 2,6 \*larg. : 2,45  
 \*Prof. : 0,3  
 \*Descr. : -LA peu argileux gris à gris brun, rare cailloutis, petites mottes brun orangé et grises blanchies éparses à erratiques.  
 \*Egal. : 10009  
 \*n° photo-s : 133, 134  
 \*n° planche-s : 29

\*Hz/Us : 10011 \*TR : 1 \*Fait : FO10011 \*Type : composite (combl. + creus.) \*Ident. : fossé  
 \*Rem. : TR01 et Fen. 01-A.  
 \*Tech. fle : sondé méca. \*% fle : ?  
 \*Z sup. NGF : 159,1 \*Forme : linéaire \*Profil : évasé avec canal central à fond lég. arrondi.  
 \*Dim. max. obs. en m : \*Long. : > 12,5 \*larg. : 1,6  
 \*Prof. : 1,05  
 \*Descr. : -LA / AL beige brun à brun jaune, rares petites pierres.  
 \*Sous : 10012 \*Synch : 10210 ?  
 \*n° photo-s : 131, 132  
 \*n° planche-s : 24, 25

\*Hz/Us : 10012 \*TR : 1 \*Fait : FO10012 \*Type : composite (combl. + creus.) \*Ident. : fossé  
 \*Rem. : Surdécapé dans la Fen 01-A.  
 \*Tech. fle : sondé méca. \*% fle : ?  
 \*Z sup. NGF : 159 \*Forme : linéaire \*Profil : en «V» évasé  
 \*Dim. max. obs. en m : \*Long. : > 11,5 \*larg. : 1,4  
 \*Prof. : 0,5  
 \*Descr. : \*-SD10147, coupe Ouest :  
 -10012-A : LA gris brun, rares cailloutis / petites pierres silico-calcaires et nodules de charbon / rubéfiés. l. : 1 m ; P. : 0,5 m.  
 -10012-B ? : Relation avec 10012-A ? LA brun gris à brun beige. l. : 0,6 ? ; P. : 0,35.

\*Sous : 10100 \*Sur : 10011; 10104;  
 \*n° photo-s : 11, 12, 13, 14, 61, 84, 85, 86, 127, 128  
 \*n° planche-s : 23, 24, 25

\*Hz/Us : 10013 \*TR : 1 \*Fait : SP10013 \*Type : composite (combl. + creus.) \*Ident. : sépulture  
 \*Rem. : Partiellement surdécapé.  
 \*Tech. fle : non-fouillé-e  
 \*Z sup. NGF : 159 \*Forme : oblongue \*Profil : ?  
 \*Dim. max. obs. en m : \*Long. : 1,85 ? \*larg. : 0,7 ?  
 \*Prof. : ?  
 \*Descr. : -Comblement sup. de LA brun beige.  
 -Crâne à l'Ouest, lég. tronqué par la pelle mécanique (alti. sup. : 158,75).  
 \*Sur : 10104 ?  
 \*n° photo-s : 11, 12, 13, 14, 84, 85, 86  
 \*n° planche-s : 23, 25

\*Hz/Us : 10014 \*TR : 1 \*Fait : FO10014 \*Type : composite (combl. + creus.) \*Ident. : fossé  
 \*Rem. : Surdécapé dans la Fen 01-A.  
 \*Tech. fle : sondé méca. \*% fle : ?  
 \*Z sup. NGF : 159 \*Forme : linéaire («ondulant»)  
 \*Profil : évasé fond arrondi  
 \*Dim. max. obs. en m : \*Long. : > 14,3 \*larg. : 1,4  
 \*Prof. : 0,2  
 \*Descr. : -LA gris brun, par endroits, plages de chabons épars, petites pierres silico-calcaires éparses à erratiques.  
 \*Sur : 10210 \*Rel. indét. : 10015; 10209  
 \*n° photo-s : 11, 12, 13, 14, 127, 128  
 \*n° planche-s : 23, 24, 25

\*Hz/Us : 10015 \*TR : 1 \*Fait : FO10015 \*Type : composite (combl. + creus.) \*Ident. : fossé  
 \*Tech. fle : non-fouillé-e  
 \*Z sup. NGF : 159 \*Forme : linéaire \*Profil : ?  
 \*Dim. max. obs. en m : \*Long. : > 3,75 \*larg. : 1,1  
 \*Prof. : ?  
 \*Descr. : -LA brun gris.  
 \*Sous : 10014 ? \*Rel. indét. : 10105  
 \*n° photo-s : 9, 10  
 \*n° planche-s : 23, 25

\*Hz/Us : 10016 \*TR : 1 \*Fait : PO10016 \*Type : composite (combl. + creus.) \*Ident. : trou de poteau ?  
 \*Tech. fle : non-fouillé-e  
 \*Z sup. NGF : 158,95 \*Forme : circulaire \*Profil : ?  
 \*Dim. max. obs. en m : \*Diam. : 0,85 \*Prof. : ?  
 \*Descr. : -LA gris brun, nodules de charbon et rubéfiés épars.  
 \*Sur : 10017 ?  
 \*n° photo-s : 147, 148  
 \*n° planche-s : 23, 25

\*Hz/Us : 10017 \*TR : 1 \*Fait : FT10017 \*Type : composite (combl. + creus.) \*Ident. : creusement indéterminé  
 \*Rem. : Fosse ? Fossé 10105 ?  
 -Limites floues.

- \*Tech. file : non-fouillé-e  
 \*Z sup. NGF : 159 \*Forme : indéterminée, partiellement décapé \*Profil : ?  
 \*Dim. max. obs. en m : \*Long. : > 1,95 ? \*larg. : 1,8 ?  
 \*Prof. : ?  
 \*Descri. : -LA brun gris.  
 \*Sous : 10016 ?; 10018 \*Rel. indét. : 10105  
 \*n° photo-s : 147, 148  
 \*n° planche-s : 23, 25
- \*Hz/Us : 10018 \*TR : 1 \*Fait : FS10018 \*Type : composite (combl. + creus.) \*Ident. : fosse  
 \*Tech. file : non-fouillé-e  
 \*Z sup. NGF : 158,95 \*Forme : décapage partiel (circulaire/ovale ?) \*Profil : ?  
 \*Dim. max. obs. en m : \*Long. : 1,1 \*larg. : > 0,75  
 \*Prof. : ?  
 \*Descri. : -LA gris brun, nodules de charbon et rubéfiés épars.  
 \*Sur : 10017  
 \*n° photo-s : 147, 148  
 \*n° planche-s : 23, 25
- \*Hz/Us : 10019 \*TR : 1 \*Fait : PO10019 \*Type : composite (combl. + creus.) \*Ident. : trou de poteau  
 \*Tech. file : non-fouillé-e  
 \*Z sup. NGF : 158,95 \*Forme : circulaire \*Profil : ?  
 \*Dim. max. obs. en m : \*Diam. : 0,45 \*Prof. : ?  
 \*Descri. : -LA gris brun, nodules de charbon et rubéfiés épars à erratiques.  
 \*n° photo-s : 147, 148  
 \*n° planche-s : 23, 25
- \*Hz/Us : 10020 \*TR : 1 \*Fait : FS10020 \*Type : composite (combl. + creus.) \*Ident. : fosse  
 \*Tech. file : non-fouillé-e  
 \*Z sup. NGF : 158,95 \*Forme : ovale \*Profil : ?  
 \*Dim. max. obs. en m : \*Long. : 1,05 \*larg. : 0,75  
 \*Prof. : ?  
 \*Descri. : -LA gris brun, frags. rubéfiés, charbons et cailloutis épars.  
 \*Sur : 10103  
 \*n° photo-s : 147, 148  
 \*n° planche-s : 23, 25
- \*Hz/Us : 10021 \*TR : 1 \*Fait : FS10021 \*Type : composite (combl. + creus.) \*Ident. : fosse  
 \*Tech. file : non-fouillé-e  
 \*Z sup. NGF : 158,95 \*Forme : ovale \*Profil : ?  
 \*Dim. max. obs. en m : \*Long. : 1,1 \*larg. : 0,8  
 \*Prof. : ?  
 \*Descri. : -LA gris brun, nodules de charbons et rubéfiés épars à erratiques, rares petites pierres silico-calcaires.  
 \*Sur : 10172  
 \*n° photo-s : 10, 147, 148  
 \*n° planche-s : 23, 25
- \*Hz/Us : 10022 \*TR : 1 \*Type : n° décapage \*Ident. : ramassage de mobilier / plusieurs faits
- \*Rem. : 10022 = 10167 + 10168 + 10169 + 10170 + 10171 + drain ; principalement dans le surdécapage 10166.  
 \*n° photo-s : 9, 10, 147, 148  
 \*n° planche-s : 23, 25
- \*Hz/Us : 10023 \*TR : 1 \*Fait : FO10023 \*Type : composite (combl. + creus.) \*Ident. : fossé  
 \*Rem. : Partiellement surdécapé en tranchée de diagnostic.  
 \*Tech. file : sondé méca. \*% file : ?  
 \*Z sup. NGF : 158,9 \*Forme : linéaire \*Profil : évasé fond arrondi  
 \*Dim. max. obs. en m : \*Long. : > 4,7 \*larg. : 1,3  
 \*Prof. : 0,4  
 \*Descri. : -LA beige à brun gris, rares chabons.  
 \*n° photo-s : 149  
 \*n° planche-s : 23
- \*Hz/Us : 10024 \*TR : 1 \*Fait : FO10024 \*Type : composite (combl. + creus.) \*Ident. : fossé  
 \*Tech. file : sondé méca. \*% file : ?  
 \*Z sup. NGF : 158,85 \*Forme : linéaire \*Profil : évasé fond arrondi  
 \*Dim. max. obs. en m : \*Long. : > 5,3 \*larg. : 1,4  
 \*Prof. : 0,3  
 \*Descri. : -LA beige à brun gris. Au centre, pierres silico-calcaires éparses à erratiques.  
 \*n° photo-s : 144, 145  
 \*n° planche-s : 19
- \*Hz/Us : 10025 \*TR : 1 \*Fait : FS10025 \*Type : composite (combl. + creus.) \*Ident. : fosse  
 \*Rem. : Grande fosse ? Plusieurs faits ?  
 \*Tech. file : non-fouillé-e  
 \*Z sup. NGF : 158,85 \*Forme : indéterminée, décap. partiel \*Profil : ?  
 \*Dim. max. obs. en m : \*Long. : > 5,5 \*larg. : 2,75  
 \*Prof. : ?  
 \*Descri. : -LA brun gris sombre, pierres silico-calcaires (L < 0,4) éparses à erratiques.  
 \*Rel. indét. : 10026  
 \*n° photo-s : 5, 6  
 \*n° planche-s : 19
- \*Hz/Us : 10026 \*TR : 1 \*Fait : FS10026 \*Type : composite (combl. + creus.) \*Ident. : fosse  
 \*Rem. : Fosse ? Excroissance de 10025.  
 \*Tech. file : non-fouillé-e  
 \*Z sup. NGF : 158,85 \*Forme : excroissance arrondie \*Profil : ?  
 \*Dim. max. obs. en m : \*Diam. : > 1,9 ? \*Prof. : ?  
 \*Descri. : -LA brun gris sombre.  
 \*Rel. indét. : 10025  
 \*n° photo-s : 5, 6  
 \*n° planche-s : 19
- \*Hz/Us : 10027 \*TR : 1 \*Fait : FS10027 \*Type : composite (combl. + creus.) \*Ident. : fosse  
 \*Tech. file : non-fouillé-e

\*Z sup. NGF : 158,8 \*Forme : décapage partiel (ovalaire ?) \*Profil : ?  
 \*Dim. max. obs. en m : \*Long. : > 0,85 \*larg. : 0,75  
 \*Prof. : ?  
 \*Descri. : -LA gris beige.  
 \*n° photo-s : 5, 6  
 \*n° planche-s : 19

\*Hz/Us : 10028 \*TR : 1 \*Fait : PO10028 \*Type : composite (combl. + creus.) \*Ident. : trou de poteau  
 \*Tech. fle : sondé méca. \*% fle : 50  
 \*Z sup. NGF : 158,7 \*Forme : circulaire \*Profil : cuvette  
 \*Dim. max. obs. en m : \*Diam. : 0,55 \*Prof. : 0,25  
 \*Descri. :  
 -10028-a : Négatif cylindrique (Diam. : 0,2 ?) ? LA gris brun sombre, rares charbons.  
 -10028-b : Avant-trou, LA beige gris.  
 \*n° photo-s : 5, 6, 142, 143  
 \*n° planche-s : 19

\*Hz/Us : 10029 \*TR : 1 \*Fait : PO10029 \*Type : composite (combl. + creus.) \*Ident. : trou de poteau ?  
 \*Tech. fle : non-fouillé-e  
 \*Z sup. NGF : 158,7 \*Forme : décapage partiel (circulaire/ovalaire ?) \*Profil : ?  
 \*Dim. max. obs. en m : \*Diam. : 0,9 ? \*Prof. : ?  
 \*Descri. : -LA gris brun noirâtres, nodules de charbon et rubéfiés épars.  
 \*n° photo-s : 5, 6, 143, 146

\*Hz/Us : 10030 \*TR : 1 \*Type : n° décapage \*Ident. : plusieurs faits  
 \*Rem. : 10030 = 10161 + 10162 + 10163 + 10164.  
 \*n° photo-s : 5, 6, 146

\*Hz/Us : 10031 \*TR : 2 \*Fait : EX10031 \*Ens. : TRC10001 \*Type : DOUBLON \*Ident. : tranchée / réseau contemporain-e  
 \*Rem. : Voir 10001  
 \*Tech. fle : test méca.  
 \*Z sup. NGF : 159,45  
 \*Egal. : 10001  
 \*n° photo-s : 172, 173  
 \*n° planche-s : 28

\*Hz/Us : 10032 \*TR : 2 \*Fait : FS10032 \*Type : composite (combl. + creus.) \*Ident. : fosse  
 \*Rem. : Traversée par un drain.  
 \*Tech. fle : mécanique \*% fle : ?  
 \*Z sup. NGF : 159,25 \*Forme : décapage partiel (circulaire/ovalaire ?) \*Profil : évasé fond plat  
 \*Dim. max. obs. en m : \*Long. : 2,3 ? \*larg. : > 0,85  
 \*Prof. : 0,5  
 \*Descri. : \*-SD10181, coupe OSO : Z sup. sol actuel = entre 159,70 / 159,85 m NGF.  
 -env. 0,00-0,25 m : Labours.  
 -env. 0,25-0,50 : Remblais récents 10001.  
 -10032-1 : LA brun à brun gris, rares nodules rubéfiés.  
 -10032-2 : LA brun gris, petites mottes brun orangé

éparses.  
 -10032-3 : LA brun gris à gris brun, cailloux anguleux silico-calcaires et petits frags. rubéfiés épars à erratiques.  
 -10032-4 : LA gris sombre, charbons épars, nodules rubéfiés épars à erratiques, rares petits cailloux.  
 -10032-5 : Petites mottes de LA/AL brun jaune et similaires à 10032-4.  
 -10032-6 : Liseré charbonneux sur le fond.  
 \*Sous : 10001 \*Rel. indét. : 10123  
 \*n° photo-s : 172, 173  
 \*n° planche-s : 28

\*Hz/Us : 10033 \*TR : 2 \*Fait : FO10033 \*Type : composite (combl. + creus.) \*Ident. : fossé  
 \*Rem. : Surdécapé dans le SG10179.  
 \*Tech. fle : non-fouillé-e \*% fle : ?  
 \*Z sup. NGF : 159,1 \*Forme : linéaire \*Profil : ?  
 \*Dim. max. obs. en m : \*Long. : > 3,7 \*larg. : 0,7  
 \*Prof. : > 0,3  
 \*Descri. : -LA gris beige, rares pierres silico-calcaires.  
 \*Sur : 10180  
 \*n° planche-s : 28

\*Hz/Us : 10034 \*TR : 2 \*Fait : FO10034 \*Type : composite (combl. + creus.) \*Ident. : fossé  
 \*Rem. : Le long du bord Nord de l'EX10035.  
 \*Tech. fle : mécanique \*% fle : ?  
 \*Z sup. NGF : 159,2 \*Forme : linéaire \*Profil : évasé fond plat  
 \*Dim. max. obs. en m : \*Long. : > 5,7 \*larg. : 1  
 \*Prof. : 0,2  
 \*Descri. : -LA gris brun, petites pierres silico-calcaires éparses à erratiques.  
 \*Rel. indét. : 10035  
 \*n° photo-s : 169, 170, 171, 180  
 \*n° planche-s : 22  
 -Surdécapé. Coupe = bord OSO de la TR02.

\*Hz/Us : 10035 \*TR : 2 \*Fait : EX10035 \*Type : composite (combl. + creus.) \*Ident. : excavation  
 \*Rem. : Bande excavée entre les FO10034 et 10185.  
 \*Tech. fle : mécanique \*% fle : ?  
 \*Z sup. NGF : 159,2 \*Forme : linéaire ? \*Profil : fond plat  
 \*Dim. max. obs. en m : \*Long. : > 4,5 \*larg. : 2,95  
 \*Prof. : 0,2  
 \*Descri. : -LA gris brun, cailloutis / petites pierres silico-calcaires épars à erratiques, quelques fragments de faune.  
 \*Sur : 10036 \*Rel. indét. : 10034; 10185  
 \*n° photo-s : 169, 170, 171, 176, 177, 178, 179, 180  
 \*n° planche-s : 22  
 -Chemin ?  
 -Surdécapée. Coupe = bord OSO de la TR02.

\*Hz/Us : 10036 \*TR : 2 \*Type : n° décapage \*Ident. : ramassage de mobilier  
 \*Rem. : 10036 = 10035 + 10184 + 10185 + 10186.  
 \*Tech. fle : mécanique

\*n° photo-s : 17, 18, 169, 170, 171, 176, 177, 178, 179, 180, 248

\*Hz/Us : 10037 \*TR : 2 \*Fait : FS10037 \*Type : composite (combl. + creus.) \*Ident. : fosse

\*Rem. : Extrémité Ouest testée : pas de squelette.

\*Tech. fle : manuelle \*% fle : 20

\*Z sup. NGF : 159,1 \*Forme : ovale \*Profil : évasé fond plat

\*Dim. max. obs. en m : \*Long. : 1,65 \*larg. : 0,55

\*Prof. : 0,35

\*Descri. : LA gris, frags de terre cuite/rubéfiée erratiques.

\*n° photo-s : 17, 18, 179

\*n° planche-s : 22

\*Hz/Us : 10038 \*TR : 2 \*Fait : FO10038 \*Type : composite (combl. + creus.) \*Ident. : fossé

\*Rem. : Surdécapé en tranchée de diagnostic.

\*Tech. fle : mécanique \*% fle : ?

\*Z sup. NGF : 159,05 \*Forme : linéaire \*Profil : évasé fond arrondi

\*Dim. max. obs. en m : \*Long. : > 4,2 \*larg. : 0,7

\*Prof. : 0,35

\*Descri. : -LA beige à beige gris, lég. bariolé.

\*Egal. : 10098 ?

\*n° photo-s : 17, 18, 174

\*n° planche-s : 22

\*Hz/Us : 10039 \*TR : 2 \*Type : ramassage mobilier

\*Rem. : 16 fragments de céramique modelée (200 g) dans limons des plateaux ou fait non perçu ?

-Voir sondage et ramassage similaire n° 10187 à env. 4 m plus au SE dans la tranchée de diagnostic : Hz 10187-a : LA brun gris lég. orangé.

\*Tech. fle : mécanique

\*Z sup. NGF : 158,95

\*Dim. max. obs. en m : \*Long. : 2,5 \*Prof. : 0,25

\*Descri. : -Sous labours (0,00-0,35 m), entre 0,35 m et 0,60 m (158,95 m à 158,70 m NGF) de profondeur depuis le sol actuel (159,30 m NGF).

\*Egal. : 10187 ?

\*n° planche-s : 18

\*Hz/Us : 10040 \*TR : 3 \*Fait : EX10040 \*Ens. : TRC10001 \*Type : DOUBLON \*Ident. : tranchée / réseau contemporain-e

\*Rem. : Voir 10001

\*Tech. fle : test méca.

\*Z sup. NGF : 159,5

\*Egal. : 10001

\*n° photo-s : 19, 20, 181, 186, 187

\*n° planche-s : 20, 21

\*Hz/Us : 10041 \*TR : 3 \*Fait : PO10041 \*Type : composite (combl. + creus.) \*Ident. : trou de poteau

\*Rem. : Partiellement surdécapé en tranchée de diagnostic et tronqué par les remblais récents 10001.

\*Tech. fle : non-fouillé-e

\*Z sup. NGF : 159,1 \*Forme : circulaire, tronquée

\*Profil : ?

\*Dim. max. obs. en m : \*Diam. : > 0,5 \*Prof. : > 0,2

\*Descri. : -LA gris sombre, nodules de charbon et rubéfiés épars.

\*Sous : 10001

\*n° planche-s : 20

\*Hz/Us : 10042 \*TR : 3 \*Fait : PO10042 \*Type : composite (combl. + creus.) \*Ident. : négatif de poteau

\*Rem. : Partiellement surdécapé en tranchée de diagnostic et tronqué un ou deux drains.

\*Tech. fle : non-fouillé-e

\*Z sup. NGF : 159,15 \*Forme : circulaire, tronquée

\*Profil : ?

\*Dim. max. obs. en m : \*Diam. : 0,2 \*Prof. : > 0,25

\*Descri. : -LA gris sombre, nodules de charbon et rubéfiés épars.

-Avant-trou non perçu.

\*Sous : 10001

\*n° planche-s : 20

\*Hz/Us : 10043 \*TR : 3 \*Fait : FO10043 \*Type : composite (combl. + creus.) \*Ident. : fossé

\*Rem. : Partiellement surdécapé en tranchée de diagnostic.

-Forme un coude avec le FO10044.

\*Tech. fle : méca. partielle \*% fle : ?

\*Z sup. NGF : 159,2 \*Forme : linéaire \*Profil : cuvette

\*Dim. max. obs. en m : \*Long. : > 2,7 \*larg. : 0,45

\*Prof. : 0,3 à > 0,45

\*Descri. : -Pendage vers l'Ouest.

-LA beige à beige gris, rares cailloux / petites pierres silico-calcaires.

\*Sous : 10001 \*Synch : 10044; 10190

\*n° planche-s : 20

\*Hz/Us : 10044 \*TR : 3 \*Fait : FO10044 \*Type : composite (combl. + creus.) \*Ident. : fossé

\*Rem. : Partiellement surdécapé en tranchée de diagnostic.

-Forme un coude avec le FO10043.

-Coupe partielle : bord NO de la TR03.

\*Tech. fle : méca. partielle \*% fle : ?

\*Z sup. NGF : 159,2 \*Forme : linéaire \*Profil : bords évasés, fond ?

\*Dim. max. obs. en m : \*Long. : > 1,6 \*larg. : 0,55

\*Prof. : > 0,45

\*Descri. : -LA beige à beige gris, rares cailloux / petites pierres silico-calcaires.

\*Sous : 10001 \*Synch : 10043 \*Egal. : 10190

\*n° photo-s : 186, 187

\*n° planche-s : 20, 21

\*Hz/Us : 10045 \*TR : 3 \*Fait : FO10045 \*Type : composite (combl. + creus.) \*Ident. : fossé

\*Rem. : Partiellement surdécapé en tranchée de diagnostic.

\*Tech. fle : non-fouillé-e

\*Z sup. NGF : 159,25 \*Forme : linéaire \*Profil : ?

\*Dim. max. obs. en m : \*Long. : > 6,7 \*larg. : 1,3

\*Prof. : > 0,35  
 \*Descri. : LA beige gris, cailloux / petites pierres silico-calcaires épars à erratiques, quelques fragments de faune.  
 \*Rel. indét. : 10113  
 \*n° photo-s : 20  
 \*n° planche-s : 20

\*Hz/Us : 10046 \*TR : 3 \*Fait : FS10046 \*Type : composite (combl. + creus.) \*Ident. : fosse-s ?  
 \*Rem. : Plusieurs faits ?  
 \*Tech. fle : non-fouillé-e  
 \*Z sup. NGF : 159,15 \*Forme : indéterminée, décap. partiel \*Profil : ?  
 \*Dim. max. obs. en m : \*Long. : > 3 \*larg. : 2,6  
 \*Prof. : ?  
 \*Descri. : -LA gris brun foncé, cailloux / petites pierres silico-calcaires épars.  
 \*n° photo-s : 19, 20  
 \*n° planche-s : 20

\*Hz/Us : 10047 \*TR : 3 \*Fait : FS10047 \*Type : composite (combl. + creus.) \*Ident. : fosse  
 \*Tech. fle : non-fouillé-e  
 \*Z sup. NGF : 159,15 \*Forme : ovalaire \*Profil : ?  
 \*Dim. max. obs. en m : \*Long. : 1,05 \*larg. : 0,8  
 \*Prof. : ?  
 \*Descri. : -LA gris brun foncé, charbons et nodules rubéfiés épars à erratiques, 1 pierre silico-calcaire.  
 \*n° photo-s : 19, 20  
 \*n° planche-s : 20

\*Hz/Us : 10048 \*TR : 3 \*Fait : FS10048 \*Type : composite (combl. + creus.) \*Ident. : fosse  
 \*Tech. fle : non-fouillé-e  
 \*Z sup. NGF : 159,15 \*Forme : décapage partiel (circulaire/ovalaire ?) \*Profil : ?  
 \*Dim. max. obs. en m : \*Diam. : 1,5 ? \*Prof. : ?  
 \*Descri. : -LA gris brun foncé, charbons et nodules rubéfiés épars à erratiques, pierres silico-calcaires éparées.  
 \*n° photo-s : 19, 20  
 \*n° planche-s : 20

\*Hz/Us : 10049 \*TR : 3 \*Fait : FS10049 \*Type : composite (combl. + creus.) \*Ident. : fosse / trou de poteau ?  
 \*Tech. fle : non-fouillé-e  
 \*Z sup. NGF : 159,15 \*Forme : ovalaire \*Profil : ?  
 \*Dim. max. obs. en m : \*Long. : 1,2 \*larg. : 0,9  
 \*Prof. : ?  
 \*Descri. : -LA gris brun foncé, pierre silico-calcaire.  
 \*n° photo-s : 19, 20  
 \*n° planche-s : 20

\*Hz/Us : 10050 \*TR : 3 \*Fait : FS10050 \*Type : composite (combl. + creus.) \*Ident. : fosse  
 \*Tech. fle : non-fouillé-e  
 \*Z sup. NGF : 159,15 \*Forme : décapage partiel (circulaire/ovalaire ?) \*Profil : ?

\*Dim. max. obs. en m : \*Diam. : > 0,9 ? \*Prof. : ?  
 \*Descri. : -LA gris brun foncé, charbons et nodules rubéfiés épars à erratiques.  
 \*n° planche-s : 20

\*Hz/Us : 10051 \*TR : 3 \*Fait : PO10051 \*Type : composite (combl. + creus.) \*Ident. : trou de poteau  
 \*Tech. fle : non-fouillé-e  
 \*Z sup. NGF : 159,1 \*Forme : décapage partiel (circulaire/ovalaire ?) \*Profil : ?  
 \*Dim. max. obs. en m : \*Diam. : 0,65 ? \*Prof. : ?  
 \*Descri. : -LA gris brun foncé, quelques charbons.  
 \*n° photo-s : 19, 20  
 \*n° planche-s : 20

\*Hz/Us : 10052 \*TR : 3 \*Fait : PO10052 \*Type : composite (combl. + creus.) \*Ident. : trou de poteau ?  
 \*Tech. fle : non-fouillé-e  
 \*Z sup. NGF : 159,05 \*Forme : circulaire \*Profil : ?  
 \*Dim. max. obs. en m : \*Diam. : 0,6 \*Prof. : ?  
 \*Descri. : -LA gris clair à gris beige.  
 \*Rel. indét. : 10053  
 \*n° photo-s : 19, 20  
 \*n° planche-s : 20

\*Hz/Us : 10053 \*TR : 3 \*Fait : PO10053 \*Type : composite (combl. + creus.) \*Ident. : trou de poteau ?  
 \*Tech. fle : non-fouillé-e  
 \*Z sup. NGF : 159,05 \*Forme : circulaire \*Profil : ?  
 \*Dim. max. obs. en m : \*Diam. : 0,45 \*Prof. : ?  
 \*Descri. : -LA gris clair à gris beige.  
 \*Rel. indét. : 10052  
 \*n° photo-s : 19, 20  
 \*n° planche-s : 20

\*Hz/Us : 10054 \*TR : 3 \*Type : ramassage mobilier  
 \*Rem. : Eclat de silex taillé (grattoir ?) dans limons des plateaux ou fait non perçu.  
 -A -0,20 m sous labours, soit -0,55 depuis le sol actuel = 158,85 m NGF.  
 -Voir contexte similaire des ramassages 10039 et 10187 en TR02...  
 \*Tech. fle : mécanique  
 \*Z sup. NGF : 158,85  
 \*n° planche-s : 17

\*Hz/Us : 10055 \*TR : 4 \*Fait : EX10055 \*Ens. : TRC10001 \*Type : DOUBLON \*Ident. : tranchée / réseau contemporain-e  
 \*Rem. : Voir 10001  
 \*Tech. fle : test méca.  
 \*Z sup. NGF : 159,55  
 \*Egal. : 10001  
 \*n° photo-s : 21, 22, 199, 200, 201, 202  
 \*n° planche-s : 16

\*Hz/Us : 10056 \*TR : 4 \*Fait : FS10056 \*Type : composite (combl. + creus.) \*Ident. : fosse / trou de poteau ?  
 \*Rem. : Partiellement surdécapé-e dans la tranchée de

diagnostic, sur environ 0,35 m de profondeur.

\*Tech. fle : mécanique \*% fle : 50

\*Z sup. NGF : 159,2 \*Forme : circulaire \*Profil : vertical à évasé à fond lég. arrondi

\*Dim. max. obs. en m : \*Diam. : > 0,6 \*Prof. : 0,7

\*Descri. : -Z. sup. sol actuel (11/2020) : 159,70 m NGF.

-env. 0,00-0,25 m : Labours récents.

-env. 0,25-0,50 m : Remblais récents d'argiles jaunâtres 10001 = 10055.

-env. 0,50-0,85 m : Surdécapage.

-env. 0,85-1,20 m : FS10056, encaissant de LA/AL jaunâtre.

-10056-a : Grosses mottes de LA gris et de LA/AL jaune à beige orangé, rares charbons.

-10056-b : LA gris à gris beige, lég. bariolé verdâtre, rares charbons.

\*Sous : 10001

\*n° photo-s : 22, 200, 201

\*n° planche-s : 16

\*Hz/Us : 10057 \*TR : 4 \*Fait : FT10057 \*Type : composite (combl. + creus.) \*Ident. : creusement indéterminé

\*Rem. : Partiellement surdécapé-e dans la tranchée de diagnostic, sur environ 0,2 m de profondeur.

\*Tech. fle : mécanique \*% fle : 50

\*Z sup. NGF : 159,1 \*Forme : circulaire \*Profil : ?

\*Dim. max. obs. en m : \*Diam. : 0,65 \*Prof. : 0,25 ?

\*Descri. : -LA beige peu visible.

\*Sous : 10001; 10199 ?

\*n° photo-s : 22

\*n° planche-s : 16

\*Hz/Us : 10058 \*TR : 4 \*Fait : PO10058 \*Type : composite (combl. + creus.) \*Ident. : trou de poteau

\*Rem. : Partiellement surdécapé dans la tranchée de diagnostic, sur au moins 0,15 m de profondeur sous l'Hz10199.

-Sous l'horizon 10199 ??

\*Tech. fle : mécanique \*% fle : 65

\*Z sup. NGF : 159,15 ? \*Forme : circulaire \*Profil : cylindrique

\*Dim. max. obs. en m : \*Diam. : 0,5 \*Prof. : 0,3 (sous10199)

\*Descri. : -LA gris foncé, rares charbons.

\*Sous : 10199 ? \*Rel. indét. : 10199

\*n° photo-s : 22, 198, 199

\*n° planche-s : 15

\*Hz/Us : 10059 \*TR : 4 \*Fait : FT10059 \*Type : composite (combl. + creus.) \*Ident. : creusement indéterminé

\*Rem. : Vu sous 10199.

\*Tech. fle : non-fouillé-e

\*Z sup. NGF : 159,10 ? \*Forme : ovale \*Profil : ?

\*Dim. max. obs. en m : \*Long. : 0,7 \*larg. : 0,5

\*Prof. : ?

\*Descri. : -LA beige à gris beige.

\*Rel. indét. : 10060; 10199

\*n° photo-s : 21, 22

\*n° planche-s : 15

\*Hz/Us : 10060 \*TR : 4 \*Fait : FT10060 \*Type : composite (combl. + creus.) \*Ident. : creusement indéterminé

\*Rem. : Vu sous 10199.

\*Tech. fle : non-fouillé-e

\*Z sup. NGF : 159,10 ? \*Forme : ovale \*Profil : ?

\*Dim. max. obs. en m : \*Long. : 0,9 \*larg. : 0,6

\*Prof. : ?

\*Descri. : -LA beige à gris beige.

\*Rel. indét. : 10059; 10199

\*n° photo-s : 21, 22

\*n° planche-s : 15

\*Hz/Us : 10061 \*TR : 4 \*Fait : FS10061 \*Type : composite (combl. + creus.) \*Ident. : fosse ?

\*Rem. : Vu sous 10199.

\*Tech. fle : non-fouillé-e

\*Z sup. NGF : 159,10 ? \*Forme : décapage partiel (circulaire/ovale ?) \*Profil : ?

\*Dim. max. obs. en m : \*Diam. : 0,75 ? \*Prof. : ?

\*Descri. : -LA beige à gris beige.

\*Rel. indét. : 10199

\*n° photo-s : 21, 22

\*n° planche-s : 15

\*Hz/Us : 10062 \*TR : 4 \*Fait : PO10062 \*Type : composite (combl. + creus.) \*Ident. : trou de poteau

\*Rem. : Vu sous l'horizon 10199.

\*Tech. fle : mécanique \*% fle : 50

\*Z sup. NGF : 159,1 \*Forme : circulaire \*Profil : évasé fond plat

\*Dim. max. obs. en m : \*Diam. : 0,6 \*Prof. : 0,25

\*Descri. :

-10062-a : Négatif cylindrique (Diam. : 0,25). LA gris clair à gris noirâtre, charbons et frags. rubéfiés épars à erratiques.

-10062-b : Avant-trou, LA beige à beige gris.

\*Sous : 10199 ?

\*n° photo-s : 21, 22, 203, 204

\*n° planche-s : 15

\*Hz/Us : 10063 \*TR : 5 \*Fait : EX10063 \*Ens. : TRC10001 \*Type : DOUBLON \*Ident. : tranchée / réseau contemporain-e

\*Rem. : Voir 10001

\*Tech. fle : test méca.

\*Z sup. NGF : 159,3

\*Egal. : 10001

\*n° photo-s : 23, 24, 123, 207

\*n° planche-s : 14

\*Hz/Us : 10064 \*TR : 5 \*Fait : PO10064 \*Type : composite (combl. + creus.) \*Ident. : trou de poteau

\*Rem. : Sous les remblais récents 10063 = 10001.

\*Tech. fle : mécanique \*% fle : 50

\*Z sup. NGF : 159,05 \*Forme : circulaire \*Profil : cylindrique

\*Dim. max. obs. en m : \*Diam. : 0,55 \*Prof. : 0,25  
 \*Descri. :  
 -10064-a ? : Négatif cylindrique (Diam. : 0,3 ?) ? LA gris à gris noirâtre, petits charbons épars.  
 \*Sous : 10001  
 -10064-b : Avant-trou ? LA gris beige à gris sombre, petits charbons épars.  
 \*n° photo-s : 23, 24, 123, 205, 206  
 \*n° planche-s : 14

\*Hz/Us : 10065 \*TR : 6 \*Fait : FO10065 \*Type : composite (combl. + creus.) \*Ident. : fossé  
 \*Rem. : Vu sous 10157.  
 -Relation non perçue avec la fosse 10066...  
 \*Tech. fle : mécanique \*% fle : ?  
 \*Z sup. NGF : 158,9 \*Forme : linéaire \*Profil : évasé fond plat/arrondi  
 \*Dim. max. obs. en m : \*Long. : > 3,6 \*larg. : 0,9 ?  
 \*Prof. : 0,4  
 \*Descri. : \*-SD10177, coupe OSO : Z sup. sol actuel (11/2020), env. 159,35 m NGF.  
 -env. 0,00-0,35 m : Labours.  
 -env. 0,35-0,55 m, Hz/Us 10157 : LA gris brun à gris, petits graviers épars à erratiques, rares tessons de faïence...  
 -env. 0,55-0,85 m, FO10065 :  
 -10065-a : LA gris à gris brun, lég. bariolé.  
 -10065-b : LA brun gris à brun orangé bariolé.  
 -10065-c : LA gris blanchi, lég. bariolé.  
 \*-Encaissants :  
 -env. 0,50/0,55-0,70 m, Ia : LA brun gris orangé à brun orangé.  
 -env. 0,70-1,05 m, Ib : LA/AL brun orangé à jaune orangé.  
 -env. 1,05-1,45 m, Ic : LA(S) jaune pâle, nodules calcaires blancs épars à erratiques.  
 -env. > 1,45 m : II : ALS jaune orangé, sable grossier et cailloutis anguleux épars, petites pierres silico-calcaires erratiques.  
 -env. 1,75 m : Fond du sondage.  
 \*Sous : 10157 ? \*Rel. indét. : 10066  
 \*n° photo-s : 153, 154, 155  
 \*n° planche-s : 33, 34

\*Hz/Us : 10066 \*TR : 6 \*Fait : FS10066 \*Type : composite (combl. + creus.) \*Ident. : fosse  
 \*Rem. : Vu sous 10157.  
 -Relation non perçue avec le fossé 10065...  
 \*Tech. fle : mécanique \*% fle : 50 ?  
 \*Z sup. NGF : 158,9 \*Forme : décapage partiel (circulaire/ovale ?) \*Profil : vertical à lég. évasé, fond arrondi  
 \*Dim. max. obs. en m : \*Diam. : 1,15 ? \*Prof. : 1,2  
 \*Descri. : \*-SD10177, coupe Est : Z sup. sol actuel (11/2020), env. 159,35 m NGF.  
 -env. 0,00-0,35 m : Labours.  
 -env. 0,35-0,50/0,55 m, Hz/Us 10157 : LA gris brun à gris, petits graviers épars à erratiques, rares tessons de faïence...  
 ; ; ; \*-env. 0,50/0,55-1,70 m, FS10066 :

-10066-a : Horizon de LA gris beige à gris / gris brun, lég. bariolé. Moitié supérieure de vase posé à l'envers (Z sup. : 158,70 m NGF).  
 -10066-b : Horizon de LA gris clair à blanchi (partie Nord), bariolage rouille assez marqué.  
 -10066-c : Horizon de LA gris clair, lég. bariolé, lég. plus foncé et bariolé vers le fond.  
 -10066-d : Liseré / concrétions indurés-es brunâtre-s (1 à 2 cm d'épaisseur) sur les parois et, dans une moindre mesure, le fond de la fosse.  
 \*-Encaissants :  
 -env. 0,50/0,55-0,70 m, Ia : LA brun gris orangé à brun orangé, petites glosses grisâtres plus ou moins marquées.  
 -env. 0,70-1,05 m, Ib : LA/AL brun orangé à jaune orangé.  
 -env. 1,05-1,45 m, Ic : LA(S) jaune pâle, nodules calcaires blancs épars à erratiques.  
 -env. > 1,45 m : II : ALS jaune foncé à jaune orangé, sable grossier et cailloutis anguleux épars, petites pierres silico-calcaires erratiques.  
 -env. 1,70 m : Fond du sondage.  
 \*Sous : 10157 ?  
 \*n° photo-s : 157, 158, 159, 160, 161, 162, 163, 164, 165, 166, 167, 168  
 \*n° planche-s : 33, 34

\*Hz/Us : 10067 \*TR : 6 \*Fait : PO10067 \*Type : composite (combl. + creus.) \*Ident. : trou de poteau  
 \*Tech. fle : non-fouillé-e  
 \*Z sup. NGF : 158,9 \*Forme : décapage partiel (circulaire/ovale ?) \*Profil : ?  
 \*Dim. max. obs. en m : \*Diam. : 0,85 ? \*Prof. : ?  
 \*Descri. : -LA gris foncé.  
 \*n° planche-s : 27

\*Hz/Us : 10068 \*TR : 6 \*Fait : PO10068 \*Type : composite (combl. + creus.) \*Ident. : trou de poteau ?  
 \*Tech. fle : non-fouillé-e  
 \*Z sup. NGF : 158,9 \*Forme : circulaire \*Profil : ?  
 \*Dim. max. obs. en m : \*Diam. : 0,85 \*Prof. : ?  
 \*Descri. : -LA gris beige.  
 \*n° planche-s : 27

\*Hz/Us : 10069 \*TR : 6 \*Fait : SP10069 \*Type : composite (combl. + creus.) \*Ident. : sépulture  
 \*Rem. : TR06-A et C.  
 -Crâne au SO, en partie tronqué par la pelle mécanique (alti. sup. : 158,70).  
 -Voir étude par Paulette Lawrence dans III. : Annexes.  
 \*Tech. fle : manuelle \*% fle : 100  
 \*Z sup. NGF : 158,9 \*Forme : oblongue \*Profil : évasé/vertical à fond lég. arrondi  
 \*Dim. max. obs. en m : \*Long. : 1,9 \*larg. : 0,6  
 \*Prof. : 0,3  
 \*Descri. : -Comblement de LA brun beige à grisâtre, quelques petites pierres.  
 \*Sur : 10071  
 \*n° photo-s : 7, 8, 32, 33, 34, 35, 36, 37, 38, 39, 40, 41, 42, 43, 44, 45, 46, 47, 48, 49, 50, 51, 52, 53, 54,

55, 56, 57, 58, 59, 60, 81, 82

\*n° planche-s : 25, 27

\*Hz/Us : 10070 \*TR : 6 \*Fait : FS10070 \*Type : composite (combl. + creus.) \*Ident. : fosse  
 \*Rem. : Moitié Ouest fouillée. Pas de squelette.  
 \*Tech. fle : manuelle \*% fle : 50  
 \*Z sup. NGF : 158,95 \*Forme : ovale \*Profil : cuvette  
 \*Dim. max. obs. en m : \*Long. : 2 \*larg. : 0,7 \*Prof. : 0,25  
 \*Descri. : -LA gris beige, rares cailloux.  
 \*n° photo-s : 7, 8, 36  
 \*n° planche-s : 25, 27

\*Hz/Us : 10071 \*TR : 6 \*Fait : FO10071 \*Type : composite (combl. + creus.) \*Ident. : fossé  
 \*Rem. : Fenêtres : TR06-B et 06-C.  
 -Partiellement redécapé dans la tranchée de diagnostic. Surdécapé sur env. 0,25 m à 0,3 m de prof. sous labours  
 \*Tech. fle : non-fouillé-e  
 \*Z sup. NGF : 158,9 \*Forme : linéaire \*Profil : ?  
 \*Dim. max. obs. en m : \*Long. : > 14,7 \*larg. : 1,15  
 \*Prof. : > 0,3  
 \*Descri. : -LA beige gris.  
 \*Sous : 10069; 10212 ? \*Sur : 10211 ? \*Rel. indét. : 10012; 10104  
 \*n° photo-s : 7, 8, 34, 35, 36  
 \*n° planche-s : 25, 27

\*Hz/Us : 10072 \*TR : 6 \*Fait : FS10072 \*Type : composite (combl. + creus.) \*Ident. : fosse  
 \*Tech. fle : non-fouillé-e  
 \*Z sup. NGF : 158,85 \*Forme : ovale \*Profil : ?  
 \*Dim. max. obs. en m : \*Long. : 1,1 \*larg. : 0,95  
 \*Prof. : ?  
 \*Descri. : -LA gris à charbonneux noirâtre.  
 \*n° photo-s : 4  
 \*n° planche-s : 27

\*Hz/Us : 10073 \*TR : 6 \*Fait : FS10073 \*Type : composite (combl. + creus.) \*Ident. : fosse  
 \*Rem. : "Excroissance" de 10074.  
 \*Tech. fle : non-fouillé-e  
 \*Z sup. NGF : 158,8 \*Forme : décapage partiel (circulaire/ovale ?) \*Profil : ?  
 \*Dim. max. obs. en m : \*Diam. : > 1,3 \*Prof. : ?  
 \*Descri. : -LA gris brun.  
 \*Rel. indét. : 10074  
 \*n° photo-s : 4  
 \*n° planche-s : 27

\*Hz/Us : 10074 \*TR : 6 \*Fait : FS10074 \*Type : composite (combl. + creus.) \*Ident. : fosse  
 \*Rem. : Plusieurs faits ?  
 \*Tech. fle : non-fouillé-e  
 \*Z sup. NGF : 158,8 \*Forme : indéterminée, décap. partiel \*Profil : ?  
 \*Dim. max. obs. en m : \*Long. : > 3,05 \*larg. : 2,95 ?  
 \*Prof. : ?

\*Descri. : -LA gris brun, pierres silico-calcaires abondantes à éparses.

\*Rel. indét. : 10073; 10075

\*n° photo-s : 4

\*n° planche-s : 27

\*Hz/Us : 10075 \*TR : 6 \*Fait : FS10075 \*Type : composite (combl. + creus.) \*Ident. : fosse  
 \*Tech. fle : non-fouillé-e  
 \*Z sup. NGF : 158,8 \*Forme : décapage partiel (circulaire/ovale ?) \*Profil : ?  
 \*Dim. max. obs. en m : \*Diam. : 1,8 ? \*Prof. : ?  
 \*Descri. : -LA gris à gris beige blanchi.  
 \*Sur : 10101 ? \*Rel. indét. : 10074; 10076  
 \*n° photo-s : 4  
 \*n° planche-s : 27

\*Hz/Us : 10076 \*TR : 6 \*Fait : FS10076 \*Type : composite (combl. + creus.) \*Ident. : fosse  
 \*Rem. : Excroissance de 10075 ?  
 \*Tech. fle : non-fouillé-e  
 \*Z sup. NGF : 158,8 \*Forme : circulaire \*Profil : ?  
 \*Dim. max. obs. en m : \*Diam. : 0,7 \*Prof. : ?  
 \*Descri. : -LA gris à gris beige blanchi.  
 \*Sur : 10101 ? \*Rel. indét. : 10076  
 \*n° photo-s : 4  
 \*n° planche-s : 27

\*Hz/Us : 10077 \*TR : 6 \*Fait : FS10077 \*Type : composite (combl. + creus.) \*Ident. : fosse  
 \*Tech. fle : non-fouillé-e  
 \*Z sup. NGF : 158,8 \*Forme : indéterminée, décap. partiel \*Profil : ?  
 \*Dim. max. obs. en m : \*Long. : > 0,9 \*Prof. : ?  
 \*Descri. : -LA gris brun sombre, vrac de gros cailloutis / petites pierres silico-calcaires.  
 \*Sur : 10130  
 \*n° photo-s : 4  
 \*n° planche-s : 27

\*Hz/Us : 10078 \*TR : 7 \*Fait : FS10078 \*Type : composite (combl. + creus.) \*Ident. : fosse contemporaine  
 \*Tech. fle : non-fouillé-e  
 \*Z sup. NGF : 158,7 \*Forme : ovale \*Profil : ?  
 \*Dim. max. obs. en m : \*Long. : 2,05 \*larg. : 1,05  
 \*Prof. : ?  
 \*Descri. : -LA gris et terre végétale remaniée.  
 \*n° planche-s : 35

\*Hz/Us : 10079 \*TR : 7 \*Fait : FT10079 \*Type : composite (combl. + creus.) \*Ident. : creusement indéterminé  
 \*Rem. : Sous une ornière.  
 \*Tech. fle : non-fouillé-e  
 \*Z sup. NGF : 158,75 \*Forme : oblongue \*Profil : ?  
 \*Dim. max. obs. en m : \*Long. : > 2 \*larg. : 0,55  
 \*Prof. : ?  
 \*Descri. : -LA gris beige..  
 \*n° planche-s : 35

\*Hz/Us : 10080 \*TR : 7 \*Fait : PO10080 \*Type : composite (combl. + creus.) \*Ident. : trou de poteau  
 \*Tech. fle : non-fouillé-e  
 \*Z sup. NGF : 158,75 \*Forme : décapage partiel (circulaire/ovale ?) \*Profil : ?  
 \*Dim. max. obs. en m : \*Diam. : 0,6 \*Prof. : ?  
 \*Descri. : -LA gris foncé, 1 pierre silico-calcaire.  
 \*n° photo-s : 1  
 \*n° planche-s : 35

\*Hz/Us : 10081 \*TR : 7 \*Fait : PO10081 \*Type : composite (combl. + creus.) \*Ident. : trou de poteau  
 \*Tech. fle : non-fouillé-e  
 \*Z sup. NGF : 158,75 \*Forme : circulaire \*Profil : ?  
 \*Dim. max. obs. en m : \*Diam. : 0,95 \*Prof. : ?  
 \*Descri. : -LA gris foncé, charbons et nodules rubéfiés épars à erratiques.  
 \*n° photo-s : 1  
 \*n° planche-s : 35

\*Hz/Us : 10082 \*TR : 7 \*Type : n° décapage  
 \*Rem. :  
 10082 = 10216 + 10217 + 10218.  
 \*n° photo-s : 221, 224, 225, 226

\*Hz/Us : 10083 \*TR : 7 \*Fait : PO10083 \*Type : composite (combl. + creus.) \*Ident. : trou de poteau ?  
 \*Tech. fle : non-fouillé-e  
 \*Z sup. NGF : 158,7 \*Forme : subcirculaire \*Profil : ?  
 \*Dim. max. obs. en m : \*Diam. : 0,75 \*Prof. : ?  
 \*Descri. : -LA gris à gris beige  
 \*Sur : 10115  
 \*n° photo-s : 221, 224, 225, 226  
 \*n° planche-s : 35

\*Hz/Us : 10084 \*TR : 07, 08 \*Fait : FS10084 \*Type : composite (combl. + creus.) \*Ident. : fosse  
 \*Rem. : Fosse de travail des fours 10085 et 10218 ??  
 \*Tech. fle : non-fouillé-e  
 \*Z sup. NGF : 158,65 \*Forme : ovale \*Profil : ?  
 \*Dim. max. obs. en m : \*Long. : > 3,05 \*larg. : 2,2 \*Prof. : ?  
 \*Descri. : -Plages de LA charbonneux noirâtre et gris à gris beige, de cailloux / petites pierres silico-calcaires ; petites mottes jaune beige éparses.  
 \*Sur : 10213; 10214; 10215; 10228; 10229 \*Synch : 10085 ?; 10218 ?  
 \*n° photo-s : 1, 2, 3, 211, 212, 213, 214, 215, 216, 224, 225, 226  
 \*n° planche-s : 35, 35

\*Hz/Us : 10085 \*TR : 07, 08 \*Fait : FR10085 \*Type : composite (combl. + creus.) \*Ident. : four  
 \*Tech. fle : non-fouillé-e  
 \*Z sup. NGF : 158,65 \*Forme : subcirculaire \*Profil : ?  
 \*Dim. max. obs. en m : \*Diam. : 1,25 \*Prof. : ?  
 \*Descri. :  
 -10085-a : Comblement interne, en partie semblable à

10084. Frags. rubéfiés épars sur le pourtour.  
 -10085-b : Couronne de paroi de four, limon rubéfié induré.  
 \*Synch : 10084 ? \*Rel. indét. : 10129  
 \*n° photo-s : 2, 3, 211, 212, 213, 214, 215, 216, 224, 225, 226  
 \*n° planche-s : 35, 35

\*Hz/Us : 10086 \*TR : 7 \*Fait : FS10086 \*Type : composite (combl. + creus.) \*Ident. : fosse  
 \*Tech. fle : non-fouillé-e  
 \*Z sup. NGF : 158,65 \*Forme : circulaire \*Profil : ?  
 \*Dim. max. obs. en m : \*Diam. : 1,6 \*Prof. : ?  
 \*Descri. : -LA gris à gris brun, pierres silico-calcaires erratiques.  
 \*Rel. indét. : 10129  
 \*n° photo-s : 1, 211, 212  
 \*n° planche-s : 35

\*Hz/Us : 10087 \*TR : 7 \*Fait : FS10087 \*Type : composite (combl. + creus.) \*Ident. : fosse  
 \*Tech. fle : non-fouillé-e  
 \*Z sup. NGF : 158,65 \*Forme : subcirculaire \*Profil : ?  
 \*Dim. max. obs. en m : \*Diam. : 1,25 \*Prof. : ?  
 \*Descri. : -LA gris à gris brun, pierres silico-calcaires éparses.  
 \*Sous : 10089 ? \*Rel. indét. : 10088  
 \*n° photo-s : 1, 211, 212  
 \*n° planche-s : 35

\*Hz/Us : 10088 \*TR : 7 \*Fait : FS10088 \*Type : composite (combl. + creus.) \*Ident. : fosse  
 \*Tech. fle : non-fouillé-e  
 \*Z sup. NGF : 158,65 \*Forme : subcirculaire \*Profil : ?  
 \*Dim. max. obs. en m : \*Diam. : 1,4 \*Prof. : ?  
 \*Descri. : -LA gris à gris brun, pierres silico-calcaires éparses à abondantes, charbons épars à erratiques.  
 \*Sous : 10089; 10090 \*Rel. indét. : 10087  
 \*n° photo-s : 1, 211, 212  
 \*n° planche-s : 35

\*Hz/Us : 10089 \*TR : 7 \*Fait : FS10089 \*Type : composite (combl. + creus.) \*Ident. : fosse  
 \*Tech. fle : non-fouillé-e  
 \*Z sup. NGF : 158,65 \*Forme : décapage partiel (circulaire/ovale ?) \*Profil : ?  
 \*Dim. max. obs. en m : \*Diam. : 1,5 ? \*Prof. : ?  
 \*Descri. : -LA gris à noirâtre charbonneux, pierres silico-calcaires éparses à erratiques, charbons épars.  
 \*Sur : 10087 ?; 10088;  
 \*n° photo-s : 1, 211, 212  
 \*n° planche-s : 35

\*Hz/Us : 10090 \*TR : 7 \*Fait : FS10090 \*Type : composite (combl. + creus.) \*Ident. : fosse  
 \*Tech. fle : non-fouillé-e  
 \*Z sup. NGF : 158,7 \*Forme : ovale \*Profil : ?  
 \*Dim. max. obs. en m : \*Long. : 1,85 \*larg. : 1,6

\*Prof. : ?

\*Descri. : -LA gris noirâtre charbonneux, cailloux / pierres silico-calcaires éparses à erratiques, charbons épars.

\*Sur : 10088

\*n° photo-s : 1, 211, 224, 225

\*n° planche-s : 35

\*Hz/Us : 10091 \*TR : 7 \*Fait : PO10091 \*Type : composite (combl. + creus.) \*Ident. : trou de poteau

\*Tech. fle : non-fouillé-e

\*Z sup. NGF : 158,7 \*Forme : circulaire \*Profil : ?

\*Dim. max. obs. en m : \*Diam. : 0,7 \*Prof. : ?

\*Descri. : -LA gris à gris beige, charbons et nodules rubéfiés épars à erratiques.

\*Rel. indét. : 10090

\*n° photo-s : 1

\*n° planche-s : 35

\*Hz/Us : 10092 \*TR : 7 \*Fait : OR10092 \*Type : composite (combl. + creus.) \*Ident. : ornière

\*Tech. fle : non-fouillé-e

\*Z sup. NGF : 158,7 \*Forme : linéaire \*Profil : ?

\*Dim. max. obs. en m : \*Long. : > 4,85 \*larg. : 0,45

\*Prof. : ?

\*Descri. : -LA brun.

\*n° photo-s : 225

\*n° planche-s : 35

\*Hz/Us : 10093 \*TR : 8 \*Fait : FO10093 \*Type : composite (combl. + creus.) \*Ident. : fossé

\*Rem. : Moitié Sud surdécapée dans la tranchée de diagnostic sur env. 0,3 m de prof. sous labours. -Parallèle à 10094.

\*Tech. fle : non-fouillé-e \*% fle : ?

\*Z sup. NGF : 158,65 \*Forme : linéaire \*Profil : ?

\*Dim. max. obs. en m : \*Long. : > 6 \*larg. : 0,8

\*Prof. : > 0,3

\*Descri. : -LA gris brun à brun gris.

\*Rel. indét. : 10094; 10093

\*n° photo-s : 2, 3

\*n° planche-s : 35

\*Hz/Us : 10094 \*TR : 8 \*Fait : FO10094 \*Type : composite (combl. + creus.) \*Ident. : fossé

\*Rem. : Surdécapé dans la tranchée de diagnostic sur env. 0,3 m de prof. sous labours.

\*Tech. fle : non-fouillé-e \*% fle : ?

\*Z sup. NGF : 158,65 \*Forme : linéaire \*Profil : ?

\*Dim. max. obs. en m : \*Long. : > 6,3 \*larg. : 2,3

\*Prof. : > 0,3

\*Descri. : -LA gris à brun gris, petites pierres silico-calcaires erratiques.

\*Rel. indét. : 10093; 10095

\*n° photo-s : 2, 3, 235, 236

\*n° planche-s : 35, 36

\*Hz/Us : 10095 \*TR : 8 \*Fait : EX10095 \*Type : composite (combl. + creus.) \*Ident. : excavation

\*Rem. : Bord NO surdécapé dans la tranchée de

diagnostic sur env. 0,3 m de prof. sous labours.

\*Tech. fle : netto. manu. \*% fle : ?

\*Z sup. NGF : 158,65 \*Forme : indéterminée, décap. partiel \*Profil : ? / bord NO très évasé

\*Dim. max. obs. en m : \*Long. : 8 ? \*larg. : > 4,1

\*Prof. : > 0,3

\*Descri. : Vrac hétérogène pierres silico-calcaires brutes (L < 0,8) et LA gris à gris beige, éléments de faune épars.

\*Rel. indét. : 10094

\*n° photo-s : 2, 3, 222, 223, 227, 228, 229, 230, 231, 232, 233, 234, 235, 236, 251

\*n° planche-s : 35, 36

\*Hz/Us : 10096 \*TR : 6 \*Fait : FS10096 \*Type : composite (combl. + creus.) \*Ident. : fosse contemporaine

\*Tech. fle : non-fouillé-e

\*Z sup. NGF : 158,85 \*Forme : ovale \*Profil : ?

\*Dim. max. obs. en m : \*Long. : 1,1 \*larg. : 0,6

\*Prof. : ?

\*Descri. : -LA brun gris, petits fragments erratiques d'ardoise.

\*n° planche-s : 25, 27

\*Hz/Us : 10097 \*TR : 1 \*Fait : PO10097 \*Type : composite (combl. + creus.) \*Ident. : trou de poteau

\*Tech. fle : mécanique \*% fle : 50

\*Z sup. NGF : 159 \*Forme : circulaire \*Profil : vertical à évasé à fond plat

\*Dim. max. obs. en m : \*Diam. : 0,55 \*Prof. : 0,4

\*Descri. :

-10097-a : Négatif cylindrique (Diam. : 0,25). LA gris brun à sombre, charbons épars à erratiques.

-10097-b : Avant-trou. LA brun gris.

\*n° photo-s : 11, 12, 129, 130

\*n° planche-s : 23, 25

\*Hz/Us : 10098 \*TR : 1 \*Fait : FO10098 \*Type : composite (combl. + creus.) \*Ident. : fossé

\*Rem. : Fen. 01-A

\*Tech. fle : non-fouillé-e

\*Z sup. NGF : 159 \*Forme : linéaire \*Profil : ?

\*Dim. max. obs. en m : \*Long. : > 4,25 \*larg. : 0,8

\*Prof. : ?

\*Descri. : -LA gris brun, rares petites pierres silico-calcaires.

\*Synch : 10038 ? \*Egal. : 10105 ?

\*n° photo-s : 11, 12

\*n° planche-s : 23, 25

\*Hz/Us : 10099 \*TR : 1 \*Fait : SP10099 \*Type : composite (combl. + creus.) \*Ident. : sépulture

\*Rem. : Fen. 01-A.

-Crâne à l'OSO (alti. sup. : 158,90).

-Pieds tronqués par pelle mécanique en partie Est.

-Voir étude par Paulette Lawrence dans III. : Annexes.

\*Tech. fle : manuelle \*% fle : 100

\*Z sup. NGF : 159 \*Forme : oblongue /

subrectangulaire \*Profil : évasé fond plat à arrondi

\*Dim. max. obs. en m : \*Long. : > 1,7 \*larg. : 0,35  
 \*Prof. : 0,25  
 \*Descri. : -Comblement de LA brun beige à orangé grisâtre.  
 \*Sur : 10104 ?  
 \*n° photo-s : 11, 12, 13, 14, 70, 71, 72, 73, 74, 75, 76, 77, 78, 79, 80, 83, 84, 85, 86  
 \*n° planche-s : 23, 25, 26

\*Hz/Us : 10100 \*TR : 1 \*Fait : SP10100 \*Type : composite (combl. + creus.) \*Ident. : sépulture  
 \*Rem. : Fen. 01-A.  
 -Crâne à l'O / OSO, en partie tronqué par la pelle mécanique (alti. sup. : 158,90).  
 -Voir étude par Paulette Lawrence dans III. : Annexes.  
 \*Tech. fle : manuelle \*% fle : 100  
 \*Z sup. NGF : 159 \*Forme : oblongue \*Profil : évasé à fond lég. arrondi  
 \*Dim. max. obs. en m : \*Long. : 1,8 \*larg. : 0,65  
 \*Prof. : 0,2  
 \*Descri. : -Comblement de LA brun beige à orangé grisâtre.  
 \*Sur : 10012  
 \*n° photo-s : 11, 12, 13, 14, 61, 62, 63, 64, 65, 66, 67, 68, 69, 85, 86  
 \*n° planche-s : 23, 25, 26

\*Hz/Us : 10101 \*TR : 6 \*Fait : FT10101 \*Type : composite (combl. + creus.) \*Ident. : creusement indéterminé  
 \*Rem. : Fossé ? Ornière ?  
 \*Tech. fle : non-fouillé-e  
 \*Z sup. NGF : 158,8 \*Forme : linéaire \*Profil : ?  
 \*Dim. max. obs. en m : \*Long. : > 3 \*larg. : 0,75  
 \*Prof. : ?  
 \*Descri. : -LA gris brun.  
 \*Sous : 10075 ?  
 \*n° photo-s : 4  
 \*n° planche-s : 27

\*Hz/Us : 10102 \*TR : 6 \*Fait : FT10102 \*Type : composite (combl. + creus.) \*Ident. : creusement indéterminé  
 \*Rem. : Fossé ?  
 \*Tech. fle : non-fouillé-e  
 \*Z sup. NGF : 158,9 \*Forme : oblongue \*Profil : ?  
 \*Dim. max. obs. en m : \*Long. : > 3,3 \*larg. : 1,25  
 \*Prof. : ?  
 \*Descri. : -LA brun gris, gros cailloutis erratique.  
 \*n° planche-s : 25, 27

\*Hz/Us : 10103 \*TR : 1 \*Fait : PO10103 \*Type : composite (combl. + creus.) \*Ident. : trou de poteau ?  
 \*Tech. fle : non-fouillé-e  
 \*Z sup. NGF : 158,95 \*Forme : circulaire, tronquée  
 \*Profil : ?  
 \*Dim. max. obs. en m : \*Diam. : 0,6 ? \*Prof. : ?  
 \*Descri. : -LA gris clair à brun jaune, rare cailloutis.  
 \*Sous : 10020  
 \*n° photo-s : 148

\*n° planche-s : 23, 25

\*Hz/Us : 10104 \*TR : 1 \*Fait : FO10104 \*Type : composite (combl. + creus.) \*Ident. : fossé  
 \*Rem. : Surdécapé dans la Fen 01-A.  
 \*Tech. fle : sondé méca. \*% fle : ?  
 \*Z sup. NGF : 159 \*Forme : linéaire \*Profil : évasé fond plat  
 \*Dim. max. obs. en m : \*Long. : > 9,7 \*larg. : 1  
 \*Prof. : 0,6  
 \*Descri. :  
 -10104-1 : LA brun gris, rares cailloutis / petites pierres silico-calcaires et nodules de charbon / rubéfiés.  
 -10104-2 : LA beige gris, léger bariolage rouille à "lie de vin".  
 \*Sous : 10012; 10013 \*Synch : 10011 ?; 10210 ?  
 \*n° photo-s : 11, 12, 13, 14, 84, 85, 86, 127, 128  
 \*n° planche-s : 23, 24, 25

\*Hz/Us : 10105 \*TR : 1 \*Fait : FO10105 \*Type : composite (combl. + creus.) \*Ident. : fossé  
 \*Tech. fle : non-fouillé-e  
 \*Z sup. NGF : 159 \*Forme : linéaire \*Profil : ?  
 \*Dim. max. obs. en m : \*Long. : > 2 \*larg. : 0,95  
 \*Prof. : ?  
 \*Descri. : -LA brun gris.  
 \*Egal. : 10098 ? \*Rel. indét. : 10015; 10017  
 \*n° photo-s : 147, 148  
 \*n° planche-s : 23, 25

\*Hz/Us : 10106 \*TR : 1 \*Fait : SP10106 \*Type : composite (combl. + creus.) \*Ident. : sépulture  
 \*Rem. : Partiellement surdécapée et nettoyée.  
 -Crâne à l'Ouest (alti. sup. : 158,60), au moins 4 pierres silico-calcaire en "coffrage".  
 \*Tech. fle : non-fouillé-e  
 \*Z sup. NGF : 159 \*Forme : oblongue \*Profil : ?  
 \*Dim. max. obs. en m : \*Long. : 1,95 \*larg. : 0,85  
 \*Prof. : ?  
 \*Descri. : -Comblement sup. de LA beige gris.  
 \*Rel. indét. : 10012  
 \*n° photo-s : 208, 209, 210  
 \*n° planche-s : 23, 25, 26

\*Hz/Us : 10107 \*TR : 1 \*Fait : FO10107 \*Type : composite (combl. + creus.) \*Ident. : fossé  
 \*Tech. fle : sondé méca. \*% fle : ?  
 \*Z sup. NGF : 159,2 \*Forme : linéaire \*Profil : évasé fond arrondi  
 \*Dim. max. obs. en m : \*Long. : > 4,2 \*larg. : 1,25  
 \*Prof. : 0,55  
 \*Descri. : LA gris à brun gris.  
 \*Sous : 10006; 10157  
 \*n° photo-s : 15, 16, 140, 141  
 \*n° planche-s : 31

\*Hz/Us : 10108 \*TR : 1 \*Fait : PO10108 \*Type : composite (combl. + creus.) \*Ident. : trou de poteau ?  
 \*Rem. : En partie surdécapé dans la tranchée de diagnostic.

-Tronqué par la TRC10001.

\*Tech. fle : non-fouillé-e

\*Z sup. NGF : 159,2 \*Forme : circulaire ? \*Profil : ?

\*Dim. max. obs. en m : \*Diam. : 0,55 \*Prof. : ?

\*Descri. : -LA gris, ares charbons.

\*Sous : 10157

\*n° planche-s : 31

\*Hz/Us : 10109 \*TR : 3 \*Fait : FO10109 \*Type : composite (combl. + creus.) \*Ident. : fossé

\*Tech. fle : sondé méca. \*% fle : ?

\*Z sup. NGF : 158,95 \*Forme : linéaire \*Profil : évasé fond arrondi

\*Dim. max. obs. en m : \*Long. : > 5,5 \*larg. : 1,6

\*Prof. : 0,6

\*Descri. : -LA beige à beige gris.

\*n° photo-s : 196, 197

\*n° planche-s : 17

\*Hz/Us : 10110 \*TR : 3 \*Fait : CH10110 \*Type : composite (combl. + creus.) \*Ident. : chablis

\*Tech. fle : non-fouillé-e

\*Z sup. NGF : 159 \*Forme : décapage partiel (circulaire/ovale ?) \*Profil : ?

\*Dim. max. obs. en m : \*Diam. : 3,8 ? \*Prof. : ?

\*Descri. : Couronne grisâtre et au centre, encaissant (LP) remanié.

\*n° planche-s : 17

\*Hz/Us : 10111 \*TR : 3 \*Fait : PO10111 \*Type : composite (combl. + creus.) \*Ident. : trou de poteau

\*Tech. fle : non-fouillé-e

\*Z sup. NGF : 159,15 \*Forme : circulaire \*Profil : ?

\*Dim. max. obs. en m : \*Diam. : 0,6 \*Prof. : ?

\*Descri. : -LA gris brun, rares nodules rubéfiés.

\*n° photo-s : 19, 20

\*n° planche-s : 20

\*Hz/Us : 10112 \*TR : 3 \*Fait : PO10112 \*Type : composite (combl. + creus.) \*Ident. : trou de poteau

\*Rem. : Partiellement surdécapé en tranchée de diagnostic.

\*Tech. fle : non-fouillé-e

\*Z sup. NGF : 159,15 \*Forme : circulaire \*Profil : ?

\*Dim. max. obs. en m : \*Diam. : 0,4 \*Prof. : > 0,2

\*Descri. : -LA gris brun, 1 pierre silico-calcaire.

\*Rel. indét. : 10046

\*n° planche-s : 20

\*Hz/Us : 10113 \*TR : 3 \*Fait : FT10113 \*Type : composite (combl. + creus.) \*Ident. : creusement indéterminé

\*Rem. : Partiellement surdécapé en tranchée de diagnostic.

\*Tech. fle : non-fouillé-e

\*Z sup. NGF : 159,25 \*Forme : oblongue \*Profil : ?

\*Dim. max. obs. en m : \*Long. : > 2,6 \*larg. : 1,05

\*Prof. : > 0,3

\*Descri. : LA blanchi bariolé.

\*Rel. indét. : 10045

\*n° planche-s : 20

\*Hz/Us : 10114 \*TR : 3 \*Fait : PO10114 \*Type : composite (combl. + creus.) \*Ident. : trou de poteau

\*Tech. fle : non-fouillé-e

\*Z sup. NGF : 159,15 \*Forme : décapage partiel (circulaire/ovale ?) \*Profil : ?

\*Dim. max. obs. en m : \*Diam. : 0,45 \*Prof. : ?

\*Descri. : -LA gris brun.

\*n° planche-s : 20

\*Hz/Us : 10115 \*TR : 7 \*Fait : FT10115 \*Type : composite (combl. + creus.) \*Ident. : creusement indéterminé

\*Tech. fle : non-fouillé-e

\*Z sup. NGF : 158,7 \*Forme : décapage partiel (circulaire/ovale ?) \*Profil : ?

\*Dim. max. obs. en m : \*Diam. : 2,65 ? \*Prof. : ?

\*Descri. : -LA brun gris, rares charbons et nodules rubéfiés.

\*Sous : 10083

\*n° photo-s : 224, 225, 226

\*n° planche-s : 35

\*Hz/Us : 10116 \*TR : 7 \*Fait : PO10116 \*Type : composite (combl. + creus.) \*Ident. : trou de poteau ?

\*Tech. fle : non-fouillé-e

\*Z sup. NGF : 158,7 \*Forme : circulaire \*Profil : ?

\*Dim. max. obs. en m : \*Diam. : 0,5 \*Prof. : ?

\*Descri. : -LA gris brun, petites mottes orangées.

\*n° photo-s : 224, 225, 226

\*n° planche-s : 35

\*Hz/Us : 10117 \*TR : 1 \*Fait : FO10117 \*Type : composite (combl. + creus.) \*Ident. : fossé

\*Rem. : Partiellement surdécapé dans la tranchée de diagnostic.

\*Tech. fle : sondé méca. \*% fle : ?

\*Z sup. NGF : 159,1 \*Forme : linéaire \*Profil : évasé fond arrondi

\*Dim. max. obs. en m : \*Long. : > 5 \*larg. : 1,3

\*Prof. : 0,45

\*Descri. :

-10117-a : LA brun beige, cailloutis / petites pierres silico-calcaires épars à erratiques.

-10117-b : LA beige à brun orangé, glosses gris clair, lég. bariolé.

\*Sous : 10157 \*Egal. : 10142 ?

\*n° photo-s : 136, 137

\*n° planche-s : 30

\*Hz/Us : 10118 \*TR : 1 \*Fait : FO10118 \*Type : composite (combl. + creus.) \*Ident. : fossé

\*Tech. fle : non-fouillé-e

\*Z sup. NGF : 159,2 \*Forme : linéaire \*Profil : ?

\*Dim. max. obs. en m : \*Long. : > 11,2 \*larg. : 1

\*Prof. : ?

\*Descri. : -LA brun beige, cailloutis / petites pierres silico-calcaires épars à erratiques.

\*n° planche-s : 30

\*Hz/Us : 10119 \*TR : 1 \*Fait : PO10119 \*Type : composite (combl. + creus.) \*Ident. : trou de poteau ?  
 \*Tech. fle : non-fouillé-e  
 \*Z sup. NGF : 158,95 \*Forme : ovalaire \*Profil : ?  
 \*Dim. max. obs. en m : \*Long. : 0,85 \*larg. : 0,65  
 \*Prof. : ?  
 \*Descri. : -LA gris brun, rares petits frags. rubéfiés.  
 \*n° photo-s : 147, 148  
 \*n° planche-s : 23, 25

\*Hz/Us : 10120 \*TR : 1 \*Fait : PO10120 \*Type : composite (combl. + creus.) \*Ident. : trou de poteau ?  
 \*Tech. fle : non-fouillé-e  
 \*Z sup. NGF : 158,9 \*Forme : circulaire \*Profil : ?  
 \*Dim. max. obs. en m : \*Diam. : 0,25 \*Prof. : ?  
 \*Descri. : -LA brun gris, cailloutis erratique.  
 \*n° photo-s : 147, 148  
 \*n° planche-s : 23, 25

\*Hz/Us : 10121 \*TR : 1 \*Fait : PO10121 \*Type : composite (combl. + creus.) \*Ident. : trou de poteau ?  
 \*Tech. fle : non-fouillé-e  
 \*Z sup. NGF : 158,85 \*Forme : circulaire \*Profil : ?  
 \*Dim. max. obs. en m : \*Diam. : 0,45 \*Prof. : ?  
 \*Descri. : -LA brun gris, cailloutis erratique.  
 \*n° planche-s : 19

\*Hz/Us : 10122 \*TR : 2 \*Type : anomalie / non-retenu  
 \*Ident. : néant/annulé  
 \*Tech. fle : mécanique  
 \*Descri. : -LA brun beige à grisâtre.

\*Hz/Us : 10123 \*TR : 2 \*Fait : FO10123 \*Type : composite (combl. + creus.) \*Ident. : fossé  
 \*Rem. : Traversé par un drain.  
 \*Tech. fle : mécanique \*% fle : ?  
 \*Z sup. NGF : 159,25 \*Forme : linéaire \*Profil : évasé fond arrondi  
 \*Dim. max. obs. en m : \*Long. : > 3 \*larg. : 0,7 ?  
 \*Prof. : 0,35  
 \*Descri. : \*-SD10181, coupe OSO : Z sup. sol actuel = entre 159,65 / 159,85 m NGF.  
 -env. 0,00-0,25 m : Labours.  
 -env. 0,25-0,50 : Remblais récents 10001.  
 -10123-a ? : Similaire à 10032-1 = LA brun à brun gris, rares nodules rubéfiés.  
 -10123-b : LA brun gris, petits charbons, nodules rubéfiés et cailloutis anguleux silico-calcaire épars à erratiques.  
 \*Rel. indét. : 10032  
 \*n° photo-s : 172, 173  
 \*n° planche-s : 28

\*Hz/Us : 10124 \*TR : 2 \*Type : ramassage mobilier  
 \*Rem. : Tesson modelé "isolé", extrémité NO de la TR02, dans limons des plateaux ou fait non perçu ?  
 -A environ 20 cm dans les "limons" sous le remblai 10001.  
 \*Tech. fle : mécanique

\*Z sup. NGF : 159,1  
 \*n° planche-s : 28

\*Hz/Us : 10125 \*TR : 3 \*Fait : FT10125 \*Type : composite (combl. + creus.) \*Ident. : creusement indéterminé  
 \*Rem. : Dans zone perturbée / peu lisible...  
 \*Tech. fle : mécanique \*% fle : 50  
 \*Z sup. NGF : 159 \*Forme : subcirculaire \*Profil : cuvette  
 \*Dim. max. obs. en m : \*Diam. : 1,25 \*Prof. : 0,15  
 \*Descri. : -LA brun à beige, cailloutis silico-calcaire épars à erratique.  
 \*n° photo-s : 211, 212  
 \*n° planche-s : 17

\*Hz/Us : 10126 \*TR : 4 \*Fait : CH10126 \*Type : composite (combl. + creus.) \*Ident. : chablis  
 \*Tech. fle : non-fouillé-e  
 \*Z sup. NGF : 159 \*Forme : subcirculaire \*Profil : ?  
 \*Dim. max. obs. en m : \*Diam. : 2,15 \*Prof. : ?  
 \*Descri. : Couronne grisâtre et au centre, une moitié de LA blanchie et l'autre d'encaissant (LP) remanié.  
 \*n° planche-s : 15

\*Hz/Us : 10127 \*TR : 4 \*Fait : FS10127 \*Type : composite (combl. + creus.) \*Ident. : fosse ?  
 \*Rem. : Vu sous 10199.  
 \*Tech. fle : non-fouillé-e  
 \*Z sup. NGF : 159,1 \*Forme : décapage partiel (circulaire/ovalaire ?) \*Profil : ?  
 \*Dim. max. obs. en m : \*Diam. : 0,75 \*Prof. : ?  
 \*Descri. : -LA brun gris à gris beige.  
 \*Rel. indét. : 10199  
 \*n° photo-s : 203, 204  
 \*n° planche-s : 15

\*Hz/Us : 10128 \*TR : 4 \*Fait : PO10128 \*Type : composite (combl. + creus.) \*Ident. : trou de poteau ?  
 \*Rem. : Partiellement surdécapé dans la tranchée de diagnostic, sur env. 0,15 m de prof. sous labours.  
 \*Tech. fle : mécanique \*% fle : 50  
 \*Z sup. NGF : 159,1 \*Forme : circulaire \*Profil : cuvette  
 \*Dim. max. obs. en m : \*Diam. : 0,45 \*Prof. : 0,25  
 \*Descri. : -LA beige gris.  
 \*Rel. indét. : 10199  
 \*n° photo-s : 21, 22, 203, 204  
 \*n° planche-s : 15

\*Hz/Us : 10129 \*TR : 7 \*Fait : FS10129 \*Type : composite (combl. + creus.) \*Ident. : fosse  
 \*Rem. : Traversée par un drain.  
 \*Tech. fle : non-fouillé-e  
 \*Z sup. NGF : 158,65 \*Forme : circulaire \*Profil : ?  
 \*Dim. max. obs. en m : \*Diam. : 1,7 \*Prof. : ?  
 \*Descri. : -LA gris à gris brun, pierres silico-calcaires éparses.  
 \*Rel. indét. : 10085; 10086  
 \*n° photo-s : 1, 2, 3, 211, 212, 215

\*n° planche-s : 35

\*Hz/Us : 10130 \*TR : 6 \*Fait : PO10130 \*Type : composite (combl. + creus.) \*Ident. : trou de poteau  
\*Tech. fle : non-fouillé-e  
\*Z sup. NGF : 158,8 \*Forme : circulaire, tronquée  
\*Profil : ?  
\*Dim. max. obs. en m : \*Diam. : 0,8 \*Prof. : ?  
\*Descri. : -LA gris à gris brun, petites mottes jaunâtres éparses, rares nodules rubéfiés.  
\*Sous : 10077  
\*n° planche-s : 27

\*Hz/Us : 10131 \*TR : 6 \*Fait : PO10131 \*Type : composite (combl. + creus.) \*Ident. : fosse / trou de poteau ?  
\*Tech. fle : non-fouillé-e  
\*Z sup. NGF : 158,9 \*Forme : circulaire \*Profil : ?  
\*Dim. max. obs. en m : \*Diam. : 0,8 \*Prof. : ?  
\*Descri. : -LA gris beige, cailloutis erratique.  
\*n° planche-s : 27

\*Hz/Us : 10132 \*TR : 6 \*Fait : PO10132 \*Type : composite (combl. + creus.) \*Ident. : trou de poteau ?  
\*Tech. fle : non-fouillé-e  
\*Z sup. NGF : 158,9 \*Forme : circulaire \*Profil : ?  
\*Dim. max. obs. en m : \*Diam. : 0,5 \*Prof. : ?  
\*Descri. : -LA gris beige.  
\*n° planche-s : 27

\*Hz/Us : 10133 \*TR : 6 \*Fait : FS10133 \*Type : composite (combl. + creus.) \*Ident. : fosse  
\*Rem. : Vue sous l'Hz10157.  
\*Tech. fle : mécanique \*% fle : ?  
\*Z sup. NGF : 158,8 \*Forme : décapage partiel (circulaire/ovale ?) \*Profil : évasé fond arrondi  
\*Dim. max. obs. en m : \*Diam. : 1,4 ? \*Prof. : 0,3  
\*Descri. :  
-10133-a : LA gris brun à brun beige.  
-10133-b ? : LA brun beige à beige orangé.  
\*Sous : 10157 ?  
\*n° photo-s : 156  
\*n° planche-s : 33, 34  
-10133-b ? : LA brun beige à beige orangé.

\*Hz/Us : 10134 \*TR : 6 \*Fait : FO10134 \*Type : composite (combl. + creus.) \*Ident. : fossé  
\*Rem. : Vu sous 10157.  
\*Tech. fle : non-fouillé-e  
\*Z sup. NGF : 158,9 \*Forme : linéaire \*Profil : ?  
\*Dim. max. obs. en m : \*Long. : > 5,4 \*larg. : 1,5  
\*Prof. : ?  
\*Descri. : -LA brun à brun beige, petites pierres silico-calcaires éparses à erratiques.  
\*Sous : 10157 ?  
\*n° planche-s : 33

\*Hz/Us : 10135 \*TR : 18 \*Fait : PO10135 \*Type : composite (combl. + creus.) \*Ident. : trou de poteau  
\*Rem. : Partiellement surdécapé dans la tranchée de

diagnostic, sur environ 0,25 m de prof. sous labours.  
\*Tech. fle : non-fouillé-e \*% fle : ?  
\*Z sup. NGF : 158,7 \*Forme : décapage partiel (circulaire/ovale ?) \*Profil : ?  
\*Dim. max. obs. en m : \*Diam. : 0,45 ? \*Prof. : > 0,25  
\*Descri. : -LA gris, nodules de charbon et rubéfiés erratiques.  
\*n° photo-s : 121, 122  
\*n° planche-s : 17

\*Hz/Us : 10136 \*TR : 19 \*Fait : PO10136 \*Type : composite (combl. + creus.) \*Ident. : trou de poteau  
\*Rem. : Partiellement surdécapé dans la tranchée de diagnostic, sur env. 0,1 m de prof. sous labours.  
-Sous remblais récents 10001 = 10063.  
\*Tech. fle : mécanique \*% fle : 50  
\*Z sup. NGF : 159,1 \*Forme : circulaire \*Profil : cylindrique  
\*Dim. max. obs. en m : \*Diam. : 0,65 \*Prof. : 0,3  
\*Descri. :  
-10136-a : Négatif subcirculaire (Diam. : 0,35/0,40).  
LA gris, petits charbons épars à erratiques.  
-10136-b : Avant-trou. LA gris beige.  
\*Sous : 10001  
\*n° photo-s : 123, 207  
\*n° planche-s : 14

\*Hz/Us : 10137 \*TR : 20 \*Fait : PO10137 \*Type : composite (combl. + creus.) \*Ident. : fosse / trou de poteau ?  
\*Rem. : Vue sous l'Hz10157.  
\*Tech. fle : non-fouillé-e  
\*Z sup. NGF : 159 \*Forme : circulaire \*Profil : ?  
\*Dim. max. obs. en m : \*Diam. : 0,55 \*Prof. : ?  
\*Descri. : -LA brun gris, cailloutis erratique.  
-Possible négatif cylindrique ? Diam : 0,2 ? LA gris ?  
\*Sous : 10157  
\*n° photo-s : 126  
\*n° planche-s : 32

\*Hz/Us : 10138 \*TR : 20 \*Fait : FS10138 \*Type : composite (combl. + creus.) \*Ident. : fosse  
\*Rem. : Vue sous l'Hz10157.  
\*Tech. fle : non-fouillé-e  
\*Z sup. NGF : 159,05 \*Forme : décapage partiel (ovale ?) \*Profil : ?  
\*Dim. max. obs. en m : \*Long. : > 2,05 \*larg. : 1,4  
\*Prof. : ?  
\*Descri. : -LA gris brun, rares charbons..  
\*Sous : 10157  
\*n° photo-s : 126  
\*n° planche-s : 32

\*Hz/Us : 10139 \*TR : 20 \*Fait : FT10139 \*Type : composite (combl. + creus.) \*Ident. : creusement indéterminé  
\*Rem. : Vue sous l'Hz10157.  
\*Tech. fle : non-fouillé-e  
\*Z sup. NGF : 159,05 \*Forme : circulaire \*Profil : ?  
\*Dim. max. obs. en m : \*Diam. : 0,55 \*Prof. : ?

\*Descri. : -LA gris beige.

\*Sous : 10157 ?

\*n° photo-s : 126

\*n° planche-s : 32

\*Hz/Us : 10140 \*TR : 20 \*Fait : FT10140 \*Type : composite (combl. + creus.) \*Ident. : creusement indéterminé

\*Rem. : Vue sous l'Hz10157.

\*Tech. fle : mécanique \*% fle : 50

\*Z sup. NGF : 158,95 \*Forme : circulaire \*Profil : cuvette

\*Dim. max. obs. en m : \*Diam. : 0,65 \*Prof. : 0,1

\*Descri. : \*- Z sup. sol actuel : env. 159,60 m NGF.

-env. 0,00-0,40 m : Labours.

-env. 0,40-0,65 m, Hz/Us 10157 : LA brun gris à grisâtre, petits graviers épars à erratiques, rares tessons de faïence...

-env. 0,65-0,75 m, 10140 : LA beige gris à beige jaunâtre.

-> 0,65, Ia : Encaissant, LP. LA jaunâtre.

\*Sous : 10157 ?

\*n° photo-s : 126, 151

\*n° planche-s : 32

\*Hz/Us : 10141 \*TR : 20 \*Fait : FT10141 \*Type : composite (combl. + creus.) \*Ident. : creusement indéterminé

\*Rem. : Vue sous l'Hz 10157.

\*Tech. fle : mécanique \*% fle : 50

\*Z sup. NGF : 158,95 \*Forme : circulaire \*Profil : cuvette

\*Dim. max. obs. en m : \*Diam. : 0,55 \*Prof. : 0,1

\*Descri. : \*- Z sup. sol actuel : env. 159,60 m NGF.

-env. 0,00-0,40 m : Labours.

-env. 0,40-0,65 m, Hz/Us 10157 : LA brun gris à grisâtre, petits graviers épars à erratiques, rares tessons de faïence...

-env. 0,65-0,75 m, 10141 : LA beige gris à beige jaunâtre.

-> 0,65, Ia : Encaissant, LP. LA jaunâtre.

\*Sous : 10157 ?

\*n° photo-s : 126, 152

\*n° planche-s : 32

\*Hz/Us : 10142 \*TR : 20 \*Fait : FO10142 \*Type : composite (combl. + creus.) \*Ident. : fossé

\*Rem. : Vu sous l'Hz 10157.

\*Tech. fle : mécanique \*% fle : ?

\*Z sup. NGF : 159 \*Forme : linéaire \*Profil : En «v» avec canal central surcreusé

\*Dim. max. obs. en m : \*Long. : > 4,15 \*Prof. : 0,55

\*Descri. : \*- SD10176, coupe Est, Z sup. sol actuel : env. 159,50 m NGF.

-env. 0,00-0,35 m : Labours.

-env. 0,35-0,50 m, Hz/Us 10157 : LA brun gris à grisâtre, petits graviers épars à erratiques, rares tessons de faïence...

-env. 0,50-1,05 m, FO10142 :

-10142-a : LA gris brun à gris, rares cailloutis / petites

pierres silico-calcaires.

-10142-b : LA beige à brun gris lég. bariolé, rares cailloux.

-> 0,50 m, LP, encaissants :

-env. 0,50-0,65 m, Ia : LA brun gris orangé à brun orangé.

-env. 0,65-1,05 m, Ib : LA/AL brun orangé à jaune orangé.

-env. > 1,05 m, Ic : LA(S) jaune pâle, nodules calcaires blancs épars à erratiques.

-env. 1,30 m : Fond du sondage.

\*Sous : 10157 ? \*Egal. : 10117 ?

\*n° photo-s : 126, 150

\*n° planche-s : 32

\*Hz/Us : 10143 \*TR : 18 \*Fait : FO10143 \*Type : composite (combl. + creus.) \*Ident. : fossé

\*Rem. : Partiellement surdécapé dans la tranchée de diagnostic, sur environ 0,25 m de prof. sous labours.

\*Tech. fle : non-fouillé-e \*% fle : ?

\*Z sup. NGF : 158,75 \*Forme : linéaire \*Profil : ?

\*Dim. max. obs. en m : \*Long. : > 3,2 \*larg. : 0,5

\*Prof. : > 0,25

\*Descri. : -LA brun beige.

\*n° photo-s : 121, 122

\*n° planche-s : 17

\*Hz/Us : 10144 \*TR : 18 \*Fait : FT10145 \*Type : n° décapage

\*Tech. fle : mécanique

\*Hz/Us : 10145 \*TR : 18 \*Fait : FT10145 \*Type : composite (combl. + creus.) \*Ident. : creusement indéterminé

\*Rem. : Partiellement surdécapé dans la tranchée de diagnostic, sur environ 0,2 m de prof. sous labours.

-Douteux...

-Fossé ? Ornière ? Anomalie ?

\*Tech. fle : sondé méca. \*% fle : ?

\*Z sup. NGF : 158,7 \*Forme : linéaire \*Profil : cuvette

\*Dim. max. obs. en m : \*Long. : > 3,15 \*larg. : 0,7 ?

\*Prof. : 0,25

\*Descri. : -LA brun beige, peu lisible.

\*n° photo-s : 121, 122

\*n° planche-s : 17

\*Hz/Us : 10146 \*TR : 18 \*Type : ramassage mobilier

\*Rem. : 2 fragments de céramique modelée (13 g) et 1 frag. de terre cuite (17 g) dans limons des plateaux ou fait non perçu ?

\*Tech. fle : mécanique

\*Z sup. NGF : 158,8

\*Dim. max. obs. en m : \*Long. : 2,5 \*Prof. : 0,25

\*Descri. : -Sous labours (0,00-0,35 m), entre 0,35 m et 0,55 m (158,80 m à 158,60 m NGF) de profondeur depuis le sol actuel (159,15 m NGF).

-Horizon LP-Ia : LA brun gris lég. orangé.

\*n° photo-s : 121, 122

\*n° planche-s : 17

\*Hz/Us : 10147 \*TR : 1 \*Fait : SD10147 \*Type : technique \*Ident. : sondage  
 \*Rem. : Sur les fossés 10012, 10014 et 10104 dans la Fen. 01-A.  
 \*Tech. fle : mécanique  
 \*Z sup. NGF : 158,9  
 \*Dim. max. obs. en m : \*Prof. : 0,6  
 \*n° photo-s : 127, 128  
 \*n° planche-s : 23, 24, 25

\*Hz/Us : 10148 \*TR : 1 \*Fait : SD10148 \*Type : technique \*Ident. : sondage  
 \*Rem. : Sur le PO10097.  
 \*Tech. fle : mécanique  
 \*Z sup. NGF : 158,85  
 \*Dim. max. obs. en m : \*Prof. : 0,4  
 \*n° photo-s : 129, 130  
 \*n° planche-s : 23, 25

\*Hz/Us : 10149 \*TR : 1 \*Fait : SD10149 \*Type : technique \*Ident. : sondage  
 \*Rem. : Sur le FO10011.  
 \*Tech. fle : mécanique  
 \*Z sup. NGF : 158,85  
 \*Dim. max. obs. en m : \*Prof. : 0,9  
 \*n° photo-s : 131, 132  
 \*n° planche-s : 24, 25

\*Hz/Us : 10150 \*TR : 1 \*Fait : SD10150 \*Type : technique \*Ident. : sondage  
 \*Rem. : Sur la FS10010 = 10009.  
 \*Tech. fle : mécanique  
 \*Z sup. NGF : 158,95  
 \*Dim. max. obs. en m : \*Prof. : 0,35  
 \*n° photo-s : 133, 134  
 \*n° planche-s : 29

\*Hz/Us : 10151 \*TR : 1 \*Fait : SD10151 \*Type : technique \*Ident. : sondage  
 \*Rem. : Sur le FO10008.  
 \*Tech. fle : mécanique  
 \*Z sup. NGF : 158,9  
 \*Dim. max. obs. en m : \*Prof. : 0,5  
 \*n° photo-s : 135  
 \*n° planche-s : 29

\*Hz/Us : 10152 \*TR : 1 \*Fait : SD10152 \*Type : technique \*Ident. : sondage  
 \*Rem. : Sur le FO10117.  
 \*Tech. fle : mécanique  
 \*Z sup. NGF : 158,95  
 \*Dim. max. obs. en m : \*Prof. : 0,3  
 \*n° photo-s : 136, 137  
 \*n° planche-s : 30

\*Hz/Us : 10153 \*TR : 1 \*Fait : PO10153 \*Type : composite (combl. + creus.) \*Ident. : trou de poteau  
 \*Tech. fle : non-fouillé-e  
 \*Z sup. NGF : 159,25 \*Forme : circulaire \*Profil : ?  
 \*Dim. max. obs. en m : \*Diam. : 0,4 \*Prof. : > 0,2

\*Descri. : -Négatif ? LA gris à gris noirâtre, 1 pierre silico-calcaire.  
 \*Sous : 10157 \*Sur : 10007  
 \*n° photo-s : 139  
 \*n° planche-s : 30

\*Hz/Us : 10154 \*TR : 1 \*Fait : SD10154 \*Type : technique \*Ident. : sondage  
 \*Rem. : Sur FO10007.  
 \*Tech. fle : mécanique  
 \*Z sup. NGF : 159,8  
 \*Dim. max. obs. en m : \*Prof. : 1,2  
 \*n° photo-s : 138, 139  
 \*n° planche-s : 30

\*Hz/Us : 10155 \*TR : 1 \*Fait : FT10155 \*Type : composite (combl. + creus.) \*Ident. : creusement indéterminé  
 \*Tech. fle : non-fouillé-e  
 \*Z sup. NGF : 159,2 \*Forme : oblongue ? \*Profil : ?  
 \*Dim. max. obs. en m : \*Long. : > 2 ? \*Prof. : ?  
 \*Descri. : -LA brun beige, cailloutis / petites pierres silico-calcaires épars à erratiques.  
 \*n° planche-s : 30

\*Hz/Us : 10156 \*TR : 1 \*Type : ramassage mobilier  
 \*Rem. : Tesson modelé "isolé", SD10154, dans limons des plateaux ou fait non perçu ?  
 -Sous labours et Us10157. -80 cm sous le sol actuel.  
 \*Tech. fle : mécanique  
 \*Z sup. NGF : 159  
 \*Rel. indét. : 10007  
 \*n° photo-s : 138, 139  
 \*n° planche-s : 30

\*Hz/Us : 10157 \*TR : 01, 06, , 07, 20 \*Type : comblement-s (positive) \*Ident. : horizon stratigraphique  
 \*Rem. : Labours ou remblais (?) antérieurs à 10001 et sous labours récents, recouvrant les vestiges archéologiques au Nord de de la Zone Nord, le long du chemin du Parc de La Martinière.  
 \*Tech. fle : sondé méca. \*% fle : ?  
 \*Z sup. NGF : 159,45  
 \*Dim. max. obs. en m : \*Long. : > 93 ? \*larg. : env. 20  
 \*Prof. : 0,2 / 0,3  
 \*Descri. : -LA brun gris à grisâtre, petits graviers épars à erratiques, rares tessons de faïence...  
 \*Sous : 10001  
 \*n° photo-s : 126, 136, 137, 138, 139, 140, 141, 150, 151, 152, 153, 154, 155, 156, 157, 158, 159, 164, 165, 168  
 \*n° planche-s : 30, 31, 33, 34, 35

\*Hz/Us : 10158 \*TR : 1 \*Fait : SD10158 \*Type : technique \*Ident. : sondage  
 \*Rem. : Sur PO10004, 10006 et FO10107.  
 \*Tech. fle : mécanique  
 \*Z sup. NGF : 159,1  
 \*Dim. max. obs. en m : \*Prof. : 0,5

\*n° photo-s : 140, 141  
\*n° planche-s : 31

\*Hz/Us : 10159 \*TR : 1 \*Fait : SD10159 \*Type :  
technique \*Ident. : sondage  
\*Rem. : Sur le PO10028.  
\*Tech. fle : mécanique  
\*Z sup. NGF : 158,6  
\*Dim. max. obs. en m : \*Prof. : 0,3  
\*n° photo-s : 142, 143  
\*n° planche-s : 19

\*Hz/Us : 10160 \*TR : 1 \*Fait : SD10160 \*Type :  
technique \*Ident. : sondage  
\*Rem. : Sur le FO10024.  
\*Tech. fle : mécanique  
\*Z sup. NGF : 158,7  
\*Dim. max. obs. en m : \*Prof. : 0,3  
\*n° photo-s : 144, 145  
\*n° planche-s : 19

\*Hz/Us : 10161 \*TR : 1 \*Fait : PO10161 \*Type :  
composite (combl. + creus.) \*Ident. : trou de poteau  
\*Rem. : Légèrement surdécapé.  
\*Tech. fle : non-fouillé-e  
\*Z sup. NGF : 158,7 \*Forme : circulaire \*Profil : ?  
\*Dim. max. obs. en m : \*Diam. : 0,9 ? \*Prof. : ?  
\*Descri. :  
-10161-a : Négatif circulaire (Diam. : 0,25), LA gris à  
gris brun sombre, petits charbons épars.  
-10161-b ? : Avant-trou ? LA beige et petites mottes  
jaunes à grises.  
\*Sous : 10162 ?  
\*n° photo-s : 146  
\*n° planche-s : 19

\*Hz/Us : 10162 \*TR : 1 \*Fait : FS10162 \*Type :  
composite (combl. + creus.) \*Ident. : fosse  
\*Tech. fle : non-fouillé-e  
\*Z sup. NGF : 158,7 \*Forme : ovale \*Profil : ?  
\*Dim. max. obs. en m : \*Long. : 1,3 \*larg. : 0,8  
\*Prof. : ?  
\*Descri. : -LA gris brun, petites pierres silico-calcaires  
éparses.  
\*Sous : 10163 \*Sur : 10161 ?  
\*n° photo-s : 146  
\*n° planche-s : 19

\*Hz/Us : 10163 \*TR : 1 \*Fait : FS10163 \*Type :  
composite (combl. + creus.) \*Ident. : fosse  
\*Tech. fle : non-fouillé-e  
\*Z sup. NGF : 158,7 \*Forme : ovale \*Profil : ?  
\*Dim. max. obs. en m : \*Long. : 0,95 \*larg. : 0,8  
\*Prof. : ?  
\*Descri. : -LA gris foncé, pierres silico-calcaires  
éparses, rares charbons et petites mottes jaunes.  
\*Sur : 10162; 10164;  
\*n° photo-s : 146  
\*n° planche-s : 19

\*Hz/Us : 10164 \*TR : 1 \*Fait : PO10164 \*Type :  
composite (combl. + creus.) \*Ident. : trou de poteau ?  
\*Rem. : Légèrement surdécapé.  
-Tronqué par 10163.  
\*Tech. fle : non-fouillé-e  
\*Z sup. NGF : 158,7 \*Forme : circulaire, tronquée  
\*Profil : ?  
\*Dim. max. obs. en m : \*Diam. : 0,45 ? \*Prof. : ?  
\*Sous : 10163  
\*n° photo-s : 146  
\*n° planche-s : 19

\*Hz/Us : 10165 \*TR : 20 \*Fait : FS10165 \*Type :  
composite (combl. + creus.) \*Ident. : fosse  
\*Rem. : Vue sous l'Hz 10157.  
\*Tech. fle : non-fouillé-e  
\*Z sup. NGF : 159 \*Forme : décapage partiel (ovale  
?) \*Profil : ?  
\*Dim. max. obs. en m : \*Long. : > 2,25 \*larg. : 1,25  
\*Prof. : ?  
\*Descri. : -LA brun gris, cailloutis erratique.  
\*Sous : 10157  
\*n° photo-s : 126  
\*n° planche-s : 32

\*Hz/Us : 10166 \*TR : 1 \*Fait : SG10166 \*Type :  
technique \*Ident. : surdécapage localisé et coupe  
\*Rem. : Sur 10022 = 10167 + 10168.  
-Coupe sur 10167.  
\*Tech. fle : mécanique  
\*Z sup. NGF : 158,85  
\*Dim. max. obs. en m : \*Prof. : 0,2  
\*n° photo-s : 147, 148  
\*n° planche-s : 23, 25

\*Hz/Us : 10167 \*TR : 1 \*Fait : FS10167 \*Type :  
composite (combl. + creus.) \*Ident. : fosse  
\*Rem. : Excroissance de 10168 ? Fosse  
"indépendante" ?  
-En partie tronquée par un drain.  
\*Tech. fle : sondé méca. \*% fle : 50 ?  
\*Z sup. NGF : 158,9 \*Forme : subcirculaire ? \*Profil :  
arrondi  
\*Dim. max. obs. en m : \*Diam. : 1,15 ? \*Prof. : 0,3  
\*Descri. : -LA gris brun sombre, petites pierres silico-  
calcaires abondantes à erratiques.  
\*Rel. indét. : 10168  
\*n° photo-s : 147, 148  
\*n° planche-s : 23, 25

\*Hz/Us : 10168 \*TR : 1 \*Fait : FS10168 \*Type :  
composite (combl. + creus.) \*Ident. : fosse  
\*Rem. : Surdécapée en partie (SG10166).  
-Subdivision de 10022.  
\*Tech. fle : non-fouillé-e  
\*Z sup. NGF : 158,9 \*Forme : subcirculaire \*Profil : ?  
\*Dim. max. obs. en m : \*Diam. : 1,9 \*Prof. : ?  
\*Descri. : -En partie supérieure et au centre : vrac de  
pierres silico-calcaires et LA gris brun.  
-Sur les bords : LA gris, nodules de charbon et rubéfiés

épars, grosses mottes d'AL jaunâtre.

\*Sous : 10169 \*Sur : 10170 ? \*Rel. indét. : 10167  
\*n° photo-s : 147, 148  
\*n° planche-s : 23, 25

\*Hz/Us : 10169 \*TR : 1 \*Fait : FS10169 \*Type : composite (combl. + creus.) \*Ident. : fosse  
\*Tech. fle : non-fouillé-e  
\*Z sup. NGF : 158,9 \*Forme : ovale \*Profil : ?  
\*Dim. max. obs. en m : \*Long. : 0,7 \*larg. : 0,5  
\*Prof. : ?  
\*Descri. : -LA gris à gris sombre, cailloux anguleux silico-calcaires (chauffés ?) et frags. de terre cuite / rubéfiée épars à abondants, charbons épars.  
\*Sur : 10168; 10170;  
\*n° photo-s : 147, 148  
\*n° planche-s : 23, 25

\*Hz/Us : 10170 \*TR : 1 \*Fait : FS10170 \*Type : composite (combl. + creus.) \*Ident. : fosse  
\*Rem. : Fosse ? Plusieurs faits ?  
\*Tech. fle : non-fouillé-e  
\*Z sup. NGF : 158,9 \*Forme : décapage partiel (circulaire/ovale ?) \*Profil : ?  
\*Dim. max. obs. en m : \*Diam. : > 1,6 \*Prof. : ?  
\*Descri. : -LA gris beige à brun gris, à jaunâtre, cailloutis / petites pierres silico-calcaires et frags. rubéfiés épars à erratiques  
\*Sous : 10168 ?; 10169 \*Rel. indét. : 10171  
\*n° photo-s : 147, 148  
\*n° planche-s : 23, 25

\*Hz/Us : 10171 \*TR : 1 \*Fait : FS10171 \*Type : composite (combl. + creus.) \*Ident. : fosse  
\*Tech. fle : non-fouillé-e  
\*Z sup. NGF : 158,9 \*Forme : excroissance semi-circulaire \*Profil : ?  
\*Dim. max. obs. en m : \*Diam. : 1 ? \*Prof. : ?  
\*Descri. : -LA beige à brun gris, rares petites pierres silico-calcaires.  
\*Rel. indét. : 10170  
\*n° photo-s : 147, 148  
\*n° planche-s : 23, 25

\*Hz/Us : 10172 \*TR : 1 \*Fait : FS10172 \*Type : composite (combl. + creus.) \*Ident. : fosse  
\*Tech. fle : non-fouillé-e  
\*Z sup. NGF : 158,95 \*Forme : ovale ? \*Profil : ?  
\*Dim. max. obs. en m : \*Long. : > 0,95 \*larg. : 0,65  
\*Prof. : ?  
\*Descri. : -LA beige gris, petits charbons et nodules rubéfiés erratiques à épars.  
\*Sous : 10021  
\*n° photo-s : 147, 148  
\*n° planche-s : 23, 25

\*Hz/Us : 10173 \*TR : 1 \*Fait : SD10173 \*Type : technique \*Ident. : sondage  
\*Rem. : Sur le FO10023.  
\*Tech. fle : mécanique

\*Z sup. NGF : 158,75  
\*Dim. max. obs. en m : \*Prof. : 0,3  
\*n° photo-s : 149  
\*n° planche-s : 23

\*Hz/Us : 10174 \*TR : 20 \*Fait : SD10174 \*Type : technique \*Ident. : sondage  
\*Rem. : Sur 10140.  
\*Tech. fle : mécanique  
\*Z sup. NGF : 158,95  
\*Dim. max. obs. en m : \*Prof. : 0,2  
\*n° photo-s : 151  
\*n° planche-s : 32

\*Hz/Us : 10175 \*TR : 20 \*Fait : SD10175 \*Type : technique \*Ident. : sondage  
\*Rem. : Sur 10141.  
\*Tech. fle : mécanique  
\*Z sup. NGF : 158,95  
\*Dim. max. obs. en m : \*Prof. : 0,1  
\*n° photo-s : 152  
\*n° planche-s : 32

\*Hz/Us : 10176 \*TR : 20 \*Fait : SD10176 \*Type : technique \*Ident. : sondage  
\*Rem. : Sur le FO10142.  
\*Tech. fle : mécanique  
\*Z sup. NGF : 159,5  
\*Dim. max. obs. en m : \*Prof. : 1,35  
\*Descri. : \*- SD10176, coupe Est, Z sup. sol actuel : env. 159,50 m NGF.  
-env. 0,00-0,35 m : Labours.  
-env. 0,35-0,50 m, Hz/Us 10157 : LA brun gris à grisâtre, petits graviers épars à erratiques, rares tessons de faïence...  
-env. 0,50-1,05 m, FO10142 :  
-10142-a : LA gris brun à gris, rares cailloutis / petites pierres silico-calcaires.  
-10142-b : LA beige à brun gris lég. bariolé, rares cailloux.  
-> 0,50 m, LP, encaissants :  
-env. 0,50-0,65 m, Ia : LA beige orangé à gris beige, petites glosses plus ou moins marquées.  
-env. 0,65-1,05 m, Ib : LA/AL brun jaune à orangé, traces de racines, rares petits cailloux anguleux.  
-env. > 1,05 m, Ic : LA(S) jaune pâle, nodules calcaires blancs épars à erratiques.  
-env. 1,35 m : Fond du sondage.  
\*n° photo-s : 150  
\*n° planche-s : 32

\*Hz/Us : 10177 \*TR : 6 \*Fait : SD10177 \*Type : technique \*Ident. : sondage  
\*Rem. : Sur le FO10065 et la FS10066.  
\*Tech. fle : mécanique  
\*Z sup. NGF : 159,35  
\*Dim. max. obs. en m : \*Prof. : 1,7  
\*n° photo-s : 153, 154, 155, 157, 158, 159, 160, 161, 162, 163, 164, 165, 166, 167, 168  
\*n° planche-s : 33, 34

\*Hz/Us : 10178 \*TR : 6 \*Fait : SD10178 \*Type :  
technique \*Ident. : sondage  
\*Rem. : Sur la FS10133.  
\*Tech. fle : mécanique  
\*Z sup. NGF : 158,7  
\*Dim. max. obs. en m : \*Prof. : 0,4  
\*n° photo-s : 156  
\*n° planche-s : 33, 34

\*Hz/Us : 10179 \*TR : 2 \*Fait : SG10179 \*Type :  
technique \*Ident. : surdécapage  
\*Rem. : Sur le FO10123 et la FS10180. Sondage arrêté à l'apparition de la fosse.  
\*Tech. fle : mécanique  
\*Z sup. NGF : 158,95  
\*Dim. max. obs. en m : \*Prof. : 0,15  
\*n° planche-s : 28

\*Hz/Us : 10180 \*TR : 2 \*Fait : FS10180 \*Type :  
composite (combl. + creus.) \*Ident. : fosse  
\*Rem. : Surdécapée dans le SG10179.  
\*Tech. fle : non-fouillé-e  
\*Z sup. NGF : 159,1 \*Forme : décapage partiel (ovalaire ?) \*Profil : ?  
\*Dim. max. obs. en m : \*Long. : 1,5 \*larg. : 1,2 ?  
\*Prof. : > 0,3  
\*Descri. : -LA brun beige lég. bariolé, 1 frag. de tegula.  
\*Sous : 10123  
\*n° planche-s : 28

\*Hz/Us : 10181 \*TR : 2 \*Fait : SD10181 \*Type :  
technique \*Ident. : sondage  
\*Rem. : Sur la FS10032 et le FO10123.  
\*Tech. fle : mécanique  
\*Z sup. NGF : 159,1  
\*Dim. max. obs. en m : \*Prof. : 0,45  
\*n° photo-s : 172, 173  
\*n° planche-s : 28

\*Hz/Us : 10182 \*TR : 2 \*Fait : SD10182 \*Type :  
technique \*Ident. : sondage  
\*Rem. : Sur le FO10038.  
\*Tech. fle : mécanique  
\*Z sup. NGF : 158,85  
\*Dim. max. obs. en m : \*Prof. : 0,3  
\*n° photo-s : 174  
\*n° planche-s : 22

\*Hz/Us : 10183 \*TR : 2 \*Fait : FO10183 \*Type :  
composite (combl. + creus.) \*Ident. : fossé  
\*Rem. : Surdécapé en tranchée de diagnostic.  
\*Tech. fle : mécanique \*% fle : ?  
\*Z sup. NGF : 158,95 \*Forme : linéaire \*Profil : évasé fond arrondi  
\*Dim. max. obs. en m : \*Long. : > 3,1 \*larg. : 0,85  
\*Prof. : 0,25  
\*Descri. : -LA beige gris, lég. bariolé, très rares charbons, 1 tesson de céramique non-tournée.  
\*n° photo-s : 175

\*n° planche-s : 18

\*Hz/Us : 10184 \*TR : 2 \*Fait : FO10184 \*Type :  
composite (combl. + creus.) \*Ident. : fossé  
\*Rem. : Partiellement surdécapé dans la tranchée de diagnostic.  
\*Tech. fle : non-fouillé-e  
\*Z sup. NGF : 159,15 \*Forme : linéaire \*Profil : ?  
\*Dim. max. obs. en m : \*Long. : > 3,8 \*larg. : > 0,8  
\*Prof. : > 0,3  
\*Descri. : -LA gris beige à brun gris, rares petites pierres silico-calcaires.  
\*n° photo-s : 176, 177, 178, 179, 180  
\*n° planche-s : 22

\*Hz/Us : 10185 \*TR : 2 \*Fait : FO10185 \*Type :  
composite (combl. + creus.) \*Ident. : fossé  
\*Rem. : Partiellement surdécapé dans la tranchée de diagnostic.  
\*Tech. fle : non-fouillé-e  
\*Z sup. NGF : 159,2 \*Forme : linéaire \*Profil : ?  
\*Dim. max. obs. en m : \*Long. : > 3,8 \*larg. : > 0,85  
\*Prof. : > 0,3  
\*Descri. : -LA beige à brun gris, rares petites pierres silico-calcaires.  
\*Rel. indét. : 10035; 10186  
\*n° photo-s : 176, 177, 178, 179, 180  
\*n° planche-s : 22  
-Sous 10186 ?

\*Hz/Us : 10186 \*TR : 2 \*Fait : FO10186 \*Type :  
composite (combl. + creus.) \*Ident. : fossé  
\*Rem. : Partiellement surdécapé dans la tranchée de diagnostic.  
\*Tech. fle : non-fouillé-e  
\*Z sup. NGF : 159,2 \*Forme : linéaire \*Profil : ?  
\*Dim. max. obs. en m : \*Long. : > 3,95 \*larg. : > 1,05  
\*Prof. : > 0,3  
\*Descri. : -LA gris à gris brun, pierres silico-calcaires (et rares grès) éparses à abondantes, charbons, nodules rubéfiés et fragments de faune épars à erratiques.  
\*Sous : 10035 \*Rel. indét. : 10185  
\*n° photo-s : 169, 170, 171, 176, 178, 179, 180  
\*n° planche-s : 22

\*Hz/Us : 10187 \*TR : 2 \*Fait : SD10187 \*Type :  
ramassage mobilier / sondage / coupe  
\*Rem. : Hz 10187-a : 12 petits fragments de céramique modelée (42 g) et 6 éclats de silex (36 g) dans limons des plateaux ou fait non perçu ?  
-Voir ramassage similaire n° 10039 à env. 4 m plus au NO dans la tranchée de diagnostic.  
\*Tech. fle : mécanique  
\*Z sup. NGF : 158,95  
\*Dim. max. obs. en m : \*Long. : 3 \*Prof. : 0,85  
\*Descri. : \*-SD10187, coupe NE : Z. sup. 159,30 m NGF.  
-env. 0,00-0,30 m : Labours.  
-env. 0,30-0,55 m, Hz 10187-a = Ia : LA brun gris lég. orangé (petits tessons et éclats de silex erratiques à

épars).

-env. 0,55-0,85 m, Hz 10187-b = Ib : LA brun orangé et marbrures grisâtres.

-env. > 0,85 m, Hz 10187-c = Ic : Glosses de 10187-b et LA/AL jaunâtre avec petits éléments calcaires blancs (concrétions ?) erratiques à épars.

-env. 1,2 m, : fond du sondage (158,10 m NGF).

\*Egal. : 10039 ?

\*n° photo-s : 184, 185

\*n° planche-s : 18

\*Hz/Us : 10188 \*TR : 3 \*Fait : FS10188 \*Type : composite (combl. + creus.) \*Ident. : fosse ?

\*Rem. : Surdécapée en tranchée de diagnostic et tronquée par les remblais récents 10001.

\*Tech. fle : mécanique \*% fle : ?

\*Z sup. NGF : 159,1 \*Forme : indéterminée, tronquée / surdécapée \*Profil : cuvette

\*Dim. max. obs. en m : \*Long. : > 0,55 \*larg. : ?

\*Prof. : 0,2

\*Descri. : -LA gris sombre, petites mottes jaune orangé éparses.

\*Sous : 10001

\*n° photo-s : 181

\*n° planche-s : 20, 21

\*Hz/Us : 10189 \*TR : 3 \*Fait : FS10189 \*Type : composite (combl. + creus.) \*Ident. : fosse ?

\*Rem. : Surdécapée en tranchée de diagnostic et tronquée par les remblais récents 10001.

-Coupe bord NE de la TR03.

\*Tech. fle : mécanique \*% fle : ?

\*Z sup. NGF : 159,2 \*Forme : indéterminée, tronquée / surdécapée \*Profil : évasé fond plat

\*Dim. max. obs. en m : \*Diam. : 0,65 ? \*Prof. : 0,1

\*Descri. : -LA gris brun à gris sombre, rares cailloux / petites pierres silico-calcaires.

\*Sous : 10001

\*n° photo-s : 186, 187

\*n° planche-s : 20, 21

\*Hz/Us : 10190 \*TR : 3 \*Fait : FO10044 \*Type : DOUBLON \*Ident. : fossé

\*Rem. : Partiellement surdécapé en tranchée de diagnostic.

-Forme un coude avec le FO10043.

-Coupe partielle : bord NE de la TR03.

\*Tech. fle : méca. partielle \*% fle : ?

\*Z sup. NGF : 159,2 \*Forme : linéaire \*Profil : bords évasés, fond ?

\*Dim. max. obs. en m : \*Long. : > 1,6 \*larg. : 0,55

\*Prof. : > 0,45

\*Descri. : -LA beige à beige gris, rares cailloux / petites pierres silico-calcaires.

\*Sous : 10001 \*Synch : 10043 \*Egal. : 10044

\*n° photo-s : 186, 187

\*n° planche-s : 21

\*Hz/Us : 10191 \*TR : 3 \*Fait : PO10191 \*Type : composite (combl. + creus.) \*Ident. : trou de poteau ?

\*Rem. : Surdécapée en tranchée de diagnostic.

-Coupe bord NE de la TR03.

\*Tech. fle : mécanique \*% fle : ?

\*Z sup. NGF : 159,2 \*Forme : indéterminée, tronquée / surdécapée \*Profil : évasé à vertical, fond plat

\*Dim. max. obs. en m : \*Diam. : 0,4 ? \*Prof. : 0,15

\*Descri. : -LA gris sombre à noirâtre, petites mottes beiges éparses, quelques charbons et petits fragments rubéfiés.

\*Sous : 10001

\*n° photo-s : 186, 187

\*n° planche-s : 20, 21

\*Hz/Us : 10192 \*TR : 3 \*Fait : FS10192 \*Type : composite (combl. + creus.) \*Ident. : fosse ?

\*Rem. : Surdécapée en tranchée de diagnostic.

-Coupe bord NE de la TR03.

\*Tech. fle : mécanique \*% fle : ?

\*Z sup. NGF : 159,25 \*Forme : indéterminée, surdécapée \*Profil : évasé fond arrondi

\*Dim. max. obs. en m : \*Long. : 1,05 ? \*larg. : ?

\*Prof. : 0,3

\*Descri. : -LA brun gris lég. bariolé verdâtre, rares cailloux / petites pierres silico-calcaires et petits frags. rubéfiés.

\*n° photo-s : 182

\*n° planche-s : 20

\*Hz/Us : 10193 \*TR : 3 \*Fait : FS10193 \*Type : composite (combl. + creus.) \*Ident. : fosse ?

\*Rem. : Surdécapée en tranchée de diagnostic.

-Coupe bord NE de la TR03.

\*Tech. fle : non-fouillé-e

\*Z sup. NGF : 159,1 \*Forme : indéterminée, surdécapée \*Profil : évasé fond arrondi

\*Dim. max. obs. en m : \*Diam. : 0,7 ? \*Prof. : 0,15

\*Descri. : -LA gris clair à gris beige.

\*n° photo-s : 183

\*n° planche-s : 20

\*Hz/Us : 10194 \*TR : 3 \*Fait : CH10194 \*Type : composite (combl. + creus.) \*Ident. : chablis

\*Tech. fle : non-fouillé-e

\*Z sup. NGF : 159,05 \*Forme : décapage partiel (circulaire/ovale ?) \*Profil : ?

\*Dim. max. obs. en m : \*Diam. : 2,3 ? \*Prof. : ?

\*Descri. : Couronne grisâtre et au centre, une moitié de LA blanchie et l'autre d'encaissant (LP) remanié.

\*n° planche-s : 17

\*Hz/Us : 10195 \*TR : 3 \*Fait : CH10195 \*Type : composite (combl. + creus.) \*Ident. : chablis

\*Tech. fle : non-fouillé-e

\*Z sup. NGF : 159,1 \*Forme : ovale \*Profil : ?

\*Dim. max. obs. en m : \*Long. : > 2,5 \*larg. : 1,75

\*Prof. : ?

\*Descri. : Une moitié de LA blanchie et l'autre d'encaissant (LP) remanié.

\*n° planche-s : 17

\*Hz/Us : 10196 \*TR : 3 \*Fait : FT10196 \*Type : composite (combl. + creus.) \*Ident. : creusement indéterminé

\*Rem. : Dans zone perturbée / peu lisible...

\*Tech. fle : non-fouillé-e

\*Z sup. NGF : 159,05 ? \*Forme : subcirculaire

\*Profil : ?

\*Dim. max. obs. en m : \*Diam. : 0,35 ? \*Prof. : ?

\*Descri. : -LA brun gris à gris brun.

\*Rel. indét. : 10198

\*n° planche-s : 17

\*Hz/Us : 10197 \*TR : 3 \*Fait : SD10197 \*Type : technique \*Ident. : sondage

\*Rem. : Sur le FO1019.

\*Tech. fle : mécanique

\*Z sup. NGF : 158,75

\*Dim. max. obs. en m : \*Prof. : 0,55

\*n° photo-s : 196, 197

\*n° planche-s : 17

\*Hz/Us : 10198 \*TR : 3 \*Fait : FO10198 \*Type : composite (combl. + creus.) \*Ident. : fossé ?

\*Rem. : Dans zone perturbée / peu lisible...

\*Tech. fle : non-fouillé-e

\*Z sup. NGF : 159,05 \*Forme : linéaire \*Profil : ?

\*Dim. max. obs. en m : \*Long. : > 6 ? \*larg. : 1,4 ?

\*Prof. : ?

\*Descri. : -LA beige gris.

\*Rel. indét. : 10196

\*n° planche-s : 17

\*Hz/Us : 10199 \*TR : 03, 04 \*Fait : HZ10199

\*Type : composite (combl. + creus.) \*Ident. : horizon stratigraphique

\*Rem. : Horizon sédimentaire observé sur env. 9 mètres le long des bords de la partie NO de la TR04, sur 10 à 20 de centimètres sous labours récents et remblais 10001.

-Présent dans la TR03.-Voir CP10203.

-Tronqué par les remblais récents 10001 = 10055.

-Relation incertaine avec les vestiges archéologiques (les recouvre et tronque ?).

-Le long de la TRC10001. Cuvette ? Labours anciens ?

\*Tech. fle : mécanique \*% fle : ?

\*Z sup. NGF : 159,35 \*Forme : indéterminée, décap. partiel \*Profil : fond plat

\*Dim. max. obs. en m : \*Long. : > 42 \*larg. : 6 ?

\*Prof. : 0,2

\*Descri. : -LA gris à gris beige.

\*Sous : 10001; 10055

\*n° photo-s : 186, 187, 199, 202, 203, 204

\*n° planche-s : 15, 16, 21

\*Hz/Us : 10200 \*TR : 5 \*Fait : PO10200 \*Type : composite (combl. + creus.) \*Ident. : trou de poteau

\*Rem. : Partiellement surdécapé dans la tranchée de diagnostic, sur env. 0,25 m de prof. sous labours.

\*Tech. fle : non-fouillé-e

\*Z sup. NGF : 159,15 \*Forme : décapage partiel

(circulaire/ovale ?) \*Profil : ?

\*Dim. max. obs. en m : \*Diam. : 0,8 ? \*Prof. : > 0,25

\*Descri. :

-10200-a : Négatif cylindrique (Diam. : 0,35). LA gris brun, rare cailloutis.

-10200-b ? : Avant-trou ? Peu lisible. LA brun à brun beige.

\*n° planche-s : 14

\*Hz/Us : 10201 \*TR : 4 \*Fait : SD10201 \*Type : technique \*Ident. : sondage

\*Rem. : Sur le PO10058.

\*Tech. fle : mécanique

\*Z sup. NGF : 159

\*Dim. max. obs. en m : \*Prof. : 0,25

\*n° photo-s : 198, 199

\*n° planche-s : 15

\*Hz/Us : 10202 \*TR : 4 \*Fait : SD10202 \*Type : technique \*Ident. : sondage

\*Rem. : Sur la FS10056.

\*Tech. fle : mécanique

\*Z sup. NGF : 158,85

\*Dim. max. obs. en m : \*Prof. : 0,45

\*n° photo-s : 200, 201

\*n° planche-s : 16

\*Hz/Us : 10203 \*TR : 4 \*Fait : CP10203 \*Type : technique \*Ident. : coupe

\*Rem. : Bord NE de la TR04, relevé partiel de l'Hz/Us 10199 surdécapé-e, à la transition avec les remblais récents 10001 = 10055.

\*Tech. fle : mécanique

\*Z sup. NGF : 159,7

\*Dim. max. obs. en m : \*Long. : 3,5 \*Prof. : 0,7 à 0,8

\*Descri. : \*-CP5203, bord NE de la TR04 : Z. sup. sol actuel (11/2020) = 159,70 m NGF.

-env. 0,00-0,30/0,35 m : Labours récents.

-NO : env. 0,30/0,35-0,55 : Remblais récents d'argiles jaunâtres 10001 = 10055, tronquant 10199.

-SE : env. 0,35-0,55 m, Hz/Us 10199 : LA gris foncé à gris beige, au moins un surcreusement visible (fait ?).

Au SE, petites mottes de 10001 = 10063 en partie sup. (10199-a). Au NO, plages de LA gris foncé à noirâtre et petites pierres silico-calcaires éparses (10199-b)...

-env. > 0,55 m : LP, LA brun gris à brun beige (Ia) à brun orangé (Ib).

-env. 0,7/0,8 m : Fond de la tranchée.

\*n° photo-s : 202

\*n° planche-s : 16

\*Hz/Us : 10204 \*TR : 4 \*Fait : SD10204 \*Type : technique \*Ident. : sondage

\*Rem. : Sur le PO10062.

\*Tech. fle : mécanique

\*Z sup. NGF : 159

\*Dim. max. obs. en m : \*Prof. : 0,35

\*n° photo-s : 203, 204

\*n° planche-s : 15

\*Hz/Us : 10205 \*TR : 4 \*Fait : SD10205 \*Type : technique \*Ident. : sondage  
 \*Rem. : Sur le PO?10128.  
 \*Tech. fle : mécanique  
 \*Z sup. NGF : 158,95  
 \*Dim. max. obs. en m : \*Prof. : 0,35  
 \*n° photo-s : 203, 204  
 \*n° planche-s : 15

\*Hz/Us : 10206 \*TR : 5 \*Fait : SD10206 \*Type : technique \*Ident. : sondage  
 \*Rem. : Sur le PO10064.  
 \*Tech. fle : mécanique  
 \*Z sup. NGF : 158,95  
 \*Dim. max. obs. en m : \*Prof. : 0,2  
 \*n° photo-s : 205, 206  
 \*n° planche-s : 14

\*Hz/Us : 10207 \*TR : 19 \*Fait : SD10207 \*Type : technique \*Ident. : sondage  
 \*Rem. : Sur le PO10136.  
 \*Tech. fle : mécanique  
 \*Z sup. NGF : 158,95  
 \*Dim. max. obs. en m : \*Prof. : 0,3  
 \*n° photo-s : 207  
 \*n° planche-s : 14

\*Hz/Us : 10208 \*TR : 18 \*Fait : SD10208 \*Type : technique \*Ident. : sondage  
 \*Rem. : Sur le FT10145.  
 \*Tech. fle : mécanique  
 \*Z sup. NGF : 158,6  
 \*Dim. max. obs. en m : \*Prof. : 0,05  
 \*n° planche-s : 17

\*Hz/Us : 10209 \*TR : 1 \*Fait : FS10209 \*Type : composite (combl. + creus.) \*Ident. : fosse  
 \*Rem. : Surdécapée dans la Fen 01-A.  
 \*Tech. fle : non-fouillé-e  
 \*Z sup. NGF : 159 \*Forme : ovale \*Profil : ?  
 \*Dim. max. obs. en m : \*Long. : 0,95 \*larg. : 0,65  
 \*Prof. : > 0,25  
 \*Descri. : -LA gris brun sombre, rares mottes beige jaunâtre.  
 \*Rel. indét. : 10014  
 \*n° planche-s : 23, 25

\*Hz/Us : 10210 \*TR : 1 \*Fait : FO10210 \*Type : composite (combl. + creus.) \*Ident. : fossé  
 \*Rem. : Surdécapé dans la Fen 01-A.  
 -Forme un coude avec le FO10011.  
 -Prolongement du FO10104 ?  
 \*Tech. fle : non-fouillé-e  
 \*Z sup. NGF : 159 \*Forme : linéaire \*Profil : ?  
 \*Dim. max. obs. en m : \*Long. : > 3,75 \*larg. : 1,7  
 \*Prof. : ?  
 \*Descri. : -LA brun gris à beige.  
 \*Sous : 10014 \*Synch : 10011; 10104 ?  
 \*n° planche-s : 23, 25

\*Hz/Us : 10211 \*TR : 6 \*Fait : PO10211 \*Type : composite (combl. + creus.) \*Ident. : trou de poteau  
 \*Rem. : Vu après redécapage partiel du FO10071.  
 -Surdécapé sur env. 0,25 m de prof. sous labours.  
 \*Tech. fle : non-fouillé-e \*% fle : ?  
 \*Z sup. NGF : 158,9 \*Forme : circulaire ? \*Profil : ?  
 \*Dim. max. obs. en m : \*Diam. : 0,75 ? \*Prof. : > 0,25  
 \*Descri. :  
 -10211-a : Négatif circulaire (Diam. : 0,25), LA gris brun.  
 -10211-b ? : Avant-trou ? Petites mottes de LA brun gris et brun orangé.  
 \*Sous : 10071 ?; 10225  
 \*n° planche-s : 25, 27

\*Hz/Us : 10212 \*TR : 6 \*Fait : FT10212 \*Type : composite (combl. + creus.) \*Ident. : creusement indéterminé  
 \*Rem. : Fossé ? Plusieurs faits ?  
 -Fenêtre : TR06-B.  
 -Partiellement redécapé dans la tranchée de diagnostic.  
 Surdécapé sur env. 0,2 m de prof. sous labours  
 \*Tech. fle : non-fouillé-e  
 \*Z sup. NGF : 158,9 \*Forme : indéterminée, décap. partiel  
 \*Dim. max. obs. en m : \*Long. : > 6,3 \*larg. : > 1  
 \*Prof. : > 0,2  
 \*Descri. : -LA brun gris, cailloux et petits fragments de faune erratiques.  
 \*Sur : 10071 ?  
 \*n° planche-s : 25, 27

\*Hz/Us : 10213 \*TR : 7 \*Fait : PO10213 \*Type : composite (combl. + creus.) \*Ident. : trou de poteau ?  
 \*Tech. fle : non-fouillé-e  
 \*Z sup. NGF : 158,65 \*Forme : subcirculaire \*Profil : ?  
 \*Dim. max. obs. en m : \*Diam. : 0,8 \*Prof. : ?  
 \*Descri. : -Mottes de" LA gris et LA beige, rares frags. rubéfiés.  
 \*Sous : 10084 \*Sur : 10214 ?  
 \*n° photo-s : 2, 3, 214, 216, 224, 225, 226  
 \*n° planche-s : 35, 35

\*Hz/Us : 10214 \*TR : 7 \*Fait : FY10214 \*Type : composite (combl. + creus.) \*Ident. : four / foyer  
 \*Tech. fle : non-fouillé-e  
 \*Z sup. NGF : 158,65 \*Forme : indéterminée, tronquée / surdécapée \*Profil : fond plat  
 \*Dim. max. obs. en m : \*Long. : 0,4 \*larg. : 0,3  
 \*Prof. : > 0,1  
 \*Descri. : -Plage de limon rubéfié. Lambeau de sole ?  
 \*Sous : 10084 ?; 10213  
 \*n° photo-s : 211, 212, 213, 214, 216, 224, 225, 226  
 \*n° planche-s : 35

\*Hz/Us : 10215 \*TR : 8 \*Fait : FS10215 \*Type : composite (combl. + creus.) \*Ident. : fosse  
 \*Tech. fle : non-fouillé-e  
 \*Z sup. NGF : 158,65 \*Forme : circulaire/ovalaire

tronquée ? \*Profil : ?

\*Dim. max. obs. en m : \*Long. : > 0,7 \*larg. : > 0,3

\*Prof. : ?

\*Descri. : -LA gris à jaune beige.

\*Sous : 10084 \*Rel. indét. : 10229

\*n° photo-s : 2, 3, 214, 216, 224, 225, 226

\*n° planche-s : 35

\*Hz/Us : 10216 \*TR : 7 \*Fait : PO10216 \*Type : composite (combl. + creus.) \*Ident. : trou de poteau ?

\*Tech. fle : non-fouillé-e

\*Z sup. NGF : 158,7 \*Forme : circulaire \*Profil : ?

\*Dim. max. obs. en m : \*Diam. : 0,35 \*Prof. : ?

\*Descri. : -LA gris clair à gris beige.

\*Rel. indét. : 10218

\*n° photo-s : 221, 224, 225, 226

\*n° planche-s : 35

\*Hz/Us : 10217 \*TR : 7 \*Fait : PO10217 \*Type : composite (combl. + creus.) \*Ident. : trou de poteau ?

\*Tech. fle : non-fouillé-e

\*Z sup. NGF : 158,7 \*Forme : circulaire \*Profil : ?

\*Dim. max. obs. en m : \*Diam. : 0,7 ? \*Prof. : ?

\*Descri. : -LA gris, mottes jaune beige éparées.

\*Rel. indét. : 10218

\*n° photo-s : 221, 224, 225, 226

\*n° planche-s : 35

\*Hz/Us : 10218 \*TR : 7 \*Fait : FR10218 \*Type : composite (combl. + creus.) \*Ident. : fosse / four

\*Rem. : Plusieurs faits ?

\*Tech. fle : non-fouillé-e

\*Z sup. NGF : 158,7 \*Forme : décapage partiel

(circulaire/ovale) \*Profil : ?

\*Dim. max. obs. en m : \*Long. : > 1,65 \*larg. : > 1,1

\*Prof. : ?

\*Descri. :

-10218-a : LA gris, petites mottes jaune beige éparées, petits charbons et frags. rubéfiés éparés à erratiques.

-10218-b : Sur le bord SO, paroi rubéfiée de four, vue sur environ 0,7 m de longueur.

\*Synch : 10084 ? \*Rel. indét. : 10217; 10218

\*n° photo-s : 221, 224, 225, 226

\*n° planche-s : 35

\*Hz/Us : 10219 \*TR : 2 \*Fait : FO10219 \*Type : composite (combl. + creus.) \*Ident. : fossé ?

\*Rem. : Peu visible...

-Fossé ?

\*Tech. fle : non-fouillé-e

\*Z sup. NGF : 159 \*Forme : linéaire \*Profil : ?

\*Dim. max. obs. en m : \*Long. : > 4,6 ? \*larg. : 0,95 ?

\*Prof. : ?

\*Descri. : -LA beige à beige gris, lég. bariolé.

\*n° planche-s : 22

\*Hz/Us : 10220 \*TR : 3 \*Fait : PO10220 \*Type : composite (combl. + creus.) \*Ident. : trou de poteau

\*Tech. fle : non-fouillé-e

\*Z sup. NGF : 159,15 \*Forme : circulaire \*Profil : ?

\*Dim. max. obs. en m : \*Diam. : 0,85 \*Prof. : ?

\*Descri. : -LA gris brun foncé.

\*n° photo-s : 19, 20

\*n° planche-s : 20

\*Hz/Us : 10221 \*TR : 1 \*Type : ramassage mobilier

\*Rem. : Ramassage au cours du décapage de la Fenêtre 01-A.

\*n° photo-s : 253

\*n° planche-s : 23, 25

\*Hz/Us : 10222 \*TR : 1 \*Type : ramassage mobilier

\*Rem. : Ramassage TR01.

\*Hz/Us : 10223 \*TR : 6 \*Type : ramassage mobilier

\*Rem. : Ramassage TR06.

\*Hz/Us : 10224 \*TR : 8 \*Fait : PO10224 \*Type : composite (combl. + creus.) \*Ident. : trou de poteau ?

\*Tech. fle : non-fouillé-e

\*Z sup. NGF : 158,65 \*Forme : circulaire \*Profil : ?

\*Dim. max. obs. en m : \*Diam. : 0,55 \*Prof. : ?

\*Descri. : -LA gris clair à jaune beige.

\*n° photo-s : 2, 3, 223, 224, 225, 226, 227, 228

\*n° planche-s : 35

\*Hz/Us : 10225 \*TR : 6 \*Fait : PO10225 \*Type : composite (combl. + creus.) \*Ident. : trou de poteau

\*Rem. : Partiellement redécapé dans la tranchée de diagnostic. Surdécapé sur env. 0,25 m de prof. sous labours.

\*Tech. fle : non-fouillé-e \*% fle : ?

\*Z sup. NGF : 158,9 \*Forme : ovale \*Profil : ?

\*Dim. max. obs. en m : \*Long. : 0,65 \*larg. : 0,5

\*Prof. : > 0,25

\*Descri. : -LA gris à gris beige.

\*Sur : 10071 ?; 10211;

\*n° photo-s : 7, 8, 36

\*n° planche-s : 25, 27

\*Hz/Us : 10226 \*TR : 6 \*Fait : FS10226 \*Type : composite (combl. + creus.) \*Ident. : fosse

\*Rem. : Fenêtre TR06-C.

-Redécapée dans la tranchée de diagnostic. Surdécapée sur env. 0,3 m de prof. sous labours.

\*Tech. fle : mécanique \*% fle : ?

\*Z sup. NGF : 158,9 \*Forme : ovale à circulaire

\*Profil : ?

\*Dim. max. obs. en m : \*Long. : 1,6 ? \*larg. : > 0,6

\*Prof. : > 0,3

\*Descri. : -LA gris beige à gris.

\*Sous : 10071 ?

\*n° photo-s : 7, 8, 35

\*n° planche-s : 25, 27

\*Hz/Us : 10227 \*TR : 8 \*Fait : FS10227 \*Type : composite (combl. + creus.) \*Ident. : fosse

\*Tech. fle : non-fouillé-e

\*Z sup. NGF : 158,65 \*Forme : ovale \*Profil : ?

\*Dim. max. obs. en m : \*Long. : 1,1 \*larg. : 0,85 ?

\*Prof. : ?  
 \*Descri. : -LA gris.  
 \*Sur : 10228  
 \*n° photo-s : 2, 3, 214, 216, 227, 228  
 \*n° planche-s : 35

\*Hz/Us : 10228 \*TR : 8 \*Fait : FS10228 \*Type : composite (combl. + creus.) \*Ident. : fosse / four ?  
 \*Tech. fle : non-fouillé-e  
 \*Z sup. NGF : 158,65 \*Forme : indéterminée, décap. partiel / tronquée \*Profil : ?  
 \*Dim. max. obs. en m : \*Diam. : > 0,65 \*Prof. : ?  
 \*Descri. : -LA gris beige à jaune beige, frags. de parois / sole rubéfiés épars.  
 \*Sous : 10084; 10227  
 \*n° photo-s : 2, 3, 214, 216  
 \*n° planche-s : 35

\*Hz/Us : 10229 \*TR : 8 \*Fait : FS10229 \*Type : composite (combl. + creus.) \*Ident. : fosse  
 \*Tech. fle : non-fouillé-e  
 \*Z sup. NGF : 158,65 \*Forme : circulaire/ovale tronquée ? \*Profil : ?  
 \*Dim. max. obs. en m : \*Long. : > 1,3 \*larg. : > 0,65  
 \*Prof. : ?  
 \*Descri. : -LA gris à jaune beige.  
 \*Sous : 10084 \*Rel. indét. : 10215  
 \*n° photo-s : 2, 3, 211, 212, 214, 216, 224, 225, 226  
 \*n° planche-s : 35

\*Hz/Us : 11001 \*TR : 9 \*Fait : CN11001 \*Type : construite \*Ident. : canalisation en pierre / passage empierré  
 \*Rem. : Dans le fossé 11002.  
 \*Tech. fle : mécanique \*% fle : 30  
 \*Z sup. NGF : 157,7 \*Forme : linéaire \*Profil : évasé à vertical à fond plat  
 \*Dim. max. obs. en m : \*Long. : 8 \*larg. : 0,9 \*Prof. : 0,55  
 \*Descri. : \*-SD11003, coupe Nord : Z sup. sol actuel (11/2020) = 158,00 m NGF.  
 -env. 0,00-0,30 m : Labours.  
 \*-CN11001 / FO11002 :  
 -11001-A : Comblement interne du canal central (env. 0,2 m de "diamètre"), LA brun beige à jaunâtre.  
 -11001-B : Maçonnerie liée à la terre. Pierres silico-calcaires de chant ou empilées formant les bords/"piédroits", dalles / grosses pierres silico-calcaires (L < 0,9 m) plus ou moins plates formant la couverture.  
 -11001-C <=> 11002-A2 : Creusement / niveau d'installation de la CN11001 dans le FO11002.  
 -11002-B1 : Remblai d'AL/LA beige à jaunâtre.  
 -11002-B2 : Creusement initial conservé du FO11002 = fond à 157,00 m NGF.  
 \*-Encaissants :  
 -env. 0,30-0,60 m, II : Poches de LA beige bariolé, d'ALS brun orangé à jaunâtre et de cailloutis / petites pierres silico-calcaires anguleuses éparses avec petits graviers / sable grossier anguleux à arrondis épars à

abondants par endroits.  
 -env. > 0,60 m, III : Argile jaune orangée à marbrures grises, petit cailloutis anguleux épars à erratique, pierres silico-calcaires erratiques.  
 -env. 1,05 m : Fond du sondage.  
 \*Sur : 11002-B \*Synch : 11002-A  
 \*n° photo-s : 108, 109, 110, 111, 112, 113, 119, 120  
 \*n° planche-s : 4, 5

\*Hz/Us : 11002 \*TR : 9 \*Fait : FO11002 \*Ens. : SFO11002 \*Type : composite (combl. + creus.)  
 \*Ident. : fossé  
 \*Tech. fle : mécanique \*% fle : ?  
 \*Z sup. NGF : 157,8 \*Forme : linéaire \*Profil : évasé fond plat  
 \*Dim. max. obs. en m : \*Long. : > 20 \*larg. : 1,3  
 \*Prof. : 0,7  
 \*Descri. : \*-SD11003, coupe Nord : Voir 11001.  
 \*-SD11003, coupe Sud : Z sup. sol actuel (11/2020) = 157,95 m NGF.  
 -env. 0,00-0,30 m : Labours.  
 -11002-A1 : Comblement de LA gris à gris beige, pierres silico-calcaires éparses à erratiques (11001 remaniée ?).  
 -11002-A2 <=> 11003-C : Recreusement du FO11002 (P. : 0,5).  
 -11002-B1 : Remblai d'AL/LA beige à jaunâtre.  
 -11002-B2 : Creusement initial conservé du FO11002 (P. : 0,65) = fond à 157,00 m NGF.  
 \*Synch : 11001 \*Egal. : 11014 ? \*Rel. indét. : 11004; 11006  
 \*n° photo-s : 108, 109, 110, 111, 112, 113, 114, 119, 120  
 \*n° planche-s : 4, 5

\*Hz/Us : 11003 \*TR : 9 \*Fait : SD11003 \*Type : technique \*Ident. : sondage  
 \*Rem. : Sur la CN11001 et le FO11002.  
 \*Tech. fle : mécanique  
 \*Z sup. NGF : 158  
 \*Dim. max. obs. en m : \*Prof. : 1,05  
 \*Descri. : \*-SD11003, coupe Nord : Z sup. sol actuel (11/2020) = 158,00 m NGF.  
 -env. 0,00-0,30 m : Labours.  
 -env. 0,30-0,60 m, II : Poches de LA beige bariolé, d'ALS jaunâtre et de cailloutis / petites pierres silico-calcaires anguleuses éparses avec petits graviers / sable grossier anguleux à arrondis épars à abondants par endroits.  
 -env. > 0,60 m, III : Argile jaune orangée à marbrures grises, petits cailloutis anguleux épars à erratique, pierres silico-calcaires erratiques.  
 -env. 1,05 m : Fond du sondage.  
 \*n° photo-s : 108, 109, 110, 111, 112, 113, 114, 119, 120  
 \*n° planche-s : 4, 5

\*Hz/Us : 11004 \*TR : 9 \*Fait : FO11004 \*Ens. : SFO11004 \*Type : composite (combl. + creus.)  
 \*Ident. : fossé

\*Tech. file : non-fouillé-e  
 \*Z sup. NGF : 157,7 \*Forme : linéaire \*Profil : ?  
 \*Dim. max. obs. en m : \*Long. : > 7,1 \*larg. : 0,8  
 \*Prof. : ?  
 \*Descri. : -LA brun gris à gris beige, cailloutis épars à erratique.  
 \*Egal. : 11007 ? \*Rel. indé. : 11002  
 \*n° photo-s : 119, 120  
 \*n° planche-s : 4

\*Hz/Us : 11005 \*TR : 10 \*Fait : HZ11012 \*Type : comblement-s (positive) / ram. mob. \*Ident. : horizon stratigraphique  
 \*Rem. : 30 fragments de céramique modelée (177 g) et 1 éclat de silex taillé.  
 -Voir horizon/Us et ramassage similaire n° 11012 à env. 20 m plus à l'Est dans la TR11 : Hz/Us 11012-11019  
 \*Tech. file : mécanique  
 \*Z sup. NGF : 158,75 \*Forme : indéterminée, décap. partiel \*Profil : ?  
 \*Dim. max. obs. en m : \*Long. : > 8 \*larg. : > 3  
 \*Prof. : 0,3  
 \*Descri. : -LA beige à beige gris, sous labours (0,00-0,35 m), entre 0,35 m et 0,65 m (158,75 m à 158,45 m NGF) de profondeur depuis le sol actuel (159,10 m NGF).  
 \*Egal. : 11012; 11019  
 \*n° photo-s : 243  
 \*n° planche-s : 9

\*Hz/Us : 11006 \*TR : 10 \*Fait : FO11006 \*Ens. : SFO11006 \*Type : composite (combl. + creus.)  
 \*Ident. : fossé  
 \*Tech. file : non-fouillé-e  
 \*Z sup. NGF : 158,15 \*Forme : linéaire \*Profil : ?  
 \*Dim. max. obs. en m : \*Long. : > 6,7 \*larg. : 1,15  
 \*Prof. : ?  
 \*Descri. : -LA brun beige.  
 \*Egal. : 11021 ? \*Rel. indé. : 11002

\*Hz/Us : 11007 \*TR : 10 \*Fait : FO11007 \*Ens. : SFO11004 \*Type : composite (combl. + creus.)  
 \*Ident. : fossé  
 \*Tech. file : non-fouillé-e  
 \*Z sup. NGF : 157,95 \*Forme : linéaire \*Profil : ?  
 \*Dim. max. obs. en m : \*Long. : > 3,6 \*larg. : 0,8  
 \*Prof. : ?  
 \*Descri. : -LA brun gris à gris beige..  
 \*Egal. : 11004 ?  
 \*n° photo-s : 219  
 \*n° planche-s : 6

\*Hz/Us : 11008 \*TR : 10 \*Fait : PO11008 \*Type : composite (combl. + creus.) \*Ident. : fosse (trou de poteau?)  
 \*Rem. :  
 -\*Mobilier prélevés :  
 -3 éclats de silex taillé (32 g), 11008, moitié Ouest, fouille manuelle.  
 -Fragments de céramique modelée (500 g), 11008-A1,

2/3 Ouest, partie supérieure, fouille manuelle.  
 -"Meule" (2565 g), 11008-A2, tiers Est, fouille mécanique.  
 -2 haches polies (111 g et 398 g), posées "à plat", la plus petite "au-dessus" de l'autre, 11008-A1, 2/3 Ouest, 20 cm inférieurs (voir photo. : coupe n°189-191), fouille manuelle.  
 \*Tech. file : méc. + man. \*% file : 100  
 \*Z sup. NGF : 157,85 \*Forme : ovale \*Profil : parois évasées à verticales / fond plat  
 \*Dim. max. obs. en m : \*Long. : 0,85 \*larg. : 0,7  
 \*Prof. : 0,45 / 0,5  
 \*Descri. :  
 -\*Z. sup. sol actuel (11/2020) : 158,15 m NGF.  
 -env. 0,00-0,30 m : Labours.  
 \*-env. 0,30-0,75 m, PO11008 :  
 -11008-A : Négatif? (Diam. : 0,5 ; P. : 0,45).  
 -11008-A1 : LA gris à gris beige et charbons erratiques, poches de LA gris sombre et charbons épars, petites mottes.  
 -11008-A2 : Contre paroi SE / sur fond, 3 pierres de calage (1 gros éclat de grès facetté brut, moitié Ouest, L. : env. 0,5 ; 1 pierre silico-calcaire, en coupe, L. : env. 0,2 ; 1 frag. de pierre plate / "meule", moitié Est, voir étude par Cécile Monchablon).  
 -11008-B : Avant-trou? (0,85 X 0,7 X 0,5). LA beige, mottes/perturbations grisâtres avec charbons épars à erratiques.  
 \*-Encaissants :  
 -env. 0,30-0,60, I : LA/AL beige jaune à jaunâtre.  
 -env. > 0,60, II/III : Poches d'AL sableuse brun jaune avec cailloutis silico-calcaire anguleux épars, à ALS jaune foncé "vif" et petites pierres silico-calcaires éparses à erratiques.  
 -env. 0,85 m : Fond du sondage 11039.  
 \*Sous : 11026  
 \*n° photo-s : 188, 189, 190, 191, 217, 218, 219, 220, 238, 239, 240  
 \*n° planche-s : 6, 7

\*Hz/Us : 11009 \*TR : 10 \*Fait : FO11009 \*Type : composite (combl. + creus.) \*Ident. : fossé  
 \*Tech. file : non-fouillé-e  
 \*Z sup. NGF : 157,8 \*Forme : linéaire \*Profil : ?  
 \*Dim. max. obs. en m : \*Long. : > 4,6 \*larg. : 0,75  
 \*Prof. : ?  
 \*Descri. : -LA beige, lég. bariolé.  
 \*Rel. indé. : 11010

\*Hz/Us : 11010 \*TR : 10 \*Fait : FO11010 \*Type : composite (combl. + creus.) \*Ident. : fossé  
 \*Tech. file : non-fouillé-e  
 \*Z sup. NGF : 157,8 \*Forme : linéaire \*Profil : ?  
 \*Dim. max. obs. en m : \*Long. : > 5,5 \*larg. : 1,35  
 \*Prof. : ?  
 \*Descri. : -LA gris beige.  
 \*Egal. : 11047 ? \*Rel. indé. : 11009

\*Hz/Us : 11011 \*TR : 10 \*Fait : SD11011 \*Type : technique \*Ident. : sondage / fenêtre  
 \*Rem. : Réalisé par le "démineur" en raison d'un fort

signal magnétique.

-Voir échantillon de cailloutis 11049.

\*Tech. fle : mécanique

\*Z sup. NGF : 158,3

\*Dim. max. obs. en m : \*Prof. : 1

\*Descri. : \*-Z. sup. sol actuel (11/2020) : 158,10 m NGF.

-env. 0,00-0,30 m : Labours.

-env. 0,30-0,80 m, I : LA/AL beige jaune à jaunâtre (LP).

-env. > 0,80 m, II : Poches de cailloutis anguleux silico-calcaire (à forte résonnance magnétique ; voir 11049) et manganèse (très induré), argile sablonneuse jaunâtre.

-env. 1 m : Fond du sondage.

\*n° photo-s : 219

\*n° planche-s : 6

\*Hz/Us : 11012 \*TR : 10, 11 \*Fait : HZ11012

\*Type : comblement-s (positive) \*Ident. : horizon stratigraphique / ram. mob.

\*Rem. : Fond de "cuvette" / dépression ?

-Equivalut à 11005, à env. 20 m vers l'Ouest dans la TR10.

-Semble se poursuivre dans la TR.2 de Dupéré 2020 au Nord. Voir ramassage "mi 2.01"/TR2 dans DUPERE 2020 p. 142...

-Ramassage de mobilier 11012 : principalement de céramique modelée (env. 100 fragments pour 1,8 kg), à l'extrémité NO de la TR11, sur env. 8 m par 8 m et 0,3 m à 0,6 m sous labours. Risques d'interférence avec le fossé 11032 et la fosse 11033.

-Voir SD11034.

\*Tech. fle : mécanique \*% fle : ?

\*Z sup. NGF : 159 \*Forme : indéterminée, décap. partiel \*Profil : cuvette, bords très évasés

\*Dim. max. obs. en m : \*Long. : > 38,5 \*larg. : > 17

\*Prof. : 0,3

\*Descri. :

\*-SD11030, centre de la coupe NNO : Z sup. sol actuel (11/2020) = 159,25 m NGF.

-env. 0,00-0,30 m : Labours.

-env. 0,30-0,45 m, 11012-A : Limon peu argileux beige, tessons modelés épars à erratiques.

-env. 0,45-0,60 m, 11012-B : LA brun gris lég. bariolé, tessons modelés épars à erratiques.

-env. 0,60-0,80 m, Hz-I-a/b : LP, LA/AL beige à brun orangé à blanchi, avec petites glosses venant de 11012.

-env. > 0,80 m, Hz-I-c : LP, LA/AL jaunâtre.

-env. 0,95 m : Fond du sondage.

\*-SD11034, coupe SO, au niveau du FO11032 : Z sup. sol actuel (11/2020) = 159,05 m NGF.

-env. 0,00-0,30 m : Labours.

-env. 0,30-0,55 m, 11012 = 11019 : Limon peu argileux / LA beige gris à beige.

-env. > 0,55, I : LP, LA/AL brun orangé à jaunâtre.

\*Sur : 11033 \*Egal. : 11005; 11019 \*Rel. indét. : 11032

\*n° photo-s : 92, 93, 94, 95, 96, 97, 98, 99, 100, 101, 102, 103, 104, 194, 195, 242, 248

\*n° planche-s : 9, 10, 11, 12

\*Hz/Us : 11013 \*TR : 12 \*Fait : FT11013 \*Type : composite (combl. + creus.) \*Ident. : creusement indéterminé

\*Tech. fle : non-fouillé-e

\*Z sup. NGF : 157,7 \*Forme : oblongue \*Profil : ?

\*Dim. max. obs. en m : \*Long. : > 3,6 \*larg. : 1,5

\*Prof. : ?

\*Descri. : -LA beige à blanchi lég. bariolé, petit cailloutis épars, rares petites pierres silico-calcaires et petites mottes gris noirâtre.

\*n° photo-s : 117, 118

\*n° planche-s : 2

\*Hz/Us : 11014 \*TR : 12 \*Fait : FO11014 \*Ens. : SFO11002 \*Type : composite (combl. + creus.)

\*Ident. : fossé

\*Rem. : Semble se poursuivre dans la TR12 de Giorgi C. 2012, à environ 13 m plus au Sud (GIORGI 2013 p. 51 fig. 19).

\*Tech. fle : mécanique \*% fle : ?

\*Z sup. NGF : 157,55 \*Forme : linéaire \*Profil : cuvette

\*Dim. max. obs. en m : \*Long. : > 6,5 \*larg. : 1,3

\*Prof. : 0,35

\*Descri. : -LA gris beige lég. bariolé, rares petites pierres silico-calcaires.

\*Egal. : 11002 ?

\*n° photo-s : 116

\*n° planche-s : 2

\*Hz/Us : 11015 \*TR : 12 \*Fait : FO11015 \*Type : composite (combl. + creus.) \*Ident. : fossé

\*Rem. : Semble parallèle au FO11014 situé à env. 7,5 m à l'Est.

-Au centre, sur bord Ouest, coupelle sigillée Drag. 35/36 fragmentée et érodée, mais presque entière, entre 157,25 m et 157,15 m NGF (milieu Ier-milieu IIe s. ap. J.-C.).

\*Tech. fle : mécanique \*% fle : ?

\*Z sup. NGF : 157,4 \*Forme : linéaire \*Profil : cuvette

\*Dim. max. obs. en m : \*Long. : > 6,3 \*larg. : 0,9

\*Prof. : 0,3

\*Descri. : -LA gris beige lég. bariolé, rares petites pierres silico-calcaires.

\*Rel. indét. : 11014; 11018

\*n° photo-s : 115, 254, 255

\*n° planche-s : 3

\*Hz/Us : 11016 \*TR : 12 \*Fait : OR11016 \*Type : composite (combl. + creus.) \*Ident. : ornière

\*Rem. : Surdécapée dans la Fen. 12-D.

\*Tech. fle : mécanique \*% fle : ?

\*Z sup. NGF : 157 \*Forme : linéaire \*Profil : cuvette

\*Dim. max. obs. en m : \*Long. : > 3,5 \*larg. : 1

\*Prof. : > 0,2

\*Descri. : -LA beige gris à gris, rares charbons. Dans le sens des labours.

\*Hz/Us : 11017 \*TR : 09, 12, 13, 16 \*Fait : EX11017

\*Ens. : TRC10001 \*Type : composite (combl. + creus.)

\*Ident. : tranchée / réseau contemporain-e

\*Rem. :-TRC10001 = 11017 : Tranchée récente tout le long du bord ouest de l'emprise.

-Longueur > 366 m ; largeur du creusement central > 8,3 m ; P. > 1,5 m.

-Comblée par des remblais d'argiles jaunâtres à rougeâtres remaniées, tronquant, mais aussi recouvrant en partie, les vestiges archéologiques conservés.

-Recouverte par des labours récents.

-En Zone Nord, emplacement de la fouille de sauvetage AAC-CEA de Daniel Giganon en mai 1993.

\*Tech. fle : non-fouillé-e

\*Z sup. NGF : 158,5

\*Descri. : -Remblais d'argiles rougeâtres à jaunâtres sous labours récents.

\*Egal. : 10001

\*Hz/Us : 11018 \*TR : 13 \*Fait : FO11018 \*Type : composite (combl. + creus.) \*Ident. : fossé

\*Tech. fle : non-fouillé-e

\*Z sup. NGF : 157,55 \*Forme : linéaire \*Profil : ?

\*Dim. max. obs. en m : \*Long. : > 5,8 \*larg. : 0,8

\*Prof. : ?

\*Descri. : -LA brun gris à brun beige.

\*Rel. indét. : 11015

\*n° planche-s : 4

\*Hz/Us : 11019 \*TR : 10, 11 \*Fait : HZ11012 \*Type : DOUBLON \*Ident. : horizon stratigraphique / ram. mob.

\*Rem. : 11019 = 11012 : fond de "cuvette" / dépression ?

-Equivalut à 11005, à env. 20 m vers l'Ouest dans la TR10.

-Semble se poursuivre dans la TR.2 de Dupéré 2020 au Nord. Voir ramassage "mi 2.01"/TR2 dans DUPERE 2020 p. 142...

-Ramassage de mobilier 11012, principalement de céramique modelée (env. 100 fragments pour 1,8 kg), à l'extrémité NO de la TR11, sur env. 8 m par 8 m et 0,3 m à 0,6 m sous labours. Risques d'interférence avec le fossé 11032 et la fosse 11033.

-Voir SD11034.

\*Tech. fle : mécanique \*% fle : ?

\*Z sup. NGF : 159 \*Forme : indéterminée, décap. partiel \*Profil : cuvette, bords très évasés

\*Dim. max. obs. en m : \*Long. : > 38,5 \*larg. : > 17

\*Prof. : 0,3

\*Descri. :

\*-SD11030, centre de la coupe NNO : Z sup. sol actuel (11/2020) = 159,25 m NGF.

env. 0,00-0,30 m : Labours.

-env. 0,30-0,45 m, 11012-A : Limon peu argileux beige, tessons modelés épars à erratiques.

-env. 0,45-0,60 m, 11012-B : LA brun gris lég. bariolé, tessons modelés épars à erratiques.

-env. > 0,60, I : LP, LA/AL beige/brun orangé à jaunâtre.

-env. 0,8/0,9 m : Fond du sondage.

\*-SD11034, coupe SO, au niveau du FO11032 : Z sup.

sol actuel (11/2020) = 159,05 m NGF.

-env. 0,00-0,30 m : Labours.

-env. 0,30-0,55 m, 11012 = 11019 : Limon peu argileux / LA beige gris à beige.

-env. > 0,55, I : LP, LA/AL brun orangé à jaunâtre.

\*Sur : 11033 \*Egal. : 11005; 11012 \*Rel. indét. : 11032

\*n° photo-s : 92, 93, 94, 95, 96, 97, 98, 99, 101, 102, 103, 104

\*n° planche-s : 9, 10, 11, 12

\*Hz/Us : 11020 \*TR : 11 \*Fait : FS11020 \*Type : composite (combl. + creus.) \*Ident. : fosse

\*Tech. fle : mécanique \*% fle : 50

\*Z sup. NGF : 158,65 \*Forme : ovale \*Profil : vertical/évasé à fond plat/arrondi

\*Dim. max. obs. en m : \*Long. : 1,2 \*larg. : 0,9

\*Prof. : 0,25

\*Descri. :

-11020-a : LA brun beige, rares frags. de terre rubéfiée et charbons.

-11020-b : Liseré charbonneux, cailloutis et frags rubéfiés erratiques.

-11020-c : Mottes de LA brun jaune et d'AL jaune "vif".

\*Sur : 11041

\*n° photo-s : 192, 193

\*n° planche-s : 9, 13

\*Hz/Us : 11021 \*TR : 11 \*Fait : FO11021 \*Ens. : SFO11006 \*Type : composite (combl. + creus.)

\*Ident. : fossé

\*Tech. fle : non-fouillé-e

\*Z sup. NGF : 157,65 \*Forme : linéaire \*Profil : ?

\*Dim. max. obs. en m : \*Long. : > 5,8 \*larg. : 1,6

\*Prof. : ?

\*Descri. : -LA brun beige, rares petites pierres / cailloutis.

\*Sur : 11041; 11042; \*Egal. : 11006 ?

\*n° photo-s : 193

\*n° planche-s : 9

\*Hz/Us : 11022 \*TR : 11 \*Fait : FT11022 \*Type : composite (combl. + creus.) \*Ident. : fossé ?

\*Tech. fle : non-fouillé-e

\*Z sup. NGF : 158,20 ? \*Forme : linéaire \*Profil : ?

\*Dim. max. obs. en m : \*Long. : > 3,65 \*larg. : 0,9

\*Prof. : ?

\*Descri. : -LA beige à gris brun, rares petites pierres silico-calcaires.

\*Hz/Us : 11023 \*TR : 14 \*Type : ramassage mobilier

\*Rem. : 1 morceau de terre chauffée / cuite (49 g) dans limons des plateaux ou fait non perçu ?

\*Tech. fle : mécanique

\*Z sup. NGF : 158,95

\*Descri. : -Sous labours (0,00-0,35 m), à 0,6 m (158,55 m NGF) de profondeur depuis le sol actuel (159,15 m NGF).

\*Hz/Us : 11024 \*TR : 14 \*Fait : FS11024 \*Type : composite (combl. + creus.) \*Ident. : fosse de plantation contemporaine  
 \*Tech. fle : non-fouillé-e  
 \*Z sup. NGF : 158,35 \*Forme : quadrangulaire  
 \*Profil : ?  
 \*Dim. max. obs. en m : \*Long. : 0,85 \*larg. : 0,85  
 \*Prof. : ?  
 \*Descri. : -Limon beige à blanchi.  
 \*n° planche-s : 8

\*Hz/Us : 11025 \*TR : 14 \*Fait : FS11025 \*Type : composite (combl. + creus.) \*Ident. : fosse  
 \*Tech. fle : mécanique \*% fle : 100  
 \*Z sup. NGF : 158,35 \*Forme : ovale \*Profil : parois verticales à évasées, fond concave à irrégulier  
 \*Dim. max. obs. en m : \*Long. : 4,75 \*larg. : 4,2  
 \*Prof. : 0,7  
 \*Descri. :  
 -11025-a : Litages de LA beige à beige blanchi.  
 -11025-b : Sur fond et départ des parois, LA gris à gris beige avec plages de charbons et/ou gros fragments de terre chauffée / rubéfiée épars à abondants.  
 \*n° photo-s : 87, 89, 90, 91  
 \*n° planche-s : 8

\*Hz/Us : 11026 \*TR : 10, 11, 12, 14 \*Fait : DR11026  
 \*Type : composite (combl. + creus.) \*Ident. : drain contemporain  
 \*Tech. fle : mécanique  
 \*Dim. max. obs. en m : \*Long. : > 116,5 \*larg. : 0,5  
 \*Prof. : > 0,55  
 \*Descri. : -Mottes de terre végétale ancienne et d'argile jaunâtre.  
 \*Sur : 11008  
 \*n° photo-s : 188, 189, 190, 191, 217, 218, 219, 220  
 \*n° planche-s : 7, 8

\*Hz/Us : 11027 \*TR : 15 \*Type : ramassage mobilier  
 \*Rem. : 1 fragment ferreux (10 g) dans limons des plateaux ou fait non perçu ?  
 \*Tech. fle : mécanique  
 \*Z sup. NGF : 158,95  
 \*Descri. : -Sous labours (0,00-0,35 m), à 0,55 m (158,60 m NGF) de profondeur depuis le sol actuel (159,15 m NGF).  
 \*n° photo-s : 248

\*Hz/Us : 11028 \*TR : 16, 17 \*Fait : FO11028 \*Type : composite (combl. + creus.) \*Ident. : fossé  
 \*Tech. fle : non-fouillé-e  
 \*Z sup. NGF : 157,7 \*Forme : linéaire \*Profil : ? (arasé ?)  
 \*Dim. max. obs. en m : \*Long. : > 20,5 \*larg. : 0,9  
 \*Prof. : ?  
 \*Descri. : -LA beige.

\*Hz/Us : 11029 \*TR : 11 \*Fait : FS11029 \*Type : composite (combl. + creus.) \*Ident. : fosse de plantation contemporaine

\*Tech. fle : non-fouillé-e  
 \*Z sup. NGF : 158,8 \*Forme : rectangulaire \*Profil : ?  
 \*Dim. max. obs. en m : \*Long. : 1,05 \*larg. : 1  
 \*Prof. : ?  
 \*Descri. : -Limon beige à blanchi.  
 \*Sur : 11012  
 \*n° photo-s : 105, 106, 107  
 \*n° planche-s : 9

\*Hz/Us : 11030 \*TR : 11 \*Fait : SD11030 \*Type : technique \*Ident. : sondage  
 \*Rem. : Extrémité NO de la TR11, Fen. 11-A/B, sondage profond sur l'HZ110012 = 11019.  
 \*Tech. fle : mécanique  
 \*Z sup. NGF : 159,3  
 \*Dim. max. obs. en m : \*Prof. : 0,95  
 \*Descri. : \*-SD11030, centre de la coupe NNO : Z sup. sol actuel (11/2020) = 159,25 m NGF.  
 -env. 0,00-0,30 m : Labours.  
 -env. 0,30-0,45 m, 11012-A : Limon peu argileux beige, tessons modelés épars à erratiques.  
 -env. 0,45-0,60 m, 11012-B : LA brun gris lég. bariolé, tessons modelés épars à erratiques.  
 -env. 0,60-0,80 m, Hz-I-a/b : LP, LA/AL beige à brun orangé à blanchi, avec petites glosses venant de 11012.  
 -env. > 0,80 m, Hz-Ic : LP, LA/AL jaunâtre.  
 -env. 0,95 m : Fond du sondage.  
 \*n° photo-s : 95, 96, 97, 98, 99, 100, 101, 102, 103, 104, 105, 106, 107  
 \*n° planche-s : 9, 10

\*Hz/Us : 11031 \*TR : 11 \*Fait : FT11031 \*Type : composite (combl. + creus.) ? \*Ident. : creusement indéterminé ? / anomalie ?  
 \*Rem. : Vu sous l'HZ11012 = 11019, à environ 0,65 m de prof. dans le SD11030.  
 -Douteux...  
 \*Tech. fle : mécanique \*% fle : 50  
 \*Z sup. NGF : 158,60 ? \*Forme : subcirculaire  
 \*Profil : irrégulier  
 \*Dim. max. obs. en m : \*Diam. : 0,75 \*Prof. : 0,15/0,2 ?  
 \*Descri. : -LA beige.  
 \*Sous : 11012 ?  
 \*n° planche-s : 9

\*Hz/Us : 11032 \*TR : 11 \*Fait : FO11032 \*Type : composite (combl. + creus.) \*Ident. : fossé  
 \*Rem. : Vu sous l'HZ11012 = 11019, mais relation incertaine.  
 -En coupe dans les sondages 11030, 11034 et 11044. Fond entre 158,35 m au NNE et 158,20 m NGF au SSO.  
 \*Tech. fle : mécanique \*% fle : ?  
 \*Z sup. NGF : 158,75 ? \*Forme : linéaire \*Profil : évasé fond plat à arrondi  
 \*Dim. max. obs. en m : \*Long. : > 15 \*larg. : 1,4  
 \*Prof. : 0,4 (sous 11012)  
 \*Descri. : -LA beige à gris clair, mottes brun orangé à jaunâtres éparses à abondantes.

\*Rel. indét. : 11012

\*n° photo-s : 94, 95, 96, 97, 99, 101, 102, 103, 104, 105, 106, 107, 194, 195

\*n° planche-s : 9, 10, 11, 12

\*Hz/Us : 11033 \*TR : 11 \*Fait : FS11033 \*Type : composite (combl. + creus.) \*Ident. : fosse

\*Rem. : Vue sous l'HZ11012 = 11019, à environ 0,45/0,5 m de prof. depuis le sol actuel.

\*Tech. fle : mécanique \*% fle : 50

\*Z sup. NGF : 159,6 \*Forme : ovalaire \*Profil : évasé fond arrondi

\*Dim. max. obs. en m : \*Long. : 0,7 \*larg. : 0,6

\*Prof. : 0,1 (sous 11012)

\*Descri. : -LA brun à brun gris, tessons modelés, frags de grès chauffés et charbons épars à erratiques.

\*Sous : 11012 ?

\*n° photo-s : 101, 102, 103, 104, 194, 195, 243

\*n° planche-s : 9, 11

\*Hz/Us : 11034 \*TR : 11 \*Fait : SD11034

\*Type : technique \*Ident. : Sondage profond/profil sédimentaire

\*Rem. : Profil sédimentaire / géologique, extrémité NO de la TR11.

\*Tech. fle : mécanique

\*Z sup. NGF : 159,05

\*Dim. max. obs. en m : \*Prof. : 2,8

\*Descri. : \*-SD11034, coupe SO (hors 11012 = 11019) : Z. sup. sol actuel (11/2020) = 159,05 m NGF. -env. 0,00-0,30 m : Labours.

-env. 0,30-0,60 m, Hz I-a/b : LA beige orangé (Ia) à brun orangé (Ib), traces de racines, rares petits cailloux anguleux.

-env. 0,60-1,10 m, Hz I-c : LA/AL jaune pâle à jaune beige, petites inclusions calcaires blanches erratiques.

-env. 1,10-1,40 m, Hz II-a : AL brun jaune, poches fréquentes de cailloutis / petites pierres silico-calcaires anguleux et petits graviers / sable grossier anguleux à arrondis épars à abondants.

-env. 1,40-2,10 m, Hz II-b : ALS jaune foncé, rares petites inclusions calcaires et petit cailloutis.

-env. 2,10, 2,45 m, Hz II-c : Limites irrégulières, interface II-b (ALS jaune) et III (Ag sableuse rouge à jaune orangé) avec cailloutis silico-calcaire anguleux épars à abondant.

-env. > 2,45 m, Hz III : Sable argileux (gros grains roulés) rouge à jaune orangé, marbrures gris blanc.

-env. 2,80 m : Fond du Sondage.

\*n° photo-s : 92, 93, 94, 101, 102, 103, 104

\*n° planche-s : 9, 12

\*Hz/Us : 11035 \*TR : 12 \*Fait : SD11035 \*Type : technique \*Ident. : sondage

\*Rem. : Sur le fossé 11014, Fen. 12-B.

\*Tech. fle : mécanique

\*Z sup. NGF : 157,85

\*Dim. max. obs. en m : \*Prof. : 0,95

\*n° photo-s : 116

\*n° planche-s : 2

\*Hz/Us : 11036 \*TR : 12 \*Fait : SD11036 \*Type : technique \*Ident. : sondage

\*Rem. : Sur le fossé 11015, Fen. 12-C.

\*Tech. fle : mécanique

\*Z sup. NGF : 157,7

\*Dim. max. obs. en m : \*Prof. : 0,75

\*n° photo-s : 115

\*n° planche-s : 3

\*Hz/Us : 11037 \*TR : 14 \*Fait : SD11037 \*Type : technique \*Ident. : sondage

\*Rem. : Sur la grande fosse 11025 et profil sédimentaire.

\*Tech. fle : mécanique

\*Z sup. NGF : 158,7

\*Dim. max. obs. en m : \*Prof. : 1,65

\*Descri. : \*-SD11037, coupe SO : Z. sup. sol actuel (11/2021) = 158,70 m NGF.

\*-Profil sédimentaire / géologique :

-env. 0,00-0,30 m : Labours.

-env. 0,30-0,55 m, Hz-Ia : LA beige à brun jaune (LP).

-env. 0,55-0,90 m, Hz-Ib/c : LA/AL brun orangé à jaunâtre (LP).

-env. 0,90-1,10 m, Hz II-a : Limites irrégulières, AL brun jaune, poches fréquentes de cailloutis / petites pierres silico-calcaires anguleux et petits graviers / sable grossier anguleux à arrondis épars à abondants.

-env. > 1,10 m, Hz II-b : Limite supérieure irrégulière, ALS jaune vif à foncé, rares petites inclusions calcaires et petit cailloutis.

-env. 1,65 m : Fond du sondage.

\*n° photo-s : 87, 88, 89, 90, 91

\*n° planche-s : 8

\*Hz/Us : 11038 \*TR : 09, 16 \*Fait : FO11038 \*Type : composite (combl. + creus.) \*Ident. : fossé

\*Tech. fle : non-fouillé-e

\*Z sup. NGF : 158,3 \*Forme : linéaire \*Profil : ?

\*Dim. max. obs. en m : \*Long. : > 33 \*larg. : 0,7

\*Prof. : ?

\*Descri. : -LA beige gris.

\*Hz/Us : 11039 \*TR : 10 \*Fait : SD11039 \*Type : technique \*Ident. : sondage

\*Rem. : Sur le PO11008 et le drain 11026.

\*Tech. fle : méc. + man.

\*Z sup. NGF : 157,7

\*Dim. max. obs. en m : \*Prof. : 0,4

\*Descri. :

\*-SD11039, coupe OSO : Z. sup. sol actuel (11/2020) = 158,15 m NGF.

-env. 0,00-0,30 m : Labours.

\*-env. 0,30-0,75 m, PO11008 :

\*-11008-A : Négatif? (Diam. : 0,5 ; P. : 0,45).

-11008-A1 : LA gris à gris beige, petites mottes beige jaunâtre éparses, charbons épars.

-11008-A2 : Contre paroi SE / sur fond, 3 pierres de calage (1 gros éclat de grès facetté brut, moitié Ouest, L. : env. 0,6 ; 1 pierre silico-calcaire, en coupe, L. : env. 0,2 ; 1 frag. de pierre plate / "meule", moitié Est, voir

étude par Cécile Monchablon).

\*-11008-B : Avant-trou? (0,85 X 0,7 X 0,45). LA beige, mottes/perturbations grisâtres avec charbons épars à erratiques.

\*-Encaissants :

-env. 0,30-0,60, I : LA/AL beige jaune à jaunâtre.

-env. > 0,60, II : AL/ALS jaune foncé "vif", cailloutis silico-calcaire anguleux et petites pierres silico-calcaires épars à erratiques.

-env. 0,85 m : Fond du sondage 11039.

\*n° photo-s : 188, 189, 190, 191, 217, 218, 219, 220

\*n° planche-s : 6, 7

\*Hz/Us : 11040 \*TR : 11 \*Fait : SD11040 \*Type : technique \*Ident. : sondage

\*Rem. : Sur 11020 et le fossé 11041.

\*Tech. fle : mécanique

\*Z sup. NGF : 158,5

\*Dim. max. obs. en m : \*Prof. : 0,4

\*n° photo-s : 193

\*n° planche-s : 9, 13

\*Hz/Us : 11041 \*TR : 11 \*Fait : FO11021 \*Type : composite (combl. + creus.) \*Ident. : fossé ?

\*Tech. fle : mécanique \*% fle : ?

\*Z sup. NGF : 158,65 \*Forme : linéaire \*Profil : évasé fond arrondi

\*Dim. max. obs. en m : \*Long. : > 3 \*larg. : 0,7

\*Prof. : 0,4

\*Descri. : -LA beige brun, lég. bariolé.

\*Sous : 11020; 11021

\*n° photo-s : 192, 193

\*n° planche-s : 9, 13

\*Hz/Us : 11042 \*TR : 11 \*Fait : FS11042 \*Type : composite (combl. + creus.) \*Ident. : fosse

\*Tech. fle : non-fouillé-e

\*Z sup. NGF : 157,65 \*Forme : circulaire, tronquée

\*Profil : ?

\*Dim. max. obs. en m : \*Diam. : 0,65 \*Prof. : > 0,2

\*Descri. : -LA brun beige, charbons et fragments rubéfiés épars à erratiques.

\*Sous : 11021

\*n° photo-s : 193

\*n° planche-s : 9

\*Hz/Us : 11043 \*TR : 11 \*Fait : SD11043 \*Type : technique \*Ident. : sondage

\*Rem. : Extrémité NO de la TR11, sondage sur 11033 et le fossé 11032.

\*Tech. fle : mécanique

\*Z sup. NGF : 158,55

\*Dim. max. obs. en m : \*Prof. : 0,4

\*n° photo-s : 194, 195

\*n° planche-s : 9, 11

\*Hz/Us : 11044 \*TR : 11 \*Fait : SD11044 \*Type : technique \*Ident. : sondage

\*Rem. : Extrémité NO de la TR11, sondage sur 11031 au fond du SD11030.

\*Tech. fle : mécanique

\*Z sup. NGF : 158,55

\*Dim. max. obs. en m : \*Prof. : 0,45

\*n° planche-s : 9

\*Hz/Us : 11045 \*TR : 9 \*Fait : FT11045 \*Type : composite (combl. + creus.) \*Ident. : fossé ?

\*Tech. fle : non-fouillé-e

\*Z sup. NGF : 158 \*Forme : linéaire courbe ? \*Profil : ?

\*Dim. max. obs. en m : \*Long. : > 7,7 ? \*larg. : 1,4 ?

\*Prof. : ?

\*Descri. : -LA beige à blanchi. Peu visible.

\*Hz/Us : 11046 \*TR : 10 \*Fait : FT11046 \*Type : composite (combl. + creus.) \*Ident. : creusement indéterminé / fossé ?

\*Tech. fle : non-fouillé-e

\*Z sup. NGF : 158,35 \*Forme : linéaire \*Profil : ?

\*Dim. max. obs. en m : \*Long. : > 5 \*larg. : 1,05

\*Prof. : ?

\*Descri. : -LA beige à blanchi.

\*Rel. indét. : 11045

\*Hz/Us : 11047 \*TR : 11 \*Fait : FT11047 \*Type : composite (combl. + creus.) \*Ident. : fossé ?

\*Tech. fle : non-fouillé-e

\*Z sup. NGF : 158,20 ? \*Forme : linéaire \*Profil : ?

\*Dim. max. obs. en m : \*Long. : > 4,25 \*larg. : 0,65

\*Prof. : ?

\*Descri. : -LA beige à blanchi.

\*Egal. : 11010 ?

\*Hz/Us : 11048 \*TR : 9 \*Type : ramassage mobilier

\*Rem. : 1 tesson modelé (10 g), sous labours, dans limons des plateaux ?

-Non localisé au sein de la tranchée de diagnostic.

\*Hz/Us : 11049 \*TR : 10 \*Type : prélèvement

\*Rem. : Voir SD110011.

-Echantillon de cailloutis géologique (2 pour 95 g)

entre 0,80 et 1 m sous le sol actuel dans le SD11011.

\*Tech. fle : mécanique

\*Z sup. NGF : 157,5

\*Descri. : \*-SD11011, Z. sup. sol actuel (11/2020) :

158,10 m NGF.

-env. 0,00-0,30 m : Labours.

-env. 0,30-0,80 m, I : LA/AL beige jaune à jaunâtre (LP).

-env. > 0,80 m, II : Poches de cailloutis anguleux silico-

calcaire (à forte résonance magnétique ; <=> 11049)

et manganèse (très induré), argile sablonneuse jaunâtre.

-env. 1 m : Fond du sondage.

\*n° photo-s : 248

\*n° planche-s : 6

## 4.2. Inventaire des faits par zone, type et n°

	Type Fait	n° Fait	Ident. Fait	n° Hz / Us	n° TR	n° Ens.	Type Hz / Us	Tech. File	% file
<b>ZONE NORD</b>									
nb	FAITS Zone Nord								
1	CH	10110	chablis	10110	3		comp.	non-fouillé	
2	CH	10126	chablis	10126	4		comp.	non-fouillé	
3	CH	10194	chablis	10194	3		comp.	non-fouillé	
4	CH	10195	chablis	10195	3		comp.	non-fouillé	
5	EX	10035	excavation	10035	2		comp.	mécanique	?
6	EX	10095	excavation	10095	8		comp.	nettoy. manu.	?
7	FO	10007	fossé	10007	1		comp.	sondé méca.	?
8	FO	10008	fossé	10008	1		comp.	sondé méca.	?
9	FO	10011	fossé	10011	1		comp.	sondé méca.	?
10	FO	10012	fossé-s	10012	1		comp.	sondé méca.	?
11	FO	10014	fossé	10014	1		comp.	sondé méca.	?
12	FO	10015	fossé	10015	1		comp.	non-fouillé	
13	FO	10023	fossé	10023	1		comp.	sondé méca.	?
14	FO	10024	fossé	10024	1		comp.	sondé méca.	?
15	FO	10033	fossé	10033	2		comp.	non-fouillé	?
16	FO	10034	fossé	10034	2		comp.	mécanique	?
17	FO	10038	fossé	10038	2		comp.	mécanique	?
18	FO	10043	fossé	10043	3		comp.	méca. partielle	?
19	FO	10044	fossé	10044	3		comp.	méca. partielle	?
			fossé	10190	3		doublon	méca. partielle	?
20	FO	10045	fossé	10045	3		comp.	non-fouillé	
21	FO	10065	fossé	10065	6		comp.	mécanique	?
22	FO	10071	fossé	10071	6		comp.	non-fouillé	
23	FO	10093	fossé	10093	8		comp.	non-fouillé	?
24	FO	10094	fossé	10094	8		comp.	non-fouillé	?
25	FO	10098	fossé	10098	1		comp.	non-fouillé	
26	FO	10104	fossé	10104	1		comp.	sondé méca.	?
27	FO	10105	fossé	10105	1		comp.	non-fouillé	
28	FO	10107	fossé	10107	1		comp.	sondé méca.	?
29	FO	10109	fossé	10109	3		comp.	sondé méca.	?
30	FO	10117	fossé	10117	1		comp.	sondé méca.	?
31	FO	10118	fossé	10118	1		comp.	non-fouillé	
32	FO	10123	fossé	10123	2		comp.	mécanique	?
33	FO	10134	fossé	10134	6		comp.	non-fouillé	
34	FO	10142	fossé	10142	20		comp.	mécanique	?
35	FO	10143	fossé	10143	18		comp.	non-fouillé	?
36	FO	10183	fossé	10183	2		comp.	mécanique	?
37	FO	10184	fossé	10184	2		comp.	non-fouillé	
38	FO	10185	fossé	10185	2		comp.	non-fouillé	
39	FO	10186	fossé	10186	2		comp.	non-fouillé	
40	FO	10198	fossé ?	10198	3		comp.	non-fouillé	
41	FO	10210	fossé	10210	1		comp.	non-fouillé	
42	FO	10219	fossé ?	10219	2		comp.	non-fouillé	
43	FR	10085	four	10085	07, 08		comp.	non-fouillé	

	Type Fait	n° Fait	Ident. Fait	n° Hz / Us	n° TR	n° Ens.	Type Hz / Us	Tech. File	% file
<b>ZONE NORD</b>									
44	FR	10218	fosse / four	10218	7		comp.	non-fouillé	
45	FS	10010	fosse	10009	1		doublon	mécanique	50
			fosse	10010	1		comp.	mécanique	50
46	FS	10018	fosse	10018	1		comp.	non-fouillé	
47	FS	10020	fosse	10020	1		comp.	non-fouillé	
48	FS	10021	fosse	10021	1		comp.	non-fouillé	
49	FS	10025	fosse	10025	1		comp.	non-fouillé	
50	FS	10026	fosse	10026	1		comp.	non-fouillé	
51	FS	10027	fosse	10027	1		comp.	non-fouillé	
52	FS	10032	fosse	10032	2		comp.	mécanique	?
53	FS	10037	fosse	10037	2		comp.	manuelle	20
54	FS	10046	fosse-s ?	10046	3		comp.	non-fouillé	
55	FS	10047	fosse	10047	3		comp.	non-fouillé	
56	FS	10048	fosse	10048	3		comp.	non-fouillé	
57	FS	10049	fosse / trou de poteau ?	10049	3		comp.	non-fouillé	
58	FS	10050	fosse	10050	3		comp.	non-fouillé	
59	FS	10056	fosse / trou de poteau ?	10056	4		comp.	mécanique	50
60	FS	10061	fosse ?	10061	4		comp.	non-fouillé	
61	FS	10066	fosse	10066	6		comp.	mécanique	50 ?
62	FS	10070	fosse	10070	6		comp.	manuelle	50
63	FS	10072	fosse	10072	6		comp.	non-fouillé	
64	FS	10073	fosse	10073	6		comp.	non-fouillé	
65	FS	10074	fosse	10074	6		comp.	non-fouillé	
66	FS	10075	fosse	10075	6		comp.	non-fouillé	
67	FS	10076	fosse	10076	6		comp.	non-fouillé	
68	FS	10077	fosse	10077	6		comp.	non-fouillé	
69	FS	10084	fosse	10084	07, 08		comp.	non-fouillé	
70	FS	10086	fosse	10086	7		comp.	non-fouillé	
71	FS	10087	fosse	10087	7		comp.	non-fouillé	
72	FS	10088	fosse	10088	7		comp.	non-fouillé	
73	FS	10089	fosse	10089	7		comp.	non-fouillé	
74	FS	10090	fosse	10090	7		comp.	non-fouillé	
75	FS	10127	fosse ?	10127	4		comp.	non-fouillé	
76	FS	10129	fosse	10129	7		comp.	non-fouillé	
77	FS	10133	fosse	10133	6		comp.	mécanique	?
78	FS	10138	fosse	10138	20		comp.	non-fouillé	
79	FS	10162	fosse	10162	1		comp.	non-fouillé	
80	FS	10163	fosse	10163	1		comp.	non-fouillé	
81	FS	10165	fosse	10165	20		comp.	non-fouillé	
82	FS	10167	fosse	10167	1		comp.	sondé méca.	50 ?
83	FS	10168	fosse	10168	1		comp.	non-fouillé	
84	FS	10169	fosse	10169	1		comp.	non-fouillé	
85	FS	10170	fosse	10170	1		comp.	non-fouillé	
86	FS	10171	fosse	10171	1		comp.	non-fouillé	
87	FS	10172	fosse	10172	1		comp.	non-fouillé	
88	FS	10180	fosse	10180	2		comp.	non-fouillé	
89	FS	10188	fosse ?	10188	3		comp.	mécanique	?
90	FS	10189	fosse ?	10189	3		comp.	mécanique	?
91	FS	10192	fosse ?	10192	3		comp.	mécanique	?
92	FS	10193	fosse ?	10193	3		comp.	non-fouillé	
93	FS	10209	fosse	10209	1		comp.	non-fouillé	
94	FS	10215	fosse	10215	8		comp.	non-fouillé	
95	FS	10226	fosse	10226	6		comp.	mécanique	?

	Type Fait	n° Fait	Ident. Fait	n° Hz / Us	n° TR	n° Ens.	Type Hz / Us	Tech. File	% file
<b>ZONE NORD</b>									
96	FS	10227	fosse	10227	8		comp.	non-fouillé	
97	FS	10228	fosse / four ?	10228	8		comp.	non-fouillé	
98	FS	10229	fosse	10229	8		comp.	non-fouillé	
99	FT	10017	creusement indéterminé	10017	1		comp.	non-fouillé	
100	FT	10057	creusement indéterminé	10057	4		comp.	mécanique	50
101	FT	10059	creusement indéterminé	10059	4		comp.	non-fouillé	
102	FT	10060	creusement indéterminé	10060	4		comp.	non-fouillé	
103	FT	10079	creusement indéterminé	10079	7		comp.	non-fouillé	
104	FT	10101	creusement indéterminé	10101	6		comp.	non-fouillé	
105	FT	10102	creusement indéterminé	10102	6		comp.	non-fouillé	
106	FT	10113	creusement indéterminé	10113	3		comp.	non-fouillé	
107	FT	10115	creusement indéterminé	10115	7		comp.	non-fouillé	
108	FT	10125	creusement indéterminé	10125	3		comp.	mécanique	50
109	FT	10139	creusement indéterminé	10139	20		comp.	non-fouillé	
110	FT	10140	creusement indéterminé	10140	20		comp.	mécanique	50
111	FT	10141	creusement indéterminé	10141	20		comp.	mécanique	50
112	FT	10145	creusement indéterminé	10144	18		n° décapage	mécanique	
			creusement indéterminé	10145	18		comp.	sondè méca.	?
113	FT	10155	creusement indéterminé	10155	1		comp.	non-fouillé	
114	FT	10196	creusement indéterminé	10196	3		comp.	non-fouillé	
115	FT	10212	creusement indéterminé	10212	6		comp.	non-fouillé	
116	FY	10214	four / foyer	10214	7		comp.	non-fouillé	
117	HZ	10157	horizon stratigraphique	10157	01, 06, , 07, 20		comblement-s (positive)	sondè méca.	?
118	HZ	10199	horizon stratigraphique	10199	03, 04		comp.	mécanique	?
119	PO	10002	trou de poteau ?	10002	1		comp.	non-fouillé	
120	PO	10003	trou de poteau ?	10003	1		comp.	non-fouillé	
121	PO	10004	trou de poteau	10004	1		comp.	sondè méca.	50 ?
122	PO	10006	trou de poteau	10006	1		comp.	sondè méca.	50 ?
123	PO	10016	trou de poteau ?	10016	1		comp.	non-fouillé	
124	PO	10019	trou de poteau	10019	1		comp.	non-fouillé	
125	PO	10028	trou de poteau	10028	1		comp.	sondè méca.	50
126	PO	10029	trou de poteau ?	10029	1		comp.	non-fouillé	
127	PO	10041	trou de poteau	10041	3		comp.	non-fouillé	
128	PO	10042	négatif de poteau	10042	3		comp.	non-fouillé	
129	PO	10051	trou de poteau	10051	3		comp.	non-fouillé	
130	PO	10052	trou de poteau ?	10052	3		comp.	non-fouillé	
131	PO	10053	trou de poteau ?	10053	3		comp.	non-fouillé	
132	PO	10058	trou de poteau	10058	4		comp.	mécanique	65
133	PO	10062	trou de poteau	10062	4		comp.	mécanique	50
134	PO	10064	trou de poteau	10064	5		comp.	mécanique	50
135	PO	10067	trou de poteau	10067	6		comp.	non-fouillé	
136	PO	10068	trou de poteau ?	10068	6		comp.	non-fouillé	
137	PO	10080	trou de poteau	10080	7		comp.	non-fouillé	
138	PO	10081	trou de poteau	10081	7		comp.	non-fouillé	
139	PO	10083	trou de poteau ?	10083	7		comp.	non-fouillé	
140	PO	10091	trou de poteau	10091	7		comp.	non-fouillé	
141	PO	10097	trou de poteau	10097	1		comp.	mécanique	50
142	PO	10103	trou de poteau ?	10103	1		comp.	non-fouillé	
143	PO	10108	trou de poteau ?	10108	1		comp.	non-fouillé	
144	PO	10111	trou de poteau	10111	3		comp.	non-fouillé	
145	PO	10112	trou de poteau	10112	3		comp.	non-fouillé	
146	PO	10114	trou de poteau	10114	3		comp.	non-fouillé	

	Type Fait	n° Fait	Ident. Fait	n° Hz / Us	n° TR	n° Ens.	Type Hz / Us	Tech. File	% file
<b>ZONE NORD</b>									
147	PO	10116	trou de poteau ?	10116	7		comp.	non-fouillé	
148	PO	10119	trou de poteau ?	10119	1		comp.	non-fouillé	
149	PO	10120	trou de poteau ?	10120	1		comp.	non-fouillé	
150	PO	10121	trou de poteau ?	10121	1		comp.	non-fouillé	
151	PO	10128	trou de poteau ?	10128	4		comp.	mécanique	50
152	PO	10130	trou de poteau	10130	6		comp.	non-fouillé	
153	PO	10131	fosse / trou de poteau ?	10131	6		comp.	non-fouillé	
154	PO	10132	trou de poteau ?	10132	6		comp.	non-fouillé	
155	PO	10135	trou de poteau	10135	18		comp.	non-fouillé	?
156	PO	10136	trou de poteau	10136	19		comp.	mécanique	50
157	PO	10137	fosse / trou de poteau ?	10137	20		comp.	non-fouillé	
158	PO	10153	trou de poteau	10153	1		comp.	non-fouillé	
159	PO	10161	trou de poteau	10161	1		comp.	non-fouillé	
160	PO	10164	trou de poteau ?	10164	1		comp.	non-fouillé	
161	PO	10191	trou de poteau ?	10191	3		comp.	mécanique	?
162	PO	10200	trou de poteau	10200	5		comp.	non-fouillé	
163	PO	10211	trou de poteau	10211	6		comp.	non-fouillé	?
164	PO	10213	trou de poteau ?	10213	7		comp.	non-fouillé	
165	PO	10216	trou de poteau ?	10216	7		comp.	non-fouillé	
166	PO	10217	trou de poteau ?	10217	7		comp.	non-fouillé	
167	PO	10220	trou de poteau	10220	3		comp.	non-fouillé	
168	PO	10224	trou de poteau ?	10224	8		comp.	non-fouillé	
169	PO	10225	trou de poteau	10225	6		comp.	non-fouillé	?
170	SP	10013	sépulture	10013	1		comp.	non-fouillé	
171	SP	10069	sépulture	10069	6		comp.	manuelle	100
172	SP	10099	sépulture	10099	1		comp.	manuelle	100
173	SP	10100	sépulture	10100	1		comp.	manuelle	100
174	SP	10106	sépulture	10106	1		comp.	non-fouillé	
<b>Faits contemporains Zone Nord</b>									
	EX	10001	tranchée contemp.	10001	1	TRC10001	comp.	mécanique	?
	EX	10031	tranch. contemp.	10031	2	TRC10001	doublon	test méca.	
	EX	10040	tranch. contemp.	10040	3	TRC10001	doublon	test méca.	
	EX	10055	tranch. contemp.	10055	4	TRC10001	doublon	test méca.	
	EX	10063	tranch. contemp.	10063	5	TRC10001	doublon	test méca.	
	FS	10078	fosse contemporaine	10078	7		comp.	non-fouillé	
	FS	10096	fosse contemporaine	10096	6		comp.	non-fouillé	
	OR	10092	ornière	10092	7		comp.	non-fouillé	
<b>Us techniques Zone Nord</b>									
1	CP	10203	coupe	10203	4		technique	mécanique	
2	SD	10147	sondage	10147	1		technique	mécanique	
3	SD	10148	sondage	10148	1		technique	mécanique	
4	SD	10149	sondage	10149	1		technique	mécanique	
5	SD	10150	sondage	10150	1		technique	mécanique	
6	SD	10151	sondage	10151	1		technique	mécanique	
7	SD	10152	sondage	10152	1		technique	mécanique	
8	SD	10154	sondage	10154	1		technique	mécanique	
9	SD	10158	sondage	10158	1		technique	mécanique	
10	SD	10159	sondage	10159	1		technique	mécanique	
11	SD	10160	sondage	10160	1		technique	mécanique	
12	SD	10173	sondage	10173	1		technique	mécanique	
13	SD	10174	sondage	10174	20		technique	mécanique	
14	SD	10175	sondage	10175	20		technique	mécanique	
15	SD	10176	sondage	10176	20		technique	mécanique	

	Type Fait	n° Fait	Ident. Fait	n° Hz / Us	n° TR	n° Ens.	Type Hz / Us	Tech. File	% file
<b>ZONE NORD</b>									
16	SD	10177	sondage	10177	6		technique	mécanique	
17	SD	10178	sondage	10178	6		technique	mécanique	
18	SD	10181	sondage	10181	2		technique	mécanique	
19	SD	10182	sondage	10182	2		technique	mécanique	
20	SD	10187	sdge/ram.	10187	2		ram. / cpe	mécanique	
21	SD	10197	sondage	10197	3		technique	mécanique	
22	SD	10201	sondage	10201	4		technique	mécanique	
23	SD	10202	sondage	10202	4		technique	mécanique	
24	SD	10204	sondage	10204	4		technique	mécanique	
25	SD	10205	sondage	10205	4		technique	mécanique	
26	SD	10206	sondage	10206	5		technique	mécanique	
27	SD	10207	sondage	10207	19		technique	mécanique	
28	SD	10208	sondage	10208	18		technique	mécanique	
29	SG	10166	surdéc./cpe	10166	1		technique	mécanique	
	SG	10179	surdécapage	10179	2		technique	mécanique	

	Type Fait	n° Fait	Ident. Fait	n° Hz / Us	n° TR	n° Ens.	Type Hz / Us	Tech. File	% file
<b>ZONE SUD</b>									
<b>FAITS Zone Sud</b>									
1	CN	11001	canalisation	11001	9		construite	mécanique	30
2	FO	11002	fossé	11002	9	SFO11002	comp.	mécanique	?
3	FO	11004	fossé	11004	9	SFO11004	comp.	non-fouillé	
4	FO	11006	fossé	11006	10	SFO11006	comp.	non-fouillé	
5	FO	11007	fossé	11007	10	SFO11004	comp.	non-fouillé	
6	FO	11009	fossé	11009	10		comp.	non-fouillé	
7	FO	11010	fossé	11010	10		comp.	non-fouillé	
8	FO	11014	fossé	11014	12	SFO11002	comp.	mécanique	?
9	FO	11015	fossé	11015	12		comp.	mécanique	?
10	FO	11018	fossé	11018	13		comp.	non-fouillé	
11	FO	11021	fossé	11021	11	SFO11006	comp.	non-fouillé	
12	FO	11021	fossé ?	11041	11		comp.	mécanique	?
13	FO	11028	fossé	11028	16, 17		comp.	non-fouillé	
14	FO	11032	fossé	11032	11		comp.	mécanique	?
15	FO	11038	fossé	11038	09, 16		comp.	non-fouillé	
16	FS	11020	fosse	11020	11		comp.	mécanique	50
17	FS	11025	fosse	11025	14		comp.	mécanique	100
18	FS	11033	fosse	11033	11		comp.	mécanique	50
19	FS	11042	fosse	11042	11		comp.	non-fouillé	
20	FT	11013	creusement indéterminé	11013	12		comp.	non-fouillé	
21	FT	11022	fossé ?	11022	11		comp.	non-fouillé	
22	FT	11031	creus. indét. ? / anom. ?	11031	11		comp. ?	mécanique	50
23	FT	11045	fossé ?	11045	9		comp.	non-fouillé	
24	FT	11046	creus. indét. / fossé ?	11046	10		comp.	non-fouillé	
25	FT	11047	fossé ?	11047	11		comp.	non-fouillé	
26	HZ	11012	Hz strati. / ram. Mob.	11005	10		combl./ram. mob.	mécanique	
			Hz strati. / ram. Mob.	11012	10, 11		combl.	mécanique	?
			Hz strati. / ram. Mob.	11019	10, 11		doublon	mécanique	?
27	PO	11008	fosse / trou de poteau?	11008	10		comp.	méc. + man.	100
<b>Faits contemporains Zone Sud</b>									
	DR	11026	drain contemporain	11026	10, 11, 12, 14		comp.	mécanique	
	EX	11017	tranch. contemp.	11017	09, 12, 13, 16	TRC10001	comp.	non-fouillé	
	FS	11024	fosse planta. contemp.	11024	14		comp.	non-fouillé	

	Type Fait	n° Fait	Ident. Fait	n° Hz / Us	n° TR	n° Ens.	Type Hz / Us	Tech. File	% file
<b>ZONE SUD</b>									
<b>FAITS Zone Sud</b>									
	FS	11029	fosse planta. contemp.	11029	11		comp.	non-fouillé	
	OR	11016	ornière	11016	12		comp.	mécanique	?
Us techniques Zone Sud									
1	SD	11003	sondage	11003	9		technique	mécanique	
2	SD	11011	sondage / fenêtre	11011	10		technique	mécanique	
3	SD	11030	sondage	11030	11		technique	mécanique	
4	SD	11034	Sondage profond	11034	11		technique	mécanique	
5	SD	11035	sondage	11035	12		technique	mécanique	
6	SD	11036	sondage	11036	12		technique	mécanique	
7	SD	11037	sondage	11037	14		technique	mécanique	
8	SD	11039	sondage	11039	10		technique	méc. + man.	
9	SD	11040	sondage	11040	11		technique	mécanique	
10	SD	11043	sondage	11043	11		technique	mécanique	
11	SD	11044	sondage	11044	11		technique	mécanique	

## 4.3. Inventaire technique et systématique du mobilier archéologique et prélèvements

(en orange : tuiles gallo-romaines)

N° Hz / Us	N° TR	N° SD	REMARQUE	CERAM. NT		CERAM. TOUR		Faune		scuel. hum.	Lithique		TUILES		Terre chauff. / torchis		Ferreux		Pierre / lapidaire		Pré-lèvements		n° parc.
				frags	g	frags	g	frags	g	nb	frags	g	frags	g	frags	g	frags	g	frags	g	frags	g	
10004	1		Risque d'interférences ?			2	3						1	103									AB631 (ex-588p)
10007	1							9	185				3	307									AB631 (ex-588p)
10008	1												2	358									AB631 (ex-588p)
10012	1					1	39																AB631 (ex-588p)
10012	1	10147	Ri ?			2	21																AB631 (ex-588p)
10012	1		Fen 01-A					4	116														AB631 (ex-588p)
10014	1					9	88	14	95				1	30									AB631 (ex-588p)
10022	1	10166	Ramassage			5	79	1	8														AB631 (ex-588p)
10024	1					1	24																AB631 (ex-588p)
10029	1					2	7																AB631 (ex-588p)
10035	2					2	13	4	4														AB631 (ex-588p)
10036	2		Ramassage			7	71	3	56								2	15					AB631 (ex-588p)
10036	2		Scorie / «culot»														1	944					AB631 (ex-588p)
10039	2		Sous labours. Sous le sol actuel : -35 à 60 cm	16	200																		AB631 (ex-588p)
10045	3							4	92				1	81									AB631 (ex-588p)
10046	3		Ramassage			3	47						1	26									AB631 (ex-588p)
10053	3					1	2																AB631 (ex-588p)
10054	3		Mobilier isolé : -55 cm sous le sol actuel							1	22												AB631 (ex-588p)

## ZONE NORD

(en orange : tuiles gallo-romaines)

N° Hz / Us	N° TR	N° SD	REMARQUE	CERAM. NT		CERAM. TOUR		Faune		squel. hum.	Lithique		TUILES		Terre chauff. / torchis		Ferreux		Pierre / lapidaire		Prélevements			
				frags	g	frags	g	frags	g	nb	frags	g	frags	g	frags	g	frags	g	frags	g	frags	g	frags	g
10056	4							2	15														AB631 (ex-588p)	
10066	6	10177	sédiment, int. céram.																			1	689	AB631 (ex-588p)
10066	6				33	457																	AB631 (ex-588p)	
10067	6				2	10	1	3															AB631 (ex-588p)	
10069	6									1													AB631 (ex-588p)	
10071	6		TR06-A-C		9	60	23	427															AB631 (ex-588p)	
10084	7				3	33	1	188															AB631 (ex-588p)	
10085	7				1	4																	AB631 (ex-588p)	
10095	8		Excavation / zone de pierres. RI drain et labours		12	66	87	1328					6	618									AB631 (ex-588p)	
10099	1									1													AB631 (ex-588p)	
10100	1		Fen. 01-A				1	70	1														AB631 (ex-588p)	
10104	1		Fen 01-A				4	45					1	190									AB631 (ex-588p)	
10106	1						1	10															AB631 (ex-588p)	
10107	1				1	6																	AB631 (ex-588p)	
10120	1										1	22											AB631 (ex-588p)	
10124	2				1	5																	AB631 (ex-588p)	
10136	19				5	23					1	10											AB631 (ex-588p)	
10140	20						1	2															AB631 (ex-588p)	
10143	18						2	15															AB631 (ex-588p)	
10146	18		Ramassage		2	13										1	17						AB631 (ex-588p)	

(en orange : tuiles gallo-romaines)

N° Hz / Us	N° TR	N° SD	REMARQUE	CERAM. NT		CERAM. TOUR		Faune		squel. num.	Lithique		TUILES		Terre chauff. / torchis		Ferreux		Pierre / lapidaire		Pré-lèvements		n° parc.
				frags	g	frags	g	frags	g	nb	frags	g	frags	g	frags	g	frags	g	frags	g	frags	g	
10156	1	10154	Mobilier isolé	1	36																		AB631 (ex-588p)
10163	1					1	7																AB631 (ex-588p)
10180	2												1	85									AB631 (ex-588p)
10183	2			5	82																		AB631 (ex-588p)
10184	2					2	98																AB631 (ex-588p)
10186	2							17	194											1	7720		AB631 (ex-588p)
10187	2	10187	HZ 10187-a	12	42					6	36												AB631 (ex-588p)
10193	3					1	5																AB631 (ex-588p)
10209	1		Fen 01-A			1	13																AB631 (ex-588p)
10221	1		Ramassage, Fen 01-A	2	29			74	938														AB631 (ex-588p)
10222	1		Ramassage	19	60																		AB631 (ex-588p)
10223	6		Ramassage			2	2																AB631 (ex-588p)
<b>ZONE SUD</b>																							
11005	10		Ramassage	30	177					1	18												AB635p (ex-588p)
11008	10		Charbons et sédiment pour C14																		1	139	AB635p (ex-588p)
11008	10		Hache polie, moitié ouest							1	111												AB635p (ex-588p)
11008	10		Hache polie, moitié ouest							1	398												AB635p (ex-588p)
11008	10		Moitié ouest	39	499					3	32												AB635p (ex-588p)
11008	10		Moitié Est, frag. «meule»																	1	2565		AB635p (ex-588p)
11012	11		Fen 11-A sous labours. <b>11012 RI 11032</b>			3	22									4	29			3	172		AB635p (ex-588p)



## 4.4. Inventaire des indices de datation

N° Hz / Us	N° TR	Ident.	critère-s de datation	remarque-s	CREUS./ FONDAT. TERMINUS POST QUEM	COMBL. TERMINUS POST QUEM	COMBL, TERMINUS ANTE QUEM
<b>ZONE NORD</b>							
10004	1	trou de poteau	céramique / RI ?	1 tesson	?	Bas Moyen Âge / moderne ?	?
10007	1	fossé	tuile	3 frags de tuile-s romaine-s	?	Gallo-romain	?
10008	1	fossé	tuile	2 frags de tuile-s romaine-s	?	Gallo-romain	?
10012-A	1	fossé	strati / céram.	sur FO10104 ; sous SP10100	Gallo-romain	Moyen-Âge ?	Moyen Âge (VI <sup>e</sup> -XII <sup>e</sup> s. ap. ?)
10012-B	1	fossé	céramique / RI ?	Relation incertaine avec 11012-A...	Moyen-Âge ?	XI <sup>e</sup> -XII <sup>e</sup> ap. ?	Idem ?
10013	1	sépulture	morphologie, localisation		Moyen Âge (VI <sup>e</sup> -XII <sup>e</sup> s. ap. ?)	Moyen Âge (VI <sup>e</sup> -XII <sup>e</sup> s. ap. ?)	Moyen Âge (VI <sup>e</sup> -XII <sup>e</sup> s. ap. ?)
10014	1	fossé	céramique	7 tessons	?	XII <sup>e</sup> s. ap.	?
10022	1	ramassage	céramique			XI <sup>e</sup> -XII <sup>e</sup> ap.	
10024	1	fossé	céramique	1 tesson	?	XII <sup>e</sup> -XIII <sup>e</sup> s. ap.	?
10029	1	trou de poteau ?	céramique	1 tesson	?	XI <sup>e</sup> -XII <sup>e</sup> s. ap.	?
10033	2	fossé	strati.	sur 10180	Gallo-romain	?	?
10035	2	excavation	céramique	1 tesson	?	XI <sup>e</sup> s. ap.	?
10036	2	ramassage	céramique			Moyen Âge à moderne	
10039	2	ramassage	céramique	16 frags.	?	Néolithique moyen	?
10045	3	fossé	tuile	1 frag de tuile romaine	?	Gallo-romain	?
10046	3	fosse-s	céramique	3 tessons	?	XI <sup>e</sup> -XII <sup>e</sup> s. ap.	?
10053	3	trou de poteau ?	céramique	1 tesson	?	XI <sup>e</sup> -XII <sup>e</sup> s. ap.	?
10054	3	ramassage	lithique	1 grattoir	?	Néolithique ?	?
10066	6	fosse	céramique	moitié de pot	?	VI <sup>e</sup> -VII <sup>e</sup> s. ap.	?
10067	6	Trou de poteau	céramique	1 tesson	?	Haut MoyenÂge	?
10069	6	sépulture	C14	Beta - 582729 : (95,4 %) 882-1016 cal ap. J.-C.	882-1016 ap. J.-C.	882-1016 ap. J.-C.	882-1016 ap. J.-C.
10071	6	fossé	céram. / strati.	9 tessons ; sous SP10069		Haut MoyenÂge	882-1016 ap. J.-C.
10084	7	fosse de four	céramique ; morphologie	2 tessons	Haut MoyenÂge	XI <sup>e</sup> -XII <sup>e</sup> s. ap.	XII <sup>e</sup> s. ap. ?
10085	7	four culinaire	céramique ; strati.	1 tesson ; synchrone avec 10084	Haut MoyenÂge	XI <sup>e</sup> -XII <sup>e</sup> s. ap. ?	XII <sup>e</sup> s. ap. ?
10095	8	excavation «empierrée»	céramique ; RI drain et labours	6 tessons	?	XI <sup>e</sup> -XII <sup>e</sup> s. ap.	?
10099	1	sépulture	C14	Beta - 582728 : (95,4 %) 663-866 cal ap. J.-C.	663-866 ap. J.-C.	663-866 ap. J.-C.	663-866 ap. J.-C.
10100	1	sépulture	morphologie, localisation, strati.	sur le FO10012	Moyen Âge (VI <sup>e</sup> -XII <sup>e</sup> s. ap. ?)	Moyen Âge (VI <sup>e</sup> -XII <sup>e</sup> s. ap. ?)	Moyen Âge (VI <sup>e</sup> -XII <sup>e</sup> s. ap. ?)
10104	1	fossé	tuile ; strati.	1 frag de tuile romaine ; sous 10012 et 10013	?	Gallo-romain	Moyen Âge (VI <sup>e</sup> -XII <sup>e</sup> s. ap. ?)
10106	1	sépulture	morphologie, localisation		Moyen Âge (VI <sup>e</sup> -XII <sup>e</sup> s. ap. ?)	Moyen Âge (VI <sup>e</sup> -XII <sup>e</sup> s. ap. ?)	Moyen Âge (VI <sup>e</sup> -XII <sup>e</sup> s. ap. ?)
10107	1	fossé	céramique	1 fond plat modelé	?	Protohistoire / antique	?
10120	1	trou de poteau ?	lithique	1 grattoir (Néolithique ?)	trou de poteau médiéval ?	?	?
10124	2	ramassage	céramique	1 frag. de panse modelée	?	?	?

N° Hz / Us	N° TR	Ident.	critère-s de datation	remarque-s	CREUS./ FONDAT. TERMINUS POST QUEM	COMBL. TERMINUS POST QUEM	COMBL. TERMINUS ANTE QUEM
10136	19	trou de poteau	céramique	1 frag. de panse modélée ; 1 silex	<i>trou de poteau médiéval ?</i>	?	?
10140	20	creus. indét.	céramique	1 tesson	?	<i>Antique ?</i>	?
10143	18	fossé	céramique	2 tessons	?	XV <sup>e</sup> -XVI <sup>e</sup> s. ap.	?
10146	18	ramassage	céramique	2 frags de panse-s modélée-s	?	?	?
10153	1	trou de poteau	strati.	sur 10007	Gallo-romain	?	?
10156	1	<i>ramassage</i>	<i>céramique</i>	<i>1 frag. de panse modélée</i>	?	?	?
10163	1	fosse	céramique	1 tesson	?	Carolingien	?
10180	2	fosse	tuile	1 frag. De tuile romaine	?	Gallo-romain	?
10183	2	fossé	céramique	1 tesson modelé	?	?	?
10184	2	fossé	céramique	2 tessons	?	Haut MoyenÂge	?
10187	2	<i>ramassage</i>	<i>céramique ; lithique</i>	<i>frags. de panse-s modélée-s ; 6 silex</i>		<i>Néo. ? / Proto. ?</i>	
10193	3	fosse ?	céramique	1 tesson	?	XI <sup>e</sup> -XII <sup>e</sup> s. ap.	?
10209	1	fosse	céramique	1 tesson	?	XI <sup>e</sup> -XII <sup>e</sup> s. ap.	?
10222	1	ramassage	céramique	19 petits tessons modelés	?	?	?
10223	6	ramassage	céramique	2 tessons	?	XI <sup>e</sup> s. ap.	?
<b>ZONE SUD</b>							
11001	9	canalisation	morphologie	facture gallo-romaine	<i>Gallo-romain ?</i>	<i>Gallo-romain ?</i>	<i>Gallo-romain ?</i>
11002	9	fossé	strati.	synchrone avec 11001	<i>Gallo-romain ?</i>	<i>Gallo-romain ?</i>	<i>Gallo-romain ?</i>
11005	10	HZ11012	céramique modelée	23 frags.	?	Protohistoire ?	?
11008	10	fosse (trou de poteau?)	C14 ; céram. ; haches polies	Beta - 582727 : (95,4 %) 3341-3031 cal av. J.-C.	Néolithique récent	Néolithique récent	Néolithique récent
11012	11	HZ11012 ; sédimentation / cuvette ?	céramique / <b>RI</b>	100 tessons modelés ; 2 tournés	<i>Hallstatt D3 / La Tène A ?</i>	?	XI <sup>e</sup> -XII <sup>e</sup> s. ap. ?
11014	12	fossé	strati.	synchrone avec 11002 ?	<i>Gallo-romain ?</i>	<i>Gallo-romain ?</i>	<i>Gallo-romain ?</i>
11015	12	fossé	céramique	coupelle Drag. 35/36	<i>Gallo-romain ?</i>	mil. I <sup>e</sup> -mil. II <sup>e</sup> s. ap.	<i>Gallo-romain ?</i>
11025	14	fosse	céramique	frag. érodé	?	<i>Antique ?</i>	?
11029	11	fosse de plan- tation	céramique	1 anse	?	XVI <sup>e</sup> -XVII <sup>e</sup> s. ap.	Contemporain
11032	11	fossé	tuile	1 frag.	?	<i>Gallo-romain ?</i>	?
11033	11	fosse	céramique	25 tessons modelées	<i>Idem ?</i>	Hallstatt D3 / La Tène A ?	<i>Idem ?</i>
11048	9	<i>ramassage</i>	<i>céramique</i>	<i>1 frag. de panse modélée</i>	?	?	?

## 4.5. Inventaires de la documentation de l'opération

### 4.5.1. Documentation écrite

- 2 cahiers A4 manuscrit d'enregistrement / croquis des Horizons et Unités stratigraphiques (Hz / Us).
- 1 carnet A6 manuscrit d'inventaire des photographies.

### 4.5.2. Documents graphiques (calques A3)

n° relevé	auteur-s	Hz/Us en coupe	Hz/Us en plan
R01	Paulette Lawrenc-Dubovac	10069, 10099, 10100	10069, 10099, 10100
R02	Victor Da-Veiga-Semedo Mohammad Rayati-Moghaddam	11012, 11025, 11030, 11032, 11037	
R03	Victor Da-Veiga-Semedo Mohammad Rayati-Moghaddam	11001, 11002, 11003, 11014, 11015	
R04	Victor Da-Veiga-Semedo	10011, 10012, 10014, 10104, 10117, 10147, 10149, 10152	
R05	Victor Da-Veiga-Semedo	10001, 10004, 10006, 10023, 10024, 10107, 10133, 10142, 10157, 10158, 10160, 10173, 10176, 10178	
R06	Gilles Desrayaud	10007, 10008, 10009, 10010, 10028, 10031, 10032, 10097, 10123, 10148, 10150, 10151, 10154, 10156, 10157, 10159, 10166, 10167, 10181	10028, 10097, 10148, 10159
R07	Victor Da-Veiga-Semedo Mohammad Rayati-Moghaddam	10058, 10065, 10066, 10109, 10177, 10197, 10201, 10203, 11008, 11032, 11033, 11039, 11043	10058, 10201, 11008, 11039
R08	Victor Da-Veiga-Semedo	10034, 10035, 10036, 10040, 10188, 10189, 10190, 10191	
R09	Gilles Desrayaud	10038, 10055, 10056, 10062, 10063, 10064, 10128, 10136, 10182, 10183, 10192, 10193, 10202, 10204, 10205, 10206, 11020, 11040, 11041	10062, 10063, 10064, 10136, 10204, 10206

### 4.5.3. Documents photographiques (inventaire des clichés)

\*n° cliché : 1 \*Loc. : TR07 \*Vue depuis : SE  
 \*Sujet : Vue générale de la TR07.  
 \*Auteur : Gilles Desrayaud \*Date : 20/11/2020  
 \*Hz / Us : 10080 ; 10081 ; 10084 ; 10086 ; 10087 ; 10088 ; 10089 ; 10090 ; 10091 ; 10129

\*n° cliché : 2 \*Loc. : TR08 \*Vue depuis : SO  
 \*Sujet : Vue générale de la TR08.  
 \*Auteur : Gilles Desrayaud \*Date : 20/11/2020  
 \*Hz / Us : 10084 ; 10085 ; 10093 ; 10094 ; 10095 ; 10129 ; 10213 ; 10215 ; 10224 ; 10227 ; 10228 ; 10229

\*n° cliché : 3 \*Loc. : TR08 \*Vue depuis : SO  
 \*Sujet : Vue générale de la TR08.  
 \*Auteur : Gilles Desrayaud \*Date : 20/11/2020  
 \*Hz / Us : 10084 ; 10085 ; 10093 ; 10094 ; 10095 ; 10129 ; 10213 ; 10215 ; 10224 ; 10227 ; 10228 ; 10229

\*n° cliché : 4 \*Loc. : TR06 \*Vue depuis : SE  
 \*Sujet : Vue générale de la TR06.  
 \*Auteur : Gilles Desrayaud \*Date : 20/11/2020  
 \*Hz / Us : 10072 ; 10073 ; 10074 ; 10075 ; 10076 ; 10077 ; 10101

\*n° cliché : 5 \*Loc. : TR01 \*Vue depuis : SE  
 \*Sujet : Vue générale de la TR01.  
 \*Auteur : Gilles Desrayaud \*Date : 20/11/2020  
 \*Hz / Us : 10025 ; 10026 ; 10027 ; 10028 ; 10029 ; 10030

\*n° cliché : 6 \*Loc. : TR01 \*Vue depuis : SE  
 \*Sujet : Vue générale de la TR01.  
 \*Auteur : Gilles Desrayaud \*Date : 20/11/2020  
 \*Hz / Us : 10025 ; 10026 ; 10027 ; 10028 ; 10029 ; 10030

\*n° cliché : 7 \*Loc. : TR06 \*Vue depuis : E  
 \*Sujet : Vue générale TR06-B-C.  
 \*Auteur : Gilles Desrayaud \*Date : 20/11/2020  
 \*Hz / Us : 10069 ; 10070 ; 10071 ; 10225 ; 10226

\*n° cliché : 8 \*Loc. : TR06 \*Vue depuis : E  
 \*Sujet : Vue générale TR06-B-C  
 \*Auteur : Gilles Desrayaud \*Date : 20/11/2020  
 \*Hz / Us : 10069 ; 10070 ; 10071 ; 10225 ; 10226

\*n° cliché : 9 \*Loc. : TR01 \*Vue depuis : SE  
 \*Sujet : Vue générale, partie centrale de la TR01.  
 (ERREUR PLAQUE «TR 06»)  
 \*Auteur : Gilles Desrayaud \*Date : 20/11/2020  
 \*Hz / Us : 10015

\*n° cliché : 10 \*Loc. : TR01 \*Vue depuis : ESE  
 \*Sujet : Vue générale, partie centrale de la TR01.  
 (ERREUR PLAQUE «TR 06»)  
 \*Auteur : Gilles Desrayaud \*Date : 20/11/2020  
 \*Hz / Us : 10015 ; 10021 ; 10022

\*n° cliché : 11 \*Loc. : TR01 \*Vue depuis : S  
 \*Sujet : Vue générale de la TR01, Fen. 01-A.  
 \*Auteur : Gilles Desrayaud \*Date : 20/11/2020  
 \*Hz / Us : 10012 ; 10013 ; 10014 ; 10097 ; 10098 ;  
 10099 ; 10100 ; 10104

\*n° cliché : 12 \*Loc. : TR01 \*Vue depuis : S  
 \*Sujet : Vue générale de la TR01, Fen. 01-A.  
 \*Auteur : Gilles Desrayaud \*Date : 20/11/2020  
 \*Hz / Us : 10012 ; 10013 ; 10014 ; 10097 ; 10098 ;  
 10099 ; 10100 ; 10104

\*n° cliché : 13 \*Loc. : TR01 \*Vue depuis : E  
 \*Sujet : Vue générale de la TR01, Fen. 01-A.  
 \*Auteur : Gilles Desrayaud \*Date : 20/11/2020  
 \*Hz / Us : 10012 ; 10013 ; 10014 ; 10099 ; 10100 ;  
 10104

\*n° cliché : 14 \*Loc. : TR01 \*Vue depuis : E  
 \*Sujet : Vue générale de la TR01, Fen. 01-A.  
 \*Auteur : Gilles Desrayaud \*Date : 20/11/2020  
 \*Hz / Us : 10012 ; 10013 ; 10014 ; 10099 ; 10100 ;  
 10104

\*n° cliché : 15 \*Loc. : TR01 \*Vue depuis : SE  
 \*Sujet : Extrémité NO de la TR01.  
 \*Auteur : Gilles Desrayaud \*Date : 20/11/2020  
 \*Hz / Us : 10001 ; 10007 ; 10107

\*n° cliché : 16 \*Loc. : TR01 \*Vue depuis : ESE  
 \*Sujet : Extrémité NO de la TR01.  
 \*Auteur : Gilles Desrayaud \*Date : 20/11/2020  
 \*Hz / Us : 10001 ; 10007 ; 10107

\*n° cliché : 17 \*Loc. : TR02 \*Vue depuis : SE  
 \*Sujet : Partie NO de la TR02.  
 \*Auteur : Gilles Desrayaud \*Date : 20/11/2020  
 \*Hz / Us : 10036 ; 10037 ; 10038

\*n° cliché : 18 \*Loc. : TR02 \*Vue depuis : ESE  
 \*Sujet : Partie NO de la TR02.  
 \*Auteur : Gilles Desrayaud \*Date : 20/11/2020  
 \*Hz / Us : 10036 ; 10037 ; 10038

\*n° cliché : 19 \*Loc. : TR03 \*Vue depuis : SE  
 \*Sujet : Partie NO de la TR03.  
 \*Auteur : Gilles Desrayaud \*Date : 20/11/2020  
 \*Hz / Us : 10040 ; 10046 ; 10047 ; 10048 ; 10049 ;  
 10051 ; 10052 ; 10053 ; 10111 ; 10220

\*n° cliché : 20 \*Loc. : TR03 \*Vue depuis : SE  
 \*Sujet : Partie NO de la TR03.  
 \*Auteur : Gilles Desrayaud \*Date : 20/11/2020  
 \*Hz / Us : 10040 ; 10045 ; 10046 ; 10047 ; 10048 ;  
 10049 ; 10051 ; 10052 ; 10053 ; 10111 ; 10220

\*n° cliché : 21 \*Loc. : TR04 \*Vue depuis : SE  
 \*Sujet : Partie NO de la TR04.  
 \*Auteur : Gilles Desrayaud \*Date : 20/11/2020  
 \*Hz / Us : 10055 ; 10059 ; 10060 ; 10061 ; 10062 ;  
 10128

\*n° cliché : 22 \*Loc. : TR04 \*Vue depuis : SE  
 \*Sujet : Partie NO de la TR04.  
 \*Auteur : Gilles Desrayaud \*Date : 20/11/2020  
 \*Hz / Us : 10055 ; 10056 ; 10057 ; 10058 ; 10059 ;  
 10060 ; 10061 ; 10062 ; 10128

\*n° cliché : 23 \*Loc. : TR05 \*Vue depuis : SE  
 \*Sujet : Vue générale de TR05, avant réalisation de la  
 TR19.  
 \*Auteur : Gilles Desrayaud \*Date : 20/11/2020  
 \*Hz / Us : 10063 ; 10064

\*n° cliché : 24 \*Loc. : TR05 \*Vue depuis : SE  
 \*Sujet : Vue générale de TR05, avant réalisation de la  
 TR19.  
 \*Auteur : Gilles Desrayaud \*Date : 20/11/2020  
 \*Hz / Us : 10063 ; 10064

\*n° cliché : 25 \*Loc. : TR01-05 \*Vue depuis : SSE  
 \*Sujet : Ambiance, vue partielle de la Zone Nord.  
 \*Auteur : Gilles Desrayaud \*Date : 20/11/2020

\*n° cliché : 26 \*Loc. : TR05-08 \*Vue depuis : SO  
 \*Sujet : Ambiance, vue partielle de la Zone Nord.  
 \*Auteur : Gilles Desrayaud \*Date : 20/11/2020

\*n° cliché : 27 \*Loc. : TR04-08 \*Vue depuis : OSO  
 \*Sujet : Ambiance, vue partielle de la Zone Nord et  
 Merlon 2.  
 \*Auteur : Gilles Desrayaud \*Date : 20/11/2020

\*n° cliché : 28 \*Loc. : TR09 \*Vue depuis : NNO  
 \*Sujet : Ambiance, vue partielle de la Zone Sud.  
 \*Auteur : Gilles Desrayaud \*Date : 20/11/2020

\*n° cliché : 29 \*Loc. : TR09-11 \*Vue depuis : N

\*Sujet : Ambiance, vue partielle de la Zone Sud, TR11 en cours.

\*Auteur : Gilles Desrayaud \*Date : 20/11/2020

\*n° cliché : 30 \*Loc. : TR09-11 \*Vue depuis : NE

\*Sujet : Ambiance, vue partielle de la Zone Sud.

\*Auteur : Gilles Desrayaud \*Date : 20/11/2020

\*n° cliché : 31 \*Loc. : TR04-05 \*Vue depuis : NO

\*Sujet : Ambiance, vue du merlon 2.

\*Auteur : Gilles Desrayaud \*Date : 20/11/2020

\*n° cliché : 32 \*Loc. : TR06 \*Vue depuis : SE

\*Sujet : TR06-C, sépulture 10069, vue sommitale.

\*Auteur : Paulette Lawrence-Dubovac \*Date :

24/11/2020

\*Hz / Us : 10069

\*n° cliché : 33 \*Loc. : TR06 \*Vue depuis : SE

\*Sujet : TR06-C, sépulture 10069, vue sommitale.

\*Auteur : Paulette Lawrence-Dubovac \*Date :

24/11/2020

\*Hz / Us : 10069

\*n° cliché : 34 \*Loc. : TR06 \*Vue depuis : SE

\*Sujet : TR06-C, sépulture 10069, vue générale.

\*Auteur : Paulette Lawrence-Dubovac \*Date :

24/11/2020

\*Hz / Us : 10069 ; 10071

\*n° cliché : 35 \*Loc. : TR06 \*Vue depuis : NNO

\*Sujet : TR06-C, sépulture 10069, vue générale.

\*Auteur : Paulette Lawrence-Dubovac \*Date :

24/11/2020

\*Hz / Us : 10069 ; 10071 ; 10226

\*n° cliché : 36 \*Loc. : TR06 \*Vue depuis : NE

\*Sujet : TR06-C, sépulture 10069, vue générale.

\*Auteur : Paulette Lawrence-Dubovac \*Date :

24/11/2020

\*Hz / Us : 10069 ; 10070 ; 10071 ; 10225

\*n° cliché : 37 \*Loc. : TR06 \*Vue depuis : SE

\*Sujet : TR06-C, sépulture 10069, vue sommitale.

\*Auteur : Paulette Lawrence-Dubovac \*Date :

24/11/2020

\*Hz / Us : 10069

\*n° cliché : 38 \*Loc. : TR06 \*Vue depuis : SE

\*Sujet : TR06-C, sépulture 10069, vue sommitale.

\*Auteur : Paulette Lawrence-Dubovac \*Date :

24/11/2020

\*Hz / Us : 10069

\*n° cliché : 39 \*Loc. : TR06 \*Vue depuis : SE

\*Sujet : TR06-C, sépulture 10069, vue sommitale.

\*Auteur : Paulette Lawrence-Dubovac \*Date :

24/11/2020

\*Hz / Us : 10069

\*n° cliché : 40 \*Loc. : TR06 \*Vue depuis : SE

\*Sujet : TR06-C, sépulture 10069, détail.

\*Auteur : Paulette Lawrence-Dubovac \*Date :

24/11/2020

\*Hz / Us : 10069

\*n° cliché : 41 \*Loc. : TR06 \*Vue depuis : SE

\*Sujet : TR06-C, sépulture 10069, détail.

\*Auteur : Paulette Lawrence-Dubovac \*Date :

24/11/2020

\*Hz / Us : 10069

\*n° cliché : 42 \*Loc. : TR06 \*Vue depuis : SE

\*Sujet : TR06-C, sépulture 10069, détail.

\*Auteur : Paulette Lawrence-Dubovac \*Date :

24/11/2020

\*Hz / Us : 10069

\*n° cliché : 43 \*Loc. : TR06 \*Vue depuis : NE

\*Sujet : TR06-C, sépulture 10069, vue générale.

\*Auteur : Paulette Lawrence-Dubovac \*Date :

24/11/2020

\*Hz / Us : 10069

\*n° cliché : 44 \*Loc. : TR06 \*Vue depuis : NE

\*Sujet : TR06-C, sépulture 10069, vue générale.

\*Auteur : Paulette Lawrence-Dubovac \*Date :

24/11/2020

\*Hz / Us : 10069

\*n° cliché : 45 \*Loc. : TR06 \*Vue depuis : NE

\*Sujet : TR06-C, sépulture 10069, détail : pieds.

\*Auteur : Paulette Lawrence-Dubovac \*Date :

24/11/2020

\*Hz / Us : 10069

\*n° cliché : 46 \*Loc. : TR06 \*Vue depuis : ENE

\*Sujet : TR06-C, sépulture 10069, détail : bassin.

\*Auteur : Paulette Lawrence-Dubovac \*Date :

25/11/2020

\*Hz / Us : 10069

\*n° cliché : 47 \*Loc. : TR06 \*Vue depuis : ENE

\*Sujet : TR06-C, sépulture 10069, détail : bassin / thorax.

\*Auteur : Paulette Lawrence-Dubovac \*Date :

25/11/2020

\*Hz / Us : 10069

\*n° cliché : 48 \*Loc. : TR06 \*Vue depuis : ONO

\*Sujet : TR06-C, sépulture 10069, détail : tête / thorax.

\*Auteur : Paulette Lawrence-Dubovac \*Date :

25/11/2020

\*Hz / Us : 10069

\*n° cliché : 49 \*Loc. : TR06 \*Vue depuis : SO

\*Sujet : TR06-C, sépulture 10069, vue générale.

\*Auteur : Paulette Lawrence-Dubovac \*Date :

25/11/2020

\*Hz / Us : 10069

\*n° cliché : 50 \*Loc. : TR06 \*Vue depuis : ONO  
 \*Sujet : TR06-C, sépulture 10069, vue générale.  
 \*Auteur : Paulette Lawrence-Dubovac \*Date :  
 25/11/2020  
 \*Hz / Us : 10069

\*n° cliché : 51 \*Loc. : TR06 \*Vue depuis : NO  
 \*Sujet : TR06-C, sépulture 10069, vue partielle.  
 \*Auteur : Paulette Lawrence-Dubovac \*Date :  
 25/11/2020  
 \*Hz / Us : 10069

\*n° cliché : 52 \*Loc. : TR06 \*Vue depuis : NO  
 \*Sujet : TR06-C, sépulture 10069, vue partielle.  
 \*Auteur : Paulette Lawrence-Dubovac \*Date :  
 25/11/2020  
 \*Hz / Us : 10069

\*n° cliché : 53 \*Loc. : TR06 \*Vue depuis : NO  
 \*Sujet : TR06-C, sépulture 10069, vue partielle.  
 \*Auteur : Paulette Lawrence-Dubovac \*Date :  
 25/11/2020  
 \*Hz / Us : 10069

\*n° cliché : 54 \*Loc. : TR06 \*Vue depuis : N  
 \*Sujet : TR06-C, sépulture 10069, vue partielle.  
 \*Auteur : Paulette Lawrence-Dubovac \*Date :  
 25/11/2020  
 \*Hz / Us : 10069

\*n° cliché : 55 \*Loc. : TR06 \*Vue depuis : ENE  
 \*Sujet : TR06-C, sépulture 10069, vue partielle.  
 \*Auteur : Paulette Lawrence-Dubovac \*Date :  
 25/11/2020  
 \*Hz / Us : 10069

\*n° cliché : 56 \*Loc. : TR06 \*Vue depuis : E  
 \*Sujet : TR06-C, sépulture 10069, vue partielle.  
 \*Auteur : Paulette Lawrence-Dubovac \*Date :  
 25/11/2020  
 \*Hz / Us : 10069

\*n° cliché : 57 \*Loc. : TR06 \*Vue depuis : SE  
 \*Sujet : TR06-C, sépulture 10069, vue partielle.  
 \*Auteur : Paulette Lawrence-Dubovac \*Date :  
 25/11/2020  
 \*Hz / Us : 10069

\*n° cliché : 58 \*Loc. : TR06 \*Vue depuis : SE  
 \*Sujet : TR06-C, sépulture 10069, vue partielle.  
 \*Auteur : Paulette Lawrence-Dubovac \*Date :  
 25/11/2020  
 \*Hz / Us : 10069

\*n° cliché : 59 \*Loc. : TR06 \*Vue depuis : S  
 \*Sujet : TR06-C, sépulture 10069, vue partielle.  
 \*Auteur : Paulette Lawrence-Dubovac \*Date :  
 25/11/2020

\*Hz / Us : 10069

\*n° cliché : 60 \*Loc. : TR06 \*Vue depuis : NE  
 \*Sujet : TR06-C, sépulture 10069, détail : bassin /  
 mains.  
 \*Auteur : Paulette Lawrence-Dubovac \*Date :  
 25/11/2020  
 \*Hz / Us : 10069

\*n° cliché : 61 \*Loc. : TR01 \*Vue depuis : S  
 \*Sujet : Fen. 01-A, sépulture 10100, vue sommitale.  
 \*Auteur : Paulette Lawrence-Dubovac \*Date :  
 26/11/2020  
 \*Hz / Us : 10012 ; 10100

\*n° cliché : 62 \*Loc. : TR01 \*Vue depuis : S  
 \*Sujet : Fen. 01-A, sépulture 10100, vue sommitale.  
 \*Auteur : Paulette Lawrence-Dubovac \*Date :  
 26/11/2020  
 \*Hz / Us : 10100

\*n° cliché : 63 \*Loc. : TR01 \*Vue depuis : SSE  
 \*Sujet : Fen. 01-A, sépulture 10100, vue sommitale.  
 \*Auteur : Paulette Lawrence-Dubovac \*Date :  
 26/11/2020  
 \*Hz / Us : 10100

\*n° cliché : 64 \*Loc. : TR01 \*Vue depuis : SSE  
 \*Sujet : Fen. 01-A, sépulture 10100, vue partielle.  
 \*Auteur : Paulette Lawrence-Dubovac \*Date :  
 26/11/2020  
 \*Hz / Us : 10100

\*n° cliché : 65 \*Loc. : TR01 \*Vue depuis : SSE  
 \*Sujet : Fen. 01-A, sépulture 10100, détail : bassin /  
 mains.  
 \*Auteur : Paulette Lawrence-Dubovac \*Date :  
 26/11/2020  
 \*Hz / Us : 10100

\*n° cliché : 66 \*Loc. : TR01 \*Vue depuis : SSE  
 \*Sujet : Fen. 01-A, sépulture 10100, détail : tibias /  
 pieds.  
 \*Auteur : Paulette Lawrence-Dubovac \*Date :  
 26/11/2020  
 \*Hz / Us : 10100

\*n° cliché : 67 \*Loc. : TR01 \*Vue depuis : ENE  
 \*Sujet : Fen. 01-A, sépulture 10100, vue générale.  
 \*Auteur : Paulette Lawrence-Dubovac \*Date :  
 26/11/2020  
 \*Hz / Us : 10100

\*n° cliché : 68 \*Loc. : TR01 \*Vue depuis : NNO  
 \*Sujet : Fen. 01-A, sépulture 10100, détail : tête.  
 \*Auteur : Paulette Lawrence-Dubovac \*Date :  
 26/11/2020  
 \*Hz / Us : 10100

\*n° cliché : 69 \*Loc. : TR01 \*Vue depuis : ENE

\*Sujet : Fen. 01-A, sépulture 10100, détail : bassin / mains.

\*Auteur : Paulette Lawrence-Dubovac \*Date : 26/11/2020  
\*Hz / Us : 10100

\*n° cliché : 70 \*Loc. : TR01 \*Vue depuis : S  
\*Sujet : Fen. 01-A, sépulture 10099, vue sommitale.  
\*Auteur : Paulette Lawrence-Dubovac \*Date : 26/11/2020  
\*Hz / Us : 10099

\*n° cliché : 71 \*Loc. : TR01 \*Vue depuis : SSE  
\*Sujet : Fen. 01-A, sépulture 10099, vue partielle.  
\*Auteur : Paulette Lawrence-Dubovac \*Date : 26/11/2020  
\*Hz / Us : 10099

\*n° cliché : 72 \*Loc. : TR01 \*Vue depuis : SSE  
\*Sujet : Fen. 01-A, sépulture 10099, détail : tête / épaules.  
\*Auteur : Paulette Lawrence-Dubovac \*Date : 26/11/2020  
\*Hz / Us : 10099

\*n° cliché : 73 \*Loc. : TR01 \*Vue depuis : SSE  
\*Sujet : Fen. 01-A, sépulture 10099, détail : bassin / mains.  
\*Auteur : Paulette Lawrence-Dubovac \*Date : 26/11/2020  
\*Hz / Us : 10099

\*n° cliché : 74 \*Loc. : TR01 \*Vue depuis : SSE  
\*Sujet : Fen. 01-A, sépulture 10099, détail : genoux / jambes.  
\*Auteur : Paulette Lawrence-Dubovac \*Date : 26/11/2020  
\*Hz / Us : 10099

\*n° cliché : 75 \*Loc. : TR01 \*Vue depuis : SSE  
\*Sujet : Fen. 01-A, sépulture 10099, détail : tibias / pieds.  
\*Auteur : Paulette Lawrence-Dubovac \*Date : 26/11/2020  
\*Hz / Us : 10099

\*n° cliché : 76 \*Loc. : TR01 \*Vue depuis : ENE  
\*Sujet : Fen. 01-A, sépulture 10099, vue générale.  
\*Auteur : Paulette Lawrence-Dubovac \*Date : 26/11/2020  
\*Hz / Us : 10099

\*n° cliché : 77 \*Loc. : TR01 \*Vue depuis : ENE  
\*Sujet : Fen. 01-A, sépulture 10099, vue partielle.  
\*Auteur : Paulette Lawrence-Dubovac \*Date : 26/11/2020  
\*Hz / Us : 10099

\*n° cliché : 78 \*Loc. : TR01 \*Vue depuis : NE  
\*Sujet : Fen. 01-A, sépulture 10099, détail : tête /

épaules.

\*Auteur : Paulette Lawrence-Dubovac \*Date : 26/11/2020  
\*Hz / Us : 10099

\*n° cliché : 79 \*Loc. : TR01 \*Vue depuis : ENE  
\*Sujet : Fen. 01-A, sépulture 10099, détail : bassin / bras droit.  
\*Auteur : Paulette Lawrence-Dubovac \*Date : 26/11/2020  
\*Hz / Us : 10099

\*n° cliché : 80 \*Loc. : TR01 \*Vue depuis : ENE  
\*Sujet : Fen. 01-A, sépulture 10099, détail : tête.  
\*Auteur : Paulette Lawrence-Dubovac \*Date : 26/11/2020  
\*Hz / Us : 10099

\*n° cliché : 81 \*Loc. : TR06 \*Vue depuis : NE  
\*Sujet : TR06-C, sépulture 10069, détail : pieds.  
\*Auteur : Paulette Lawrence-Dubovac \*Date : 26/11/2020  
\*Hz / Us : 10069

\*n° cliché : 82 \*Loc. : TR06 \*Vue depuis : SE  
\*Sujet : TR06-C, sépulture 10069, détail : crâne démonté / cou.  
\*Auteur : Paulette Lawrence-Dubovac \*Date : 26/11/2020  
\*Hz / Us : 10069

\*n° cliché : 83 \*Loc. : TR01 \*Vue depuis : NNO  
\*Sujet : Fen. 01-A, sépulture 10099 en cours de démontage : détail rachis / côtes.  
\*Auteur : Paulette Lawrence-Dubovac \*Date : 26/11/2020  
\*Hz / Us : 10099

\*n° cliché : 84 \*Loc. : TR01 \*Vue depuis : E  
\*Sujet : TR01 / Fen. 01-A, vue générale de la SP10099 fouillée et de la SP10100 démontée.  
\*Auteur : Paulette Lawrence-Dubovac \*Date : 26/11/2020  
\*Hz / Us : 10012 ; 10013 ; 10099 ; 10104

\*n° cliché : 85 \*Loc. : TR01 \*Vue depuis : ENE  
\*Sujet : TR01 / Fen. 01-A, vue générale de la SP10099 fouillée et de la SP10100 démontée.  
\*Auteur : Paulette Lawrence-Dubovac \*Date : 26/11/2020  
\*Hz / Us : 10012 ; 10013 ; 10099 ; 10100 ; 10104

\*n° cliché : 86 \*Loc. : TR01 \*Vue depuis : E  
\*Sujet : TR01 / Fen. 01-A, vue générale de la SP10099 fouillée et de la SP10100 démontée.  
\*Auteur : Paulette Lawrence-Dubovac \*Date : 26/11/2020  
\*Hz / Us : 10012 ; 10013 ; 10099 ; 10100 ; 10104

\*n° cliché : 87 \*Loc. : TR14 \*Vue depuis : NE

\*Sujet : Sondage profond 11037, coupe SO : horizons sédimentaires encaissants.

\*Auteur : Mohammad Rayati \*Date : 26/11/2020

\*Hz / Us : 11025 ; 11037

\*n° cliché : 88 \*Loc. : TR14 \*Vue depuis : NE

\*Sujet : Sondage profond 11037, coupe SO : horizons sédimentaires encaissants.

\*Auteur : Mohammad Rayati \*Date : 26/11/2020

\*Hz / Us : 11037

\*n° cliché : 89 \*Loc. : TR14 \*Vue depuis : NE

\*Sujet : SD11037, coupe de la fosse 11025, vue générale.

\*Auteur : Mohammad Rayati \*Date : 26/11/2020

\*Hz / Us : 11025 ; 11037

\*n° cliché : 90 \*Loc. : TR14 \*Vue depuis : NE

\*Sujet : SD11037, coupe de la fosse 11025, vue générale.

\*Auteur : Mohammad Rayati \*Date : 26/11/2020

\*Hz / Us : 11025 ; 11037

\*n° cliché : 91 \*Loc. : TR14 \*Vue depuis : NE

\*Sujet : SD11037, coupe de la fosse 11025, vue générale.

\*Auteur : Mohammad Rayati \*Date : 26/11/2020

\*Hz / Us : 11025 ; 11037

\*n° cliché : 92 \*Loc. : TR11 \*Vue depuis : NE

\*Sujet : -Erreur sur plaque («SD1034»).

-Sondage profond 11034, coupe SO : profil sédimentaire / géologique

\*Auteur : Gilles Desrayaud \*Date : 26/11/2020

\*Hz / Us : 11012 ; 11019 ; 11034

\*n° cliché : 93 \*Loc. : TR11 \*Vue depuis : NE

\*Sujet : -Erreur sur plaque («SD1034»).

-Sondage profond 11034, coupe SO : profil sédimentaire / géologique

\*Auteur : Gilles Desrayaud \*Date : 26/11/2020

\*Hz / Us : 11012 ; 11019 ; 11034

\*n° cliché : 94 \*Loc. : TR11 \*Vue depuis : ESE

\*Sujet : -Erreur sur plaque («SD1034»).

-Vue générale du sondage profond 11034, coupe SO : profil sédimentaire / géologique.

\*Auteur : Gilles Desrayaud \*Date : 26/11/2020

\*Hz / Us : 11012 ; 11019 ; 11032 ; 11034

\*n° cliché : 95 \*Loc. : TR11 \*Vue depuis : SSE

\*Sujet : Vue partielle : Fen. 11-A/B, FO11032 et SD11030, coupe NNO.

\*Auteur : Victor Da-Veiga-Semedo \*Date : 27/11/2020

\*Hz / Us : 11012 ; 11019 ; 11030 ; 11032

\*n° cliché : 96 \*Loc. : TR11 \*Vue depuis : SSE

\*Sujet : Vue partielle : Fen. 11-A/B, FO11032 et SD11030, coupe NNO.

\*Auteur : Victor Da-Veiga-Semedo \*Date : 27/11/2020

\*Hz / Us : 11012 ; 11019 ; 11030 ; 11032

\*n° cliché : 97 \*Loc. : TR11 \*Vue depuis : NE

\*Sujet : Vue partielle : Fen. 11-A/B, FO11032 et SD11030, coupe NNO.

\*Auteur : Victor Da-Veiga-Semedo \*Date : 27/11/2020

\*Hz / Us : 11012 ; 11019 ; 11030 ; 11032

\*n° cliché : 98 \*Loc. : TR11 \*Vue depuis : SSE

\*Sujet : SD11030, partie occidentale de la coupe NNO.

\*Auteur : Victor Da-Veiga-Semedo \*Date : 27/11/2020

\*Hz / Us : 11012 ; 11019 ; 11030

\*n° cliché : 99 \*Loc. : TR11 \*Vue depuis : S

\*Sujet : SD11030, partie orientale de la coupe NNO.

\*Auteur : Victor Da-Veiga-Semedo \*Date : 27/11/2020

\*Hz / Us : 11012 ; 11019 ; 11030 ; 11032

\*n° cliché : 100 \*Loc. : TR11 \*Vue depuis : S

\*Sujet : SD11030, détail de la partie orientale de la coupe NNO.

\*Auteur : Paulette Lawrence-Dubovac \*Date : 27/11/2020

\*Hz / Us : 11012 ; 11030

\*n° cliché : 101 \*Loc. : TR11 \*Vue depuis : SE

\*Sujet : Vue générale, extrémité NO de la TR11, Fen. 11-A/B.

\*Auteur : Victor Da-Veiga-Semedo \*Date : 27/11/2020

\*Hz / Us : 11012 ; 11019 ; 11030 ; 11032 ; 11033 ; 11034

\*n° cliché : 102 \*Loc. : TR11 \*Vue depuis : SE

\*Sujet : Vue générale, extrémité NO de la TR11, Fen. 11-A/B.

\*Auteur : Victor Da-Veiga-Semedo \*Date : 27/11/2020

\*Hz / Us : 11012 ; 11019 ; 11032 ; 11033 ; 11030 ; 11034

\*n° cliché : 103 \*Loc. : TR11 \*Vue depuis : SSE

\*Sujet : Vue générale, extrémité NO de la TR11, Fen. 11-A/B.

\*Auteur : Victor Da-Veiga-Semedo \*Date : 27/11/2020

\*Hz / Us : 11012 ; 11019 ; 11032 ; 11033 ; 11030 ; 11034

\*n° cliché : 104 \*Loc. : TR11 \*Vue depuis : S

\*Sujet : Vue générale, extrémité NO de la TR11, Fen. 11-A/B.

\*Auteur : Victor Da-Veiga-Semedo \*Date : 27/11/2020

\*Hz / Us : 11012 ; 11019 ; 11032 ; 11033 ; 11030 ; 11034

\*n° cliché : 105 \*Loc. : TR11 \*Vue depuis : N

\*Sujet : Vue générale de la TR11, Fen. 11-A/B.

\*Auteur : Victor Da-Veiga-Semedo \*Date : 27/11/2020

\*Hz / Us : 11029 ; 11030 ; 11032

\*n° cliché : 106 \*Loc. : TR11 \*Vue depuis : N

\*Sujet : Vue générale de la TR11, Fen. 11-A/B.  
 \*Auteur : Victor Da-Veiga-Semedo \*Date : 27/11/2020  
 \*Hz / Us : 11029 ; 11030 ; 11032

\*n° cliché : 107 \*Loc. : TR11 \*Vue depuis : N  
 \*Sujet : Vue générale de la TR11, Fen. 11-A/B.  
 \*Auteur : Victor Da-Veiga-Semedo \*Date : 27/11/2020  
 \*Hz / Us : 11029 ; 11030 ; 11032

\*n° cliché : 108 \*Loc. : TR09 \*Vue depuis : SSE  
 \*Sujet : SD11003, coupe NNO, sur canalisation 11001 dans le fossé11002, et profil sédimentaire.  
 \*Auteur : Victor Da-Veiga-Semedo \*Date : 27/11/2020  
 \*Hz / Us : 11001 ; 11002 ; 11003

\*n° cliché : 109 \*Loc. : TR09 \*Vue depuis : SSE  
 \*Sujet : SD11003, coupe NNO, sur canalisation 11001 dans le fossé11002, et profil sédimentaire.  
 \*Auteur : Victor Da-Veiga-Semedo \*Date : 27/11/2020  
 \*Hz / Us : 11001 ; 11002 ; 11003

\*n° cliché : 110 \*Loc. : TR09 \*Vue depuis : SSE  
 \*Sujet : SD11003, coupe NNO, sur canalisation 11001 dans le fossé11002, et profil sédimentaire.  
 \*Auteur : Victor Da-Veiga-Semedo \*Date : 27/11/2020  
 \*Hz / Us : 11001 ; 11002 ; 11003

\*n° cliché : 111 \*Loc. : TR09 \*Vue depuis : SSE  
 \*Sujet : SD11003, coupe NNO, sur canalisation 11001 dans le fossé11002, et profil sédimentaire.  
 \*Auteur : Victor Da-Veiga-Semedo \*Date : 27/11/2020  
 \*Hz / Us : 11001 ; 11002 ; 11003

\*n° cliché : 112 \*Loc. : TR09 \*Vue depuis : SSE  
 \*Sujet : SD11003, coupe NNO, sur canalisation 11001 dans le fossé11002, et profil sédimentaire.  
 \*Auteur : Victor Da-Veiga-Semedo \*Date : 27/11/2020  
 \*Hz / Us : 11001 ; 11002 ; 11003

\*n° cliché : 113 \*Loc. : TR09 \*Vue depuis : SSE  
 \*Sujet : SD11003, coupe NNO, sur canalisation 11001 dans le fossé11002, et profil sédimentaire.  
 \*Auteur : Victor Da-Veiga-Semedo \*Date : 27/11/2020  
 \*Hz / Us : 11001 ; 11002 ; 11003

\*n° cliché : 114 \*Loc. : 9 \*Vue depuis : NNO  
 \*Sujet : SD11003, coupe SSE, sur le fossé 11002.  
 \*Auteur : Victor Da-Veiga-Semedo \*Date : 27/11/2020  
 \*Hz / Us : 11002 ; 11003

\*n° cliché : 115 \*Loc. : TR12 \*Vue depuis : NNO  
 \*Sujet : Fen. 12-C, SD11036, coupe SSE, sur le fossé 11015, et profil sédimentaire.  
 \*Auteur : Victor Da-Veiga-Semedo \*Date : 27/11/2020  
 \*Hz / Us : 11015 ; 11036

\*n° cliché : 116 \*Loc. : TR12 \*Vue depuis : NNO  
 \*Sujet : -Fen. 12-B, SD11035, coupe SSE, sur le fossé 11014.  
 -Tracé sur coupe = faux

\*Auteur : Victor Da-Veiga-Semedo \*Date : 27/11/2020  
 \*Hz / Us : 11014 ; 11035

\*n° cliché : 117 \*Loc. : TR12 \*Vue depuis : ESE  
 \*Sujet : Vue générale de la tranchée 12. Au premier plan, FT11013.  
 \*Auteur : Gilles Desrayaud \*Date : 27/11/2020  
 \*Hz / Us : 11013

\*n° cliché : 118 \*Loc. : TR12 \*Vue depuis : ESE  
 \*Sujet : Vue générale de la tranchée 12. Au premier plan, FT11013 et Fen. 12-A.  
 \*Auteur : Gilles Desrayaud \*Date : 27/11/2020  
 \*Hz / Us : 11013

\*n° cliché : 119 \*Loc. : TR09 \*Vue depuis : SE  
 \*Sujet : Vue générale de la tranchée 09.  
 \*Auteur : Gilles Desrayaud \*Date : 27/11/2020  
 \*Hz / Us : 11001 ; 11002 ; 11003 ; 11004

\*n° cliché : 120 \*Loc. : TR09 \*Vue depuis : SSE  
 \*Sujet : Vue générale de la tranchée 09, Fen. 09-A.  
 \*Auteur : Gilles Desrayaud \*Date : 27/11/2020  
 \*Hz / Us : 11001 ; 11002 ; 11003 ; 11004

\*n° cliché : 121 \*Loc. : TR18 \*Vue depuis : E  
 \*Sujet : Vue générale de la tranchée 18.  
 \*Auteur : Gilles Desrayaud \*Date : 27/11/2020  
 \*Hz / Us : 10135 ; 10143 ; 10145 ; 10146

\*n° cliché : 122 \*Loc. : TR18 \*Vue depuis : E  
 \*Sujet : Vue générale de la tranchée 18.  
 \*Auteur : Gilles Desrayaud \*Date : 27/11/2020  
 \*Hz / Us : 10135 ; 10143 ; 10145 ; 10146

\*n° cliché : 123 \*Loc. : TR19 \*Vue depuis : SO  
 \*Sujet : Vue générale de la tranchée 19.  
 \*Auteur : Gilles Desrayaud \*Date : 27/11/2020  
 \*Hz / Us : 10063 ; 10064 ; 10136

\*n° cliché : 124 \*Loc. : Nord \*Vue depuis : S  
 \*Sujet : Panorama en deux parties de la Zone Nord, d'Ouest en Est.  
 \*Auteur : Gilles Desrayaud \*Date : 27/11/2020

\*n° cliché : 125 \*Loc. : Sud \*Vue depuis : N  
 \*Sujet : Panorama des travaux de la ligne de Métro 18 et de la Zone Sud, d'Est en Ouest.  
 \*Auteur : Gilles Desrayaud \*Date : 27/11/2020

\*n° cliché : 126 \*Loc. : TR20 \*Vue depuis : SE  
 \*Sujet : Vue générale de la tranchée 20.  
 \*Auteur : Gilles Desrayaud \*Date : 27/11/2020  
 \*Hz / Us : 10137 ; 10138 ; 10139 ; 10140 ; 10141 ; 10142 ; 10157 ; 10165

\*n° cliché : 127 \*Loc. : TR01 \*Vue depuis : ENE  
 \*Sujet : Fen. 01-A, SD10147, coupe OSO, sur les fossés 10012, 10014 et 10104.  
 \*Auteur : Victor Da-Veiga-Semedo \*Date : 30/11/2020

\*Hz / Us : 10012 ; 10014 ; 10104 ; 10147

\*n° cliché : 128 \*Loc. : TR01 \*Vue depuis : ENE

\*Sujet : Fen. 01-A, SD10147, coupe OSO, sur les fossés 10012, 10014 et 10104.

\*Auteur : Victor Da-Veiga-Semedo \*Date : 30/11/2020

\*Hz / Us : 10012 ; 10014 ; 10104 ; 10147

\*n° cliché : 129 \*Loc. : TR01 \*Vue depuis : N

\*Sujet : Fen. 01-A, SD10148, coupe S, sur le PO10097.

\*Auteur : Gilles Desrayaud \*Date : 30/11/2020

\*Hz / Us : 10097 ; 10148

\*n° cliché : 130 \*Loc. : TR01 \*Vue depuis : N

\*Sujet : Fen. 01-A, SD10148, coupe S, sur le PO10097.

\*Auteur : Gilles Desrayaud \*Date : 30/11/2020

\*Hz / Us : 10097 ; 10148

\*n° cliché : 131 \*Loc. : TR01 \*Vue depuis : SO

\*Sujet : SD10149, coupe NE, sur le fossé 10011.

\*Auteur : Victor Da-Veiga-Semedo \*Date : 30/11/2020

\*Hz / Us : 10011 ; 10149

\*n° cliché : 132 \*Loc. : TR01 \*Vue depuis : SO

\*Sujet : SD10149, coupe NE, sur le fossé 10011.

\*Auteur : Victor Da-Veiga-Semedo \*Date : 30/11/2020

\*Hz / Us : 10011 ; 10149

\*n° cliché : 133 \*Loc. : TR01 \*Vue depuis : NE

\*Sujet : SD10150, coupe SO, sur la fosse 10010.

\*Auteur : Gilles Desrayaud \*Date : 30/11/2020

\*Hz / Us : 10009 ; 10010 ; 10150

\*n° cliché : 134 \*Loc. : TR01 \*Vue depuis : NE

\*Sujet : SD10150, coupe SO, sur la fosse 10010.

\*Auteur : Gilles Desrayaud \*Date : 30/11/2020

\*Hz / Us : 10009 ; 10010 ; 10150

\*n° cliché : 135 \*Loc. : TR01 \*Vue depuis : ENE

\*Sujet : SD10151, coupe OSO, sur le fossé 10008.

\*Auteur : Gilles Desrayaud \*Date : 30/11/2020

\*Hz / Us : 10008 ; 10151

\*n° cliché : 136 \*Loc. : TR01 \*Vue depuis : ENE

\*Sujet : SD10152, coupe OSO, sur le fossé 10117.

\*Auteur : Victor Da-Veiga-Semedo \*Date : 30/11/2020

\*Hz / Us : 10117 ; 10152 ; 10157

\*n° cliché : 137 \*Loc. : TR01 \*Vue depuis : ENE

\*Sujet : SD10152, coupe OSO, sur le fossé 10117.

\*Auteur : Victor Da-Veiga-Semedo \*Date : 30/11/2020

\*Hz / Us : 10117 ; 10152 ; 10157

\*n° cliché : 138 \*Loc. : TR01 \*Vue depuis : SO

\*Sujet : SD10154, coupe NE, sur le fossé 10007.

\*Auteur : Gilles Desrayaud \*Date : 30/11/2020

\*Hz / Us : 10007 ; 10154 ; 10156 ; 10157

\*n° cliché : 139 \*Loc. : TR01 \*Vue depuis : SO

\*Sujet : SD10154, coupe NE, sur le fossé 10007.

\*Auteur : Gilles Desrayaud \*Date : 30/11/2020

\*Hz / Us : 10007 ; 10153 ; 10154 ; 10156 ; 10157

\*n° cliché : 140 \*Loc. : TR01 \*Vue depuis : SO

\*Sujet : SD10158, coupe NE, sur 10004, 10006 et le fossé 10107.

\*Auteur : Victor Da-Veiga-Semedo \*Date : 01/12/2020

\*Hz / Us : 10001 ; 10004 ; 10006 ; 10107 ; 10157 ; 10158

\*n° cliché : 141 \*Loc. : TR01 \*Vue depuis : SO

\*Sujet : SD10158, coupe NE, sur 10004, 10006 et le fossé 10107.

\*Auteur : Victor Da-Veiga-Semedo \*Date : 01/12/2020

\*Hz / Us : 10001 ; 10004 ; 10006 ; 10107 ; 10157 ; 10158

\*n° cliché : 142 \*Loc. : TR01 \*Vue depuis : NE

\*Sujet : SD10159, coupe SO, sur le PO10028.

\*Auteur : Gilles Desrayaud \*Date : 01/12/2020

\*Hz / Us : 10028 ; 10159

\*n° cliché : 143 \*Loc. : TR01 \*Vue depuis : NE

\*Sujet : SD10159, coupe SO, sur le PO10028.

\*Auteur : Gilles Desrayaud \*Date : 01/12/2020

\*Hz / Us : 10028 ; 10029 ; 10159

\*n° cliché : 144 \*Loc. : TR01 \*Vue depuis : SO

\*Sujet : SD10160, coupe NE, sur le fossé 10024.

\*Auteur : Victor Da-Veiga-Semedo \*Date : 01/12/2020

\*Hz / Us : 10024 ; 10160

\*n° cliché : 145 \*Loc. : TR01 \*Vue depuis : SO

\*Sujet : SD10160, coupe NE, sur le fossé 10024.

\*Auteur : Victor Da-Veiga-Semedo \*Date : 01/12/2020

\*Hz / Us : 10024 ; 10160

\*n° cliché : 146 \*Loc. : TR01 \*Vue depuis : NE

\*Sujet : Extrémité SE de la TR01. Redécapage de 10030 = 10161 + 10162 + 10163 + 10164.

\*Auteur : Gilles Desrayaud \*Date : 01/12/2020

\*Hz / Us : 10029 ; 10030 ; 10161 ; 10162 ; 10163 ; 10164

\*n° cliché : 147 \*Loc. : TR01 \*Vue depuis : SE

\*Sujet : Vue à la perche. Redécapage (SC10166) de 10022 = 10167 + 10168 + 10169 + 10170 + 10171 ; drains.

\*Auteur : Gilles Desrayaud \*Date : 01/12/2020

\*Hz / Us : 10016 ; 10017 ; 10018 ; 10019 ; 10020 ; 10021 ; 10022 ; 10103 ; 10105 ; 10119 ; 10120 ; 10166 ; 10167 ; 10168 ; 10169 ; 10170 ; 10171 ; 10172

\*n° cliché : 148 \*Loc. : TR01 \*Vue depuis : SE

\*Sujet : Vue à la perche. Redécapage (SC10166) de 10022 = 10167 + 10168 + 10169 + 10170 + 10171 ; drains.

\*Auteur : Gilles Desrayaud \*Date : 01/12/2020

\*Hz / Us : 10016 ; 10017 ; 10018 ; 10019 ; 10020 ;

10021 ; 10022 ; 10103 ; 10105 ; 10119 ; 10120 ;  
10166 ; 10167 ; 10168 ; 10169 ; 10170 ; 10171 ;  
10172

\*n° cliché : 149 \*Loc. : TR01 \*Vue depuis : OSO  
\*Sujet : SD10173, coupe ENE, sur le fossé 10023.  
\*Auteur : Victor Da-Veiga-Semedo \*Date : 01/12/2020  
\*Hz / Us : 10023 ; 10173

\*n° cliché : 150 \*Loc. : TR20 \*Vue depuis : O  
\*Sujet : SD10176, coupe E, sur le fossé 10142.  
\*Auteur : Victor Da-Veiga-Semedo \*Date : 01/12/2020  
\*Hz / Us : 10142 ; 10157 ; 10176

\*n° cliché : 151 \*Loc. : TR20 \*Vue depuis : NE  
\*Sujet : SD10174, coupe SO, sur 10140.  
\*Auteur : Gilles Desrayaud \*Date : 01/12/2020  
\*Hz / Us : 10140 ; 10157 ; 10174

\*n° cliché : 152 \*Loc. : TR20 \*Vue depuis : NE  
\*Sujet : SD10175, coupe SO, sur 10141.  
\*Auteur : Gilles Desrayaud \*Date : 01/12/2020  
\*Hz / Us : 10141 ; 10157 ; 10175

\*n° cliché : 153 \*Loc. : TR06 \*Vue depuis : ENE  
\*Sujet : SD10177 coupe OSO, sur le fossé 10065.  
\*Auteur : Mohammad Rayati \*Date : 02/12/2020  
\*Hz / Us : 10065 ; 10157 ; 10177

\*n° cliché : 154 \*Loc. : TR06 \*Vue depuis : ENE  
\*Sujet : SD10177 coupe OSO, sur le fossé 10065.  
\*Auteur : Mohammad Rayati \*Date : 02/12/2020  
\*Hz / Us : 10065 ; 10157 ; 10177

\*n° cliché : 155 \*Loc. : TR06 \*Vue depuis : ENE  
\*Sujet : SD10177 coupe OSO, sur le fossé 10065.  
\*Auteur : Mohammad Rayati \*Date : 02/12/2020  
\*Hz / Us : 10065 ; 10157 ; 10177

\*n° cliché : 156 \*Loc. : TR06 \*Vue depuis : NE  
\*Sujet : SD10178 coupe SO, sur 10133.  
\*Auteur : Victor Da-Veiga-Semedo \*Date : 02/12/2020  
\*Hz / Us : 10133 ; 10157 ; 10178

\*n° cliché : 157 \*Loc. : TR06 \*Vue depuis : O  
\*Sujet : SD10177 coupe E, sur la fosse 10066 et profil  
sédimentaire.  
\*Auteur : Mohammad Rayati \*Date : 02/12/2020  
\*Hz / Us : 10066 ; 10157 ; 10177

\*n° cliché : 158 \*Loc. : TR06 \*Vue depuis : O  
\*Sujet : SD10177 coupe E, sur la fosse 10066 et profil  
sédimentaire.  
\*Auteur : Mohammad Rayati \*Date : 02/12/2020  
\*Hz / Us : 10066 ; 10157 ; 10177

\*n° cliché : 159 \*Loc. : TR06 \*Vue depuis : O  
\*Sujet : SD10177 coupe E, sur la fosse 10066 et profil  
sédimentaire.  
\*Auteur : Mohammad Rayati \*Date : 02/12/2020

\*Hz / Us : 10066 ; 10157 ; 10177

\*n° cliché : 160 \*Loc. : TR06 \*Vue depuis : O  
\*Sujet : SD10177 coupe E, détail de la partie inférieure  
de la fosse 10066.  
\*Auteur : Mohammad Rayati \*Date : 02/12/2020  
\*Hz / Us : 10066 ; 10177

\*n° cliché : 161 \*Loc. : TR06 \*Vue depuis : O  
\*Sujet : SD10177 coupe E, détail du bord Sud de la  
fosse 10066.  
\*Auteur : Mohammad Rayati \*Date : 02/12/2020  
\*Hz / Us : 10066 ; 10177

\*n° cliché : 162 \*Loc. : TR06 \*Vue depuis : O  
\*Sujet : SD10177 coupe E, détail du bord Nord de la  
fosse 10066.  
\*Auteur : Mohammad Rayati \*Date : 02/12/2020  
\*Hz / Us : 10066 ; 10177

\*n° cliché : 163 \*Loc. : TR06 \*Vue depuis : O  
\*Sujet : SD10177 coupe E, fosse 10066.  
\*Auteur : Mohammad Rayati \*Date : 02/12/2020  
\*Hz / Us : 10066 ; 10177

\*n° cliché : 164 \*Loc. : TR06 \*Vue depuis : O  
\*Sujet : SD10177 coupe E, sur la fosse 10066 et profil  
sédimentaire. Céramique dans 10066-a «vidée».  
\*Auteur : Mohammad Rayati \*Date : 02/12/2020  
\*Hz / Us : 10066 ; 10157 ; 10177

\*n° cliché : 165 \*Loc. : TR06 \*Vue depuis : OSO  
\*Sujet : SD10177 coupe E, détail de la fosse 10066 :  
céramique dans 10066-a «vidée».  
\*Auteur : Mohammad Rayati \*Date : 02/12/2020  
\*Hz / Us : 10066 ; 10157 ; 10177

\*n° cliché : 166 \*Loc. : TR06 \*Vue depuis : E  
\*Sujet : Vue «sommitale», détail de la fosse 10066 :  
céramique dans 10066-a «vidée».  
\*Auteur : Mohammad Rayati \*Date : 02/12/2020  
\*Hz / Us : 10066 ; 10177

\*n° cliché : 167 \*Loc. : TR06 \*Vue depuis : SSE  
\*Sujet : Détail de la fosse 10066 : céramique dans  
10066-a «vidée».  
\*Auteur : Mohammad Rayati \*Date : 02/12/2020  
\*Hz / Us : 10066 ; 10177

\*n° cliché : 168 \*Loc. : TR06 \*Vue depuis : O  
\*Sujet : SD10177 coupe E, sur la fosse 10066 et profil  
sédimentaire. Céramique dans 10066-a «vidée».  
\*Auteur : Mohammad Rayati \*Date : 02/12/2020  
\*Hz / Us : 10066 ; 10157 ; 10177

\*n° cliché : 169 \*Loc. : TR02 \*Vue depuis : NE  
\*Sujet : Bord SO de la TR02, coupe du fossé 10034 et  
de l'excavation 10035.  
\*Auteur : Victor Da-Veiga-Semedo \*Date : 02/12/2020  
\*Hz / Us : 10034 ; 10035 ; 10036 ; 10186

- \*n° cliché : 170 \*Loc. : TR02 \*Vue depuis : NE  
 \*Sujet : Bord SO de la TR02, coupe du fossé 10034 et de l'excavation 10035.  
 \*Auteur : Victor Da-Veiga-Semedo \*Date : 02/12/2020  
 \*Hz / Us : 10034 ; 10035 ; 10036 ; 10186
- \*n° cliché : 171 \*Loc. : TR02 \*Vue depuis : NE  
 \*Sujet : Bord SO de la TR02, coupe du fossé 10034 et de l'excavation 10035.  
 \*Auteur : Victor Da-Veiga-Semedo \*Date : 02/12/2020  
 \*Hz / Us : 10034 ; 10035 ; 10036 ; 10186
- \*n° cliché : 172 \*Loc. : TR02 \*Vue depuis : NE  
 \*Sujet : SD10181, coupe SO, sur 10032 et le fossé 10123.  
 \*Auteur : Gilles Desrayaud \*Date : 02/12/2020  
 \*Hz / Us : 10001 ; 10031 ; 10032 ; 10123 ; 10181
- \*n° cliché : 173 \*Loc. : TR02 \*Vue depuis : NE  
 \*Sujet : SD10181, coupe SO, sur 10032 et le fossé 10123.  
 \*Auteur : Gilles Desrayaud \*Date : 02/12/2020  
 \*Hz / Us : 10001 ; 10031 ; 10032 ; 10123 ; 10181
- \*n° cliché : 174 \*Loc. : TR02 \*Vue depuis : OSO  
 \*Sujet : SD10182, coupe ENE, sur le fossé 10038.  
 \*Auteur : Gilles Desrayaud \*Date : 03/12/2020  
 \*Hz / Us : 10038 ; 10182
- \*n° cliché : 175 \*Loc. : TR02 \*Vue depuis : NE  
 \*Sujet : Bord SO de la TR02, coupe du fossé 10183.  
 \*Auteur : Gilles Desrayaud \*Date : 03/12/2020  
 \*Hz / Us : 10183
- \*n° cliché : 176 \*Loc. : TR02 \*Vue depuis : E  
 \*Sujet : Redécapage de 10036 = fossés 10184 + 10185 + 10186.  
 \*Auteur : Mohammad Rayati \*Date : 03/12/2020  
 \*Hz / Us : 10035 ; 10036 ; 10184 ; 10185 ; 10186
- \*n° cliché : 177 \*Loc. : TR02 \*Vue depuis : E  
 \*Sujet : Redécapage de 10036 = fossés 10184 + 10185 + 10186.  
 \*Auteur : Mohammad Rayati \*Date : 03/12/2020  
 \*Hz / Us : 10035 ; 10036 ; 10184 ; 10185 ; 10186
- \*n° cliché : 178 \*Loc. : TR02 \*Vue depuis : OSO  
 \*Sujet : Redécapage de 10036 = fossés 10184 + 10185 + 10186.  
 \*Auteur : Mohammad Rayati \*Date : 03/12/2020  
 \*Hz / Us : 10035 ; 10036 ; 10184 ; 10185 ; 10186
- \*n° cliché : 179 \*Loc. : TR02 \*Vue depuis : O  
 \*Sujet : Redécapage de 10036 = fossés 10184 + 10185 + 10186.  
 \*Auteur : Mohammad Rayati \*Date : 03/12/2020  
 \*Hz / Us : 10035 ; 10036 ; 10037 ; 10184 ; 10185 ; 10186
- \*n° cliché : 180 \*Loc. : TR02 \*Vue depuis : NO  
 \*Sujet : Redécapage de 10036 = fossés 10184 + 10185 + 10186.  
 \*Auteur : Mohammad Rayati \*Date : 03/12/2020  
 \*Hz / Us : 10034 ; 10035 ; 10036 ; 10184 ; 10185 ; 10186
- \*n° cliché : 181 \*Loc. : TR03 \*Vue depuis : SO  
 \*Sujet : Bord NE de la TR03, 10188 en coupe.  
 \*Auteur : Victor Da-Veiga-Semedo \*Date : 04/12/2020  
 \*Hz / Us : 10001 ; 10040 ; 10188
- \*n° cliché : 182 \*Loc. : TR03 \*Vue depuis : SO  
 \*Sujet : Bord NE de la TR03, 10192 en coupe.  
 \*Auteur : Gilles Desrayaud \*Date : 04/12/2020  
 \*Hz / Us : 10192
- \*n° cliché : 183 \*Loc. : TR03 \*Vue depuis : SO  
 \*Sujet : Bord NE de la TR03, 10193 en coupe.  
 \*Auteur : Gilles Desrayaud \*Date : 04/12/2020  
 \*Hz / Us : 10193
- \*n° cliché : 184 \*Loc. : TR02 \*Vue depuis : SO  
 \*Sujet : SD10187, coupe NE, profil sédimentaire. Tracés sur coupe approximatifs.  
 \*Auteur : Mohammad Rayati \*Date : 04/12/2020  
 \*Hz / Us : 10187
- \*n° cliché : 185 \*Loc. : TR02 \*Vue depuis : SO  
 \*Sujet : SD10187, coupe NE, profil sédimentaire. Tracés sur coupe approximatifs.  
 \*Auteur : Mohammad Rayati \*Date : 04/12/2020  
 \*Hz / Us : 10187
- \*n° cliché : 186 \*Loc. : TR03 \*Vue depuis : SO  
 \*Sujet : Bord NE de la TR03, 10189, fossé 10044 = 10190 et 10191 en coupe.  
 \*Auteur : Victor Da-Veiga-Semedo \*Date : 04/12/2020  
 \*Hz / Us : 10001 ; 10040 ; 10044 ; 10189 ; 10190 ; 10191 ; 10199
- \*n° cliché : 187 \*Loc. : TR03 \*Vue depuis : SO  
 \*Sujet : Bord NE de la TR03, 10189, fossé 10044 = 10190 et 10191 en coupe.  
 \*Auteur : Victor Da-Veiga-Semedo \*Date : 04/12/2020  
 \*Hz / Us : 10001 ; 10040 ; 10044 ; 10189 ; 10190 ; 10191 ; 10199
- \*n° cliché : 188 \*Loc. : TR10 \*Vue depuis : ENE  
 \*Sujet : PO11008 coupé-e à 50%, vue «sommitale».  
 \*Auteur : Victor Da-Veiga-Semedo \*Date : 07/12/2020  
 \*Hz / Us : 11008 ; 11026 ; 11039
- \*n° cliché : 189 \*Loc. : TR10 \*Vue depuis : ENE  
 \*Sujet : PO11008 fouillé à 50%, coupe.  
 \*Auteur : Victor Da-Veiga-Semedo \*Date : 07/12/2020  
 \*Hz / Us : 11008 ; 11026 ; 11039
- \*n° cliché : 190 \*Loc. : TR10 \*Vue depuis : ENE  
 \*Sujet : PO11008 fouillé à 50%, coupe.

\*Auteur : Victor Da-Veiga-Semedo \*Date : 07/12/2020  
\*Hz / Us : 11008 ; 11026 ; 11039

\*n° cliché : 191 \*Loc. : TR10 \*Vue depuis : ENE  
\*Sujet : PO11008 fouillé à 50%, coupe.  
\*Auteur : Victor Da-Veiga-Semedo \*Date : 07/12/2020  
\*Hz / Us : 11008 ; 11026 ; 11039

\*n° cliché : 192 \*Loc. : TR11 \*Vue depuis : NE  
\*Sujet : SD11040, coupe SO, sur 11020 et le petit fossé 11041.  
\*Auteur : Gilles Desrayaud \*Date : 07/12/2020  
\*Hz / Us : 11020 ; 11040 ; 11041

\*n° cliché : 193 \*Loc. : TR11 \*Vue depuis : NE  
\*Sujet : SD11040, coupe SO, sur 11020 et le petit fossé 11041.  
\*Auteur : Gilles Desrayaud \*Date : 07/12/2020  
\*Hz / Us : 11020 ; 11021 ; 11040 ; 11041 ; 11042

\*n° cliché : 194 \*Loc. : TR11 \*Vue depuis : SSO  
\*Sujet : SD11043, coupe NNE, sur 11033 et le fossé 11032.  
\*Auteur : Victor Da-Veiga-Semedo \*Date : 07/12/2020  
\*Hz / Us : 11012 ; 11032 ; 11033 ; 11043

\*n° cliché : 195 \*Loc. : TR11 \*Vue depuis : SSO  
\*Sujet : SD11043, coupe NNE, sur 11033 et le fossé 11032.  
\*Auteur : Victor Da-Veiga-Semedo \*Date : 07/12/2020  
\*Hz / Us : 11012 ; 11032 ; 11033 ; 11043

\*n° cliché : 196 \*Loc. : TR03 \*Vue depuis : NNE  
\*Sujet : SD10197, coupe SSO, sur le fossé 10109.  
\*Auteur : Victor Da-Veiga-Semedo \*Date : 07/12/2020  
\*Hz / Us : 10109 ; 10197

\*n° cliché : 197 \*Loc. : TR03 \*Vue depuis : NNE  
\*Sujet : SD10197, coupe SSO, sur le fossé 10109.  
\*Auteur : Victor Da-Veiga-Semedo \*Date : 07/12/2020  
\*Hz / Us : 10109 ; 10197

\*n° cliché : 198 \*Loc. : TR04 \*Vue depuis : SO  
\*Sujet : SD10197, coupe du PO10058 à 50 %, en plan.  
\*Auteur : Victor Da-Veiga-Semedo \*Date : 07/12/2020  
\*Hz / Us : 10058 ; 10201

\*n° cliché : 199 \*Loc. : TR04 \*Vue depuis : SO  
\*Sujet : SD10197, coupe NE, sur le PO10058.  
\*Auteur : Victor Da-Veiga-Semedo \*Date : 07/12/2020  
\*Hz / Us : 10001 ; 10055 ; 10058 ; 10199 ; 10201

\*n° cliché : 200 \*Loc. : TR04 \*Vue depuis : SO  
\*Sujet : SD10201, coupe NE, sur 10056.  
\*Auteur : Gilles Desrayaud \*Date : 07/12/2020  
\*Hz / Us : 10001 ; 10055 ; 10056 ; 10202

\*n° cliché : 201 \*Loc. : TR04 \*Vue depuis : SO  
\*Sujet : SD10201, coupe NE, sur 10056.

\*Auteur : Gilles Desrayaud \*Date : 07/12/2020  
\*Hz / Us : 10001 ; 10055 ; 10056 ; 10202

\*n° cliché : 202 \*Loc. : TR04 \*Vue depuis : SO  
\*Sujet : -Erreur plaque «11203».  
-CP10203, bord NE de la TR04, Hz/Us10199.  
\*Auteur : Victor Da-Veiga-Semedo \*Date : 07/12/2020  
\*Hz / Us : 10001 ; 10055 ; 10199 ; 10203

\*n° cliché : 203 \*Loc. : TR04 \*Vue depuis : NE  
\*Sujet : SD10204 et 10205, coupes SO, sur 10062 et 10128.  
\*Auteur : Gilles Desrayaud \*Date : 07/12/2020  
\*Hz / Us : 10062 ; 10127 ; 10128 ; 10199 ; 10204 ; 10205

\*n° cliché : 204 \*Loc. : TR04 \*Vue depuis : NE  
\*Sujet : SD10204 et 10205, coupes SO, sur 10062 et 10128.  
\*Auteur : Gilles Desrayaud \*Date : 07/12/2020  
\*Hz / Us : 10062 ; 10127 ; 10128 ; 10199 ; 10204 ; 10205

\*n° cliché : 205 \*Loc. : TR05 \*Vue depuis : NE  
\*Sujet : SD10204, coupe SO, sur le PO10064, en plan.  
\*Auteur : Victor Da-Veiga-Semedo \*Date : 08/12/2020  
\*Hz / Us : 10064 ; 10206

\*n° cliché : 206 \*Loc. : TR05 \*Vue depuis : NE  
\*Sujet : SD10204, coupe SO, sur le PO10064.  
\*Auteur : Victor Da-Veiga-Semedo \*Date : 08/12/2020  
\*Hz / Us : 10064 ; 10206

\*n° cliché : 207 \*Loc. : TR19 \*Vue depuis : NO  
\*Sujet : SD10207, coupe SE, sur le PO10136.  
\*Auteur : Victor Da-Veiga-Semedo \*Date : 08/12/2020  
\*Hz / Us : 10001 ; 10063 ; 10136 ; 10207

\*n° cliché : 208 \*Loc. : TR01 \*Vue depuis : SSO  
\*Sujet : Sépulture 10106, après surdécapage et nettoyage partiels, crâne à l'Ouest et aménagement de pierres.  
\*Auteur : Victor Da-Veiga-Semedo \*Date : 08/12/2020  
\*Hz / Us : 10106

\*n° cliché : 209 \*Loc. : TR01 \*Vue depuis : NNO  
\*Sujet : Sépulture 10106, après surdécapage et nettoyage partiels, crâne à l'Ouest et aménagement de pierres.  
\*Auteur : Victor Da-Veiga-Semedo \*Date : 08/12/2020  
\*Hz / Us : 10106

\*n° cliché : 210 \*Loc. : TR01 \*Vue depuis : NNO  
\*Sujet : Sépulture 10106, après surdécapage et nettoyage partiels. Partie occidentale : crâne à l'Ouest et aménagement de pierres.  
\*Auteur : Victor Da-Veiga-Semedo \*Date : 08/12/2020  
\*Hz / Us : 10106

\*n° cliché : 211 \*Loc. : TR07-08 \*Vue depuis : NNO

\*Sujet : TR07-08, vue de la fosse 10084 et du four culinaire 10085 après nettoyage.

\*Auteur : Mohammad Rayati \*Date : 09/12/2020  
\*Hz / Us : 10084 ; 10085 ; 10086 ; 10087 ; 10088 ; 10089 ; 10090 ; 10125 ; 10129 ; 10214 ; 10229

\*n° cliché : 212 \*Loc. : TR07-08 \*Vue depuis : NNO

\*Sujet : TR07-08, vue de la fosse 10084 et du four culinaire 10085 après nettoyage.

\*Auteur : Mohammad Rayati \*Date : 09/12/2020  
\*Hz / Us : 10084 ; 10085 ; 10086 ; 10087 ; 10088 ; 10089 ; 10125 ; 10129 ; 10214 ; 10229

\*n° cliché : 213 \*Loc. : TR07-08 \*Vue depuis : E

\*Sujet : TR07-08, vue du four culinaire 10085 après nettoyage.

\*Auteur : Mohammad Rayati \*Date : 09/12/2020  
\*Hz / Us : 10084 ; 10085 ; 10214

\*n° cliché : 214 \*Loc. : TR07-08 \*Vue depuis : SSE

\*Sujet : TR07-08, vue du four culinaire 10085 et de la fosse 10084 après nettoyage.

\*Auteur : Mohammad Rayati \*Date : 09/12/2020  
\*Hz / Us : 10084 ; 10085 ; 10213 ; 10214 ; 10215 ; 10227 ; 10228 ; 10229

\*n° cliché : 215 \*Loc. : TR07-08 \*Vue depuis : S

\*Sujet : TR07-08, vue du four culinaire 10085 après nettoyage.

\*Auteur : Mohammad Rayati \*Date : 09/12/2020  
\*Hz / Us : 10084 ; 10085 ; 10129

\*n° cliché : 216 \*Loc. : TR07-08 \*Vue depuis : SSE

\*Sujet : TR07-08, vue du four culinaire 10085 et de la fosse 10084 après nettoyage.

\*Auteur : Mohammad Rayati \*Date : 09/12/2020  
\*Hz / Us : 10084 ; 10085 ; 10213 ; 10214 ; 10215 ; 10227 ; 10228 ; 10229

\*n° cliché : 217 \*Loc. : TR10 \*Vue depuis : ENE

\*Sujet : Moitié Ouest du PO11008 vidée.

\*Auteur : Gilles Desrayaud \*Date : 09/12/2020  
\*Hz / Us : 11008 ; 11026 ; 11039

\*n° cliché : 218 \*Loc. : TR10 \*Vue depuis : ENE

\*Sujet : Moitié Ouest du PO11008 vidée.

\*Auteur : Gilles Desrayaud \*Date : 09/12/2020  
\*Hz / Us : 11008 ; 11026 ; 11039

\*n° cliché : 219 \*Loc. : TR10 \*Vue depuis : ESE

\*Sujet : Vue des 4/5 NE de la TR10. Au premier plan, PO10058 vidé et SD11039.

\*Auteur : Gilles Desrayaud \*Date : 09/12/2020  
\*Hz / Us : 11007 ; 11008 ; 11011 ; 11026 ; 11039

\*n° cliché : 220 \*Loc. : TR10 \*Vue depuis : OSO

\*Sujet : Vue en plan de la moitié Ouest du PO11008, vidée.

\*Auteur : Gilles Desrayaud \*Date : 09/12/2020  
\*Hz / Us : 11008 ; 11026 ; 11039

\*n° cliché : 221 \*Loc. : TR07 \*Vue depuis : SO

\*Sujet : Vue de la FS10218 après nettoyage.

\*Auteur : Mohammad Rayati \*Date : 09/12/2020  
\*Hz / Us : 10082 ; 10083 ; 10216 ; 10217 ; 10218.

\*n° cliché : 222 \*Loc. : TR08 \*Vue depuis : SO

\*Sujet : Vue de l'excavation 10095 en cours de nettoyage.

\*Auteur : Victor Da-Veiga-Semedo \*Date : 09/12/2020  
\*Hz / Us : 10095

\*n° cliché : 223 \*Loc. : TR08 \*Vue depuis : SO

\*Sujet : Vue de l'excavation 10095 en cours de nettoyage.

\*Auteur : Victor Da-Veiga-Semedo \*Date : 09/12/2020  
\*Hz / Us : 10095 ; 10224

\*n° cliché : 224 \*Loc. : TR07-08 \*Vue depuis : NO

\*Sujet : Perche : vue du secteur central de la TR07 après renettoyage.

\*Auteur : Gilles Desrayaud \*Date : 10/12/2020  
\*Hz / Us : 10082 ; 10083 ; 10084 ; 10085 ; 10090 ; 10115 ; 10116 ; 10213 ; 10214 ; 10215 ; 10216 ; 10217 ; 10218 ; 10224 ; 10229

\*n° cliché : 225 \*Loc. : TR07-08 \*Vue depuis : NO

\*Sujet : Perche : vue du secteur central de la TR07 après renettoyage.

\*Auteur : Gilles Desrayaud \*Date : 10/12/2020  
\*Hz / Us : 10082 ; 10083 ; 10084 ; 10085 ; 10090 ; 10092 ; 10115 ; 10116 ; 10213 ; 10214 ; 10215 ; 10216 ; 10217 ; 10218 ; 10224 ; 10229

\*n° cliché : 226 \*Loc. : TR07-08 \*Vue depuis : NO

\*Sujet : Perche : vue du secteur central de la TR07 après renettoyage.

\*Auteur : Mohammad Rayati \*Date : 10/12/2020  
\*Hz / Us : 10082 ; 10083 ; 10084 ; 10085 ; 10115 ; 10116 ; 10213 ; 10214 ; 10215 ; 10216 ; 10217 ; 10218 ; 10224 ; 10229

\*n° cliché : 227 \*Loc. : TR08 \*Vue depuis : SO

\*Sujet : Perche : couverture photo de l'EX10095 après nettoyage des pierres, 1/4.

\*Auteur : Mohammad Rayati \*Date : 10/12/2020  
\*Hz / Us : 10095 ; 10224 ; 10227

\*n° cliché : 228 \*Loc. : TR08 \*Vue depuis : SO

\*Sujet : Perche : couverture photo de l'EX10095 après nettoyage des pierres, 1/4.

\*Auteur : Mohammad Rayati \*Date : 10/12/2020  
\*Hz / Us : 10095 ; 10224 ; 10227

\*n° cliché : 229 \*Loc. : TR08 \*Vue depuis : SO

\*Sujet : Perche : couverture photo de l'EX10095 après nettoyage des pierres, 2/4.

\*Auteur : Mohammad Rayati \*Date : 10/12/2020  
\*Hz / Us : 10095

\*n° cliché : 230 \*Loc. : TR08 \*Vue depuis : SO  
 \*Sujet : Perche : couverture photo de l'EX10095 après nettoyage des pierres, 2/4.  
 \*Auteur : Mohammad Rayati \*Date : 10/12/2020  
 \*Hz / Us : 10095

\*n° cliché : 231 \*Loc. : TR08 \*Vue depuis : SO  
 \*Sujet : Perche : couverture photo de l'EX10095 après nettoyage des pierres, 3/4.  
 \*Auteur : Mohammad Rayati \*Date : 10/12/2020  
 \*Hz / Us : 10095

\*n° cliché : 232 \*Loc. : TR08 \*Vue depuis : SO  
 \*Sujet : Perche : couverture photo de l'EX10095 après nettoyage des pierres, 3/4.  
 \*Auteur : Mohammad Rayati \*Date : 10/12/2020  
 \*Hz / Us : 10095

\*n° cliché : 233 \*Loc. : TR08 \*Vue depuis : SO  
 \*Sujet : Perche : couverture photo de l'EX10095 après nettoyage des pierres, 4/4.  
 \*Auteur : Mohammad Rayati \*Date : 10/12/2020  
 \*Hz / Us : 10095

\*n° cliché : 234 \*Loc. : TR08 \*Vue depuis : SO  
 \*Sujet : Perche : couverture photo de l'EX10095 après nettoyage des pierres, 4/4.  
 \*Auteur : Mohammad Rayati \*Date : 10/12/2020  
 \*Hz / Us : 10095

\*n° cliché : 235 \*Loc. : TR08 \*Vue depuis : SE  
 \*Sujet : Bord NO de la TR08, coupe du bord oriental de l'excavation 10095.  
 \*Auteur : Gilles Desrayaud \*Date : 10/12/2020  
 \*Hz / Us : 10094 ; 10095

\*n° cliché : 236 \*Loc. : TR08 \*Vue depuis : SE  
 \*Sujet : Bord NO de la TR08, coupe du bord oriental de l'excavation 10095.  
 \*Auteur : Gilles Desrayaud \*Date : 10/12/2020  
 \*Hz / Us : 10094 ; 10095

\*n° cliché : 237 \*Loc. : Zone Nord \*Vue depuis : NO  
 \*Sujet : Tranchées de la Zone Nord rebouchées.  
 \*Auteur : Loïc Van De Winckel \*Date : 16/12/2020

\*n° cliché : 238  
 \*Sujet : Haches polies du PO11008, après lavage, 1/2.  
 \*Auteur : Mohammad Rayati \*Date : déc-20  
 \*Hz / Us : 11008

\*n° cliché : 239  
 \*Sujet : Haches polies du PO11008, après lavage, 2/2.  
 \*Auteur : Mohammad Rayati \*Date : déc-20  
 \*Hz / Us : 11008

\*n° cliché : 240  
 \*Sujet : Mobilier du PO11008 après lavage/séchage, 1/1.  
 \*Auteur : Gilles Desrayaud \*Date : déc-20

\*Hz / Us : 11008

\*n° cliché : 241  
 \*Sujet : Mobilier lithique taillé (hors 11008), après lavage, 1/1.  
 \*Auteur : Gilles Desrayaud \*Date : déc-20

\*n° cliché : 242  
 \*Sujet : Céramique non tournée (hors 11008), après lavage, 1/3.  
 \*Auteur : Gilles Desrayaud \*Date : déc-20  
 \*Hz / Us : 11012

\*n° cliché : 243  
 \*Sujet : Céramique non tournée (hors 11008), après lavage, 2/3.  
 \*Auteur : Gilles Desrayaud \*Date : déc-20  
 \*Hz / Us : 11005 ; 11033

\*n° cliché : 244  
 \*Sujet : Céramique non tournée (hors 11008), après lavage, 3/3.  
 \*Auteur : Gilles Desrayaud \*Date : déc-20

\*n° cliché : 245  
 \*Sujet : Céramique tournée, après lavage, 1/3.  
 \*Auteur : Gilles Desrayaud \*Date : déc-20

\*n° cliché : 246  
 \*Sujet : Céramique tournée, après lavage, 2/3.  
 \*Auteur : Gilles Desrayaud \*Date : déc-20

\*n° cliché : 247  
 \*Sujet : Céramique tournée, après lavage, 3/3.  
 \*Auteur : Gilles Desrayaud \*Date : déc-20

\*n° cliché : 248  
 \*Sujet : Mobilier/prélèvements «ferreux», après lavage, 1/1.  
 \*Auteur : Gilles Desrayaud \*Date : déc-20  
 \*Hz / Us : 10036 ; 11027 ; 11012 ; 11049 ; 11050

\*n° cliché : 249  
 \*Sujet : Mobilier faunique, après lavage, 1/5.  
 \*Auteur : Gilles Desrayaud \*Date : déc-20

\*n° cliché : 250  
 \*Sujet : Mobilier faunique, après lavage, 2/5.  
 \*Auteur : Gilles Desrayaud \*Date : déc-20

\*n° cliché : 251  
 \*Sujet : Mobilier faunique, après lavage, 3/5.  
 \*Auteur : Gilles Desrayaud \*Date : déc-20  
 \*Hz / Us : 10095

\*n° cliché : 252  
 \*Sujet : Mobilier faunique, après lavage, 4/5.  
 \*Auteur : Gilles Desrayaud \*Date : déc-20

\*n° cliché : 253

\*Sujet : Mobilier faunique, après lavage, 5/5.

\*Auteur : Gilles Desrayaud \*Date : déc-20

\*Hz / Us : 10221

\*n° cliché : 254

\*Sujet : Partie de coupelle en sigillée du fossé 11015,  
1/2.

\*Auteur : Annie Lefèvre \*Date : janv-21

\*Hz / Us : 11015

\*n° cliché : 255

\*Sujet : Partie de coupelle en sigillée du fossé 11015,  
1/2.

\*Auteur : Annie Lefèvre \*Date : janv-21

\*Hz / Us : 11015

#### **4.5.4. Documents numériques**

##### **Rapport :**

-Texte et tableaux : Microsoft Office Word 2016 et PDF.

-Tableaux : Microsoft Office Excel 2016.

-Figures : Adobe Illustrator CS4 et Jpeg.

-Version PDF.

##### **Inventaires :**

-File Maker Pro 5.

-Microsoft Office Excel 2016.

-Microsoft Office Word 2016

-Version PDF.

##### **Scans et Photographies :**

-PDF.

-Jpeg.

##### **Planches illustrées :**

-Adobe Illustrator CS4.

-Qgis.

-Version PDF.

##### **Plan général et topographie :**

-Microsoft Office Excel 2016.

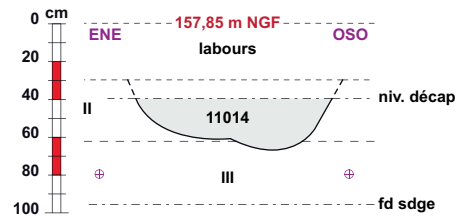
-DWG (Autocad / Draftsight)

-Adobe Illustrator CS4.



# v. **Planches illustrées**





**A** : Fossé 11014, SD11035, cpe SSE

\*-Fossé 11014 :

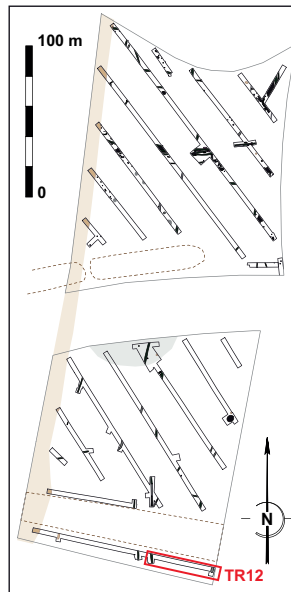
-LA gris beige lég. bariolé, rares petites pierres silico-calcaires.

\*-Encaissants :

-II : Poches de LA beige bariolé, d'ALS brun orangé à jaunâtre et de cailloutis / petites pierres silico-calcaires anguleuses éparses avec petits graviers / sable grossier anguleux à arrondis épars à abondants par endroits.

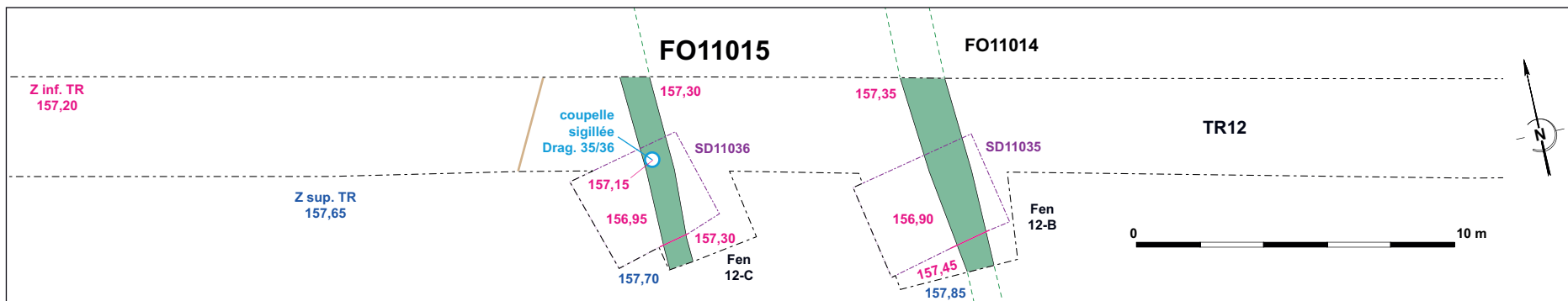
-III : Argile jaune orangée à marbrures grises, petit cailloutis anguleux épars à erratique, pierres silico-calcaires erratiques.

(© INRAP, G. Desrayaud, V. Da-Veiga-Semedo).

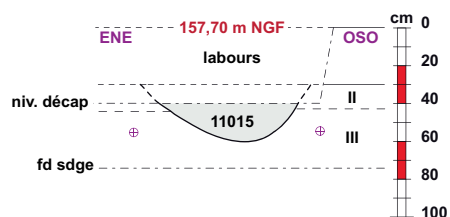


**B** : Vue générale de la TR12 depuis l'ESE, le 27/11/2020.

Au premier plan, creusement indéterminé 11013 (peinture orange) et fenêtre 12-A.  
Sous labours, Hz-II, poches de LA beige bariolé, d'ALS brun orangé à jaunâtre et de cailloutis / petites pierres silico-calcaires anguleuses éparses avec petits graviers / sable grossier anguleux à arrondis épars à abondants par endroits (cliché n°118 : © INRAP, G. Desrayaud).



A : Fossé 11015, SD11036, cpe SSE



\*-Encaissants :

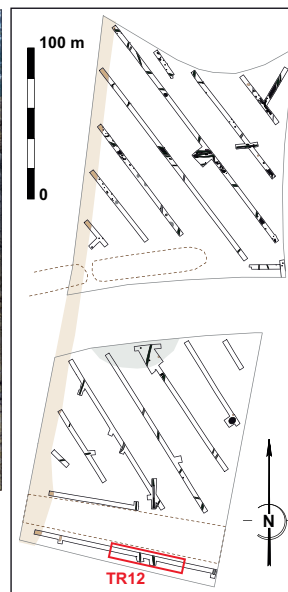
-II : Poches de LA beige bariolé, d'ALS brun orangé à jaunâtre et de cailloutis / petites pierres silico-calcaires anguleuses éparses avec petits graviers / sable grossier anguleux à arrondis épars à abondants par endroits.

-III : Argile jaune orangée à marbrures grises, petit cailloutis anguleux épars à erratique, pierres silico-calcaires erratiques.

\*-Fossé 11015 (peinture orange) :

-LA gris beige lég. bariolé, rares petites pierres silico-calcaires.

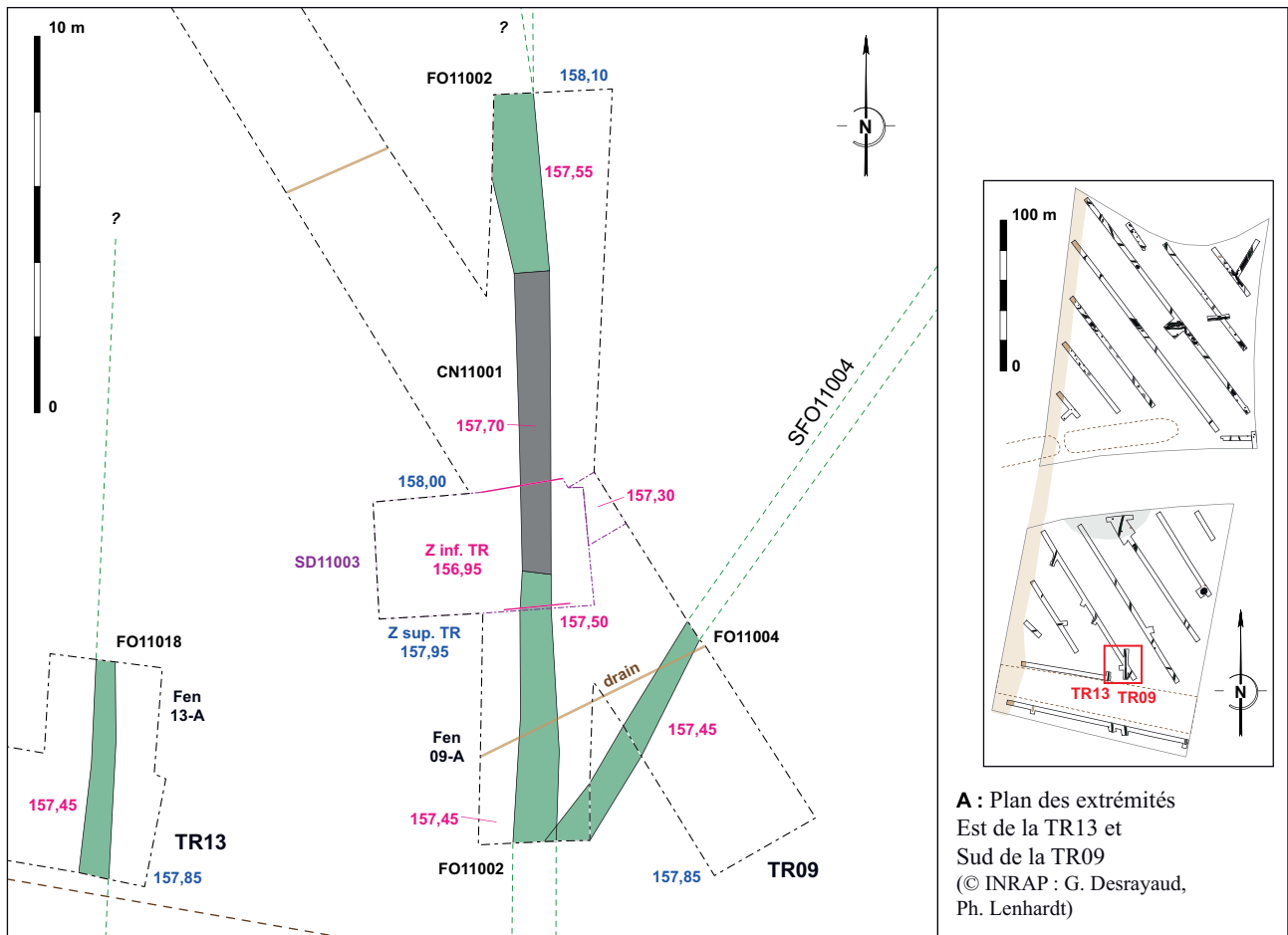
(cliché n°115 ; © INRAP, G. Desrayaud, V. Da-Veiga-Semedo).



B : Fossé 11015, au centre, entre 157,25 m et 157,15 m NGF.

Morceau principal de coupelle en sigillée, fragmentée et érodée, mais presque entière, Drag. 35/36, milieu Ier-milieu IIe s. ap. J.-C. (clichés n°254-255 : © INRAP, A. Lefèvre).

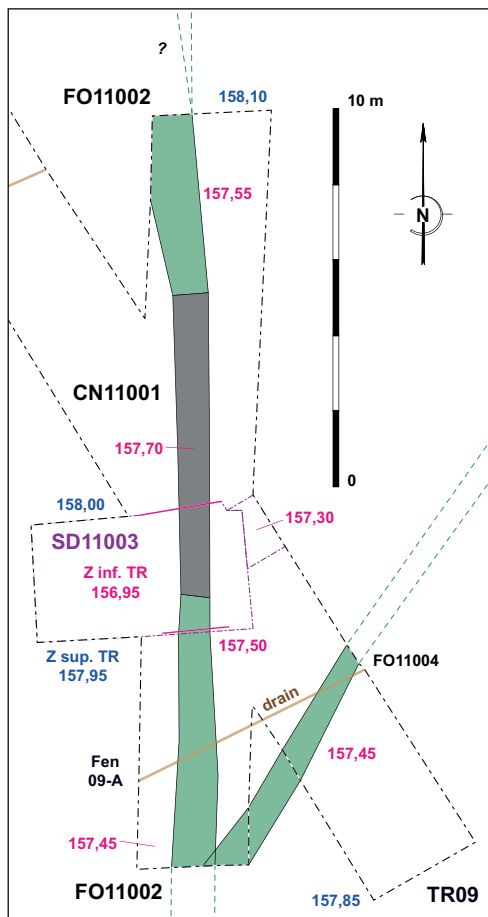




**A** : Plan des extrémités Est de la TR13 et Sud de la TR09  
(© INRAP : G. Desrayaud, Ph. Lenhardt)

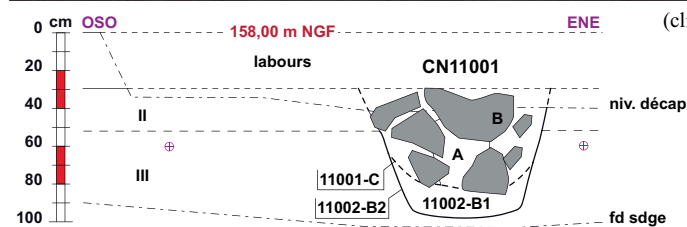
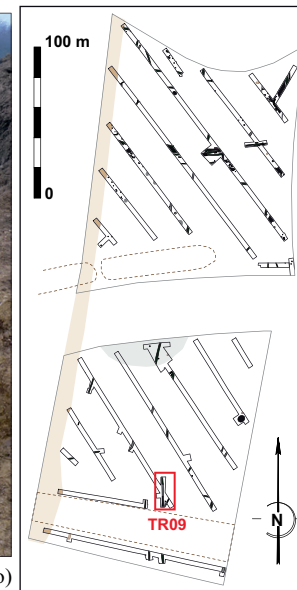


**B** : Vue générale de la TR09 depuis le SSE, le 27/11/2020.  
Fossé 11004, fossé 11002 (peinture orange) et canalisation 11001, sondage 11003  
(cliché n°120 ; © INRAP : G. Desrayaud)

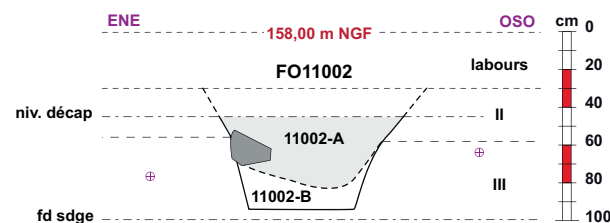


\*-SD11003, cpe NNO, CN11001 / FO11002 :

- 11001-A : Comblement interne du canal central (env. 0,2 m de "diamètre"), LA brun beige à jaunâtre.
- 11001-B : Maçonnerie liée à la terre. Pierres silico-calcaires de chant ou empilées formant les bords / "piédroits", dalles / grosses pierres silico-calcaires (L < 0,9 m) plus ou moins plates formant la couverture.
- 11001-C <=> 11002-A2 : Creusement / niveau d'installation de la CN11001 dans le FO11002.
- 11002-B1 : Remblai d'AL/LA beige à jaunâtre.
- 11002-B2 : Creusement initial conservé du FO11002 = fond à 157,00 m NGF.



A : SD11003, coupe NNO



B : SD11003, coupe SSE

\*-SD11003, cpe SSE, FO11002 :

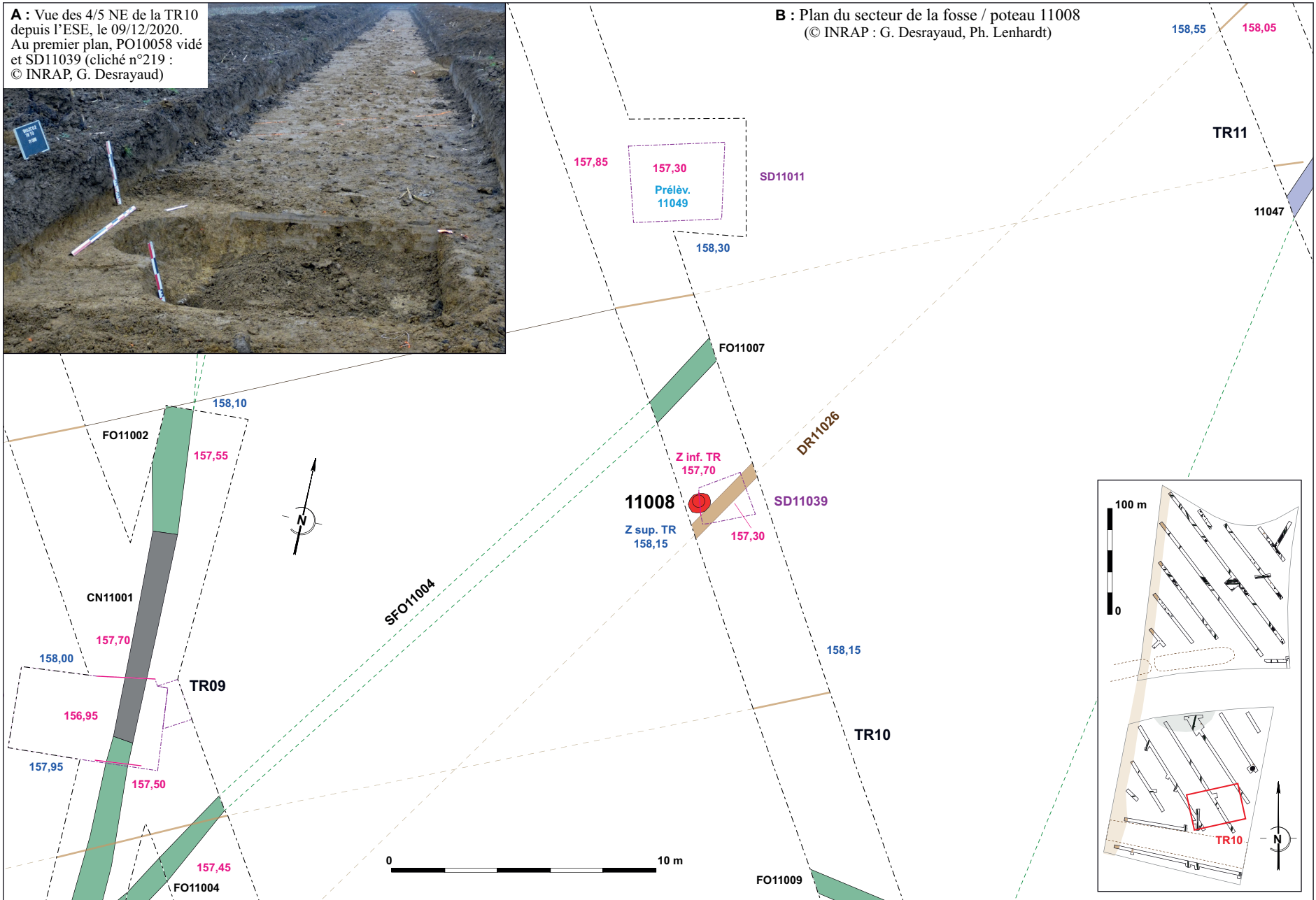
- 11002-A1 : Comblement de LA gris à gris beige, pierres silico-calcaires éparses à erratiques (11001 remaniée ?).
- 11002-A2 <=> 11003-C : Recreusement du FO11002 (P. : 0,5).
- 11002-B1 : Remblai d'AL/LA beige à jaunâtre.
- 11002-B2 : Creusement initial conservé du FO11002 (P. : 0,65) = fond à 157,00 m NGF.



(cliché n°114 : © INRAP, V. Da-Veiga-Semedo)

\*-Encaissements :

- II : Poches de LA beige bariolé, d'ALS brun orangé à jaunâtre et de cailloutis / petites pierres silico-calcaires anguleuses éparses avec petits graviers / sable grossier anguleux à arrondis épars à abondants par endroits.
- III : Argile jaune orangée à marbrures grises, petit cailloutis anguleux épars à erratique, pierres silico-calcaires erratiques.





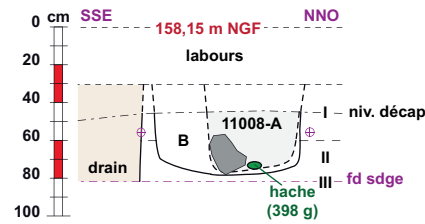
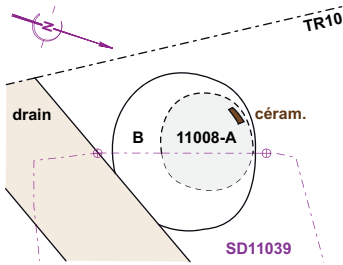
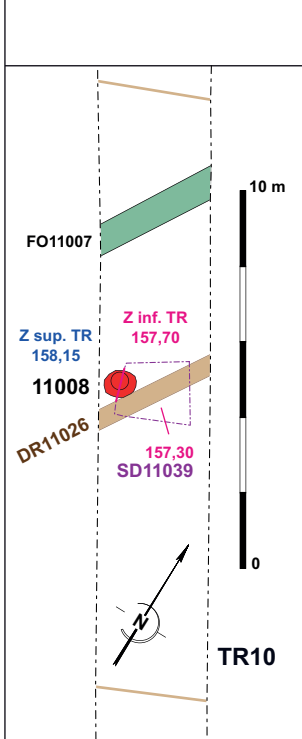
(cliché n°188 : © INRAP, V. Da-Veiga-Semedo)



(cliché n°189 : © INRAP, V. Da-Veiga-Semedo)



(cliché n°217 : © INRAP, G. Desrayaud)



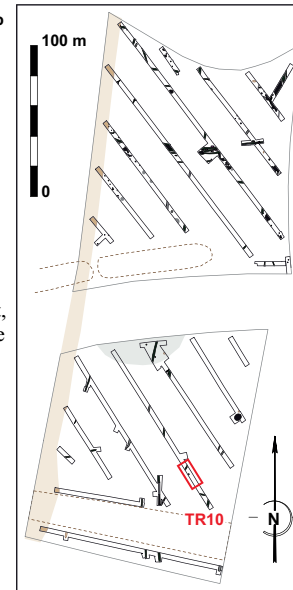
PO11008,  
SD11039, coupe OSO

\*-PO11008 :

- 11008-A1 : LA gris à gris beige et charbons erratiques, poches de LA gris sombre et charbons épars, petites mottes.
- 11008-A2 : Contre paroi SE / sur fond, 3 pierres de calage (1 gros éclat de grès facetté brut, moitié Ouest, L. : env. 0,5 ; 1 pierre silico-calcaire, en coupe, L. : env. 0,2 ; 1 frag. de pierre plate / "molette", moitié Est, L. : 0,25).
- \*-11008-B : Avant-trou. LA beige, mottes/perturbations grisâtres avec charbons épars à erratiques.

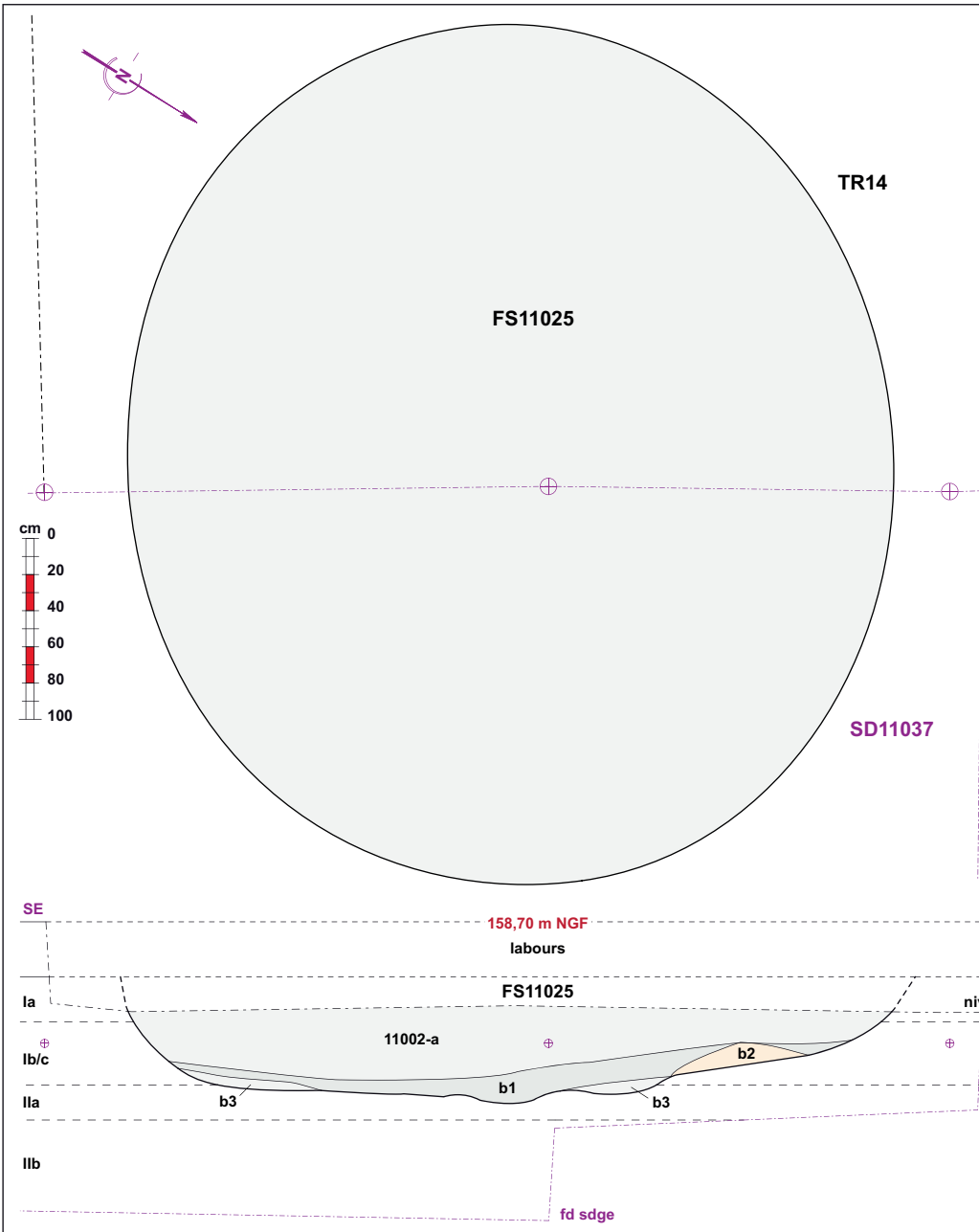
\*-Encaissants :

- I : LA/AL beige jaune à jaunâtre.
- II/III : Poches d'AL sableuse brun jaune avec cailloutis silico-calcaire anguleux épars, à ALS jaune foncé "vif" et petites pierres silico-calcaires éparses à erratiques.



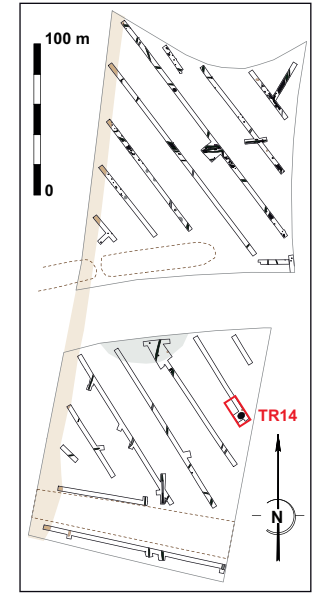
Mobilier du PO11008, après lavage / séchage  
(cliché n°240 : © INRAP, G. Desrayaud)



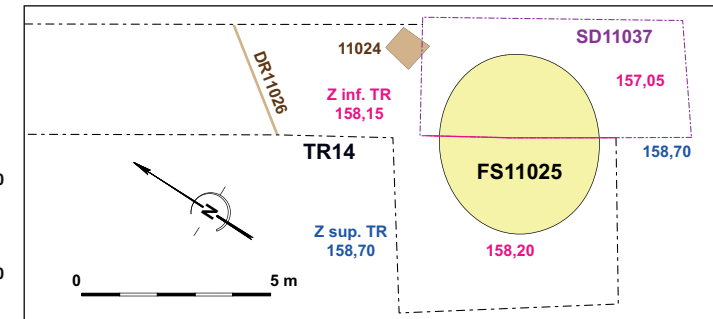


\*FS11025 :  
 -11025-a : Litages de LA beige à beige blanchi.  
 -11025-b : Sur fond et départ des parois, LA gris à gris beige (b3) avec plages de charbons (b1) et/ou gros fragments de terre chauffée / rubéfiée (b2) épars à abondants.

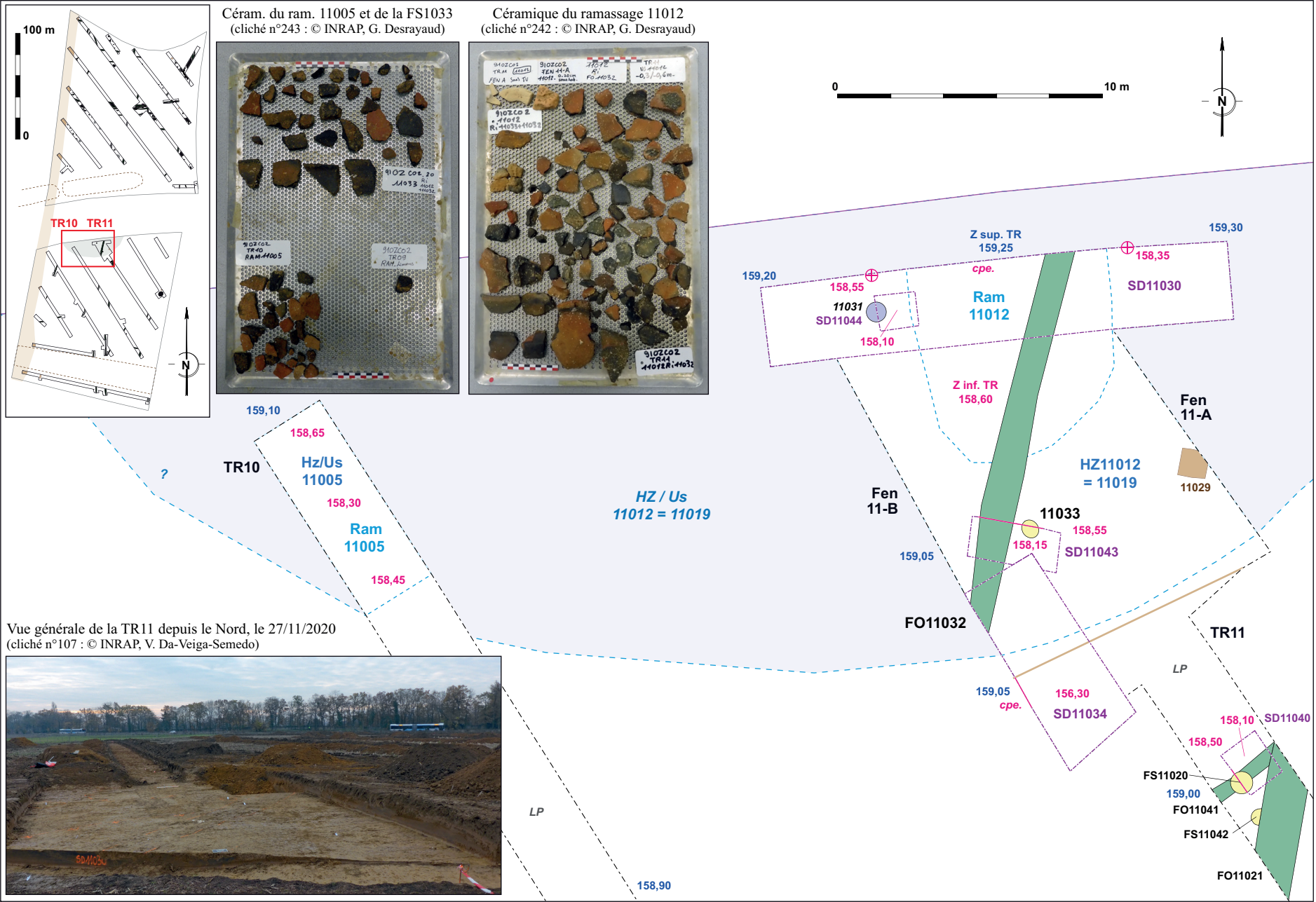
\*Encaissants :  
 -Hz-Ia : LA beige à brun jaune (LP).  
 -Hz-Ib/c : LA/AL brun orangé à jaunâtre (LP).  
 -Hz II-a : Limites irrégulières, AL brun jaune, poches fréquentes de cailloutis / petites pierres silico-calcaires anguleux et petits graviers / sable grossier anguleux à arrondis épars à abondants.  
 -Hz II-b : Limite supérieure irrégulière, ALS jaune vif à foncé, rares petites inclusions calcaires et petit cailloutis.



(cliché n°091 : © INRAP, M. Rayati)

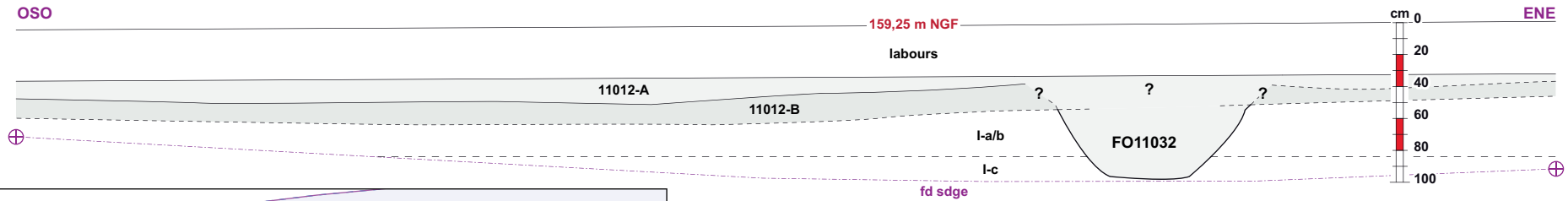


Pl. 009 Orsay (91), Zac de Corbeville, partie Ouest, phase 2. Secteur des horizons / ramassages 11005 / 11012 et de la fosse 11033, TR10 et 11  
 © INRAP : G. Desrayaud, Ph. Lelhiardit, V. DaVeiga-Semedo

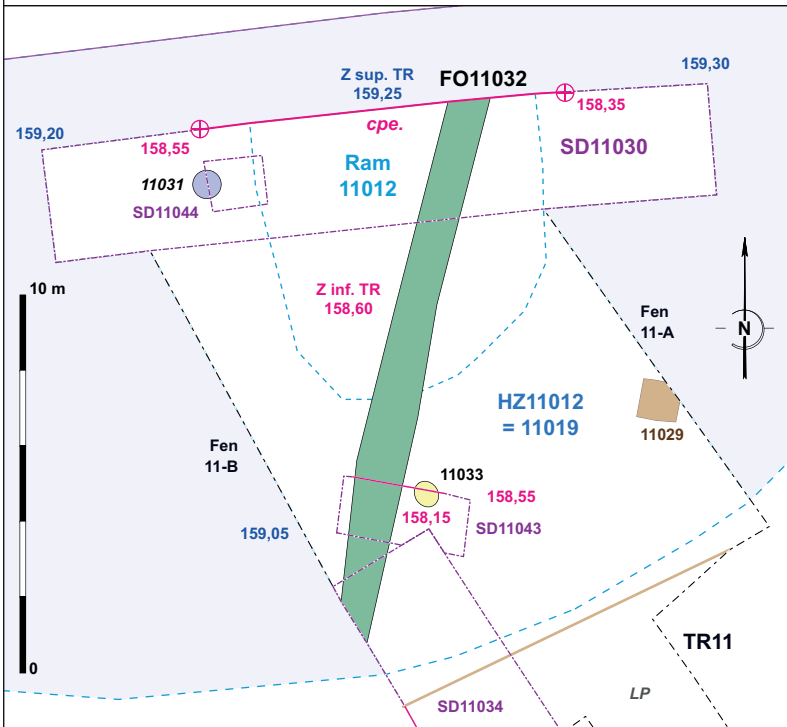




(cliché n°095 :  
© INRAP,  
V. Da-veiga-Semedo)



SD11030, coupe NNO



\*-SD11030, centre de la coupe NNO :  
Z sup. sol actuel (11/2020) = 159,25 m NGF.

-env. 0,00-0,30 m : Labours.

-env. 0,30-0,45 m, 11012-A : Limon peu argileux beige, tessons modelés épars à erratiques.

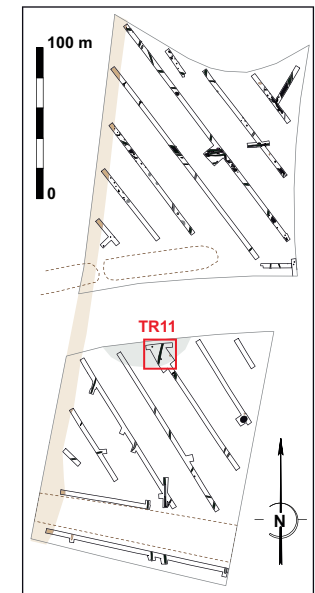
-env. 0,45-0,60 m, 11012-B : LA brun gris lég. bariolé, tessons modelés épars à erratiques.

-FO11032 : LA beige à gris clair, mottes brun orangé à jaunâtres éparses à abondantes.

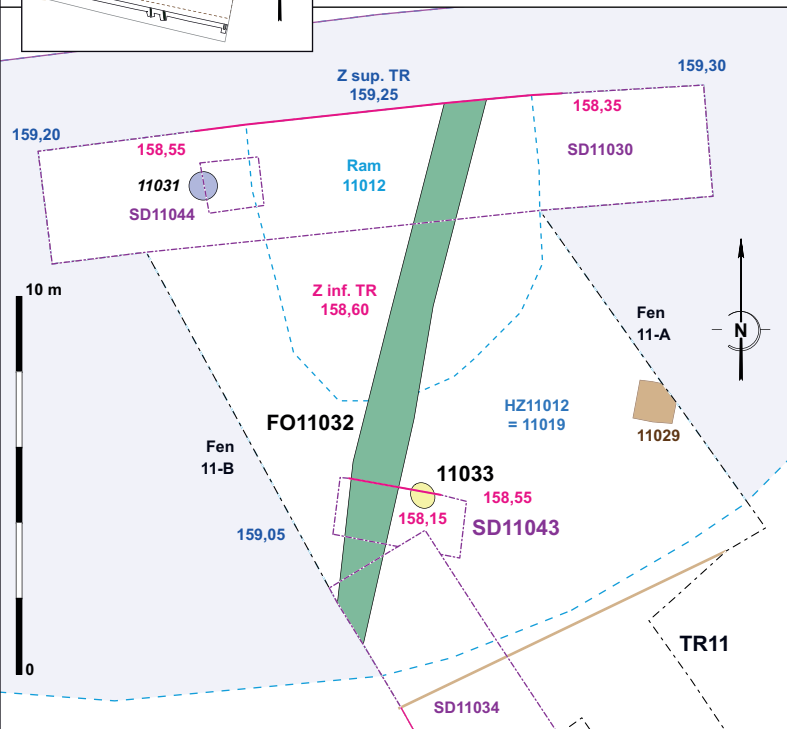
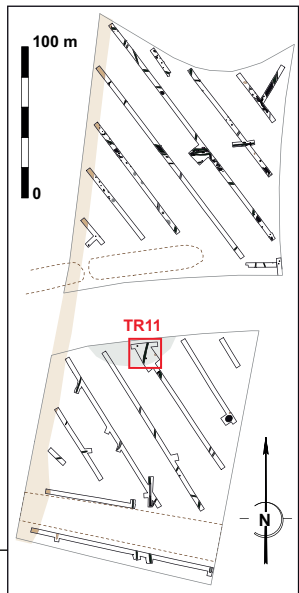
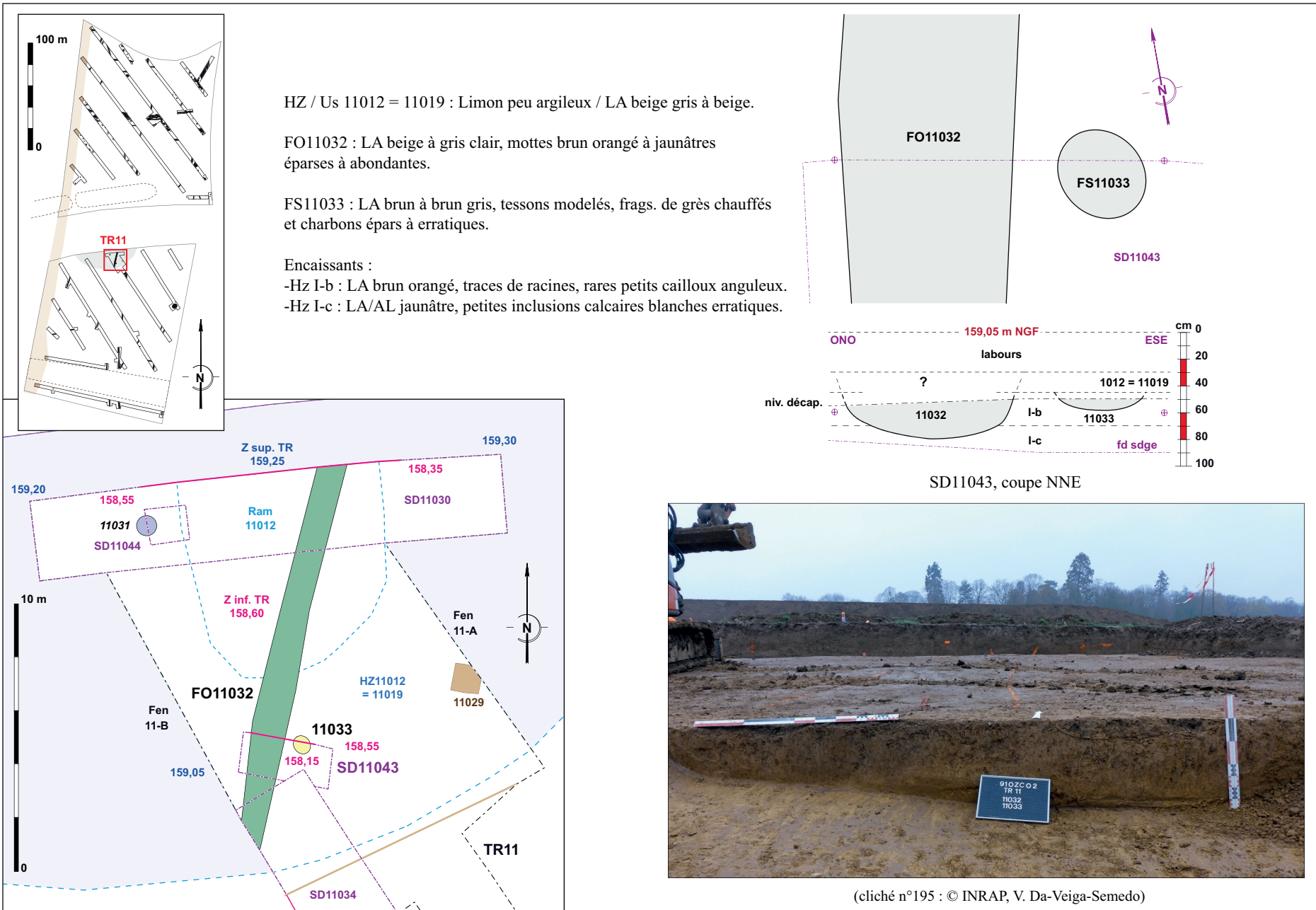
-env. 0,60-0,80 m, Hz-I-a/b : LP, LA/AL beige à brun orangé à blanchi, avec petites glosses venant de 11012.

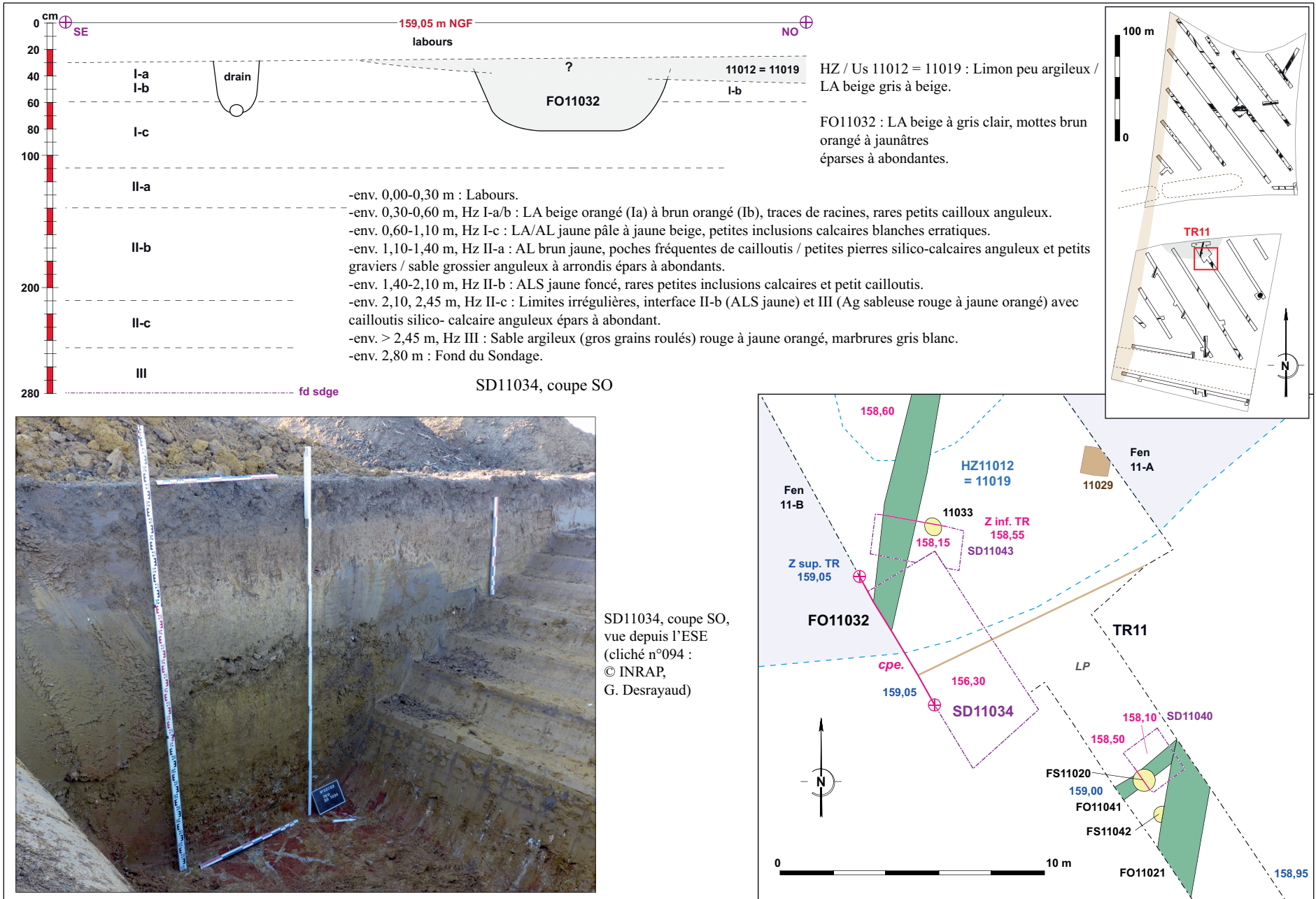
-env. > 0,80 m, Hz-I-c : LP, LA/AL jaunâtre.

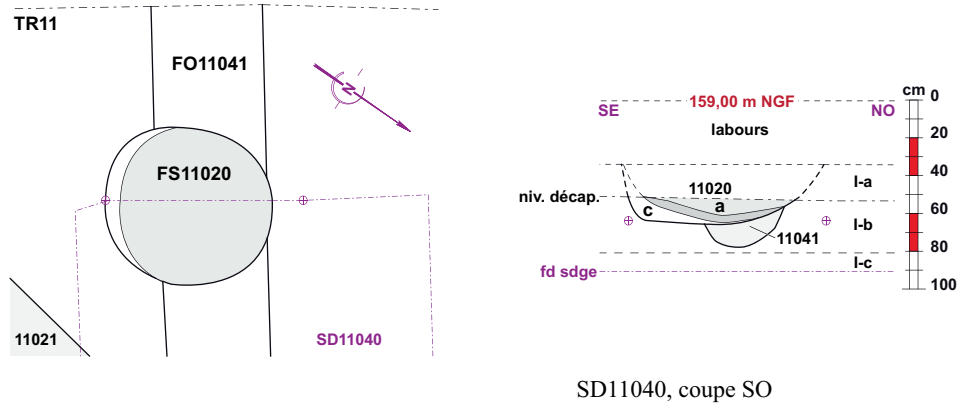
-env. 0,95 m : Fond du sondage.



Pl. 011 Orsay (91), Zac de Corbeville, partie Ouest, phase 2. Fosse 11033 et fosse 11032, SD11043, TR11 © INRAP - G. Desrayaud, V. Da-Veiga-Semedo







SD11040, coupe SO

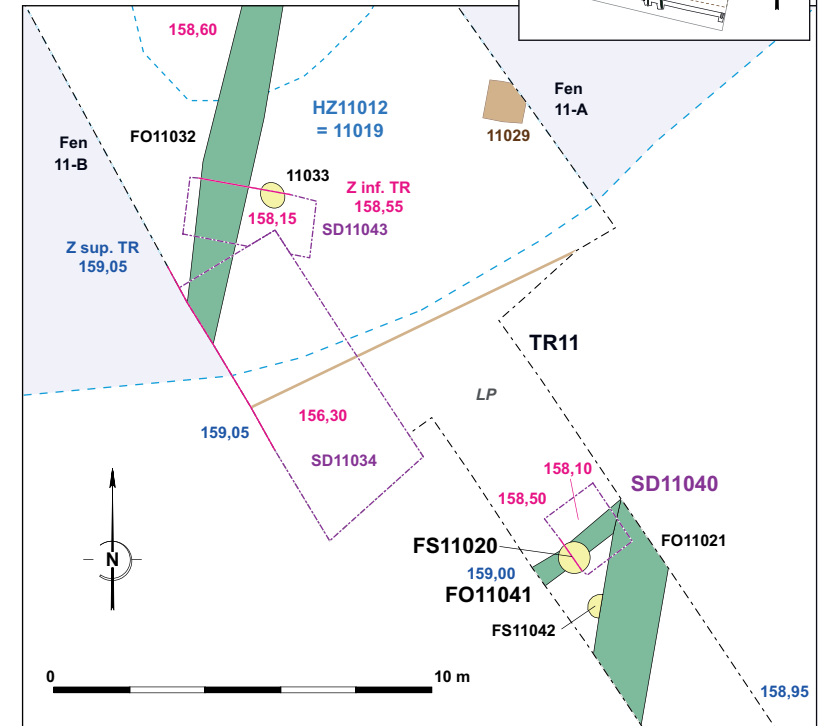
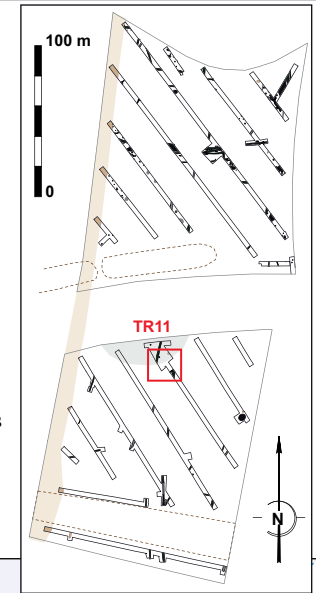
SD11040, coupe SO, fosse 11020 et fossé 11041 (peinture orange ; cliché n°192 : © INRAP, G. Desrayaud)



FS11020 :  
 -11020-a : LA brun beige, rares frags. de terre rubéfiée et charbons.  
 -11020-b : Liseré charbonneux, cailloutis et frags rubéfiés erratiques.  
 -11020-c : Mottes de LA brun jaune et d'AL jaune "viP".

FO11041 : LA beige brun, lég. bariolé.

Encaissements :  
 Hz I-a/b : LA beige orangé (Ia) à brun orangé (Ib), traces de racines, rares petits cailloux anguleux.  
 -Hz I-c : LA/AL jaune pâle à jaune beige, petites inclusions calcaires blanches erratiques.

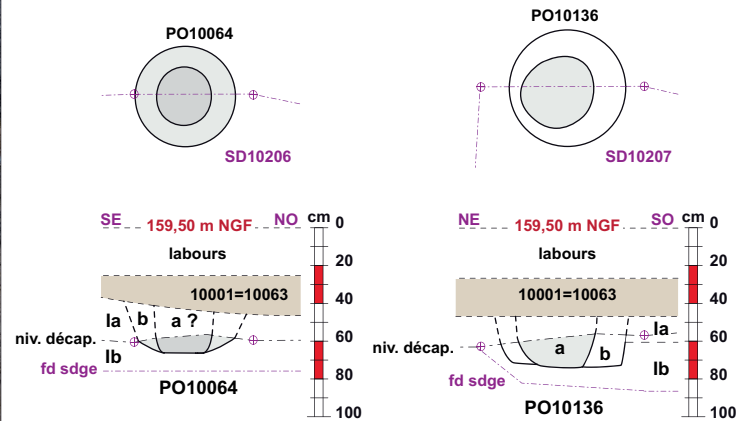




TR05, vue depuis le SE, le 20/11/2020  
(PO10064, peinture orange ; cliché n°024 : © INRAP, G. Desrayaud)

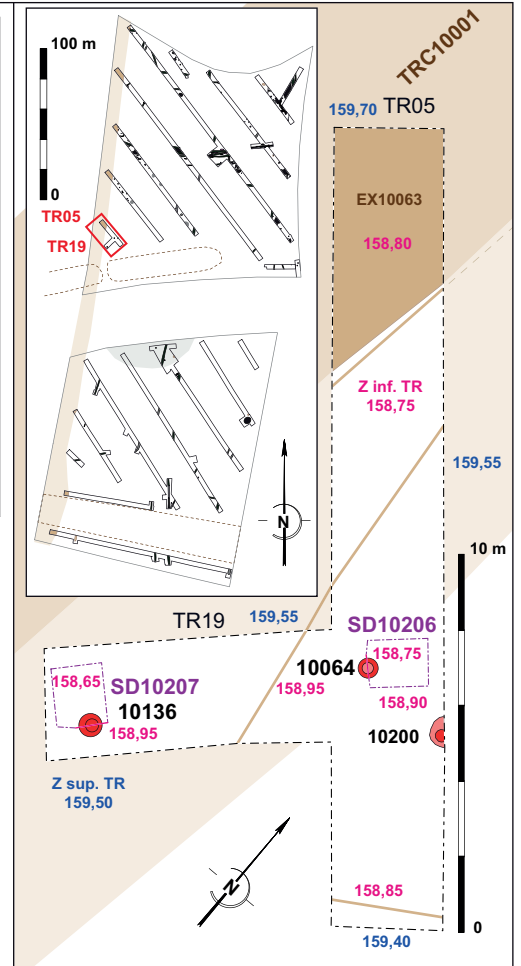


TR19, vue depuis le SO, le 27/11/2020  
(PO10136, peinture orange ; cliché n°123 : © INRAP, G. Desrayaud)



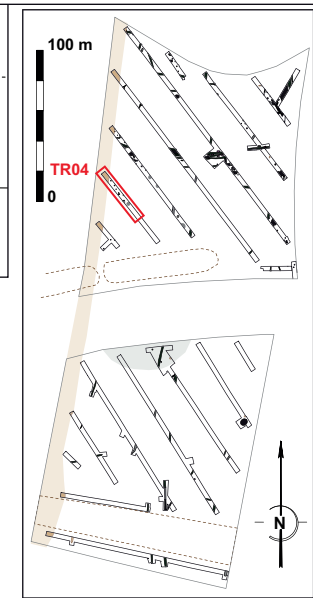
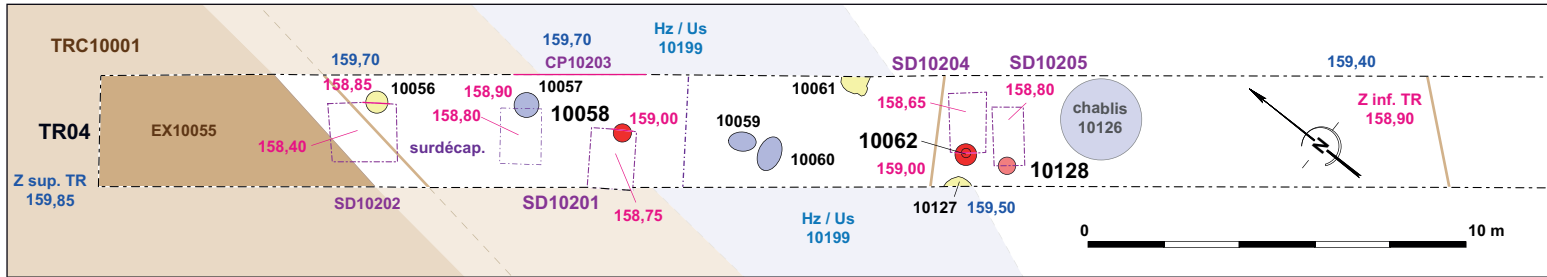
\*Encaissants :  
Hz I-a/b : LA gris beige à beige orangé (Ia)  
à brun orangé (Ib), traces de racines, rares petits cailloux anguleux.

SD11207, coupe SE, PO10136, le 08/12/2020  
(cliché n°207 : © INRAP, V. Da-veiga-Semedo)



PO10064 :  
-10064-a ? : Négatif cylindrique (Diam. : 0,3 ?) ?  
LA gris à gris noirâtre, petits charbons épars.  
-10064-b : Avant-trou ? LA gris beige à gris sombre,  
petits charbons épars.

\*PO10136 :  
-10136-a : Négatif subcirculaire (Diam. : 0,35/0,40).  
LA gris, petits charbons épars à erratiques.  
-10136-b : Avant-trou. LA gris beige.



Partie NO de la TR04, vue depuis le SE, le 20/11/2020 (peinture orange ; cliché n°021 : © INRAP, G. Desrayaud)



TR04, SD10204 et 10205, coupes SE, PO10062 et 10128 (cliché n°203 : © INRAP, G. Desrayaud)



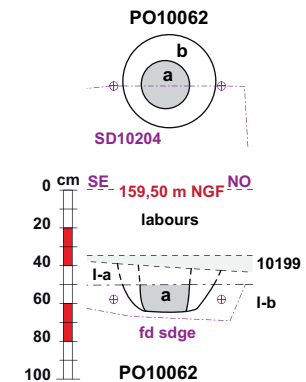
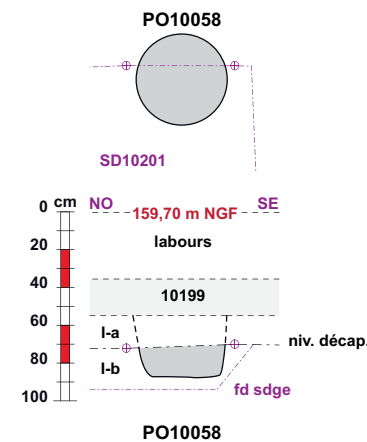
TR04, SD10201, coupe NE, PO10058 (cliché n°199 : © INRAP, V. Da-Veiga-Semedo)

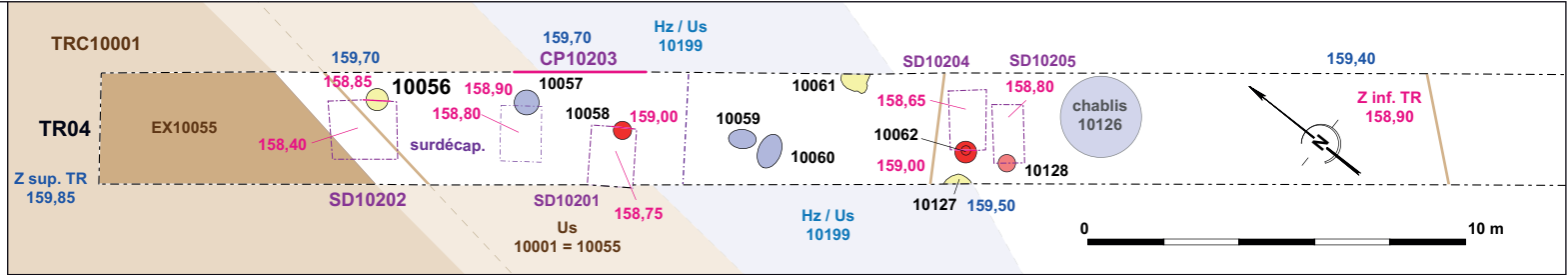
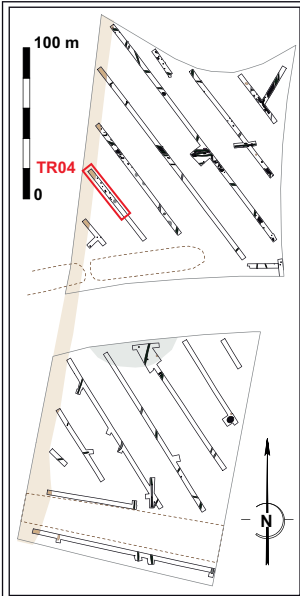
\*Hz 10199 :  
-LA beige (petites mottes de 10001 = 10063 en partie sup.), à gris / gris beige

\*PO10058 :  
-LA gris foncé, rares charbons.

\*PO10062  
-10062-a : Négatif cylindrique. LA gris clair à gris noirâtre, charbons et frags. rubéfiés épars à erratiques.  
-10062-b : Avant-trou, LA beige à beige gris.

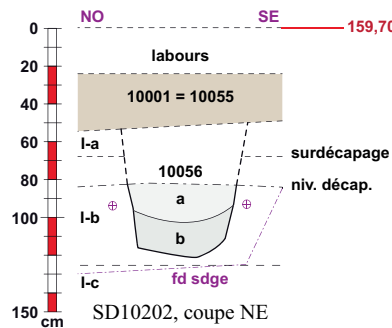
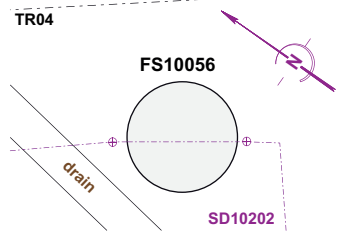
\*Encaissements :  
Hz I-a/b : LA brun gris à beige orangé (Ia) à brun orangé (Ib), traces de racines, rares petits cailloux anguleux.





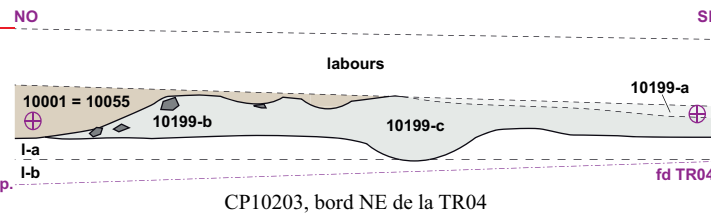
TR04, SD10202, coupe NE, fosse 10056 (cliché n°200 : © INRAP, G. Desrayaud)

TR04, bord NE, coupe 10203 (cliché n°202 : © INRAP, V. Da-veiga-Semedo)



\*Encaissants :

- Hz I-a : LA beige orangé à gris beige, petites glosses grises plus ou moins marquées.
- Hz I-b : LA/AL brun jaune à orangé, traces de racines, rares petits cailloux anguleux.
- Hz I-c : LA/AL jaune vif à jaune pâle, rares petites inclusions calcaires blanches

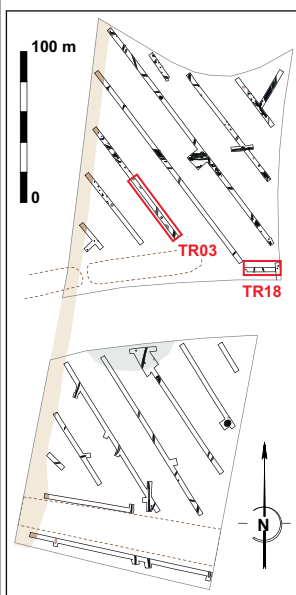
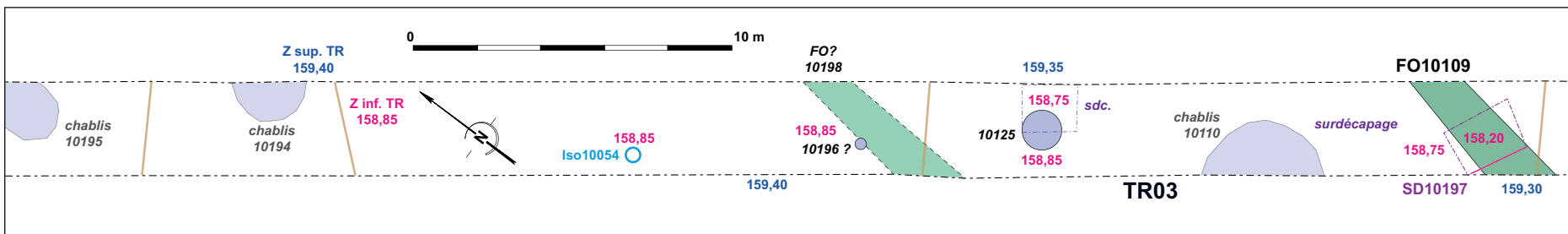


\*10001 = 10055 : Remblai récent (1993), argile jaune et mottes brunes éparées à erratiques

\*Hz/Us 10199 : LA gris foncé à gris beige (c), au moins un surcreusement visible (fait ?). Au SE, petites mottes de 10001 = 10063 en partie sup. (10199-a). Au NO, plages de LA gris foncé à noirâtre et petites pierres silico-calcaires éparées (10199-b)...

\*FS10056 :

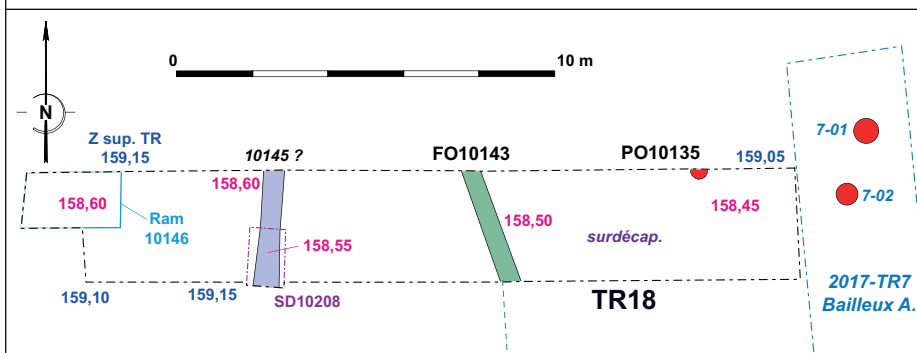
- 10056-a : Grosses mottes de LA gris et de LA/AL jaune à beige orangé, rares charbons.
- 10056-b : LA gris à gris beige, lég. bariolé verdâtre, rares chabons.



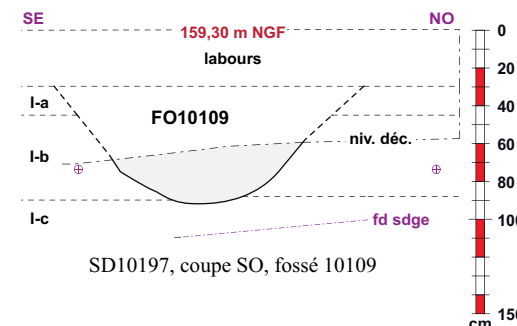
Vue générale de la TR18, depuis l'Est, le 27/11/2020 (peinture orange ; cliché n°121 : © INRAP, G. Desrayaud)



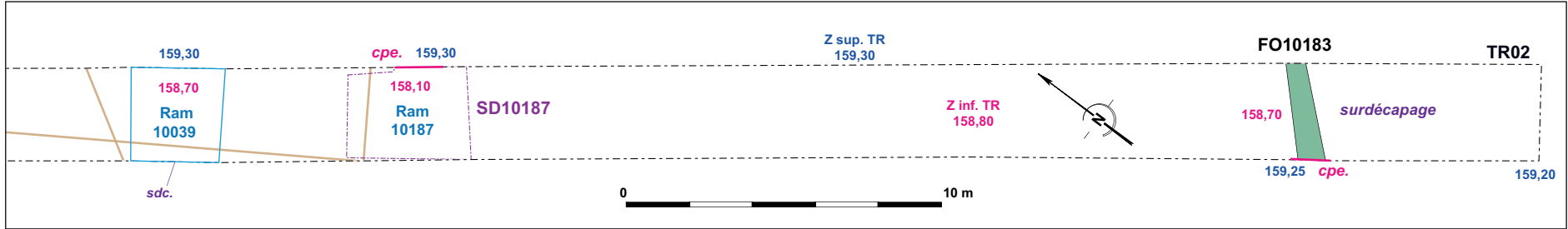
TR03, SD10197, coupe SE, fossé 10109 (cliché n°197 : © INRAP, V. Da-Veiga-Semedo)



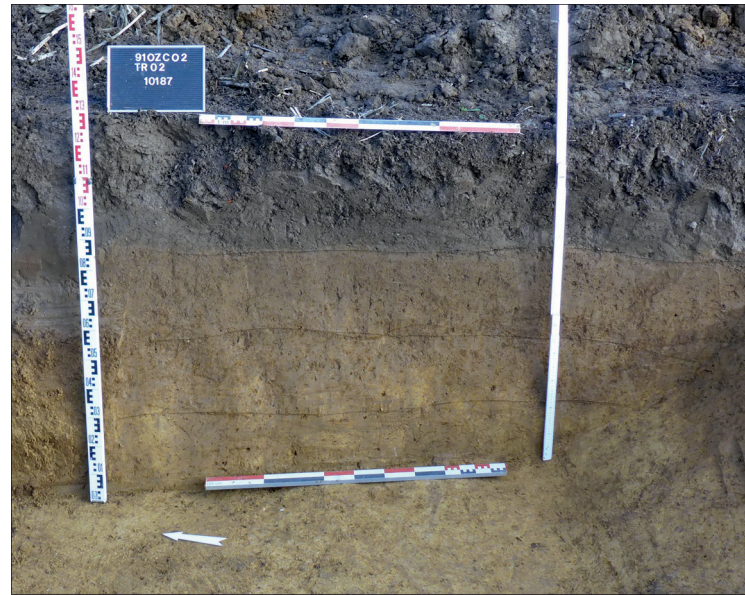
- \*Fossé 10109 : LA beige à beige gris
- \*Encaissants :
  - Hz I-a : LA beige orangé à gris beige (petites glosses).
  - Hz I-b : LA/AL brun jaune à orangé, traces de racines, rares petits cailloux anguleux.
  - Hz I-c : LA/AL jaune vif à jaune pâle, rares petites inclusions calcaires blanches



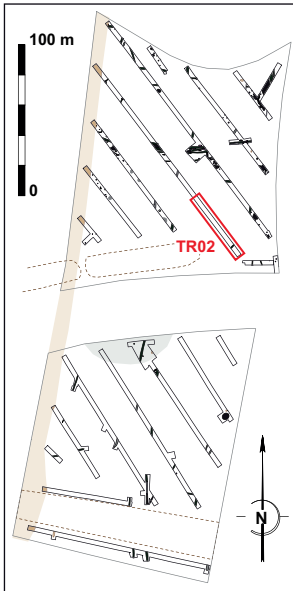
SD10197, coupe SO, fossé 10109



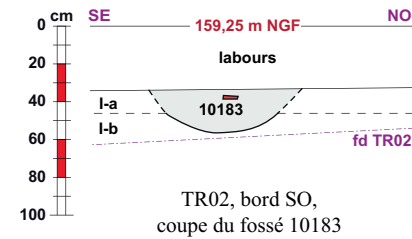
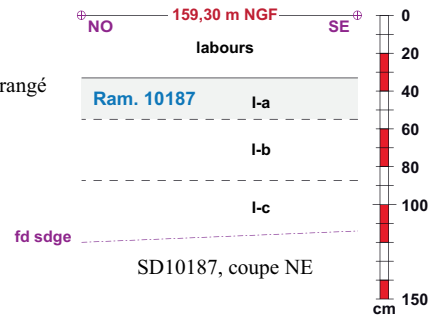
TR02, SD10187, coupe NE, profil sédimentaire (tracés approximatifs ; cliché n°185 : © INRAP, M. Rayati)



TR02, bord SO, coupe du fossé 10183 (cliché n°175 : © INRAP, G. Desrayaud)

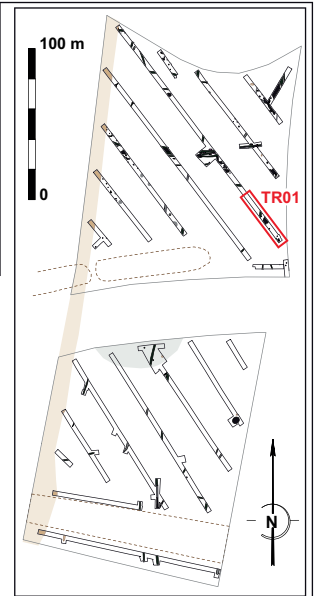
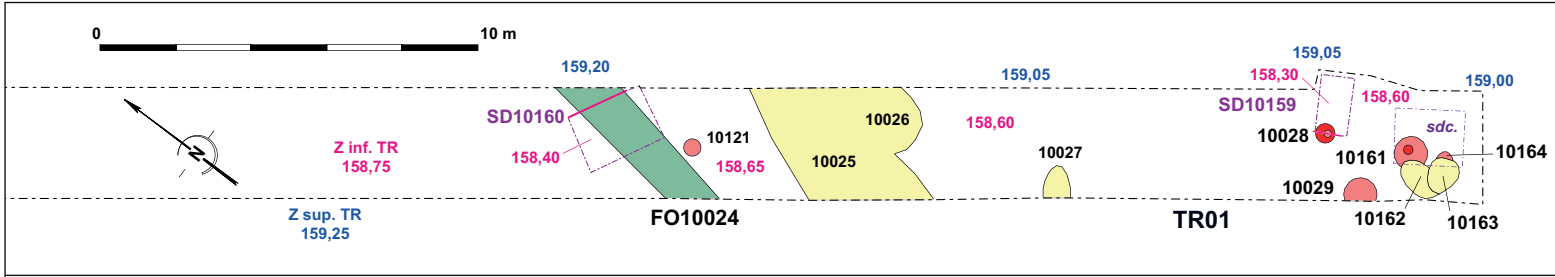


- \*-SD10187, coupe NE : Z. sup. 159,30 m NGF.
- env. 0,00-0,30 m : Labours.
- env. 0,30-0,55 m, Hz 10187-a = I-a : LA brun gris lég. orangé (petits tessons et éclats de silex erratiques à épars).
- env. 0,55-0,85 m, Hz 10187-b = I-b : LA brun orangé et marbrures grisâtres.
- env. > 0,85 m, Hz 10187-c = I-c : Glosses de 10187-b et LA/AL jaunâtre avec petits éléments calcaires blancs (concrétions ?) erratiques à épars.
- env. 1,2 m, : fond du sondage (158,10 m NGF).



- \*Fossé 10183 :
- LA beige gris, lég. bariolé, très rares charbons, 1 tesson de céramique non-tournée.
- \*Encaissants :
- Hz I-a : LA brun beige à brun jaune
- Hz I-b : LA brun jaune orangé

P1\_019 Orsay (91), Zac de Corbeville, partie Ouest, phase 2. Extrémité SE de la TR01, concentration de vestiges ; fossé 10024 ; trou de poteau 10028  
 © INRAP : G. Desrayaud, V. Da-veiga-Semedo



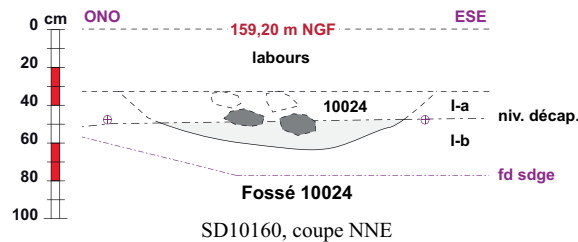
TR01, SD10160, coupe NNE, fossé 10024 (tracé approximatif ; cliché n°144 ; © INRAP, V. Da-veiga-Semedo)



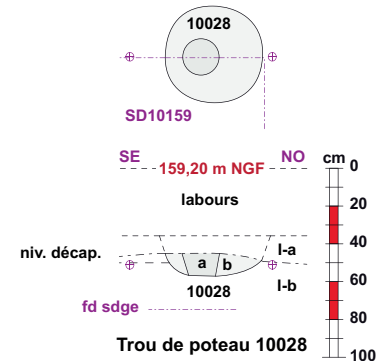
TR01, SD10159, coupe SO, trou de poteau 10028 (cliché n° 143 ; © INRAP, G. Desrayaud)



Extrémité SE de la TR01, vue depuis le NE : 10029, 10161, 10162, 10163 et 10164 (peinture orange ; cliché n°146 ; © INRAP, G. Desrayaud)

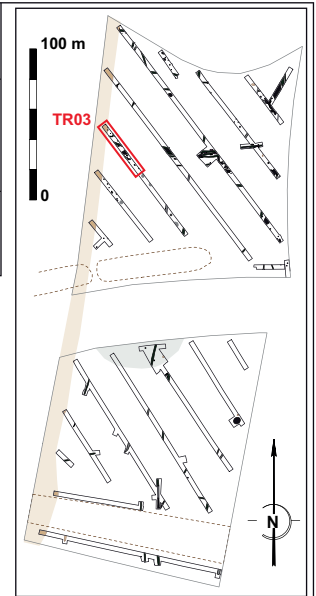
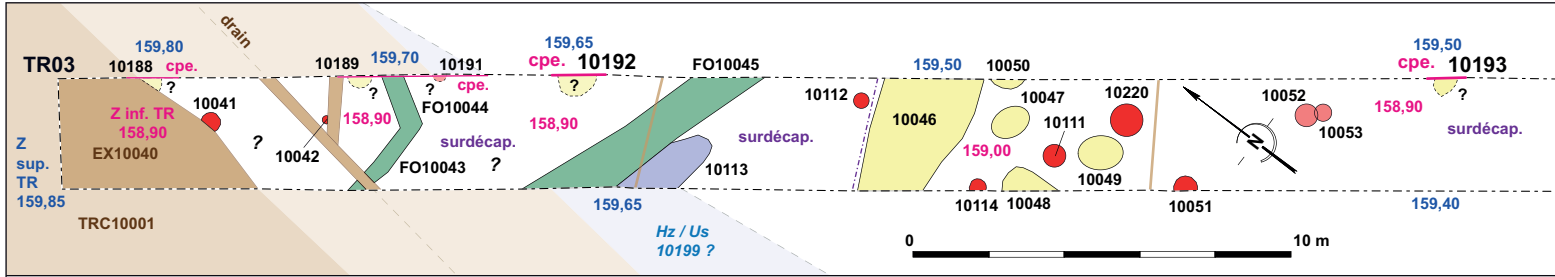


\*FO10024  
 -LA beige à brun gris.  
 Au centre, pierres silico-calcaires éparées à erratiques.



\*Encaissements :  
 Hz I-a/b : LA brun gris à beige orangé (Ia) à brun orangé (Ib), traces de racines, rares petits cailloux anguleux.

\*PO10028 :  
 -10028-a : Négatif cylindrique ? LA gris brun sombre, rares charbons.  
 -10028-b : Avant-trou, LA beige gris.

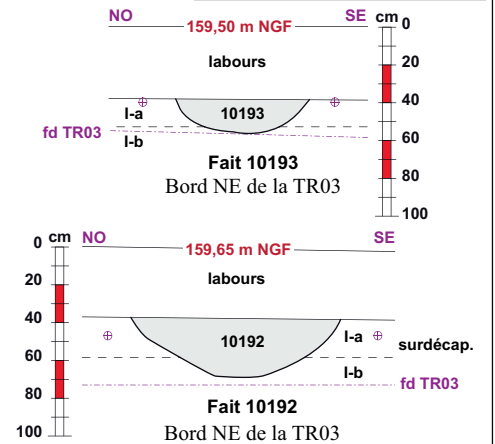


Partie NO de la TR03, concentration de vestiges, vue depuis le SE, le 20/11/2020 (peinture orange ; cliché n°019 : © INRAP, G. Desrayaud)



Bord NE de la TR03, fait 10192 (fosse ?) en coupe (cliché n°182 : © INRAP, G. Desrayaud)

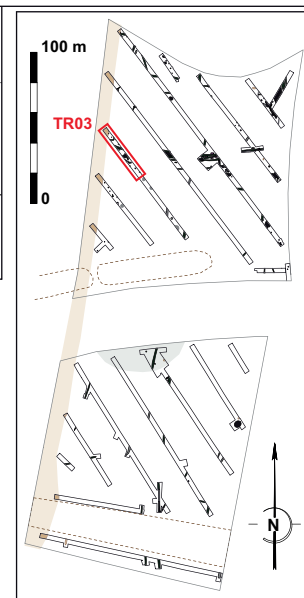
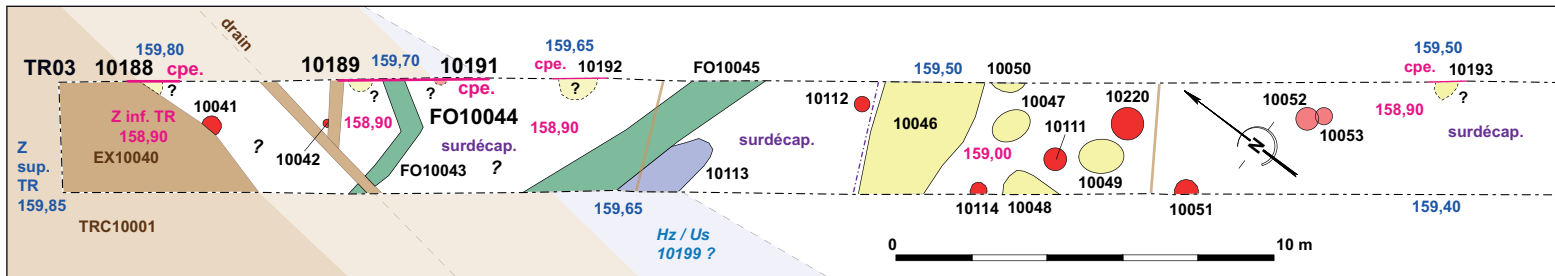
Bord NE de la TR03, fait 10193 (fosse ?) en coupe (cliché n°183 : © INRAP, G. Desrayaud)



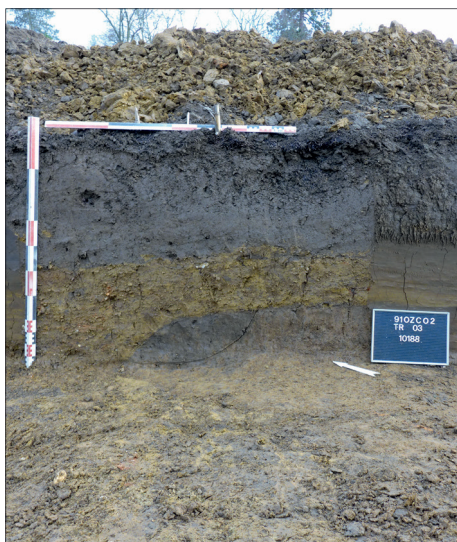
\*FS10193 : LA gris clair à gris beige.  
 \*FS10192 : LA brun gris lég. bariolé verdâtre, rares cailloux / petites pierres silico-calcaires et petits frags. rubéfiés.

\*Encaissants :  
 Hz I-a/b : LA brun gris à beige orangé (Ia) à brun orangé (Ib), traces de racines, rares petits cailloux anguleux.

Pl. 021 Orsay (91), Zac de Corbeville, partie Ouest, phase 2. Partie NO de la TR03, concentration de vestiges ; Bord NE, faits 10188, 10189, 10044 et 10191 en coupe © INRAP : G. Desjardis, V. Da-Veiga-Semedo



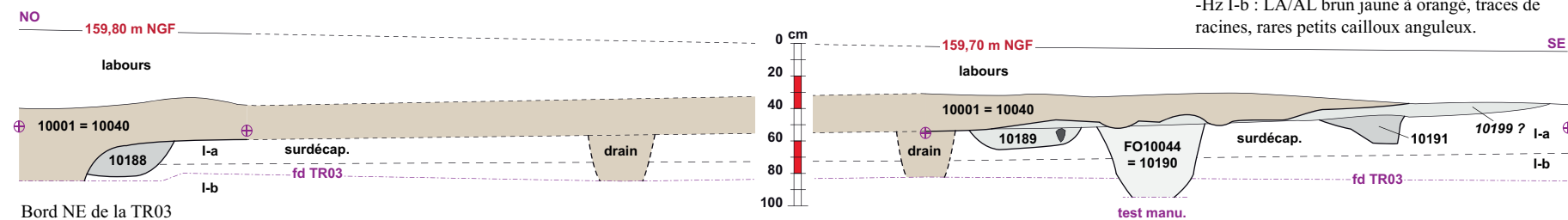
Bord NE de la TR03, Us/Hz 10199 et faits 10189, 10044 et 10191 en coupe, sous le remblai 10001 (cliché n°186 : © INRAP, V. Da-Veiga-Semedo)

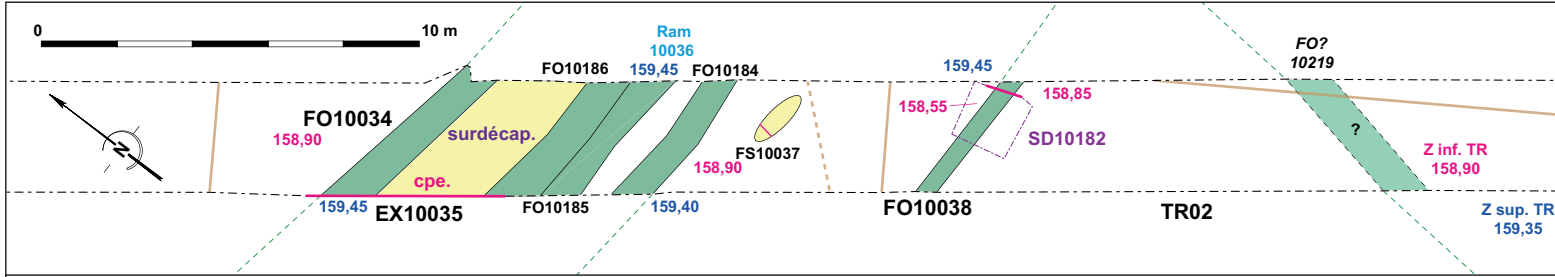


Bord NE de la TR03, fait (fosse ?) 10188 en coupe, sous le remblai 10001 (cliché n°181 : © INRAP, V. Da-Veiga-Semedo)



- \*10001 = 10040 : Remblai récent (1993), argile jaune et mottes brunes éparées à erratiques
- \*Hz 10199 : LA beige (petites mottes de 10001 = 10040 en partie sup.), à gris / gris beige
- \*10188 : LA gris sombre, petites mottes jaune orangé éparées.
- \*10189 : LA gris brun à gris sombre, rares cailloux / petites pierres silico-calcaires.
- \*10044 = 10190 : LA beige à beige gris, rares cailloux / petites pierres silico-calcaires.
- \*10191 : LA gris sombre à noirâtre, petites mottes beiges éparées, quelques charbons et petits fragments rubéfiés.
- \*Encaissants :
  - Hz I-a : LA beige orangé à gris beige, petites glosses grises plus ou moins marquées.
  - Hz I-b : LA/AL brun jaune à orangé, traces de racines, rares petits cailloux anguleux.





Bord SO de la TR02, après surdépavage (02/12/2020), excavation 10035 et fossé 10034 en coupe (cliché n°170 : © INRAP, V. Da-veiga-Semedo)

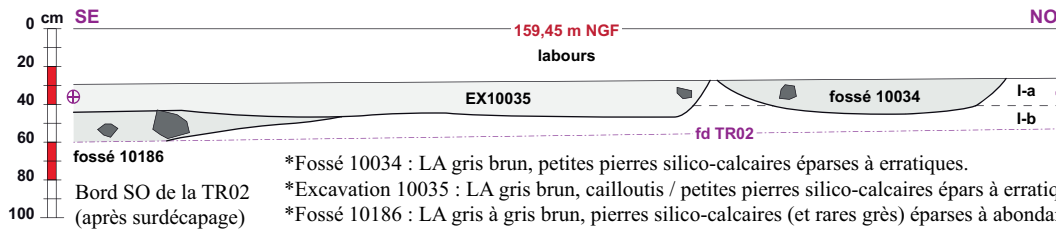


Vue des fossés 10184, 10185 et 10186, depuis l'Est, après surdépavage (03/12/2020 ; cliché n°176 : © INRAP, M. Rayati)



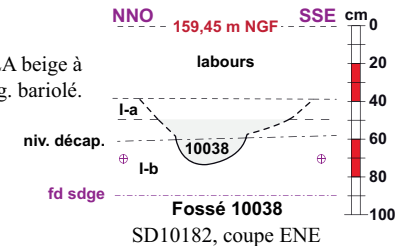
SD10182, coupe ENE, fossé 10038 (cliché n°174 : © INRAP, G. Desrayaud)

\*Encaissants :  
 -Hz I-a : LA beige orangé à gris beige, petites glosses grises plus ou moins marquées.  
 -Hz I-b : LA/AL brun jaune à orangé, traces de racines, rares petits cailloux anguleux.

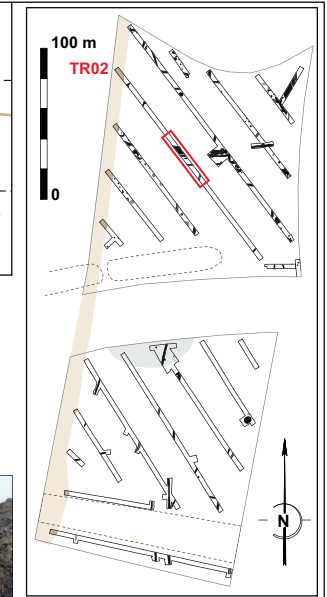


\*Fossé 10034 : LA gris brun, petites pierres silico-calcaires éparses à erratiques.  
 \*Excavation 10035 : LA gris brun, cailloutis / petites pierres silico-calcaires éparses à erratiques, quelques fragments de faune.  
 \*Fossé 10186 : LA gris à gris brun, pierres silico-calcaires (et rares grès) éparses à abondantes, charbons, nodules rubéfiés et fragments de faune éparses à erratiques.

\*Fossé 10038 : LA beige à beige gris, lég. bariolé.

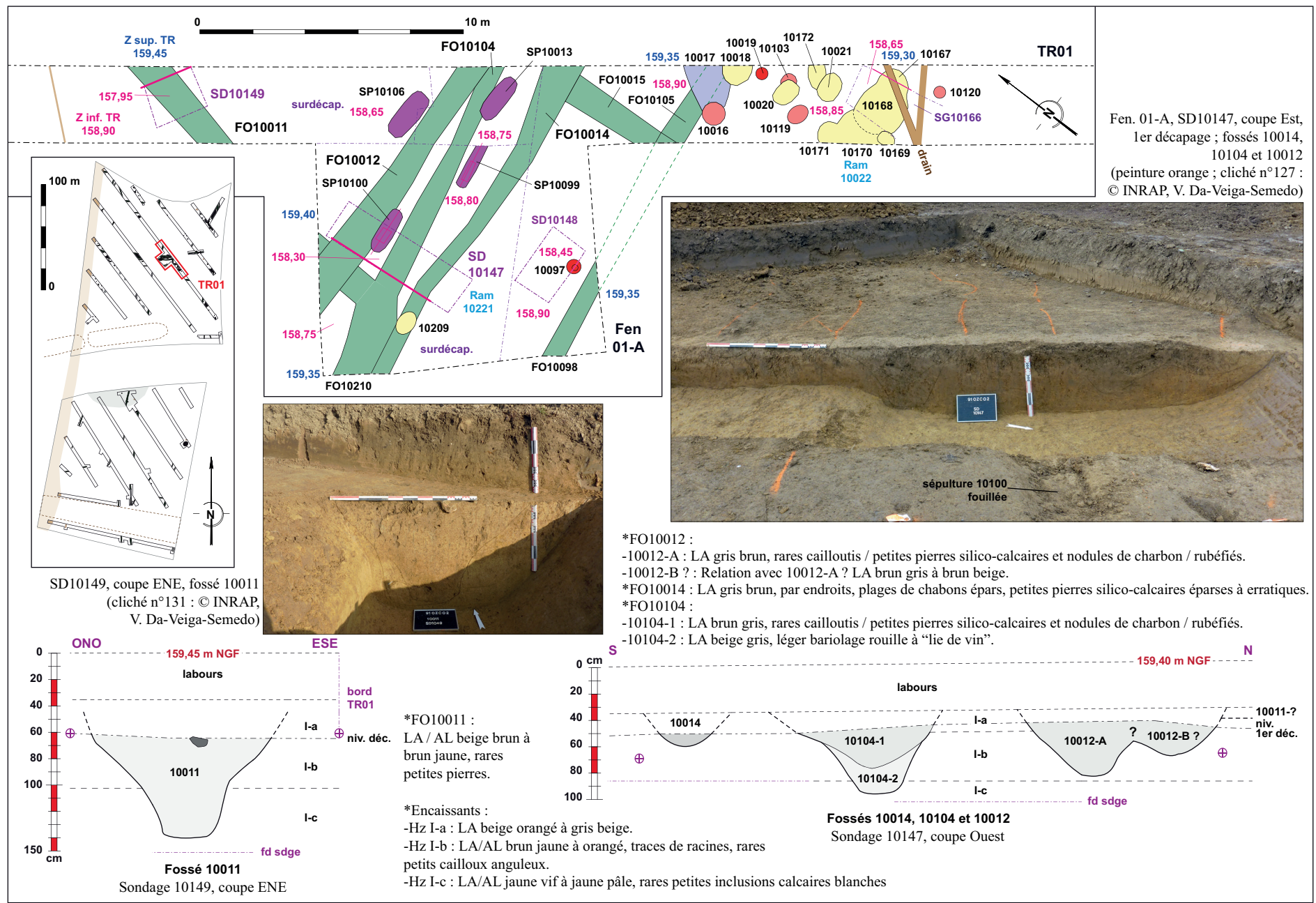


Fossé 10038 SD10182, coupe ENE





PI. 024 Orsay (91), Zac de Corbeville, partie Ouest, phase 2. Partie centrale de la TR01, fossés 10011, 10012, 10014 et 10104  
 © INRAP : G. Desjarand, V. DaVeiga-Semedo

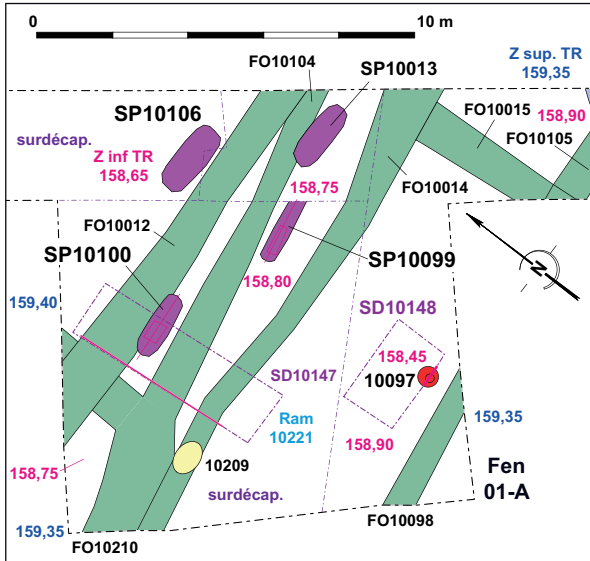


\*FO10012 :  
 -10012-A : LA gris brun, rares cailloutis / petites pierres silico-calcaires et nodules de charbon / rubéfiés.  
 -10012-B ? : Relation avec 10012-A ? LA brun gris à brun beige.  
 \*FO10014 : LA gris brun, par endroits, plages de chabons épars, petites pierres silico-calcaires éparses à erratiques.  
 \*FO10104 :  
 -10104-1 : LA brun gris, rares cailloutis / petites pierres silico-calcaires et nodules de charbon / rubéfiés.  
 -10104-2 : LA beige gris, léger bariolage rouille à "lie de vin".

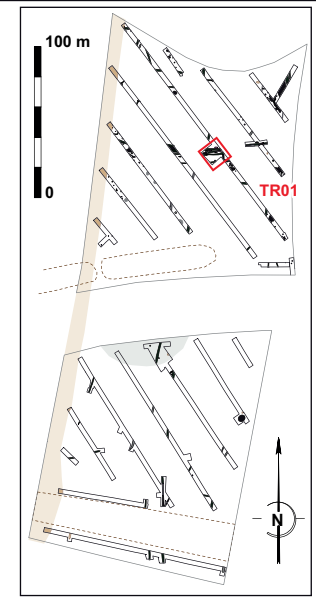
\*FO10011 :  
 LA / AL beige brun à brun jaune, rares petites pierres.

\*Encaissants :  
 -Hz I-a : LA beige orangé à gris beige.  
 -Hz I-b : LA/AL brun jaune à orangé, traces de racines, rares petits cailloux anguleux.  
 -Hz I-c : LA/AL jaune vif à jaune pâle, rares petites inclusions calcaires blanches



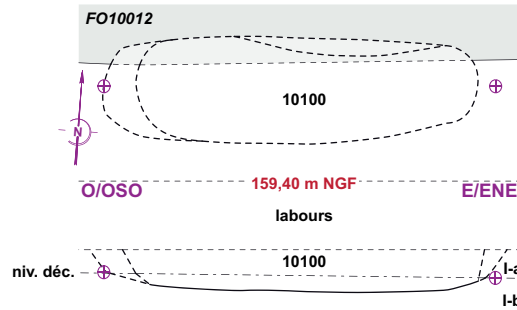


TR01, sépulture 10106, après surdépilage et nettoyage partiels, crâne à l'Ouest et aménagement de pierres, vue depuis le NNO (traces de peinture orange ; cliché n°209 : © INRAP, V. Da-Veiga Semedo)

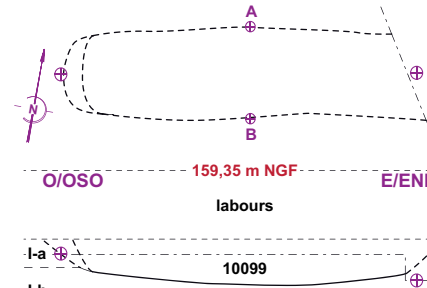
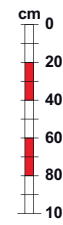


\*SP10100 :  
Comblement de LA brun beige à orangé grisâtre.

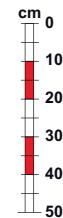
\*Encaissements :  
-Hz I-a : LA beige orangé à gris beige.  
-Hz I-b : LA/AL brun jaune à orangé, traces de racines, rares petits cailloux anguleux.



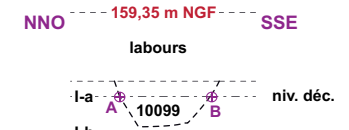
TR01, Fen. 01-A, sépulture 10100, vue sommitale depuis le Sud/SSE, le 26/11/2020 (cliché n°062, redressé : © INRAP, L. Lawrence-Dubovac)



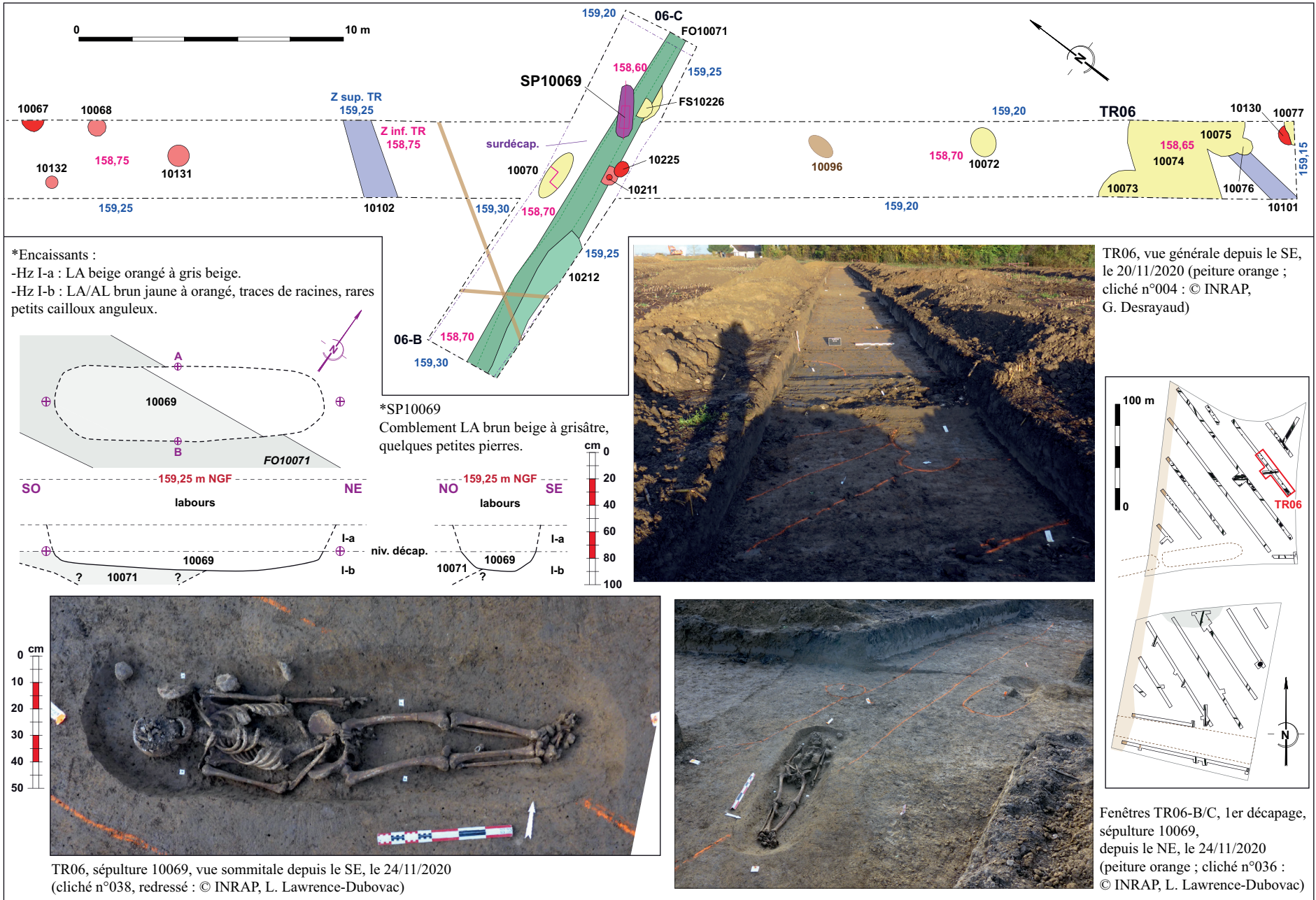
TR01, Fen. 01-A, sépulture 10099, vue sommitale depuis le Sud/SSE, le 26/11/2020 (cliché n°070, redressé : © INRAP, L. Lawrence-Dubovac)

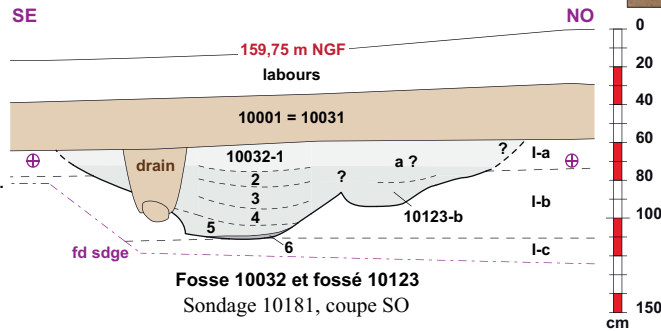
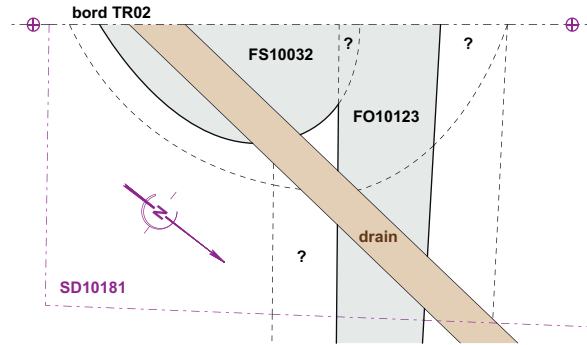
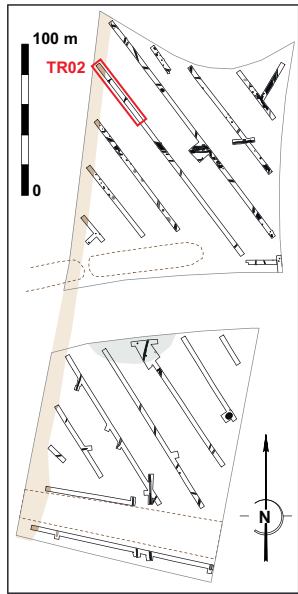
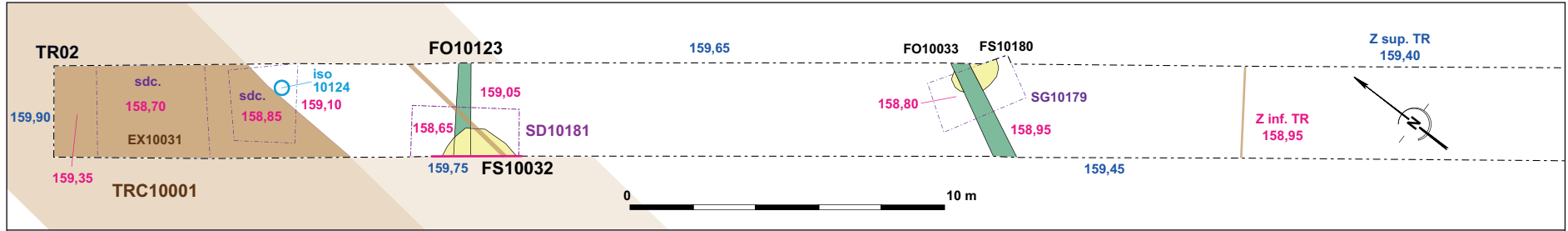


\*SP10099 :  
comblement de LA brun beige à orangé grisâtre.



Pl. 027 Orsay (91), Zac de Corbeville, partie Ouest, phase 2, Partie SE de la TR06 ; sépulture 10069 © INRAP - G. Desrayaud, P. Lawrence-Dubovac



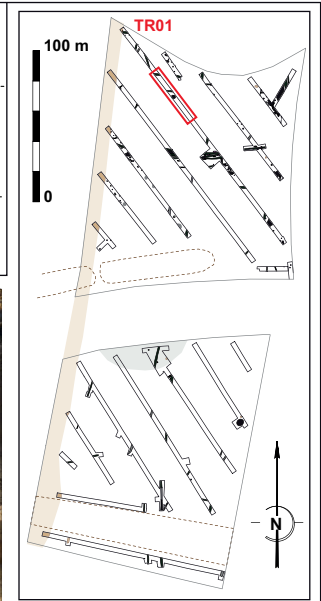
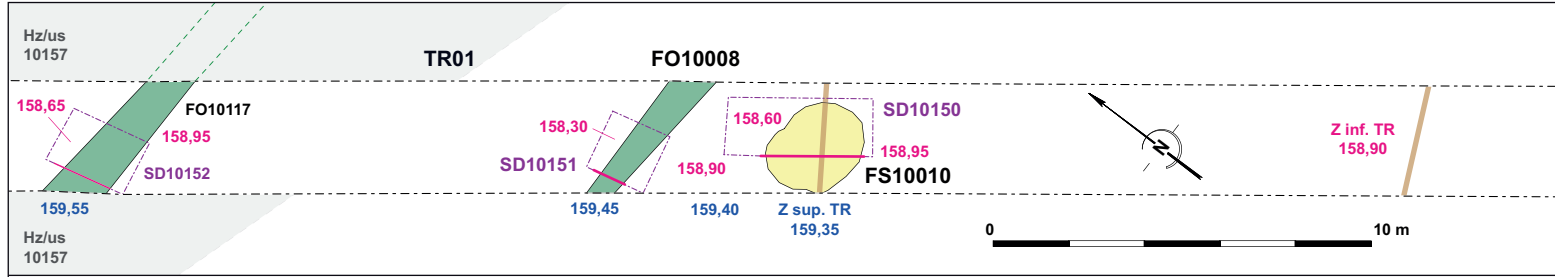


TR02, sondage 10181 coupe SO, fosse 10032 et fossé 10123 (cliché n°172 : © INRAP, G. Desrayaud)

\*Encaissements :  
 -Hz I-a : LA beige orangé à gris beige, petites glosses gris clair plus ou moins marquées.  
 -Hz I-b : LA/AL brun jaune à orangé, traces de racines, rares petits cailloux anguleux.  
 -Hz I-c : LA/AL jaune vif à jaune pâle, rares petites inclusions calcaires blanches

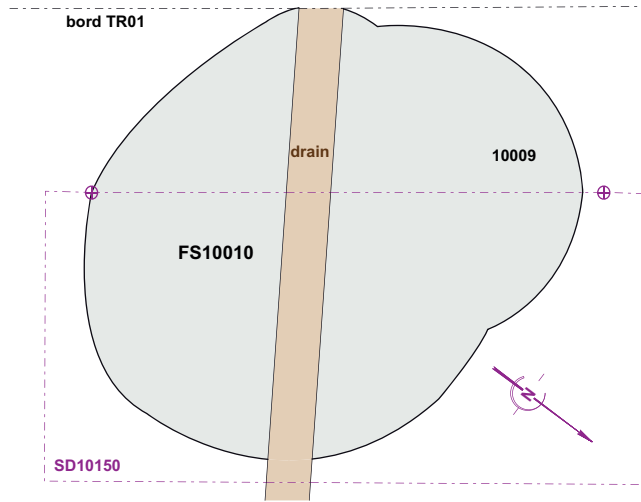
\*Fossé 10123 :  
 -10123-a ? : Similaire à 10032-1 = LA brun à brun gris, rares nodules rubéfiés.  
 -10123-b : LA brun gris, petits charbons, nodules rubéfiés et cailloutis anguleux silico-calcaire épars à erratiques

\*10001 = 10031 : Remblai récent (1993), argile jaune et mottes brunes éparses à erratiques  
 \*Fosse 10032 :  
 -10032-1 : LA brun à brun gris, rares nodules rubéfiés.  
 -10032-2 : LA brun gris, petites mottes brun orangé éparses.  
 -10032-3 : LA brun gris à gris brun, cailloux anguleux silico-calcaires et petits frags. rubéfiés épars à erratiques.  
 -10032-4 : LA gris sombre, charbons épars, nodules rubéfiés épars à erratiques, rares petits cailloux.  
 -10032-5 : Petites mottes de LA/AL brun jaune et similaires à 10032-4.  
 -10032-6 : Liseré charbonneux sur le fond.



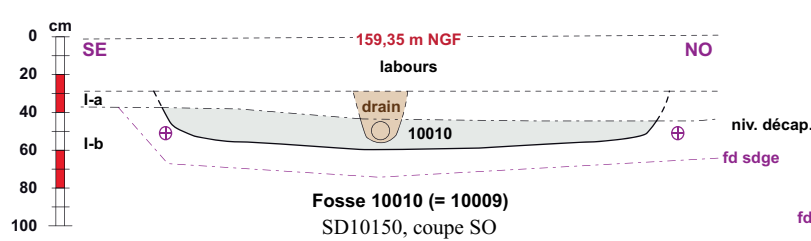
**\*Encaissants :**

- Hz I-a : LA beige orangé à gris beige, petites glosses gris clair plus ou moins marquées.
- Hz I-b : LA/AL brun jaune à orangé, traces de racines, rares petits cailloux anguleux.
- Hz I-c : LA/AL jaune vif à jaune pâle, rares petites inclusions calcaires blanches



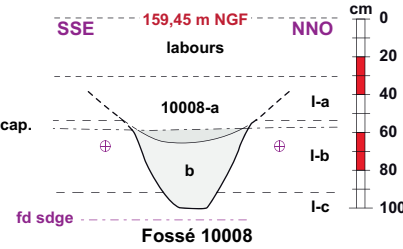
TR01, sondage 10150 coupe SO, fosse 10010 (cliché n°134 : © INRAP, G. Desrayaud)

TR01, sondage 10151 coupe OSO, fossé 10008 (cliché n°135 : © INRAP, G. Desrayaud)

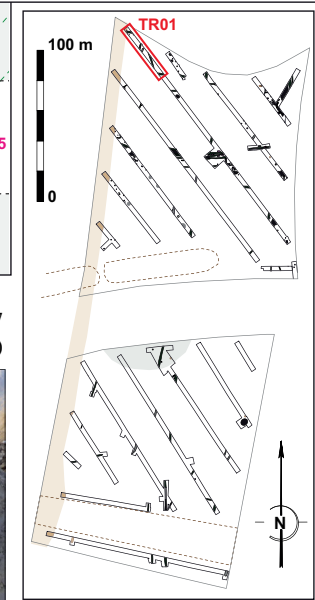
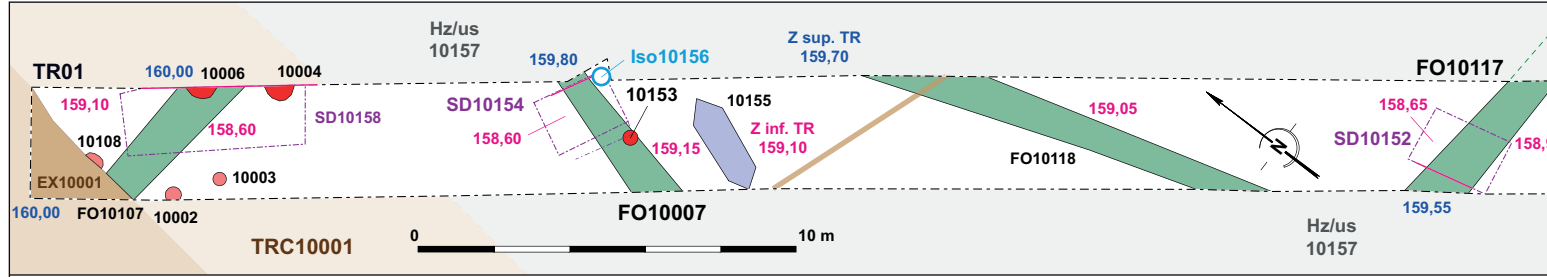


**\*Fosse 10010 :**

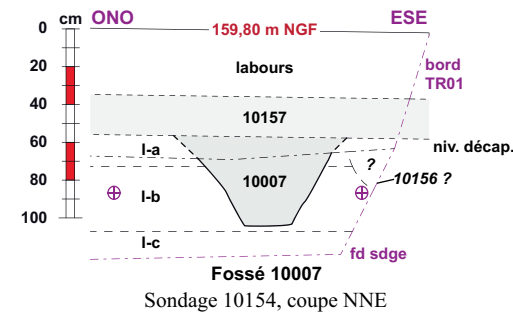
- LA peu argileux gris à gris brun, rare cailloutis, petites mottes brun orangé et grises blanchies éparées à erratiques.



- 10008-a : LA gris brun, rare cailloutis, 1 frag. de tegula.
- 10008-b : LA brun gris à gris blanchi, lég. bariolé.



TR01, sondage 10154 coupe NNE, fossé 10007  
(cliché n°138 : © INRAP, G. Desrayaud)

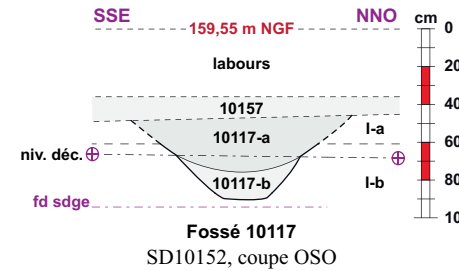


\*Hz/Us 10157 : -LA brun gris à grisâtre, petits graviers épars à erratiques, rares tessons de faïence...

\*Fossé 10007 : -LA gris brun, cailloutis épars à erratique.

\* 10156 : -Tesson modelé "isolé", dans limons des plateaux I-b ou fait non perçu ?

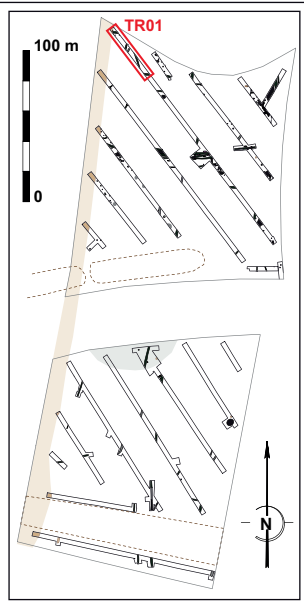
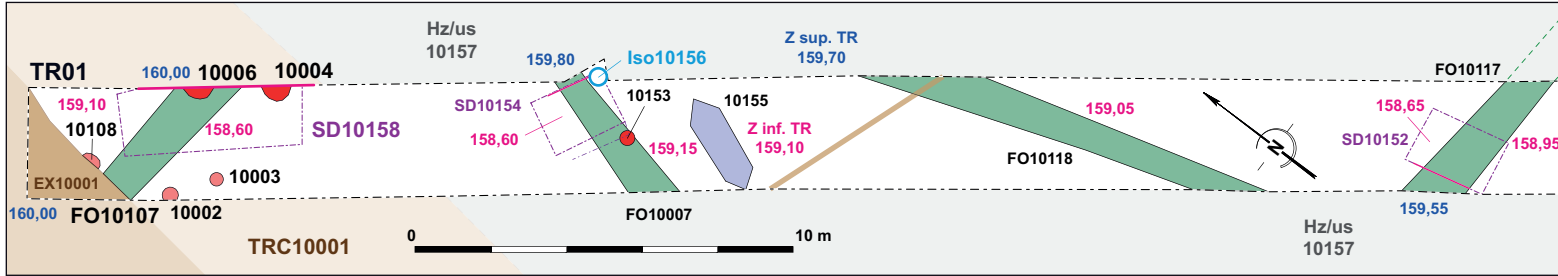
TR01, sondage 10152 coupe OSO, fossé 10117  
(cliché n°136 : © INRAP, V. Da-veiga-Semedo)



\*Encaissants :  
-Hz I-a : LA beige orangé à gris beige, petites glosses gris clair plus ou moins marquées.  
-Hz I-b : LA/AL brun jaune à orangé, traces de racines, rares petits cailloux anguleux.  
-Hz I-c : LA/AL jaune vif à jaune pâle, rares petites inclusions calcaires blanches

\*Fossé 10117 :  
-10117-a : LA brun beige, cailloutis / petites pierres silico-calcaires épars à erratiques.  
-10117-b : LA beige à brun orangé, glosses gris clair, lég. bariolé.

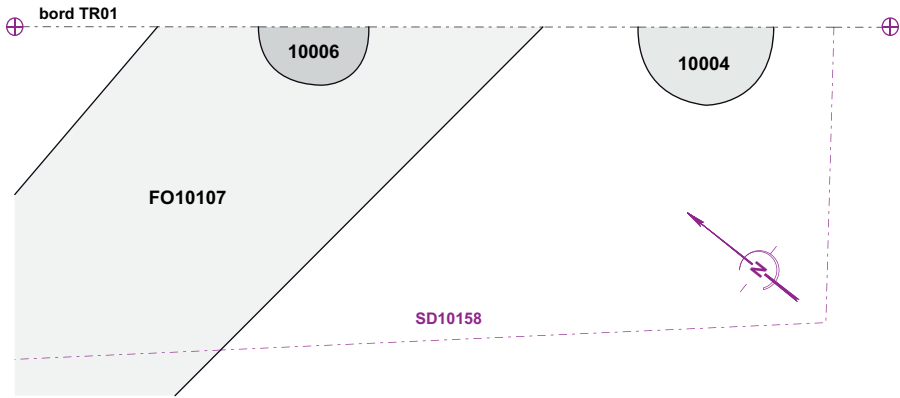
P1\_031 Orsay (91), Zac de Corbeville, partie Ouest, phase 2. Extrémité NO de la TR01, trous de poteau 10004 et 10006, fossé 10107, Us 10001 et 10157  
 © INRAP : G. Desfrayaud, V. Da-veiga-Semedo



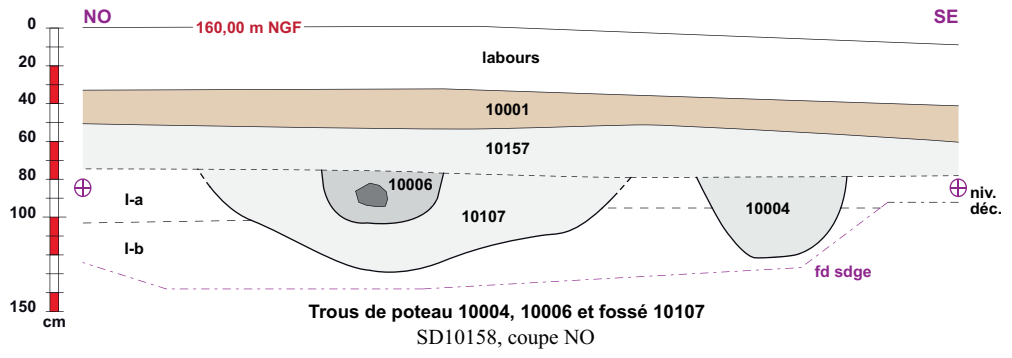
**\*Encaissements :**

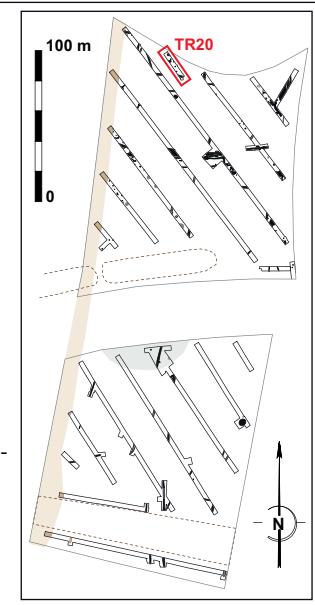
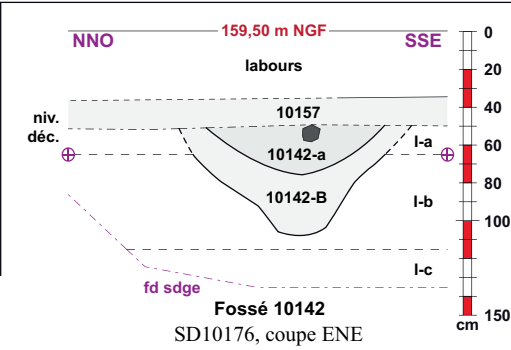
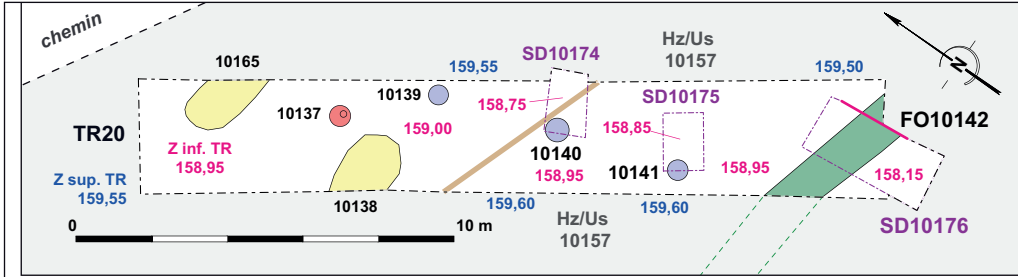
- Hz I-a : LA beige orangé à gris beige, petites glosses grises plus ou moins marquées.
- Hz I-b : LA/AL brun jaune à orangé, traces de racines, rares petits cailloux anguleux.

- \*Us 10001 : Remblai récent (1993) d'argiles jaunâtres, mottes rougeâtres à brunes éparées
- \*Hz/Us 10157 : -LA gris à brun gris, petits graviers épars à erratiques, rares tessons de faïence...
- \*PO10004 : LA gris à gris beige, rares cailloutis / petites pierres silico-calcaires, mottes jaunâtres éparées à erratiques.
- \*PO10006 : LA gris à gris noirâtre, charbons épars, 1 pierre silico-calcaire.
- \*FO10107 : LA gris à brun gris.



TR01, sondage 10158 coupe NE, (cliché n°141 : © INRAP, V. Da-veiga-Semedo)





TR20, vue générale depuis le SE, le 27/11/2020 (peinture orange ; cliché n°126 : © INRAP, G. Desrayaud)

- \*Hz/Us 10157 : LA brun gris à grisâtre, petits graviers épars à erratiques, rares tessons de faïence...
- \*FO10142 :
  - 10142-a : LA gris brun à gris, rares cailloutis / petites pierres silico-calcaires.
  - 10142-b : LA beige à brun gris lég. bariolé, rares cailloux.
- \*Encaissements :
  - I-a : LA beige orangé à gris beige, petites glosses grises plus ou moins marquées.
  - I-b : LA/AL brun jaune à orangé, traces de racines, rares petits cailloux anguleux.
  - I-c : LA(S) jaune pâle, nodules calcaires blancs épars à erratiques.

TR20, sondage 10176 coupe ENE, (cliché n°150 : © INRAP, V. Da-Veiga-Semedo)

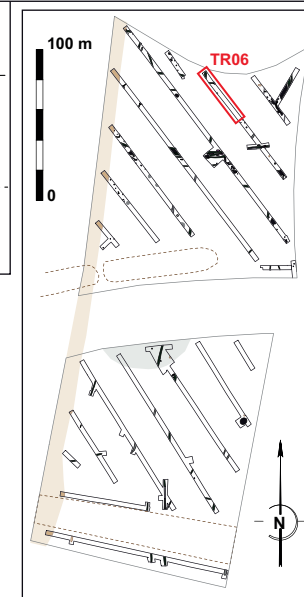
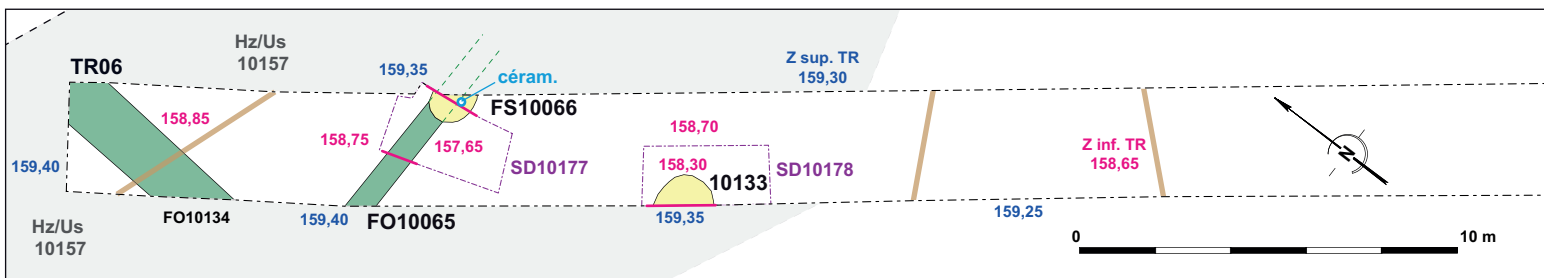


SD10174 sur 10140 et bord SO de la TR20, Us 10157 (cliché n°151 : © INRAP, G. Desrayaud)



SD10175 sur 10141 et bord SO de la TR20, Us 10157 (cliché n°152 : © INRAP, G. Desrayaud)



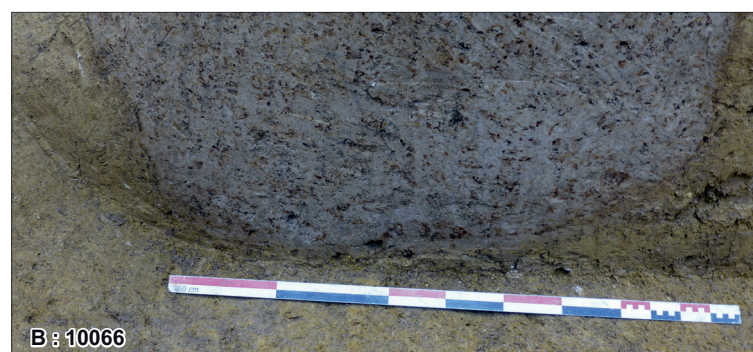


TR06, sondage 10177 coupe OSO, fossé 10065, vue depuis l'Est (cliché n°155 : © INRAP, M. Rayati)

TR06, sondage 10178 coupe SO, fosse 10133, vue depuis le NE (cliché n°156 : © INRAP, V. Da-Veiga-Semedo)



A : 10066



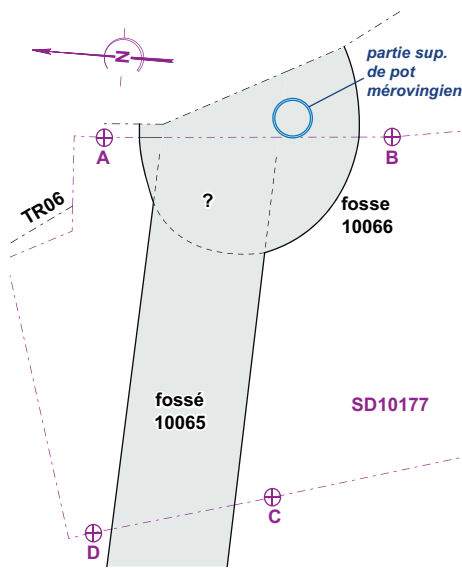
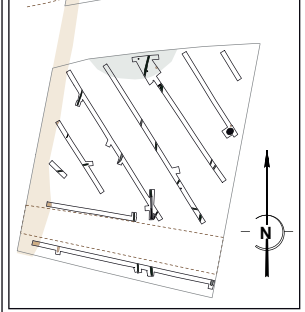
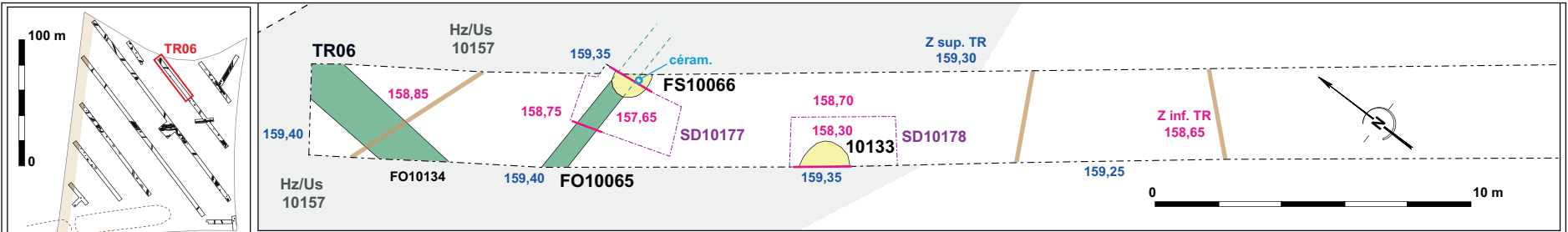
B : 10066



C : 10066

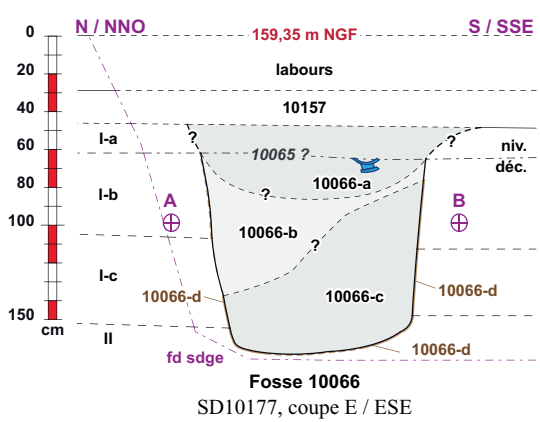
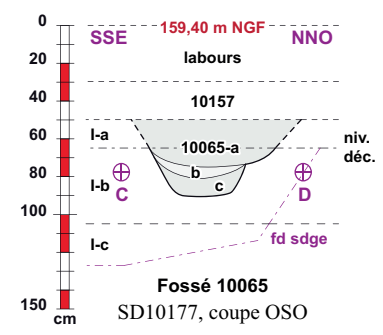
TR06, sondage 10177 coupe E/ENE, fosse 10066, vue depuis l'O/OSO.  
A : Coupe générale.  
B : Détail du fond.  
C : Détail du bord Sud (clichés n°157, 160 et 161 : © INRAP, M. Rayati)

Pl. 034 Orsay (91), Zac de Corbeville, partie Ouest, phase 2. TR06, fosse 10065, fosses 10066 et 10133, 2 sur 2. Plans et coupes  
 © INRAP : G. Desjardins, V. Davalga-Sernedo, M. Rajati

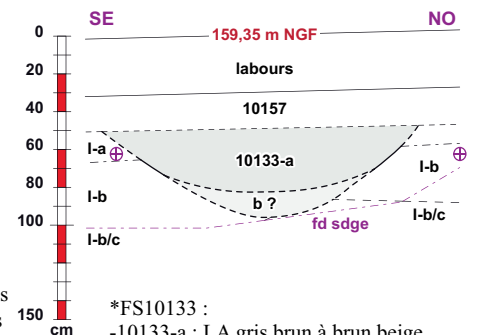
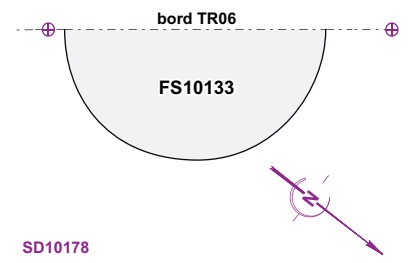


- \*Us 10157 :  
 -LA gris à brun gris, petits graviers épars à erratiques, rares tessons de faïence...
- \*-Encaissants :  
 -Ia : LA brun gris orangé à brun orangé, petites glosses grisâtres plus ou moins marquées.  
 -Ib : LA/AL brun orangé à jaune orangé.  
 -Ic : LA(S) jaune pâle, nodules calcaires blancs épars à erratiques.  
 - II : ALS jaune foncé à jaune orangé, sable grossier et cailloutis anguleux épars, petites pierres silico-calcaires erratiques.

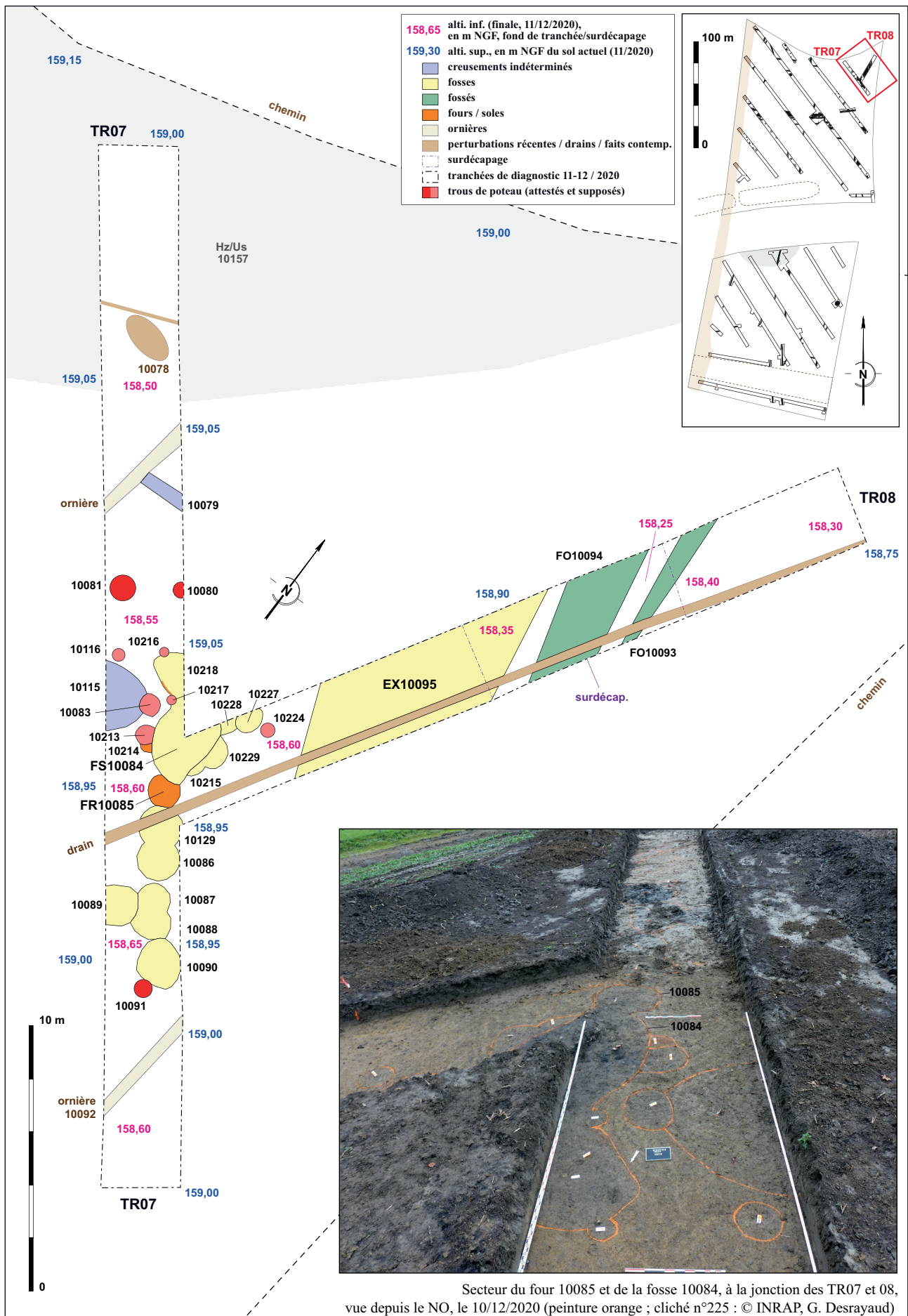
- \*FO10065 :  
 -10065-a : LA gris à gris brun, lég. bariolé.  
 -10065-b : LA brun gris à brun orangé bariolé.  
 -10065-c : LA gris blanchi, lég. bariolé.



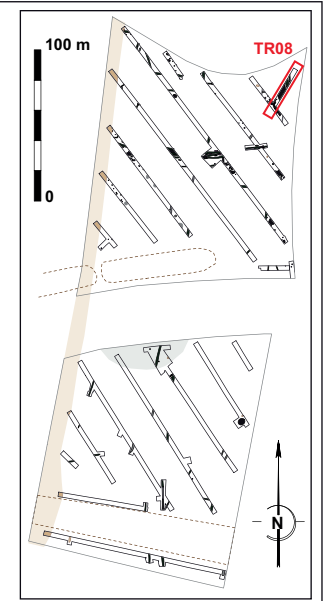
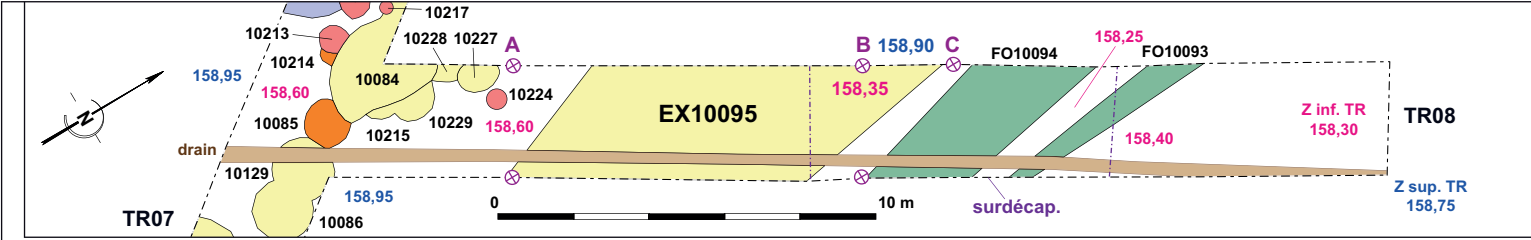
- \*FS10066 :  
 -10066-a : Horizon de LA gris beige à gris / gris brun, lég. bariolé. Moitié supérieure de vase posé à l'envers (Z sup. : 158,70 m NGF).  
 -10066-b : Horizon de LA gris clair à blanchi (partie Nord), bariolage rouille assez marqué.  
 -10066-c : Horizon de LA gris clair, lég. bariolé, lég. plus foncé et bariolé vers le fond.  
 -10066-d : Liseré / concrétions indurées brunâtre-s (1 à 2 cm d'épaisseur) sur les parois et, dans une moindre mesure, le fond de la fosse.



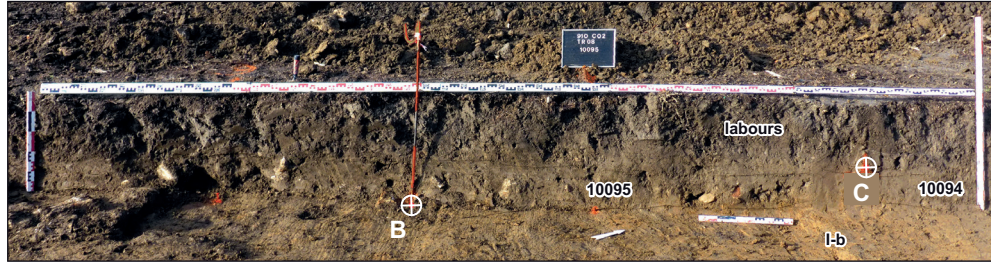
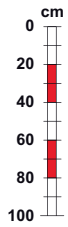
- \*FS10133 :  
 -10133-a : LA gris brun à brun beige.  
 -10133-b ? : LA brun beige à beige orangé.



PI. 035 Orsay (91), Zac de Corbeville, partie Ouest, phase 2. Plan des tranchées 07 et 08 © INRAP : G. Desrayaud, Ph. Lenhardt



TR08, berm ONO, coupe partielle du bord oriental de l'excavation 10095 (cliché redressé n°236 : © INRAP, G. Desrayaud)



\*10094 : -LA gris à brun gris, petites pierres silico-calcaires ératiques.

\*10095 : -Vrac hétérogène de pierres silico-calcaires brutes (L < 0,8) et LA gris à gris beige, éléments de faune épars.

\*Encaissant : -Ib : LA/AL brun orangé à jaune orangé.

TR08, plan photographique de l'excavation empierrée 10095 (assemblage des clichés redressés n°228, 230, 232 et 234 : © INRAP, G. Desrayaud, M. Rayati)



## Références bibliographiques

### Bailleux 2017

BAILLEUX (A.) (dir) – *Île-de-France, Essonne. Orsay. ZAC de Corbeville, "Future Plaine des Sports"*. Rapport de Diagnostic. INRAP-CIF / DRAC-SRA-IDF, Pantin / Paris, août 2017, 48 p.

### Bailleux 2016

BAILLEUX (G.) (dir) – *Essonne, Orsay et Saclay, ZAC du quartier de l'Ecole Polytechnique, corridor écologique ouest (entre la RD36 et la RD128)*. Rapport de Diagnostic. INRAP-CIF / DRAC-SRA-IDF, Pantin / Paris, janvier 2016, 123 p.

### Bailleux en cours

BAILLEUX (G.) (dir) – *Île-de-France, Essonne. Orsay. La Plaine de Corbeville, Zac QEX, corridor écologique (...)*. Fouille archéologique 2016. INRAP-CIF / DRAC-SRA-IDF, Pantin / Paris, en cours.

### Baize, Jabiol 1995

BAIZE (D.), JABIOL (B.) – *Guide pour la description des sols*. INRA, éd. : Techniques et pratiques, Paris, 1995, 375 p.

### Billoin, Humbert, Pernaud 1999

BILLOIN (D.), HUMBERT (L.), PERNAUD (J.-M.) – « La nécropole à incinérations du Néolithique récent des "Canas" à Varennes-Changy (Loiret) » pp. 547-562, dans : *Bulletin de la Société préhistorique française*, tome 96 n°4, 1999.

### Blin 2016

BLIN (O) (dir) – *Île-de-France, Essonne. Gif-sur-Yvette. Sud-Ouest du Rond-Point de Corbeville*. Rapport de Fouille [de 2005]. INRAP-CIF / DRAC-SRA-IDF, Pantin / Paris, février 2016, 370 p.

### Bernard 2005

BERNARD (C.) – *Rapport de prospection sur les communes de Saclay et d'Orsay (Essonne). Autorisation n°2005-022*. Décembre 2005, 58 p.

### Biwer 2010

BIWER (N.) (dir) – *Palaiseau (Essonne – Île-de-France) : Campus de Polytechnique. Lot A, B et C*. Rapport de Diagnostic. INRAP-CIF / DRAC-SRA-IDF, Pantin / Paris, 2010, 88 p.

### Brunet 2006

BRUNET (P) (dir) – *Lesches, "Les Prés du Refuge" (Seine-et-Marne, Île-de-France), occupations humaines en abord des marais de Lesches*. Rapport de Fouille. INRAP-CIF / DRAC-SRA-IDF, Pantin / Paris, 2006.

### Carte géologique 1975

CARTE GÉOLOGIQUE À 1/50000 – feuille n° 218 (XXII-15) et notice, RAMBOUILLET (1975) – Bureau de Recherches Géologiques et Minières, Service Géologique National, Orléans, 1975, carte imprimée et notice de 18 p.

### Carte géologique 1989

CARTE GÉOLOGIQUE À 1/50000 – feuille n° 219 et notice, CORBEIL, 3<sup>e</sup> édition (1989) – Bureau de Recherches Géologiques et Minières, Service Géologique National, Orléans, 1989, carte imprimée et notice de 26 p.

### Cissé 2011

CISSÉ (L.) (dir) – *Palaiseau (Essonne – Île-de-France) : Quartier est de l'école polytechnique (QEX), phase 2*. Rapport de Diagnostic. INRAP-CIF / DRAC-SRA-IDF, Pantin / Paris, 2011, 240 p.

### Cottiaux et al. 2014

COTTIAUX (R.), SALANOVA (L.), BRUNET (P.), HAMON (T.), LANGRY-FRANÇOIS (F.), MAINGAUD (A.), MARTINEAU (R.), MILLE (B.), POLLONI (A.), RENARD (C.), SOHN (M.) – « Le Néolithique récent dans le Bassin parisien (3600-2900 avant notre ère) : périodisation et faciès régionaux » pp. 455-529 dans : COTTIAUX (R.), SALANOVA (L.) (dir) – *La fin du*

IV<sup>e</sup> millénaire dans le Bassin parisien. Le Néolithique récent entre Seine, Oise et Marne (3500-2900 avant notre ère). Revue Archéologique de l'Est, 34<sup>e</sup> supplément / Revue Archéologique d'Île-de-France, 2014, 1<sup>er</sup> supplément.

**Desrayaud 2008**

DESRAYAUD (G.) – « Parcellaires fossoyés du Haut Empire des plateaux de Brie : Jossigny/Serris et Moissy-Cramayel (Seine-et-Marne). Approche méthodologique de l'étude des réseaux », *Revue archéologique du Centre de la France*, Tome 47, 2008. [En ligne], mis en ligne le 15 mai 2009. URL : <http://racf.revues.org/index1161.html>.

**Desrayaud, Warmé 2016**

DESRAYAUD (G.), WARMÉ (N.) (dir.) – *Moissy-Cramayel (77) - Parc d'activités Prologis de Chanteloup, zone sud, secteur central. Villa gallo-romaine et hameau médiéval de "Chanteloup" (I<sup>er</sup>-XII<sup>e</sup> s. ap. J.-C.)*. Rapport de Fouille INRAP-CIF / DRAC-SRA-IDF, Paris, 2016, 3 volumes, 1384 p., 3 plans joints. [En ligne] <https://hal-inrap.archives-ouvertes.fr/hal-02884953>

**Dupéré 2020-A**

DUPÉRÉ (B.) (dir.) – *Île-de-France, Essonne (91). Orsay. Futur métro 18, viaduc de "La Plaine de Corbeville"*. Rapport de Diagnostic. INRAP-CIF / DRAC-SRA-IDF, Pantin / Paris, mars 2020, 153 p.

**Dupéré 2020-B**

DUPÉRÉ (B.) (dir.) – *Île-de-France, Essonne (91). Orsay. Vallon du Guichet, versant sud. Ligne 18 Grand Paris Express*. Rapport de Diagnostic. INRAP-CIF / DRAC-SRA-IDF, Pantin / Paris, septembre 2020, 67 p.

**Durand 2012**

DURAND (J.) (dir.) – *Meaux (Seine-et-Marne), Liaison routière nord/Hôpital, Hôpital de Meaux / RD405, route de Varreddes*. Rapport de Diagnostic. INRAP-CIF / DRAC-SRA-IDF, Pantin / Paris, 2012. 240 p.

**Durand 2016**

DURAND (J.) (dir.) – *Palaiseau (Essonne - Île-de-France) : Quartier Ouest Polytechnique. Les Trois Mares, avenue de la Vauve*. Rapport de Fouille. INRAP-CIF / DRAC-SRA-IDF, Pantin / Paris, février 2016, Vol. 1 : 513 p. ; Vol. 2 : 289 p.

**EOD-EX 2020**

EOD-EX – *Domaine de la Martinière, Saclay (91). Rapport de diagnostic pyrotechnique. RT n° 51120019\_3 Ind. 1 du 05/11/2020*. SARPI-VEOLIA / EPA Paris-Saclay. EODEX, Vaulx-en-Velin, novembre 2020, 61 p. ; et 4 plans.

**Fiorèse 2018**

FIORÈSE (S.) – « Histoire de la Martinière. Partie 1 – Avant la Révolution » pp. 17-20, dans : *Le Saclaysien*, printemps-été 2018, n°165. Magazine municipal. Ville de Saclay, juin 2018, 36 p.

**Géliot, Fromot 2014**

GÉLIOT (D.), FROMOT (J.-L.) – « Les Sables de Lozère » pp. 6-11, dans : *Saga Information n°342*, Société Amicale des Géologues Amateurs, Muséum national d'Histoire naturelle, Paris, décembre 2014.

**Gentili 2017**

GENTILI (F.) – *Agglomérations rurales et terroirs du haut Moyen Âge en Île-de-France (VI<sup>e</sup>-XII<sup>e</sup> s.). L'apport des grandes fouilles préventives (Plateau briard, Plaine-de-France)*. Thèse de doctorat d'archéologie médiévale. Université Paris I, Panthéon Sorbonne, Paris, décembre 2017, 2 volumes, 318 p. et 187 p. [En ligne] <http://www.theses.fr/2017PA01H122#>

**Gentili, Lefèvre 2009**

GENTILI (F.), LEFÈVRE (A.) (dir.) – « L'Habitat rural du haut Moyen Âge en Île-de-France », 2<sup>e</sup> supplément au *Bulletin Archéologique du Vexin Français*. Programme Collectif de Recherche. Bilan 2004/2006, Guiry-en-Vexin, 2009, 291 p.

**Giganon 1993**

GIGANON (D.) – *Le site du haut Moyen Âge de "La Plaine de Corbeville", Orsay (Essonne), n°91 471 003. Compte-rendu des recherches réalisées en mai 1993*. Rapport de sauvetage urgent. Laboratoire d'Archéologie, Association des Activités Culturelles du Commissariat à l'Énergie Atomique et aux Énergies Alternatives (AAC-CEA), Centre d'Études de Saclay. Gif-sur-Yvette, mai 1993, 19 p.

**Giganon 1999**

GIGANON (D.) – « Le domaine gallo-romain de Moulon, du I<sup>er</sup> siècle av. J.-C. au III<sup>e</sup> siècle ap. J.-C. » pp. 58-61, dans : *Archéologie en Essonne, actes de la journée archéologique de Milly-la-Forêt, 18 octobre 1997*. Conseil général de l'Essonne, 1999.

**Giligny, Bostyn, Maux 2012**

GILIGNY (F.), BOSTYN (F.), MAUX (N.) – « Production et importation de haches polies dans le Bassin parisien : typologie, chronologie et influences » pp. 1136-1167, dans : PÉTREQUIN (P.), CASSEN (S.), ERRERA (M.), KLASSEN (L.), SHERIDAN (A.), PÉTREQUIN (A.-M.) (dir) – *Jade. Grandes haches alpines du Néolithique européen. Ve et IVe millénaires av. J.-C.* Col. : Les cahiers de la MSHE Ledoux. Série : Dynamiques territoriales. Presses Universitaires de Franche-Comté / Centre de Recherches archéologiques de la Vallée de l'Ain. Besançon, 2012, 2 tomes, 1520 p.

**Giorgi 2013**

GIORGI (C.) (dir) – *Île-de-France, Essonne (91). Saint-Aubin, Gif-sur-Yvette et Orsay. Projet de transport en commun en site propre - Saclay - TCSP (phase 2)*. Rapport de Diagnostic. INRAP-CIF / DRAC-SRA-IDF, Pantin / Paris, mars 2013, 78 p.

**Giorgi 2017**

GIORGI (C.) (dir) – *Orsay (Essonne - Île-de-France) : Zac de Corbeville, angle de la RD128 et du sentier de Corbeville*. Rapport de Diagnostic. INRAP-CIF / DRAC-SRA-IDF, Pantin / Paris, août 2017, 131 p.

**Giorgi 2018**

GIORGI (C.) (dir) – *Île-de-France, Essonne (91). Palaiseau. ZAC du “quartier de l'École Polytechnique” – (tranche 1) – Bassin de rétention n°2, à l'est de l'avenue de La Vauve (RD 128), et les parcelles N 2.1 et N 2.2*. Rapport de Fouille. INRAP-CIF / DRAC-SRA-IDF, Pantin / Paris, novembre 2018, Vol. 1 : 422 p., Vol. 2 : 347 p., 1 plan joint.

**Giorgi 2019-A**

GIORGI (C.) (dir) – *Île-de-France, Essonne (91). Orsay. ZAC de Corbeville. Lieu-dit “Future Plaine des Sports” (tranche 2)*. Rapport de Diagnostic. INRAP-CIF / DRAC-SRA-IDF, Pantin / Paris, juillet 2019, 203 p.

**Giorgi 2019-B**

GIORGI (C.) (dir) – *Île-de-France, Essonne (91). Orsay. Future ligne de métro 18. Viaduc de la RN 118. Versant nord (Vallon du Guichet)*. Rapport de Diagnostic. INRAP-CIF / DRAC-SRA-IDF, Pantin / Paris, septembre 2019, 61 p.

**Giorgi 2020**

GIORGI (C.) (dir) – *L'archéologie du plateau de Saclay*, © Inrap 2020. [En ligne] URL : <https://www.inrap.fr/magazine/L-archeologie-du-plateau-de-Saclay/>

**Givenchy 1907**

GIVENCHY (P. de) – « Outillage néolithique de May-en-Multien (Seine-et-Marne) » pp. 512-518, dans : *Bulletin de la Société préhistorique française*, Tome 4 n°10, 1907.

**Glisoni 2015**

GLISONI (S.) (dir) – *Île-de-France, Essonne (91). Palaiseau. QOX sud, La Troche – Etablissements ruraux l'Antiquité, du Moyen Âge et de l'époque moderne à “La Troche”*. Rapport de Fouille. INRAP-CIF / DRAC-SRA-IDF, Pantin / Paris, 2015, 2 volumes, 794 p.

**Glisoni 2016**

GLISONI (S.) (dir) – *Île-de-France, Essonne (91). Palaiseau. QOX nord, La Troche – Etablissements ruraux de la protohistoire à l'époque moderne à “La Troche”*. Rapport de Fouille. INRAP-CIF / DRAC-SRA-IDF, Pantin / Paris, 2016, 2 volumes, 698 p.

**Harris 1989**

HARRIS (E. C.) – *Principles of Archaeological Stratigraphy*, London & New-York : Academic Press. Second Edition, 136 p.

**Mathery en cours**

MATHERY (L.) (dir) – *Île-de-France, Essonne (91). Orsay. Zac de Corbeville, partie ouest, PHASE 1*. Diagnostic archéologique, septembre/octobre 2020. INRAP-CIF / DRAC-SRA-IDF, Pantin / Paris, en cours.

**Mondoloni 2019**

MONDOLONI (A.) (dir) – *Gif-Sur-Yvette (Essonne), ZAC Du Moulon : Rue Francis Perrin / RD 128*. Diagnostic archéologique, INRAP-CIF / DRAC-SRA-IDF, Pantin / Paris, 2019.

« Projet urbain du secteur de Corbeville » (2018) – Dossier de déclaration de projet emportant mise en compatibilité des PLU d'Orsay et de Saclay [dans : Zac de Corbeville à Orsay et Saclay (91) - Dossier d'enquête publique – Mai-juin 2019. Pièce B], EPA Paris-Saclay, novembre 2018, 259 p. [En ligne] URL : <https://www.essonne.gouv.fr/content/download/27641/216069/file/Pièce+-+DP+MEC+PLU.pdf>

**Passelac, Vernhet 1993**

PASSELAC (M.), VERNHET (A.) – « Céramique sigillée sud-gauloise », dans : PY (M.) (dir) – *Lattara VI*, Mélanges d'Histoire et d'Archéologie de Lattes, ARALO/AFAN, Lattes, 1993, p. 569-580.

**Peek 1975**

PEEK (J.) (1975) – *Inventaire des mégalithes de la France. Vol. 4 : Région parisienne (Paris, Yvelines, Essonne, Hauts-de-Seine, Seine-Saint-Denis, Val-de-Marne, Val-d'Oise)*. CNRS. Paris : Persée - Portail des revues scientifiques en SHS, 1975. (Gallia Préhistoire, supplément. ; 4-Région parisienne).

**Pétrequin et al. 2012**

PÉTREQUIN (P.), PAILLER (Y.), GAUTHIER (E.), SHERIDAN (A.), CASSEN (S.), KLASSEN (L.) – « Typologie, chronologie et répartition des haches alpines en Europe occidentale » pp. 574-726, dans : PÉTREQUIN (P.), CASSEN (S.), ERRERA (M.), KLASSEN (L.), SHERIDAN (A.), PÉTREQUIN (A-M.) (dir) – *Jade. Grandes haches alpines du Néolithique européen. V<sup>e</sup> et IV<sup>e</sup> millénaires av. J.-C.* Col. : Les cahiers de la MSHE Ledoux. Série : Dynamiques territoriales. Presses Universitaires de Franche-Comté / Centre de Recherches archéologiques de la Vallée de l'Ain. Besançon, 2012, 2 tomes, 1520 p.

**Py 1997**

PY (M.) – « SYSLAT 3.1. Système d'Information Archéologique. Manuel de référence », *LATTARA*, 10, CEDAR, Lattes, ARALO, AFAN, 1997, 384 p.

**Samzun, Cottiaux, Lanchon 2008**

SAMZUN (A.), COTTIAUX (R.), LANCHON (Y.) – « Néolithique en Île-de-France : la révolution reste à faire. » pp. 124-126 dans : *Archéopages*, Hors-série : Construction<sup>s</sup> de l'archéologie, INRAP, février 2008. [En ligne] <http://journals.openedition.org/archeopages/885>

**Sohn 2002**

SOHN (M.) – « Place et rôle du mobilier dans les sépultures collectives du Bassin parisien à la fin du Néolithique » pp. 501-520, dans : *Bulletin de la Société préhistorique française*, tome 99 n°3, 2002.

## Liste des figures

- 14** **Fig. 01** Île-de-France, Essonne, Orsay, Zac de Corbeville, partie Ouest, phase 2. Localisation de l'emprise du diagnostic archéologique sur le fond de carte IGN au 1/25000 © IGN Paris
- 15** **Fig. 02** Orsay, Zac de Corbeville, partie Ouest, phase 2. Localisation de l'emprise sur le cadastre © cadastre.gouv.fr
- 24** **Fig. 03** Emprise de la Zac de Corbeville à Orsay / Saclay dans l'Essonne (91), sur une photographie aérienne de 2016 © EPA Paris-Saclay, 2018
- 26** **Fig. 04** Carte de localisation des principaux sites archéologiques mis au jour sur et aux abords du plateau de Saclay, sur fond IGN © INRAP : C. Giorgi ; tiré de GIORGI 2018 : fig. 8 p. 48
- 27** **Fig. 05** Zac de Corbeville, partie O, phase 2, environnement archéologique local © INRAP : G. Desrayaud
- 31** **Fig. 06** Essonne, Orsay, Zac de Corbeville, partie Ouest, phase 2, contexte géologique (extrait à 1/25000 de la *Carte géologique à 1/50000, feuille 219, CORBEIL*, Ministère de l'Industrie, Service de la Carte Géologique de la France © BRGM
- 32** **Fig. 07** Orsay (91), Zac de Corbeville, partie Ouest, phase 2, plan général © INRAP
- 33** **Fig. 08** Orsay (91), Zac de Corbeville, partie Ouest, phase 2, merlon de terre dans l'angle SO de la Zone Nord, vue depuis le NO, le 20/11/2020 (cliché n°031) © INRAP : G. Desrayaud
- 33** **Fig. 09** Orsay (91), Zac de Corbeville, partie Ouest, phase 2. Surfaces des tranchées de diagnostic archéologiques © INRAP : G. Desrayaud, Ph. Lenhardt
- 34** **Fig. 10** Orsay (91), Zac de Corbeville, partie Ouest, phase 2. Vues panoramiques des zones Nord et Sud, le 27/11/2020 © INRAP : G. Desrayaud
- 35** **Fig. 11** Orsay (91), Zac de Corbeville, partie Ouest, phase 2. Sondage 11034, séquence quaternaire © INRAP : G. Desrayaud
- 36** **Fig. 12** Orsay (91), Zac de Corbeville, partie Ouest, phase 2. Horizons sédimentaires sous les labours récents © INRAP : G. Desrayaud
- 39** **Fig. 13** Orsay (91), Zac de Corbeville, partie Ouest, phase 2. Zone Sud, plan simplifié des vestiges et éléments de datation © INRAP : G. Desrayaud
- 40** **Fig. 14** Orsay (91), Zac de Corbeville, partie Ouest, phase 2. Zone Sud, fait 11008, Néolithique récent © INRAP : V. Da-Veiga-Semedo, G. Desrayaud, J. Durand, S. Durand
- 42** **Fig. 15** Orsay (91), Zac de Corbeville, partie Ouest, phase 2. Céramiques protohistoriques et plan des éléments de datation du Nord de la Zone Sud et secteur adjacent du tracé du métro 18 (d'après BAILLEUX A. 2017 et DUPÉRÉ 2020-A) © INRAP : A. Bailleux, M. Belarbi, P. Brunet, H. Civalieri, G. Desrayaud, B. Dupéré, A. Lefèvre, Ph. Lenhardt, R. Touquet
- 44** **Fig. 16** Orsay (91), Zac de Corbeville, partie Ouest, phase 2, Zone Sud. Canalisation 11001 et fossé 11015 : gallo-romains ? © INRAP : V. Da-Veiga-Semedo, G. Desrayaud, A. Lefèvre
- 45** **Fig. 17** Orsay (91), Zac de Corbeville, partie Ouest, phase 2. Zone Nord, contextes ayant livré de la céramique modelée et/ou des éléments lithiques © INRAP : G. Desrayaud, M. Rayati
- 46** **Fig. 18** Orsay (91), Zac de Corbeville, partie Ouest, phase 2. Zone Nord, plan simplifié des vestiges et éléments de datation © INRAP : G. Desrayaud
- 47** **Fig. 19** Orsay (91), Zac de Corbeville, partie Ouest, phase 2. Zone Nord, fosse 10066 (voir § 5 : Pl. 033-034), céramique mérovingienne © INRAP : G. Desrayaud, A. Lefèvre, M. Rayati
- 48** **Fig. 20** Orsay (91), Zac de Corbeville, partie Ouest, phase 2. Zone Nord, exemples de fosses © INRAP : G. Desrayaud, V. Da-Veiga-Semedo
- 49** **Fig. 21** Orsay (91), Zac de Corbeville, partie Ouest, phase 2. Zone Nord, exemples de trous de poteau et de creusements indéterminés © INRAP : G. Desrayaud, V. Da-Veiga-Semedo
- 50** **Fig. 22** Orsay (91), Zac de Corbeville, partie Ouest, phase 2. Zone Nord, exemples de coupes de segments de fossés © INRAP : G. Desrayaud, V. Da-Veiga-Semedo, M. Rayati
- 51** **Fig. 23** Orsay (91), Zac de Corbeville, partie Ouest, phase 2. Zone Nord, sépultures fouillées © INRAP : Lab. Beta Analytic ; P. Lawrence Dubovac ; G. Desrayaud
- 52** **Fig. 24** Orsay (91), Zac de Corbeville, partie Ouest, phase 2. Zone Nord. Tableau simplifié des éléments de datation, vestiges en creux attribuables à la période médiévale © INRAP : G. Desrayaud, A. Lefèvre
- 53** **Fig. 25** Orsay (91), Zac de Corbeville, partie Ouest, phase 2. Zone Nord. Exemples de céramiques médiévales © INRAP : A. Lefèvre
- 54** **Fig. 26** Orsay (91), Zac de Corbeville, partie Ouest, phase 2. Zone Nord, TR02. Section du culot de forge du ramassage 10036 © INRAP : Ph. Lorquet
- 65** **Fig. 27** Orsay (91), Zac de Corbeville, partie Ouest, phase 2. Tableau descriptif du corpus de l'industrie lithique © INRAP : J. Durand
- 65** **Fig. 28** Orsay (91), Zac de Corbeville, partie Ouest, phase 2. Outils lithiques de la Zone Nord © INRAP : J. Durand
- 68** **Fig. 29** Orsay (91), Zac de Corbeville, partie Ouest, phase 2, Zone Sud. Photographies des haches polies du fait 11008 © INRAP : J. Durand
- 69** **Fig. 30** Orsay (91), Zac de Corbeville, partie Ouest, phase 2, Zone Sud. Dessins des haches polies du fait 11008 © INRAP : J. Durand
- 71** **Fig. 31** Orsay (91), Zac de Corbeville, partie Ouest, phase 2, Zone Nord. Photographies des tessons du ramassage 10039 © INRAP : S. Durand
- 72** **Fig. 32** Orsay (91), Zac de Corbeville, partie Ouest, phase 2, Zone Nord. Proposition de restitution du puisoir 10039 © INRAP : S. Durand
- 72** **Fig. 33** Palaiseau (91), *les Trois Mares*. Fragment de puisoir 276-1 © DURAND J. ET AL. 2016
- 73** **Fig. 34** Orsay (91), Zac de Corbeville, partie Ouest, phase 2, Zone Sud. Photographies à fort grossissement, détails de tranches de tessons de 11008 © INRAP : S. Durand
- 73** **Fig. 35** Orsay (91), Zac de Corbeville, partie Ouest, phase 2, Zone Sud. Exemple de délitements d'un tesson de 11008, et surface intérieure © INRAP : S. Durand
- 74** **Fig. 36** Orsay (91), Zac de Corbeville, partie Ouest, phase 2, Zone Sud. Proposition de restitution du vase 11008 ; orientation des parois et diamètre de la panse indéterminés © INRAP : S. Durand
- 77** **Fig. 37** Orsay (91), Zac de Corbeville, partie Ouest, phase 2. Inventaire abrégé des pièces macrolithiques collectées © INRAP : C. Monchablon
- 78** **Fig. 38** Orsay (91), Zac de Corbeville, partie Ouest, phase 2. Zone Sud, TR10, molette de mouture du fait 11008 © INRAP : C. Monchablon
- 80** **Fig. 39** Nature des opérations archéologiques ayant livré des vestiges et/ou du mobilier néolithiques dans le secteur d'Orsay (91), Zac de Corbeville (janvier 2021) © INRAP : C. Giorgi et J. Durand
- 81** **Fig. 40** Attribution chronoculturelle des sites et des indices néolithiques à protohistoriques anciens dans le secteur d'Orsay (91), Zac de Corbeville (janvier 2021) © INRAP : C. Giorgi et J. Durand
- 83** **Fig. 41** Orsay (91), Zac de Corbeville, partie Ouest, phase 2. Inventaire détaillé de la céramique modelée protohistorique et non datée © INRAP : H. Civalieri
- 84** **Fig. 42** Orsay (91), Zac de Corbeville, partie Ouest, phase 2. Céramique modelée, exemples de dégraissants à base de nodules de quartz et ferreux © INRAP : H. Civalieri
- 85** **Fig. 43** Orsay (91), Zac de Corbeville, partie Ouest, phase 2. Zone Sud, TR11. Céramiques non tournées des contextes 11012 et 11033 © INRAP : H. Civalieri

- 87 Fig. 44** Orsay (91), Zac de Corbeville, partie Ouest, phase 2. Zone Sud, TR11. Céramique non tournée. Diamètres estimés des fonds issus du contexte 11012 © INRAP : H. Civalieri
- 93 Fig. 45** Orsay (91), Zac de Corbeville, partie Ouest, phase 2. Céramique antique et médiévale © INRAP : A. Lefèvre
- 97 Fig. 46** Orsay (91), Zac de Corbeville, partie Ouest, phase 2. Zone Nord. Sépulture 10099, ulna gauche avec cal osseux © INRAP : P. Lawrence-Dubovac
- 98 Fig. 47** Orsay (91), Zac de Corbeville, partie Ouest, phase 2. Zone Nord. Partie occidentale de la sépulture 10106, après surdépilage et nettoyage partiel (traces de marquage orange ; cliché n°210 © INRAP : V. Da-Veiga-Semedo
- 105 Fig. 48** Orsay (91), Zac de Corbeville, partie Ouest, phase 2. Zone Nord. Répartition des restes fauniques par contextes et périodes estimées © INRAP : C. Le Goff, G. Desrayaud, A. Lefèvre
- 106 Fig. 49** Orsay (91), Zac de Corbeville, partie Ouest, phase 2. Zone Nord. Répartition des restes de caprinés, porc et cheval par Us et parties anatomiques © INRAP : C. Le Goff
- 106 Fig. 50** Orsay (91), Zac de Corbeville, partie Ouest, phase 2. Zone Nord. Répartition des restes de bœuf par Us et parties anatomiques © INRAP : C. Le Goff
- 109 Fig. 51** Orsay (91), Zac de Corbeville, partie Ouest, phase 2. Zone Sud. Petits « blocs » naturels ferrugineux du ramassage géologique 11050 (TR12, Hz-II) et section sciée de l'un des éléments © INRAP : Ph. Lorquet
- 109 Fig. 52** Saclay (91), diagnostic de "Vauhallan-Palaisseau-Saclay, RD 36 Section Est (...)" (DAMOUR 2018). Minerai de fer © INRAP : Ph. Lorquet
- 110 Fig. 53** Carte de localisation des indices de sites de réduction de minerai de fer et de forge d'épuration sur le plateau de Saclay © INRAP : Ph. Lorquet
- 112 Fig. 54** Orsay (91), Zac de Corbeville, partie Ouest, phase 2. Zone Nord. Culot de forge du ramassage 10036 (fossés médiévaux), TR02 © INRAP : Ph. Lorquet
- 174 Pl. 001** Orsay (91), Zac de Corbeville, partie Ouest, phase 2, diagnostic archéologique Inrap, 11-12/2020, plan général © INRAP : G. Desrayaud, Ph. Lenhardt
- 175 Pl. 002** Orsay (91), Zac de Corbeville, partie Ouest, phase 2. TR12, coupe du fossé 11014, SD11035, et vue générale © INRAP : G. Desrayaud, V. Da-Veiga-Semedo
- 176 Pl. 003** Orsay (91), Zac de Corbeville, partie Ouest, phase 2. TR12, coupe du fossé 11015, SD11036, et fragment de coupelle en sigillée © INRAP : G. Desrayaud, A. Lefèvre
- 177 Pl. 004** Orsay (91), Zac de Corbeville, partie Ouest, phase 2. Plan des extrémités Est de la TR13 et Sud de la TR09 ; vue générale de la TR09 © INRAP : G. Desrayaud
- 178 Pl. 005** Orsay (91), Zac de Corbeville, partie Ouest, phase 2. TR09, SD11003, coupe de la canalisation empierrée 11001 et du fossé 11002 © INRAP : G. Desrayaud, V. Da-Veiga-Semedo
- 179 Pl. 006** Orsay (91), Zac de Corbeville, partie Ouest, phase 2. Vue des 4/5 NE de la TR10 et plan du secteur de la fosse / poteau 11008 © INRAP : G. Desrayaud, Ph. Lenhardt
- 180 Pl. 007** Orsay (91), Zac de Corbeville, partie Ouest, phase 2. Fosse / poteau 11008, TR10 © INRAP : G. Desrayaud, V. Da-Veiga-Semedo
- 181 Pl. 008** Orsay (91), Zac de Corbeville, partie Ouest, phase 2. Fosse 11025, TR14 © INRAP : G. Desrayaud, M. Rayati
- 182 Pl. 009** Orsay (91), Zac de Corbeville, partie Ouest, phase 2. Secteur des horizons / ramassages 11005 / 11012 et de la fosse 11033, TR10 et 11 © INRAP : G. Desrayaud, Ph. Lenhardt, V. Da-Veiga-Semedo
- 183 Pl. 010** Orsay (91), Zac de Corbeville, partie Ouest, phase 2. Horizon / Us 11012, SD11030, TR11 © INRAP : G. Desrayaud, V. Da-Veiga-Semedo
- 184 Pl. 011** Orsay (91), Zac de Corbeville, partie Ouest, phase 2. Fosse 11033 et fossé 11032, SD11043, TR11 © INRAP : G. Desrayaud, V. Da-Veiga-Semedo
- 185 Pl. 012** Orsay (91), Zac de Corbeville, partie Ouest, phase 2. Sondage profond 11034, coupe SO, TR11 © INRAP : G. Desrayaud
- 186 Pl. 013** Orsay (91), Zac de Corbeville, partie Ouest, phase 2. Fosse 11020 et fossé 11041, TR11 © INRAP : G. Desrayaud
- 187 Pl. 014** Orsay (91), Zac de Corbeville, partie Ouest, phase 2. Trous de poteau 10064 et 10136, TR05 et TR19 © INRAP : G. Desrayaud, V. Da-Veiga-Semedo
- 188 Pl. 015** Orsay (91), Zac de Corbeville, partie Ouest, phase 2. Trous de poteau 10058, 10062 et 10128 (?), TR04 © INRAP : G. Desrayaud, V. Da-Veiga-Semedo
- 189 Pl. 016** Orsay (91), Zac de Corbeville, partie Ouest, phase 2. Fosse 10056 et Us/Hz 10199 (coupe 10203), TR04 © INRAP : G. Desrayaud, V. Da-Veiga-Semedo
- 190 Pl. 017** Orsay (91), Zac de Corbeville, partie Ouest, phase 2. TR03, fossé 10109 ; TR18, plan et vue générale © INRAP : G. Desrayaud, V. Da-Veiga-Semedo
- 191 Pl. 018** Orsay (91), Zac de Corbeville, partie Ouest, phase 2. TR02, profil sédimentaire 10187 et fossé 10183 © INRAP : G. Desrayaud, M. Rayati
- 192 Pl. 019** Orsay (91), Zac de Corbeville, partie Ouest, phase 2. Extrémité SE de la TR01, concentration de vestiges ; fossé 10024 ; trou de poteau 10028 © INRAP : G. Desrayaud, V. Da-Veiga-Semedo
- 193 Pl. 020** Orsay (91), Zac de Corbeville, partie Ouest, phase 2. Partie NO de la TR03, concentration de vestiges ; faits (fosses ?) 10192 et 10193 © INRAP : G. Desrayaud
- 194 Pl. 021** Orsay (91), Zac de Corbeville, partie Ouest, phase 2. Partie NO de la TR03, concentration de vestiges ; Bord NE, faits 10188, 10189, 10044 et 10191 en coupe © INRAP : G. Desrayaud, V. Da-Veiga-Semedo
- 195 Pl. 022** Orsay (91), Zac de Corbeville, partie Ouest, phase 2. Partie centrale de la TR02, excavation 10035 et fossés 10034, 10184, 10185 et 10186 © INRAP : G. Desrayaud, V. Da-Veiga-Semedo, M. Rayati
- 196 Pl. 023** Orsay (91), Zac de Corbeville, partie Ouest, phase 2. Partie centrale de la TR01, concentration de vestiges. Trou de poteau 10097, fosse 10167 et fossé 10023 © INRAP : G. Desrayaud, V. Da-Veiga-Semedo
- 197 Pl. 024** Orsay (91), Zac de Corbeville, partie Ouest, phase 2. Partie centrale de la TR01, fossés 10011, 10012, 10014 et 10104 © INRAP : G. Desrayaud, V. Da-Veiga-Semedo
- 198 Pl. 025** Orsay (91), Zac de Corbeville, partie Ouest, phase 2. Zone Nord, TR01 et 06, plan du secteur des sépultures médiévales © INRAP : G. Desrayaud, Ph. Lenhardt
- 199 Pl. 026** Orsay (91), Zac de Corbeville, partie Ouest, phase 2. Zone Nord, TR01, sépultures 10099, 10100 et 10106 © INRAP : G. Desrayaud, V. Da-Veiga-Semedo, P. Lawrence-Dubovac
- 200 Pl. 027** Orsay (91), Zac de Corbeville, partie Ouest, phase 2. Partie SE de la TR06 ; sépulture 10069 © INRAP : G. Desrayaud, P. Lawrence-Dubovac
- 201 Pl. 028** Orsay (91), Zac de Corbeville, partie Ouest, phase 2. Partie NO de la TR02 ; fosse 10032 et fossé 10123 © INRAP : G. Desrayaud
- 202 Pl. 029** Orsay (91), Zac de Corbeville, partie Ouest, phase 2. Partie NO de la TR01, fossé 10008 et fosse 10010 © INRAP : G. Desrayaud
- 203 Pl. 030** Orsay (91), Zac de Corbeville, partie Ouest, phase 2. Partie NO de la TR01, fossés 10007 et 10117, Hz/Us 10157 © INRAP : G. Desrayaud, V. Da-Veiga-Semedo
- 204 Pl. 031** Orsay (91), Zac de Corbeville, partie Ouest, phase 2. Extrémité NO de la TR01, trous de poteau 10004 et 10006, fossé 10107, Us 10001 et 10157 © INRAP : G. Desrayaud, V. Da-Veiga-Semedo
- 205 Pl. 032** Orsay (91), Zac de Corbeville, partie Ouest, phase 2. Tranchée 20 ; faits 10140 et 10141, fossé 10142, Us 10157 © INRAP : G. Desrayaud, V. Da-Veiga-Semedo
- 206 Pl. 033** Orsay (91), Zac de Corbeville, partie Ouest, phase 2. TR06, fossé 10065, fosses 10066 et 10133, 1 sur 2. Photographies © INRAP : V. Da-Veiga-Semedo, M. Rayati
- 207 Pl. 034** Orsay (91), Zac de Corbeville, partie Ouest, phase 2. TR06, fossé 10065, fosses 10066 et 10133, 2 sur 2. Plans et coupes © INRAP : G. Desrayaud, V. Da-Veiga-Semedo, M. Rayati
- 208 Pl. 035** Orsay (91), Zac de Corbeville, partie Ouest, phase 2. Plan des tranchées 07 et 08 © INRAP : G. Desrayaud, Ph. Lenhardt
- 209 Pl. 036** Orsay (91), Zac de Corbeville, partie Ouest, phase 2. Tranchée 08, excavation 10095 © INRAP : G. Desrayaud, M. Rayati



## Île-de-France, Essonne (91), Orsay, Zac de Corbeville, partie Ouest, PHASE 2

### Chronologie

Néolithique, protohistoire,  
antiquité romaine,  
époque médiévale

### Sujets et thèmes

Artisanat, bâtiment,  
bâtiment agricole, fosse,  
fossé, foyer, habitat rural,  
sépultures

### Mobilier

Céramique, industrie  
lithique, faune, objet  
métallique

La poursuite des aménagements de la Zac de Corbeville, à Orsay, dans l'Essonne, a donné lieu à une prescription de sondages archéologiques préventifs complémentaires par les services de l'Etat, sur 4 ha.

Les parcelles Nord et Sud, de superficies à peu près égales, sont séparées par le tracé de la ligne du métro 18, diagnostiqué en janvier 2020. Depuis le début des années 2000, le plateau de Saclay, sujet à une opération d'urbanisme d'intérêt national, a fait l'objet de nombreuses interventions et découvertes archéologiques.

A une vingtaine de kilomètres au Sud-Ouest du centre de Paris, au Nord de la région naturelle du Hurepoix (pays de Josas), la Plaine de Corbeville se situe sur le rebord Sud-Est du plateau, le long de la vallée de l'Yvette. La Carte géologique indique une couverture limoneuse, reposant sur des sables argileux épisodiques (de Lozère) et des argiles tertiaires à meulière.

L'intervention sur le terrain s'est déroulée du 16 novembre au 11 décembre 2020.

20 tranchées, dont certaines comportant des fenêtres complémentaires, ont été creusées à la pelle mécanique 20 t avec un godet de 3 m, selon un maillage régulier (8 jours ouvrés). 11 % de la surface totale de la Zone Nord ont été décapés, et la Zone Sud a été testée à hauteur de 11,9 %.

Hors creusements contemporains et chablis, près de 200 faits archéologiques ont été repérés (170 en Zone Nord et 27 en Zone Sud). Plus d'une quarantaine de sondages ont été réalisés à la pelle 20 tonnes, ou, principalement, avec une minipelle 5 tonnes (7 jours ouvrés), et 7 vestiges ont été fouillés ou testés manuellement (notamment 3 sépultures).

Plusieurs coupes ont permis d'observer la séquence sédimentaire quaternaire et les horizons pédologiques sous labours récents.

Au milieu des parcelles, la présence ténue de pièces lithiques et de céramique modelée ancienne traduit un "bruit de fond" néolithique (moyen ?), rencontré sur l'ensemble de la Zac.

Au centre de la Zone Sud, la découverte d'un possible trou de poteau du Néolithique récent (env. 3350-3000 av. J.-C), avec dépôt de deux haches polies, revêt un caractère peu commun, voire exceptionnel.

En limite septentrionale de la Zone Sud, une "cuvette" sédimentaire et une fosse ont livré un petit corpus céramique attribuable à la fin du premier âge du Fer ou du début du second. Ils sont peut-être à rattacher à une occupation protohistorique pluriséculaire, de l'âge du Bronze final à La Tène, dont les traces, plus ou moins marquées, ont été repérées sur environ 5 ha, principalement vers l'Est et le Sud Est.

Pour la période romaine, les vestiges observés paraissent correspondre à des aménagements ruraux secondaires : probables fossés de drainage et/ou parcellaires et bordiers de chemin, dont un avec une "canalisation" de pierre, en Zone Sud.

Au Sud du château de la Martinière, attesté depuis le XIV<sup>e</sup> s., les vestiges de la Zone Nord (2 ha), s'inscrivent dans une occupation mérovingienne à capétienne, relativement dense, repérée sur au moins 9 ha, et partiellement fouillée sur 1,1 ha en 2016. 17 creusements indéterminés, 2 excavations (dont 1 empierrée), 54 fosses, 36 segments de fossés, 3 fours ou soles, 5 sépultures et 51 trous de poteau attestés, ou supposés, ont été répertoriés. 97 tessons médiévaux (VI<sup>e</sup>-XIV<sup>e</sup> s.), 68 restes de faune, ainsi qu'un culot de forge d'épuration, ont été collectés. Un "axe de circulation", marqué par plusieurs tronçons fossoyés, traverse l'emprise d'Est en Ouest. Il comprend un secteur d'inhumations dans sa partie orientale.

### Inrap

#### Centre - Île-de-France

41 rue Delizy - 93692 Pantin Cedex

Tél. 01 41 83 75 30 centre-ile-de-france@inrap.fr

www.inrap.fr

Essonne (91) – Orsay,  
ZAC de Corbeville, partie Ouest, PHASE 2

Gilles Desrayaud

Rapport de diagnostic

2021

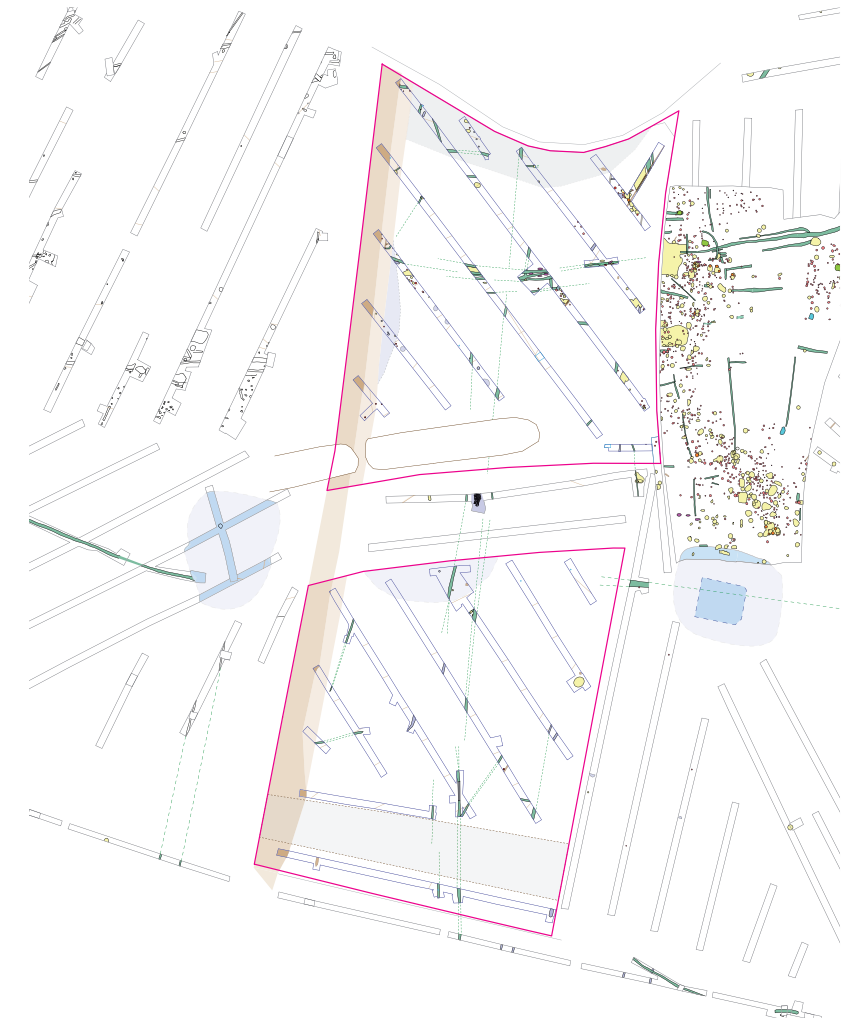
Rapport de diagnostic

Île-de-France, Essonne (91)

# Orsay Zac de Corbeville, partie Ouest PHASE 2

sous la direction de

**Gilles Desrayaud**



Inrap  
Centre Île-de-France  
mars 2021

